

ТЕРНОПІЛЬСЬКИЙ НАЦІОНАЛЬНИЙ ЕКОНОМІЧНИЙ УНІВЕРСИТЕТ

На правах рукопису
УДК 681.325

Волинський Орест Ігорович

**МЕТОДИ ПОБУДОВИ ВИСОКОПРОДУКТИВНИХ СПЕЦПРОЦЕСОРІВ НА
ОСНОВІ ТЕОРЕТИКО-ЧИСЛОВОГО БАЗИСУ КРЕСТЕНСОНА**

Спеціальність 05.13.05 – комп'ютерні системи та компоненти

Дисертація на здобуття наукового ступеня
кандидата технічних наук

Науковий керівник
доктор технічних наук, професор
Николайчук Ярослав Миколайович

ТЕРНОПІЛЬ – 2013

ЗМІСТ

ПЕРЕЛІК УМОВНИХ ПОЗНАЧЕНЬ.....	5
ВСТУП.....	6

РОЗДІЛ 1

АНАЛІЗ ХАРАКТЕРИСТИК ПРОЦЕСОРІВ У РІЗНИХ ТЕОРЕТИКО-
ЧИСЛОВИХ БАЗИСАХ

1.1. Систематизація характеристик та застосування процесорів, реалізованих на основі різних теоретико-числових базисів.....	15
1.2. Теоретико-числові базиси, які породжують системи числення, та їх кодові матриці.....	21
1.3. Формалізація графів мікропрограм арифметичних модулів процесорів різних ТЧБ та оцінка їх обчислювальної складності.....	24
1.4. Теоретичні засади виконання та характеристики арифметико-логічних операцій у базисах Радемахера та Крестенсона	33
1.5. Перспективи застосування систем числення базису Крестенсона для побудови високопродуктивних спецпроцесорів опрацювання великорозрядних чисел, постановка задачі дослідження.....	38
ВИСНОВКИ ДО РОЗДІЛУ 1.....	43

РОЗДІЛ 2

РОЗРОБКА МЕТОДІВ, ДОСЛІДЖЕННЯ АРИФМЕТИЧНИХ, МАТРИЧНО-
МОДУЛЬНИХ ТА МІЖБАЗИСНИХ ОПЕРАЦІЙ У РОЗМЕЖОВАНІЙ
СИСТЕМІ БАЗИСУ КРЕСТЕНСОНА

2.1. Дослідження арифметики цілочисельної форми системи залишкових класів базису Крестенсона.....	44
2.2. Дослідження перетворень та арифметики нормалізованої СЗК.....	51
2.3. Дослідження числових перетворень Радемахера-Крестенсона у досконалій формі СЗК.....	53

2.4. Розрахунок системи взаємопростих модулів для побудови спецпроцесорів базису Крестенсона різної розрядності.....	56
2.5. Розробка теоретичних основ розмежування розрядної сітки процесора у базисі Радемахера-Крестенсона.....	59
ВИСНОВКИ ДО РОЗДІЛУ 2.....	65

РОЗДІЛ 3

РОЗРОБКА ТА ДОСЛІДЖЕННЯ МІЖБАЗИСНИХ ПЕРЕТВОРЕНЬ ВЕЛИКОРОЗРЯДНИХ ЧИСЕЛ У РОЗМЕЖОВАНІЙ СЗК

3.1. Дослідження часової складності міжбазисних перетворень ТЧБ, які породжують системи числення.....	67
3.2 Розробка високопродуктивних матричних операцій сумування у розмежованій СЗК	69
3.3 Вдосконалення та дослідження компонентів спецпроцесорів модульного опрацювання великорозрядних чисел у бінарно-розмежованій СЗК.....	73
3.3.1. Матрично-модульний суматор та перемножувач у базисі Хаара	73
3.3.2. Пірамідальні та конвеєрні компоненти спецпроцесорів міжбазисного перетворення Радемахера-Крестенсона.....	76
3.4. Розробка методу та способу визначення залишків на основі модуля пам'яті та мультиплексованих рандомізаторів.....	79
3.5. Розробка функціональної структури визначення кодів взаємопростих залишків СЗК.....	86
ВИСНОВКИ ДО РОЗДІЛУ 3.....	88

РОЗДІЛ 4

РОЗРОБКА ТА РЕАЛІЗАЦІЯ СПЕЦПРОЦЕСОРІВ ОПРАЦЮВАННЯ ВЕЛИКОРОЗРЯДНИХ ЧИСЕЛ У БАЗИСІ КРЕСТЕНСОНА

4.1. Розробка та дослідження алгоритмів піднесення до високих показників степенів у РСЗК базису Крестенсона	90
---	----

4.2. Розробка та дослідження системних характеристик модульних компонентів спецпроцесорів у базисі Крестенсона.....	98
4.2.1. Пристрої обчислення залишків на основі лічильників по модулю в різних ТЧБ.....	98
4.2.2. Аналого-цифровий перетворювач в базисі Крестенсона-Хаара та його характеристики.....	102
4.2.3. Модульні шифратори Радемахера-Крестенсона.....	103
4.3. Розробка міжбазисного перетворювача на основі способу з пам'яттю.....	108
4.4. Реалізація швидкодіючого перетворювача Радемахера-Крестенсона на основі рандомізаторів.....	115
4.5. Розрахунок системи взаємопростих модулів високопродуктивного кореляційного спецпроцесора в базисі Хаара-Крестенсона.....	120
4.6. Розробка структури спецпроцесора визначення залишку багаторозрядного числа, його системні характеристики та мікроелектронна реалізація.....	133
ВИСНОВКИ ДО РОЗДІЛУ 4.....	141
ЗАГАЛЬНІ ВИСНОВКИ ПО РОБОТІ.....	143
СПИСОК ВИКОРИСТАНИХ ДЖЕРЕЛ.....	146
Додаток А. Лістинг додатку «Інкриментний модуль».....	161
Додаток Б. Лістинг додатку «Рандомізатор по модулю».....	163
Додаток В. Набори модулів та їх параметри для спецпроцесорів різної розрядності.....	165
Додаток Г. Лістинг додатку «Мультиплексор».....	192
Додаток Д. Технологічна схема рандомізатора по модулю.....	194
Додаток Е. Технологічна схема мультиплексора та інкриментного модуля.....	195
Додаток И. Лістинг програми розрахунку модулів та їх параметрів для спецпроцесорів різної розрядності.....	197
Додаток К. Акти впровадження результатів дисертаційної роботи.....	203
Додаток Л. Патенти України на корисну модель.....	207

ПЕРЕЛІК УМОВНИХ ПОЗНАЧЕНЬ

СЗК – система залишкових класів

ТЧБ – теоретико-числовий базис

СКС – спеціалізовані комп'ютерні системи

РКС – розподілені комп'ютерні системи

ПКД – пам'ять колективного доступу

САПР – система автоматизованого проектування

R – спецпроцесор у базисі Радемахера

C – спецпроцесор у базисі Крестенсона

G – спецпроцесор у базисі Галуа

SISD (Single Instruction stream/Single Data stream) – одиночний потік команд та одиночний потік даних;

SIMD (Single Instruction stream/Multiple Data stream) – одиночний потік команд та множинний потік даних;

MISD (Multiple Instruction stream/Single Data stream) – множинний потік команд та одиночний потік даних;

MIMD (Multiple Instruction stream/Multiple Data stream) – множинний потік команд та множинний потік даних.

ПЛІС – програмована логічна інтегральна схема

ПЗП – постійний запам'ятовуючий пристрій

ОЗП – операційний запам'ятовуючий пристрій

ГІ – генератор імпульсів

АЦП – аналого-цифровий перетворювач

АЛП – арифметико-логічний пристрій

БРСЗК- бінарно-розмежована система залишкових класів

БРЗ – багатокаскадний регістр зсуву

ВСТУП

Сучасні досягнення в області мікроелектроніки, мікропроцесорної техніки та розвитку фундаментальних досліджень в теорії та розробці алгоритмів опрацювання інформаційних потоків у різних теоретико-числових базисах (ТЧБ) [1 – 5] створюють сприятливі умови для відповідного вдосконалення та покращення системних характеристик високопродуктивних процесорів [5].

При цьому успішно вирішуються задачі підвищення ефективності формування, передавання та опрацювання інформації в розподілених, вбудованих та спеціалізованих комп'ютерних системах [6].

Важливою науковою задачею при створенні та впровадженні високопродуктивних процесорів є проблемна орієнтація їх системних характеристик на виконання арифметико-логічних та модульних операцій над великорозрядними числами, а також при вирішенні задач захисту інформації в комп'ютерних мережах [7, 8]. Актуальним, також є підвищення швидкодії рішення задач теорії чисел, наприклад, пошуку найбільших спільних дільників, китайської теореми про залишки та інших, які є важливими компонентами алгоритмів криптографії, цифрового підпису, стиснення та зменшення надлишкової інформації.

У багатьох наукових школах, українських та зарубіжних, даний клас наукових та прикладних задач традиційно вирішуються на основі двійкової системи числення ТЧБ Радемахера [9 – 12], що в значній мірі обмежує функціональні можливості процесорів при зростанні алгоритмічної складності обчислювальних задач та підвищенні швидкодії опрацювання інформаційних потоків з числами в діапазоні 100-1000 і більше біт розрядності. Успішне вирішення названого класу задач може бути досягнуто за рахунок розробки математичного апарату опрацювання інформації та створення відповідної архітектури процесорів на основі ТЧБ Хаара, Крейга, Уолша, Галуа та Крестенсона [1 – 3].

Успішне застосування базису Крестенсона та системи числення залишкових класів досягнуто при реалізації високопродуктивних процесорів у системі протиповітряної оборони колишнього Радянського Союзу [14], а також в проблемно-

орієнтованих комп'ютерних системах, які були реалізовані та впроваджені в розподілених комп'ютерних системах реального часу на об'єктах нафтогазової, атомної, енергетичної та інших галузях промисловості [15].

Досвід ефективного застосування базису Крестенсона при рішенні широкого класу задач цифрового опрацювання сигналів та цифрових даних обґрунтовує значну актуальність наукової задачі створення високопродуктивних процесорів у названому базисі. Цьому сприяють сучасні можливості технологій їх проектування на основі програмованих-логічних матриць (ПЛМ), а також на мікропроцесорних платформах відомих фірм Analog Device, Dallas Semiconductor, MAXIM, Altera, Xilinx Intel, Texas Instruments, Motorola та інших [13, 14, 16, 17].

Перспективним підходом вдосконалення методів побудови високопродуктивних процесорів є використання розмежованої системи числення ТЧБ Крестенсона [18], що базується на використанні цілочисельної, нормалізованої та досконалої форм системи залишкових класів (СЗК).

У створенні та розвитку теорії та реалізації цифрових процесорів опрацювання інформації відіграли важливу роль зарубіжні та українські вчені: Stallings W., Tanenbaum A., Patterson D., Майоров С.А., Палагін О.В., Самофалов К.Г., Мельник А.О., Тарасенко В.П., Романов В.О., Тарасов І.Є, Николайчук Я.М. [9-12, 15, 20-25]. Значний внесок у розвиток теорії побудови високопродуктивних процесорів в базисі Крестенсона зробив Акушський І.А., Брюхович Є.І., Торгашев В.А., Николайчук Я.М., Червяков Н.І., Синьков М.В. [26-31].

Актуальність теми

Розвиток теорії універсальних та спеціалізованих процесорів тісно пов'язаний з відповідним розвитком двійкової системи числення, тобто теоретико-числового базису Радемахера [31]. Сучасні досягнення у створенні високопродуктивних процесорів пов'язані з розробкою теорії паралельних обчислень, потокової та конвеєрної організації виконання програм, застосування надоперативної та асоціативної багаторівневої пам'яті, а також становлення та розробки теоретичних положень вертикальної інформаційної технології [29].

Зростаючі жорсткі вимоги до швидкодії процесорів стимулювали дослідження у застосуванні інших, відмінних від базису Радемахера, ТЧБ. Наприклад, відомі успішні застосування базису Крестенсона, математичною основою якого є розширені поля Галуа, для побудови високопродуктивних спецпроцесорів системи залишкових класів [5, 26, 30], базису Галуа, який породжує коди поля Галуа та систему числення Галуа [32-35], а також базису Уолша, який використовується при створенні комунікаційних та сигнальних процесорів у комп'ютерних мережах [2, 36]. Однак, в даних дослідженнях мало уваги приділено міжбазисним перетворенням, що особливо актуально при роботі з великорозрядними числами.

Розробка високопродуктивних процесорів опрацювання великорозрядних чисел на основі ТЧБ Крестенсона є актуальною науковою задачею, яка дозволяє вирішити завдання вдосконалення та покращення системних характеристик обчислювальних засобів, як компонентів сучасних розподілених систем, підвищення ефективності захисту інформації в комп'ютерних мережах, а також побудови швидкодіючих спецпроцесорів кореляційного, спектрального та інших застосувань опрацювання інформації.

Зв'язок роботи з науковими програмами, планами і темами.

Представлені в дисертаційній роботі дослідження виконані в рамках плану наукових досліджень на факультеті комп'ютерних інформаційних технологій кафедрою спеціалізованих комп'ютерних систем Тернопільського національного економічного університету за темами:

- «Розробка теорії та комп'ютерних засобів спеціалізованих комп'ютерних систем на основі теоретико-числових базисів Крестенсона-Галуа», державний реєстраційний номер 0106U012530;
- «Розробка теоретичних засад методів формування та цифрового опрацювання даних у розподілених спеціалізованих комп'ютерних системах», державний реєстраційний номер 0112U008458;
- НДР «Розробка алгоритмів функціонування захистів електропередач за коротких замикань на основі теорії кореляційних функцій», реєстраційний номер СКС-40-2012.

- НДР «Методи та засоби побудови безпроводних мультимедійних сенсорних мереж на основі модулярної арифметики» реєстраційний номер СКС-04-2013 «Б».

Мета і завдання дослідження. Метою роботи є вирішення наступних науково-технічних завдань:

- 1) систематизувати характеристики, проаналізувати сфери застосування процесорів, реалізованих у різних ТЧБ, та дослідити особливості і переваги машинної арифметики СЗК з метою визначення перспективи застосування перетворень базису Крестенсона для розв'язання задач з великою обчислювальною складністю;
- 2) дослідити арифметику та форми СЗК і розробити методи приведення СЗК до досконалої форми з метою спрощення часової та апаратної складності процесорів опрацювання великорозрядних чисел;
- 3) розробити метод виконання операції модулярного множення у обмеженій матрично-модульній системі числення;
- 4) розробити метод високопродуктивного перетворення чисел з базису Радемахера в базис Крестенсона на основі модулів пам'яті;
- 5) розробити метод швидкодіючого перетворення чисел з позиційної системи базису Радемахера в систему залишкових класів базису Крестенсона;
- 6) вдосконалити метод кодування, модульного сумування та множення у теоретико-числовому базисі Хаара-Крестенсона;
- 7) дослідити алгоритми ділення та модулярного експоненціювання у базисі Крестенсона;
- 8) розробити апаратні структури та дослідити характеристики компонентів спецпроцесорів у базисі Крестенсона;
- 9) розробити структурні та принципові рішення спецпроцесорів опрацювання великорозрядних чисел базису Крестенсона;
- 10) розробити та реалізувати у промисловості програмно-апаратні засоби опрацювання цифрових даних у базисі Крестенсона.

Об'єктом дослідження є процеси цифрового опрацювання великорозрядних чисел високопродуктивними спеціалізованими процесорами у базисі Радемахера-Крестенсона.

Предметом дослідження є методи, способи та засоби опрацювання великорозрядних чисел та міжбазисних перетворень Радемахера-Крестенсона.

Методи дослідження базуються на використанні теорії інформації, теорії чисел та кодування даних, теорії комп'ютерної логіки та теорії цифрового опрацювання даних. Розробка технічних засобів здійснювалась з використанням методів імітаційного моделювання автоматизованого проектування схемо- та системотехніки.

Наукова новизна одержаних результатів полягає в розвитку методів та програмно-апаратних засобів для опрацювання великорозрядних чисел на основі теоретико-числового базису Крестенсона.

Основні результати і положення, що виносяться на захист, спрямовані на створення програмно-апаратних засобів опрацювання цифрових даних у базисі Крестенсона.

1. Вперше розроблено:

- метод виконання операції модулярного множення у розмежованій матрично-модульній системі числення, який, у порівнянні з відомими, відрізняється тим, що кожен елемент матриці, який відповідає двійковому розряду 2^i , представляється кодом залишку по модулю P , а операція множення виконується шляхом додавання текучих залишків першого числа з їх подвоєними значеннями по модулю P , які відповідають одиничним елементам коду другого числа, що дозволяє зменшити обчислювальну складність модульних операцій множення та експоненціювання на 2-3 порядки;
- метод перетворення чисел з базису Радемахера в базис Крестенсона рекурентним скануванням двійкових чисел, починаючи зі старшого розряду, що, на відміну від відомих перетворень, шляхом адресної вибірки кодів залишків із модуля пам'яті, виключає операції порівняння та віднімання великорозрядних двійкових

чисел з наскрізними переносами і дозволяє підвищити швидкодію міжбазисного перетворення пропорційно розрядності двійкового числа;

- метод швидкодіючого перетворення чисел з позиційної системи базису Радемахера в систему залишкових класів базису Крестенсона, який, на відміну від відомих, шляхом бінарного розмежування, мультиплексування та рандомізації кодів залишків по модулю дозволяє максимально розпаралелити процес визначення кінцевого залишку, швидкодія якого не залежить від розрядності перетворюваних двійкових чисел.

2. Отримав подальший розвиток метод кодування, модульного сумування та множення у теоретико-числовому базисі Хаара-Крестенсона, який відрізняється від відомих представленням цифрових даних у системі взаємопростих модулів базису Крестенсона залишками в кодах базису Хаара, що дозволило замінити обчислювальні операції сумування та множення над двійковими числами матрично-модульними операціями над кодами Хаара і зменшити обчислювальну складність арифметичних операцій на два-три порядки, пропорційно розрядності кодів вхідних даних.

Практичне значення отриманих результатів

1. Розроблений пристрій визначення залишків багаторозрядного числа, який формує коди залишків розмежованої матрично-модульної системи числення у базисі Радемахера-Крестенсона, який, у порівнянні з відомими аналогами, шляхом заміни великорозрядного двійкового суматора однорозрядним повним суматором та регістрами зсуву, характеризується підвищеною швидкістю та зменшеною апаратною складністю, що розширює його функціональні можливості при опрацюванні великорозрядних чисел у задачах шифрування інформаційних потоків.

2. Розроблено спецпроцесор на основі запропонованого способу визначення залишку двійкового числа шляхом рекурентного сканування великорозрядних чисел базису Радемахера, що у порівнянні з аналогами дозволило підвищити на 2-3 порядки швидкодію визначення залишків чисел по модулю за рахунок застосування модуля пам'яті і виключити наскрізні переноси, які виникають у багаторозрядних суматорах існуючих процесорів.

3. Розроблено високопродуктивний спецпроцесор міжбазисного перетворення Радемахера-Крестенсона, що, у порівнянні з відомими аналогами, шляхом мультиплексування та рандомізації розмежованих залишків дозволило досягнути максимальної швидкодії визначення кодів залишків, у системі взаємопростих модулів, з часовою складністю перемикання двох послідовно з'єднаних логічних вентилів, незалежно від розрядності перетворюваного двійкового числа.

4. Розроблений швидкодіючий спецпроцесор кореляційного опрацювання сигналів на основі кодування, модульного сумування та множення у теоретико-числовому базисі Хаара-Крестенсона, що дозволило реалізувати однотактні модульні операції додавання та множення на вентильних матрицях і на 2-3 порядки підвищити швидкодію кореляційного опрацювання сигналів у порівнянні з аналогічними процесорами у базисі Радемахера.

Теоретичні та практичні результати роботи використано та впроваджено:

1. В Інституті мікропроцесорних систем керування об'єктами електроенергетики КД ЦІЗІТ НАН України (м.Львів) в інформаційно-діагностувальній системі моніторингу стану ізоляції в електромережах 6-35 кВ на об'єктах ВАТ ЕК «Львівобленерго» (акт від 03.12.2012р.).

2. У Тернопільському конструкторському бюро радіозв'язку «СТРІЛА» при реалізації спецпроцесорів перетворення великорозрядних чисел двійкової системи числення у систему залишкових класів (акт від 30.11.2012р.).

3. На кафедрі спеціалізованих комп'ютерних систем Тернопільського національного економічного університету при викладанні дисциплін: “Комп'ютерна логіка”, “Цифрова обробка сигналів і зображень”, “Теорія джерел інформації”, “Спецпроцесори в різних теоретико-числових базисах” для студентів спеціальностей 8.05010203 - “Спеціалізовані комп'ютерні системи” та 8.05010201 - “Комп'ютерні системи та мережі” (акт від 18.12.2012р.).

Особистий внесок здобувача. Основний зміст роботи, наукові положення та результати сформульовано та вирішено автором самостійно. Внесок здобувача полягає в аналізі сучасного стану рішення науково-технічної задачі, розробці основних ідей, методик досліджень, структурних, принципівих та алгоритмічних

рішень, організації експериментів, виготовленні дослідного взірця спецпроцесора, а також в розробці необхідного для дослідження програмного забезпечення. У публікаціях, написаних у співавторстві, здобувачеві належить:

[24] – запропонований спосіб перевірки подільності чисел на прості модулі; [37] – виконана функціональних можливосте арифметики в базисах Радемахера та Крестенсона; [67] – проаналізовано ТЧБ Радемахера та Крестенсона; [78] – запропоновано процедуру розмежування розрядної сітки процесора у базисі Радемахера-Крестенсона; [87] – запропоновано алгоритм порівняння в досконалій системі залишкових класів; [86] – запропоновано застосування розмежованої системи числення для опрацювання великорозрядних чисел; [89] – запропоновано використання матричного перемножувача базису Хаара; [90] – запропоновано структуру пристрою визначення залишку багаторозрядного числа; [91] – запропоновано алгоритм отримання залишку двійкового числа; [111] – запропоновано структуру рандомізатора міжбазисного перетворювача Радемахера-Крестенсона; [112] – запропоновано структуру матрично-модульного перемножувача в базисі Хаара; [113] – проаналізовано структуру модульних шифраторів Радемахера-Крестенсона; [114] – виконано теоретичні дослідження арифметико-логічних операцій у базисі Крестенсона; [117] – досліджено пряме перетворення системи залишкових класів; [119] – запропоновано блок-схему алгоритму пошуку залишків великорозрядних чисел Мерсена по простих модулях; [120] – проаналізовано міжбазисні перетворення Радемахера-Крестенсона; [121] – отримано аналітичні вирази оцінки швидкодії виконання арифметичних операцій в базисі Радемахера, Крестенсона та Галуа; [122] – запропоновано блок-схему мультибазисного багатofункціонального спецпроцесора.

Основні результати дисертації доповідались та обговорювались на: міжнародному симпозіумі «Питання оптимізації обчислень» (ПОО - XXXV). – Київ, 2009; 4-й Міжнародній науково-технічній конференції Advanced Computer Systems and Networks: Design and Application (ACSN). – Львів, 2009; 10-й міжнародній конференції „Modern problems of radioengineering, telecommunications and computer science”. – Львів-Славське, 2010; міжнародній проблемно-науковій міжгалузевій

конференції «Інформаційні проблеми комп'ютерних систем, юриспруденції, енергетики, економіки, моделювання та управління». – Бучач-Східниця, 2010; XIth International conference «The experience of designing and application of CAD systems in micro-electronics». – Lviv, 2011; міжнародній молодіжній математичній школі “Питання оптимізації обчислень (ПОО-XXXVII)” – Київ, 2011; проблемно-науковій міжгалузевій конференції «Юриспруденція та проблеми інформаційного суспільства» (ЮПІС - 2011) - Ярема, 2011; the 5-th IEEE International Workshop on Intelligent Data Acquisition and Advanced Computing Systems: Technology and Applications (IDAACS'2011) - Praga, 2011; міжнародній конференції Modern Problems of Radio Engineering, Telecommunications and Computer Science (TCSET 2012). – Львів-Славське, 2012.

Публікації. За матеріалами дисертації опубліковано 26 друкованих праць, серед яких 13 статей, з них 7 у фахових наукових виданнях (2 одноосібні), 4 патенти України на корисну модель, 9 робіт опубліковано у збірниках матеріалів конференцій.

Структура та обсяг дисертації. Дисертація складається зі вступу, чотирьох розділів, висновків та додатків (210 ст.). Основний зміст дисертаційної роботи викладений на 145 сторінках. Дисертація містить 65 рисунків, 29 таблиць та 154 посилання на джерела.

РОЗДІЛ 1

АНАЛІЗ ХАРАКТЕРИСТИК ПРОЦЕСОРІВ У РІЗНИХ ТЕОРЕТИКО-ЧИСЛОВИХ
БАЗИСАХ

1.1 Систематизація характеристик та застосування процесорів, реалізованих на основі різних теоретико-числових базисів

Сучасний розвиток мікропроцесорних засобів опрацювання інформації показує широку сферу їх застосування у різних галузях науки, промисловості та суспільства. В основу методів побудови універсальних та спеціалізованих процесорів покладені фундаментальні засади здійснення алгоритмів виконання обчислювальних арифметико-логічних та комунікаційних операцій у різних теоретико-числових базисах. При цьому, широке застосування отримали наступні ТЧБ: унітарний, Хаара, Крейга, Радемахера, Крестенсона, Уолша, Галуа [1]. В останні роки при побудові проблемноорієнтованих спецпроцесорів, реалізації швидких перетворень опрацювання зображень, цифрової топографії, томографії використовуються комбінації дискретних перетворень: Хаара-Уолша [1, 2], Хаара-Радемахера, Хаара-Крестенсона [36] та інші.

Історично склалася ситуація, що реалізація процесорів універсального застосування виконано виключно у базисі Радемахера, і цей базис масово використовується практично у всіх сучасних універсальних процесорах та інформаційних системах [26].

В залежності від архітектури існує класифікація процесорів даного класу (рис.1.1) [31]. При цьому, слід відмітити, що процесори з зірково-магістральною архітектурою, як показано в роботах [5, 66, 115, 118, 123], є мультибазисними і мають структуру, показану на рис.1.2.

Функціональною перевагою мультибазисних процесорів є можливість значного підвищення швидкодії опрацювання інформаційних потоків шляхом розпаралелення та перерозподілу виконання окремих арифметико-логічних операцій, які виконуються найшвидше в різних ТЧБ. Наявність ПКД на основі асоціативної пам'яті з паралельним доступом та зірково-магістральної топології дозволяє глибоко

розпаралелити операції обміну даними між процесорами. Отже, перспектива створення високопродуктивних мультибазисних процесорів визначає актуальну наукову задачу, пов'язану з максимальним підвищенням швидкодії прямих та зворотних міжбазисних перетворень Радемахера-Крестенсона-Галуа та ін.



Рисунок 1.1 - Класифікація процесорів цифрового опрацювання даних

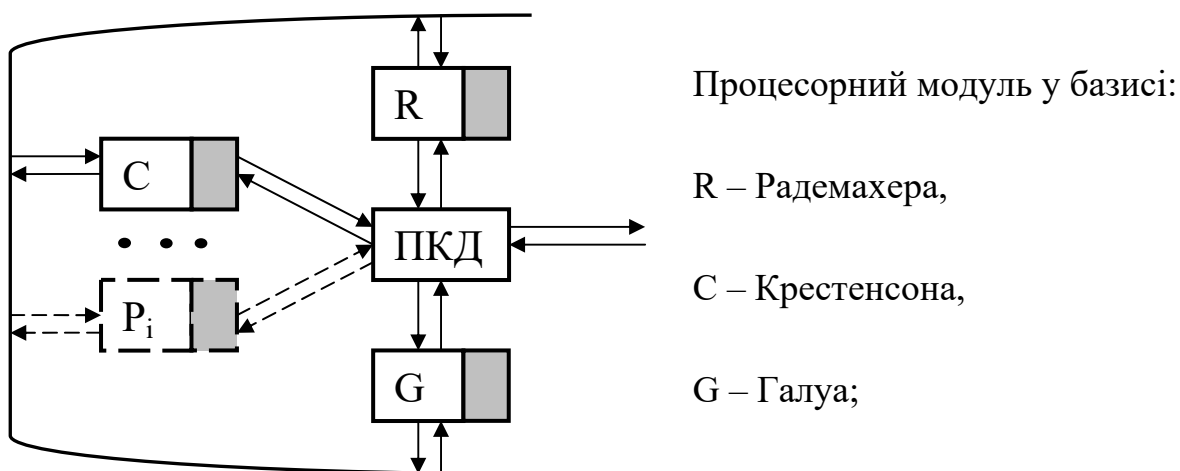


Рисунок 1.2 - Структурна схема мультибазисного процесора

Аналіз системних характеристик, сфери застосування та архітектур процесорів, які, крім базису Радемахера, застосовують інші ТЧБ, як показано в роботі [37], дозволяє їх систематизувати по ознаках використовуваних ортогональних функцій (рис.1.3).

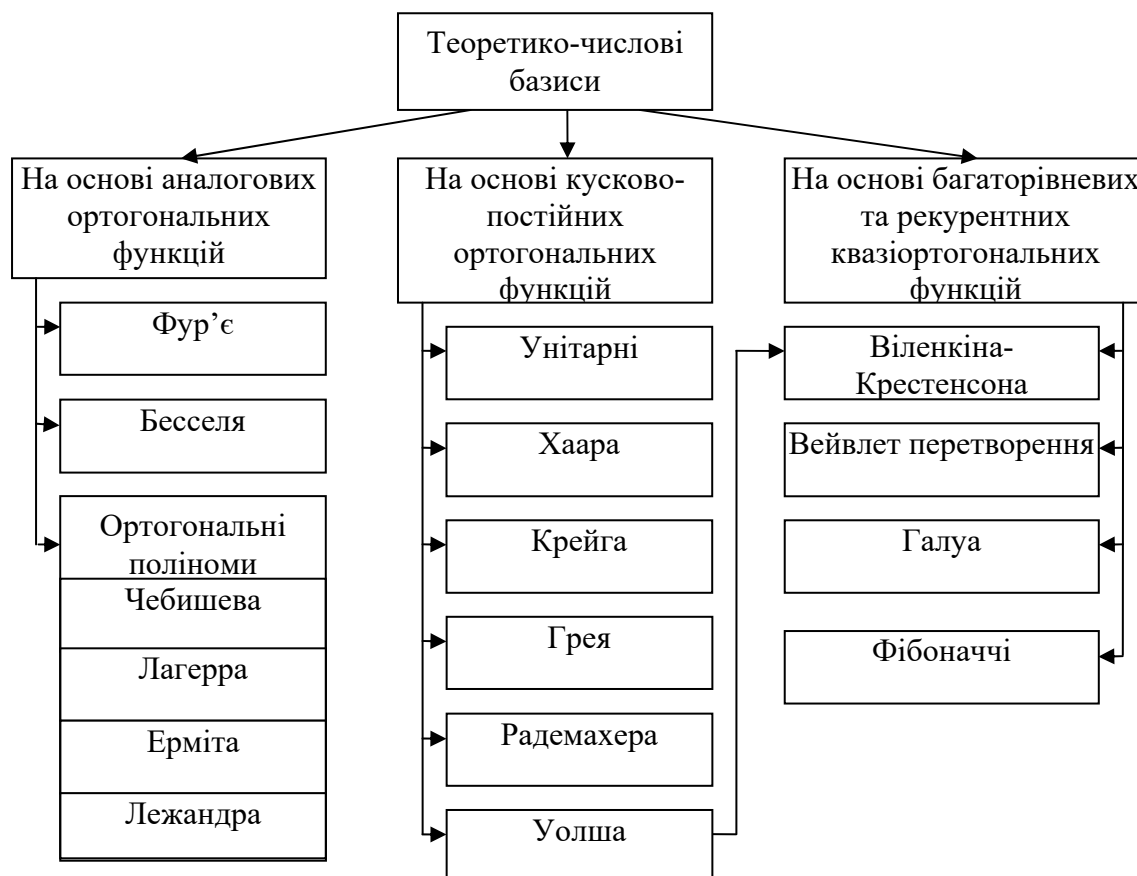


Рисунок 1.3 - Класифікація процесорів у різних ТЧБ та функціональні зв'язки міжбазисних перетворень

Аналіз процесорів, згідно систематизації (див. рис.1.3) [7, 12, 21, 22, 33], показує, що в ТЧБ:

- унітарному реалізовані високопродуктивні спецпроцесори кореляційного опрацювання сигналів при обчисленні структурної, модульної та еквівалентної функцій автокореляції;
- Хаара – знакова, релейна та структурна функції кореляції;
- Радемахера – коваріаційна та кореляційна функції;
- Крестенсона – коваріаційна функція;

згідно табл.1.1, де n – об’єм вибірки; x_i, x_i^0 – відповідно нецентрований та центрований цифровий відлік; j – дискретний зсув, M_x – математичне сподівання; D_x – дисперсія; \check{Z}_{xx} – цифрове значення «менше з двох» x_i, x_{i+j} [5, 38-40].

Таблиця 1.1 - Дискретні кореляційні функції

Кореляційна функція	Автокореляційна функція
Знакова	$H_{xx}(j) = \frac{1}{n} \sum_{i=1}^n \text{sign}(x_i^0) \cdot \text{sign}(x_{i+j}^0)$
Релейна	$B_{xx}(j) = \frac{1}{n} \sum_{i=1}^n x_i^0 \cdot \text{sign}(x_{i+j}^0)$
Коваріаційна	$K_{xx}(j) = \frac{1}{n} \sum_{i=1}^n x_i \cdot x_{i+j}$
Кореляційна	$R_{xx}(j) = \frac{1}{n} \sum_{i=1}^n x_i^0 \cdot x_{i+j}^0$
Структурна	$C_{xx}(j) = \frac{1}{n} \sum_{i=1}^n (x_i - x_{i+j})^2$
Модульна	$G_{xx}(j) = \frac{1}{n} \sum_{i=1}^n x_i - x_{i+j} $
Еквівалентності	$F_{xx}(j) = \frac{1}{n} \sum_{i=1}^n \check{Z}_{xx}$

Відомі реалізації процесорів у базисі Хаара при обчисленні структурної кореляційної функції [41, 42]. Перевагою базису Хаара є можливість побудови спецпроцесора з високою швидкістю шляхом аналого-цифрового перетворення вхідних даних у базис Хаара, а також високої швидкодії виконання арифметико-логічних операцій у базисі Хаара. Недоліком таких процесорів є апаратна складність, зумовлена надлишковістю кодування даних у базисі Хаара при високій точності представлення даних x_i .

Перевагою даних процесорів є регулярність архітектури та глибокий рівень розпаралелення обчислювальних процесів за рахунок того, що на інтервалі аналого-цифрового перетворення розгортуючого типу одночасно відбувається процес запису даних у багатоканальний регістр зсуву, зсув інформації в регістрі, обчислення квадратів різниць $(x_i - x_{i+j})^2$, модульних різниць $|x_i - x_{i+j}|$ та цифрових значень \check{Z}_{xx} , а

також паралельне накопичення в кожному з каналів сум обчислених значень та виконання операції ділення.

Недоліком таких процесорів є використання унітарного базису, що приводить до значної апаратної складності та низької швидкодії. Даний клас процесорів знайшов широке застосування в оптоелектроніці, розпізнаванні зображень [43, 44].

Застосування різних ТЧБ для перетворення, передавання та опрацювання інформаційних потоків в сучасних комп'ютерних системах показує, що:

1) унітарний базис найширше застосовується в інформаційно-вимірювальних системах при реалізації багатоканальних АЦП розгортуючого типу, в спецпроцесорах цифрової томографії та оптоелектронних процесорах розпізнавання зображення [43, 44];

2) базис Хаара широко використовується для реалізації процесорів швидких Вейвлет-перетворень, а також організації доступу інформації в базах даних на основі інформаційних вікон [2, 3];

3) базис Крейга [45] широко використовується в інформаційно-вимірювальних системах та око-процесорах [43];

4) в базисі Радемахера [9, 31] реалізована виключна більшість універсальних процесорів комп'ютерної та комунікаційної техніки, а також сигнальних процесорів різних застосувань [46-49];

5) найпоширеніше базис Уолша застосовується для цифрового опрацювання та стиснення зображень [50];

6) базис Крестенсона, який породжує систему числення залишкових класів, знайшов успішне застосування для побудови спецпроцесорів стиснення інформації [28], реалізації високопродуктивних процесорів опрацювання інформаційних потоків в системах протиповітряної оборони та опрацювання великорозрядних чисел в системах криптозахисту інформації [51];

7) базис Галуа, серед відомих базисів отримав, особливо широке застосування для побудови спецпроцесорів та рішення прикладних задач в системах перетворення та передавання інформації [5, 33, 83, 84];

8) аналого-цифрового перетворення та кодування інформації [52, 53];

- 9) передавання інформації на основі кодів Баркера та М-последовностей [54-56];
 10) стиснення інформації [57, 58].

В якості теоретико-числового базису кодування даних та реалізації процесорів провідні світові виробники (Intel, Texas Instruments, Analog Device, Motorola та інші) використовують двійкову систему числення базису Радемахера [59-64]. У табл.1.2 [31] приведені характеристики зростання тактової частоти роботи універсальних процесорів базису Радемахера, а на рис.1.4 [31] показано порівняння продуктивності процесорів та пам'яті на прикладі фірми Intel.

Таблиця 1.2 - Характеристики тактової частоти роботи універсальних процесорів базису Радемахера

Роки	1980	1985	1990	1995	2000	2005	2010
Тип процесора	8080	286	386	Pentium	P1П	P-IV	Pentium Core
Тактова частота (МГц)	1	6	20	150	750	3800	4400
Час одного такту (не)	1 000	166	50	6	1.6	0.26	0.22

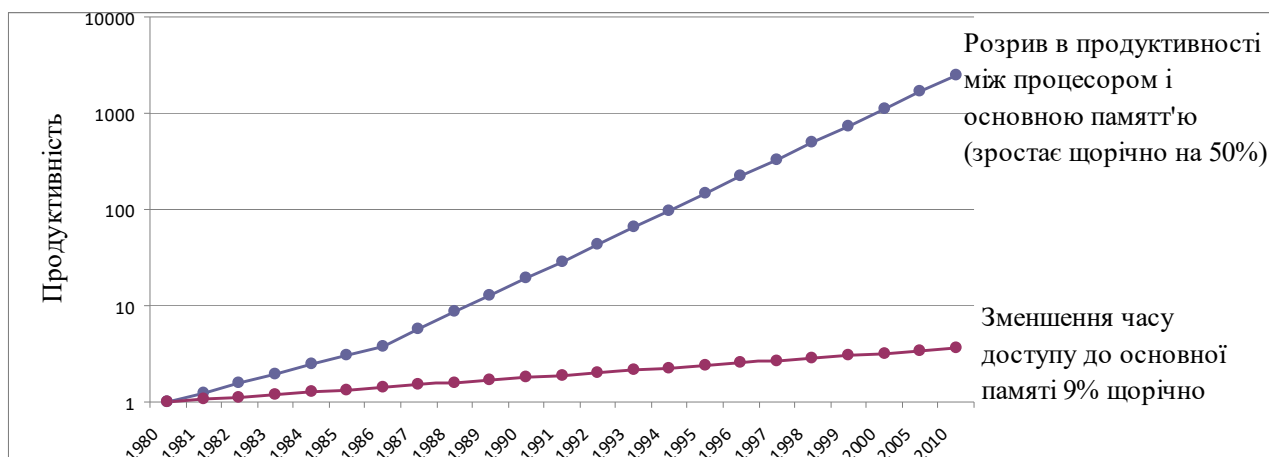


Рисунок 1.4 - Характеристики продуктивності процесорів та пам'яті базису Радемахера

Значні успіхи досягнені при побудові спецпроцесорів на основі комбінованого використання різних ТЧБ, наприклад Хаара-Крестенсона, Крестенсона-Галуа [65], а також реалізації високопродуктивних мультибазисних

RCG-процесорів на основі базисів Радемахера, Крестенсона та Галуа [66]. Оскільки обчислювальні операції модульної арифметики, які виконуються за один такт, найбільш швидкодійні у базисі Крестенсона, то поглиблення теоретичних засад реалізації арифметики базису Крестенсона є найбільш перспективним фактором вдосконалення та покращення системних характеристик широкого спектру спецпроцесорів сучасних комп'ютерних систем, що визначає високий рівень актуальності дослідження в цьому напрямку.

1.2 Теоретико-числові базиси, які породжують системи числення, та їх кодові матриці

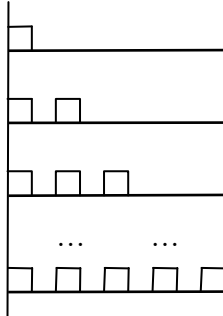
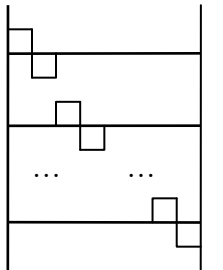
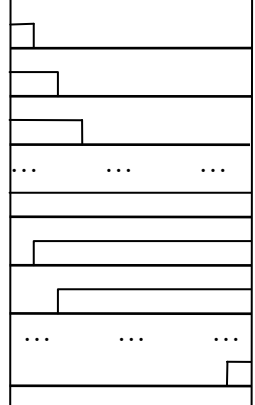
В сучасних системах кодування та опрацювання інформації широко використовуються теоретико-числові базиси на основі дискретних кусково-постійних ортогональних функцій. До таких теоретико-числових базисів належать:

унітарний - $(Uni(n, \theta, i))$;	Радемахера - $Rad(n, \theta)$;
Хаара - $Har(n, \theta, i)$;	Крестенсона - Kr ;
Крейга - $Crg(n, \theta)$;	Галуа - G .
Уолша - $Had(h, x)$;	

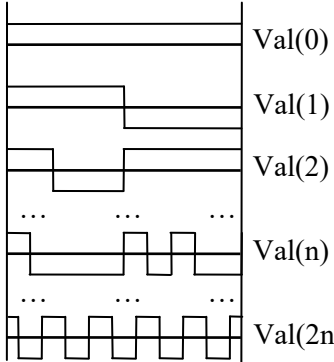
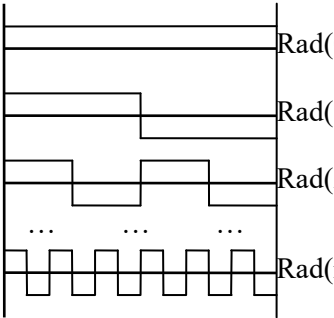
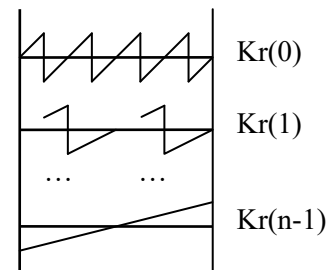
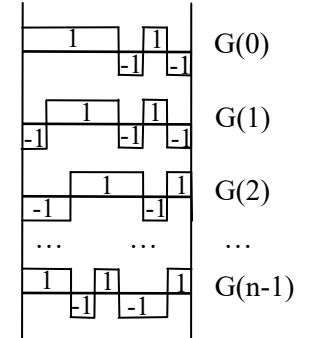
Серед названих ТЧБ системи числення породжують наступні: унітарний, Хаара, Радемахера, Крестенсона та Галуа. Оскільки ортогональні функції ТЧБ представляються у нормованому діапазоні $[+1;-1]$, то для утворення кодової матриці відповідного базису необхідно замінити $[-1]$ на $[+1]$, а $[+1]$ на $[0]$. У результаті такого транспонування утворюється кодова система ТЧБ у логічному Булевому базисі.

Систематизація характеристик ортогональних функцій та кодових матриць в ТЧБ, які породжують системи числення, приведена в табл.1.3 [34, 67].

Таблиця 1.3 - Систематизація характеристик та кодових матриць ТЧБ

Базис та його ортогональні функції	Базисна функція	Кодова матриця
1	2	3
<p>Унітарний</p>  <p>Uni(0) Uni(1) Uni(2) ... Uni(n)</p>	$Uni(n, \theta, i) = \text{sign}[\sin(2^n \pi(\theta + i \cdot 2^{-n}))]$	$M_{Uni} = \begin{pmatrix} 0 & 0 & 0 & \dots & 0 & 0 & 0 \\ 1 & 0 & 0 & \dots & 0 & 0 & 0 \\ 1 & 1 & 0 & \dots & 0 & 0 & 0 \\ 1 & 1 & 1 & \dots & 0 & 0 & 0 \\ \dots & \dots & \dots & \dots & \dots & \dots & \dots \\ 1 & 1 & 1 & \dots & 1 & 0 & 0 \\ 1 & 1 & 1 & \dots & 1 & 1 & 0 \\ 1 & 1 & 1 & \dots & 1 & 1 & 1 \end{pmatrix}$
<p>Хаара</p>  <p>Har(0) Har(1) ... Har(n)</p>	$Har(n, \theta, i) = \text{sign}[\sin(i2^n \pi, \theta)]$	$M_{Har} = \begin{pmatrix} 0 & 0 & 0 & \dots & 0 & 0 & 0 \\ 1 & 0 & 0 & \dots & 0 & 0 & 0 \\ 0 & 1 & 0 & \dots & 0 & 0 & 0 \\ 0 & 0 & 1 & \dots & 0 & 0 & 0 \\ \dots & \dots & \dots & \dots & \dots & \dots & \dots \\ 0 & 0 & 0 & \dots & 1 & 0 & 0 \\ 0 & 0 & 0 & \dots & 0 & 1 & 0 \\ 0 & 0 & 0 & \dots & 0 & 0 & 1 \end{pmatrix}$
<p>Крейга</p>  <p>Crg(0) Crg(1) Crg(2) ... Crg(n-2) Crg(n-1) Crg(n) ... Crg(2n)</p>	$Crg(n, \theta) = \text{sign}[\sin((2^n - 1) \times \pi \cdot \theta)]$	$M_{Crej} = \begin{pmatrix} 1 & 0 & 0 & \dots & 0 & 0 & 0 \\ 1 & 1 & 0 & \dots & 0 & 0 & 0 \\ 1 & 1 & 1 & \dots & 0 & 0 & 0 \\ \dots & \dots & \dots & \dots & \dots & \dots & \dots \\ 1 & 1 & 1 & \dots & 1 & 1 & 1 \\ 0 & 1 & 1 & \dots & 1 & 1 & 1 \\ 0 & 0 & 1 & \dots & 1 & 1 & 1 \\ \dots & \dots & \dots & \dots & \dots & \dots & \dots \\ 0 & 0 & 0 & \dots & 0 & 0 & 1 \end{pmatrix}$

Продовження таблиці 1.3

1	2	3
<p>Уолша</p> 	$Had(h, x) = \prod_{i=1}^K [ri(x)]hi$	$M_{Uolh} = \begin{vmatrix} 0 & \dots & 0 & 0 & 0 & 0 & 0 \\ 0 & \dots & 0 & 1 & 1 & 1 & 1 \\ 1 & \dots & 0 & 0 & 0 & 1 & 1 \\ 1 & \dots & 0 & 1 & 1 & 0 & 0 \\ \dots & \dots & \dots & \dots & \dots & \dots & \dots \\ 1 & \dots & 0 & 0 & 1 & 0 & 1 \\ \dots & \dots & \dots & \dots & \dots & \dots & \dots \\ 1 & \dots & 0 & 1 & 0 & 1 & 0 \end{vmatrix}$
<p>Радемахера</p> 	$Rad(n, \theta) = sign[2^n \pi \cdot \theta]$	$M_{Rad} = \begin{vmatrix} 0 & 0 & 0 & \dots & 0 & 0 & 0 \\ 0 & 0 & 0 & \dots & 0 & 0 & 1 \\ 0 & 0 & 0 & \dots & 0 & 1 & 0 \\ 0 & 0 & 0 & \dots & 0 & 1 & 1 \\ \dots & \dots & \dots & \dots & \dots & \dots & \dots \\ 1 & 1 & 1 & \dots & 1 & 1 & \\ 1 & 1 & 1 & \dots & 1 & 1 & 1 \end{vmatrix}$
<p>Крестенсона</p> 	$Kr = res \sum_{i=1}^n (B_i \cdot b_i) \mod P$ $b_i = res N_i (\mod p_i)$	$M_{Cres} = \begin{vmatrix} P_1 & P_2 & \dots & P_n \\ 0 & 0 & \dots & 0 \\ 1 & 1 & \dots & 1 \\ 2 & 2 & \dots & 2 \\ 0 & 3 & \dots & 3 \\ \dots & \dots & \dots & \dots \\ b_1 & b_2 & \dots & b_n \end{vmatrix}$
<p>Галуа</p> 	$N_j = f(C_{j-n-1}, \dots, C_{j-1}, C_j),$ $G = res \sum_{j=0}^{n-1} C_{j-1} \cdot A (\mod 2)$	$M_G = \begin{vmatrix} 0 \\ 0 \\ \dots \\ 0 \\ 1 \\ \dots \\ 1 \\ 1 \end{vmatrix}$

Кожен з названих базисів характеризується визначеним об'ємом кодової матриці для представлення даних [33]. При цьому найбільш надлишковим базисом є унітарний, в якого кодова матриця $V = N^2$, а число активних кодових елементів $n = N^2 / 2$, де N – діапазон кодування даних. Аналогічну надлишковість забезпечує базис Хаара, в два рази меншу надлишковість забезпечує базис Крейга, тобто $V = N^2 / 4$, а $n = N^2 / 8$. Максимально широке застосування для кодування даних в сучасних комп'ютерних системах (КС) отримали базиси Радемахера та Крестенсона, в яких $V = N \log_2 N$. Дані базиси, відповідно, породжують двійкову систему числення та систему числення залишкових класів [25].

Базис Уолша максимально широко використовується в сучасних телекомунікаційних КС. Даний базис породжує систему ортогональних шумоподібних сигналів, які використовуються в сотових системах мобільного зв'язку [83-86].

Найменшу надлишковість кодування даних забезпечує базис Галуа, кодова матриця якого $V = N$, а $n = N / 2$.

З табл.1.3. видно, що найбільш компактні кодові матриці формують системи ортогональних функцій базисів Радемахера, Крестенсона та Галуа. При чому кожен з названих базисів породжує окрему систему числення, яка використовується для реалізації арифметики відповідних універсальних та спеціальних процесорів.

1.3 Формалізація графів мікропрограм арифметичних модулів процесорів різних ТЧБ та оцінка їх обчислювальної складності

Широке застосування базису Радемахера ґрунтується на досить простій реалізації арифметики позиційної двійкової системи числення, яка включає вісім базових операцій:

- | | |
|-------------------|---------------------------------|
| 1) додавання «+»; | 5) знакова (старшинства) «< >»; |
| 2) зсув «→ ←»; | 6) віднімання «-»; |
| 3) множення «×»; | 7) ділення «/»; |

4) рівності « \Rightarrow »;

8) модульна «mod».

Важливе значення також має програмно-апаратна, структурна та обчислювальна складність міжбазисних перетворень в середовищі досліджуваних ТЧБ.

З метою підвищення ефективності міжбазисних перетворень запропонована бінарно-розмежована система числення залишкових класів (БРСЗК) [68].

Продуктивність процесорів, які реалізуються в різних ТЧБ, перш за все, визначаються аналітикою арифметико-логічних операцій та структурою арифметичного модуля.

Структурна схема арифметичного модуля в базисі Радемахера представлена на рис.1.5 [9, 75, 76].

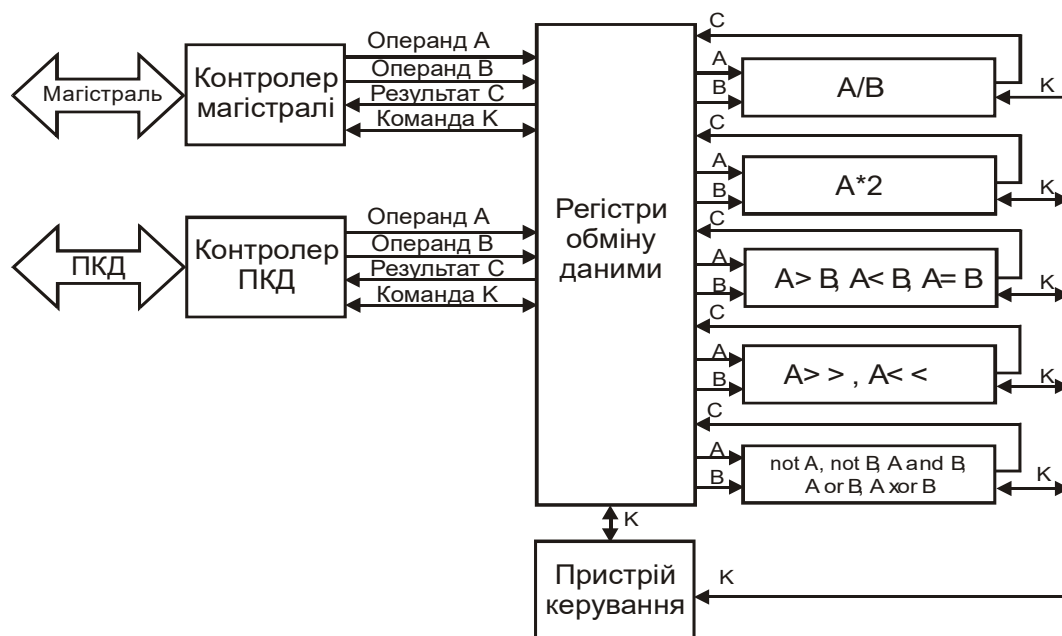


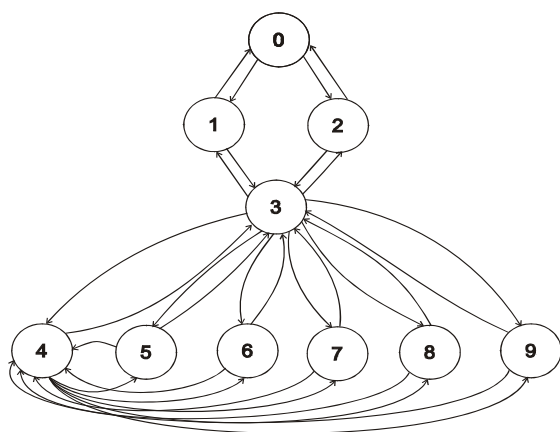
Рисунок 1.5 - Структурна схема арифметичного модуля в кодовому базисі Радемахера

До складу арифметичного модуля в кодовому базисі Радемахера входять такі функціональні елементи: пристрій керування; контролер магістралі; контролер ПКД; регістри обміну даними; блоки операцій ділення, множення на 2, порівняння, зсуву та логічних операцій; шини даних та команд.

Схема працює наступним чином: контролери ПКД та магістралі здійснюють моніторинг пакетів даних і при виявленні пакету, призначеного для арифметичного

модуля Радемахера, здійснюють його декодування і запис операндів A , B та команди K_i у відповідні регістри обміну даними. Пристрій контролю генерує сигнал активації для відповідного блоку виконання операцій і переходить у стан очікування.

Після виконання логіко-арифметичних дій над операндами A і B блок виконання операцій заносить результат C у відповідний регістр та повідомляє пристрій керування про завершення операції. Пристрій керування записує результат C в буфер контролера ПКД або магістралі в залежності від вимоги. Приклад реалізації процесу роботи модуля можна представити у вигляді графа мікропрограми (рис.1.6) [75]:



- 0 – Ініціалізація арифметичного модуля;
- 1 – Контроль та обмін даними з ПКД;
- 2 – Контроль та обмін даними з магістраллю;
- 3 – Операції регістру обміну даними;
- 4 – Операції пристрою керування;
- 5 – Арифметичне ділення;
- 6 – Множення на 2;
- 7 – Операції порівняння;
- 8 – Операції зсувів;
- 9 – Логічні операції;

Рисунок 1.6 - Граф мікропрограми функціонування арифметичного модуля в базисі Радемахера

Вершинам графу присвоєні номери 0, 1, ..., 9, що відповідає кожному функціональному елементу, який виступає оператором модуля арифметичних операцій.

За допомогою даної графової моделі обчислюється тривалість виконання мікропрограм для виконання операцій ділення, множення на 2, порівняння, зсуву та логічних операцій в базисі Радемахера.

Кожній вершині присвоюється T_i - час виконання такту мікрооперації у залежності від тактової частоти процесора (0,01; 0,1; 1 ГГц) і вимірюється відповідно в мілі-, мікро- та наносекундах, згідно виразу [9]:

$$T_i = \tau_i + \vartheta_i, \quad (1.1)$$

де τ_i, ϑ_i - відповідно інтервали часу ініціювання та виконання мікрооперації.

Якщо такт T_i має змінну тривалість, то вершина T_i позначається трьома можливими значеннями ($T_i = T_{\min}, T_i = \bar{T}, T_i = \max$).

Тривалість виконання мікропрограми визначається сумою тривалості тактів:

$$t = \sum_{i=1}^m n_i T_i, \quad (1.2)$$

де n_i - кількість звернень до i -го оператора.

Згідно (1.1) та (1.2) обчислюється час виконання мікропрограм для арифметичного модуля в базисі Радемахера (1 – процес ініціалізація арифметичного модуля, 2 – процес контролю та обміну даними з ПКД та магістраллю, 3 – процес виконання операцій регістру обміну даними, 4 – процес виконання операцій пристрою керування, 5 – процес виконання арифметичних операцій)

На діаграмі (рис. 1.7) [76] показано часові характеристики виконання мікропрограм в базисі Радемахера.

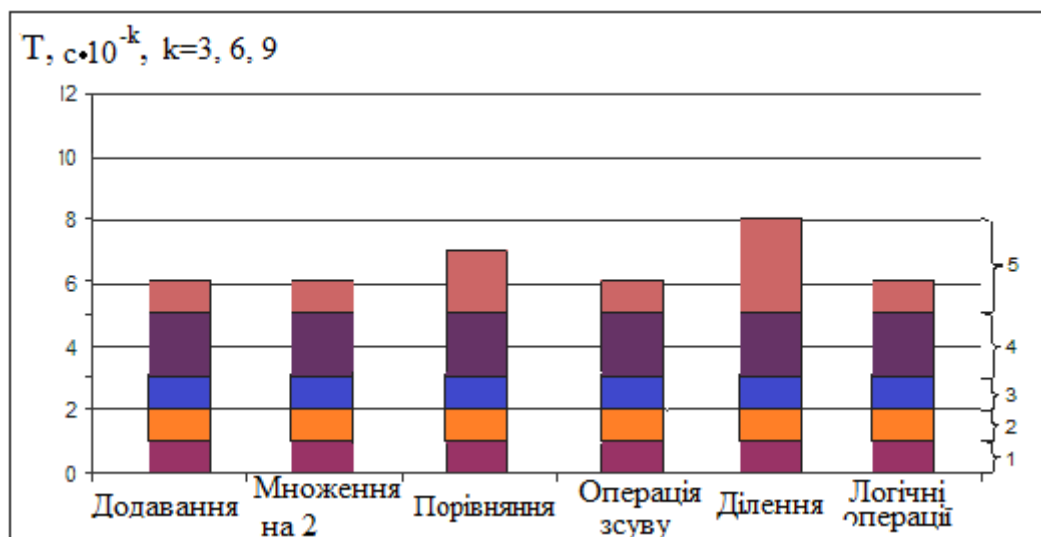


Рисунок 1.7 - Часові характеристики виконання мікропрограм арифметичного модуля в базисі Радемахера

Проведемо аналіз виконання мікропрограм для модуля в базисі Крестенсона. Даний модуль виконує тільки дві базові арифметичні операції додавання і множення, оскільки ці операції найефективніше і найпростіше реалізуються в СЗК [69-74].

Структурна схема арифметичного модуля в базисі Крестенсона представлена на рис.1.8 [69].

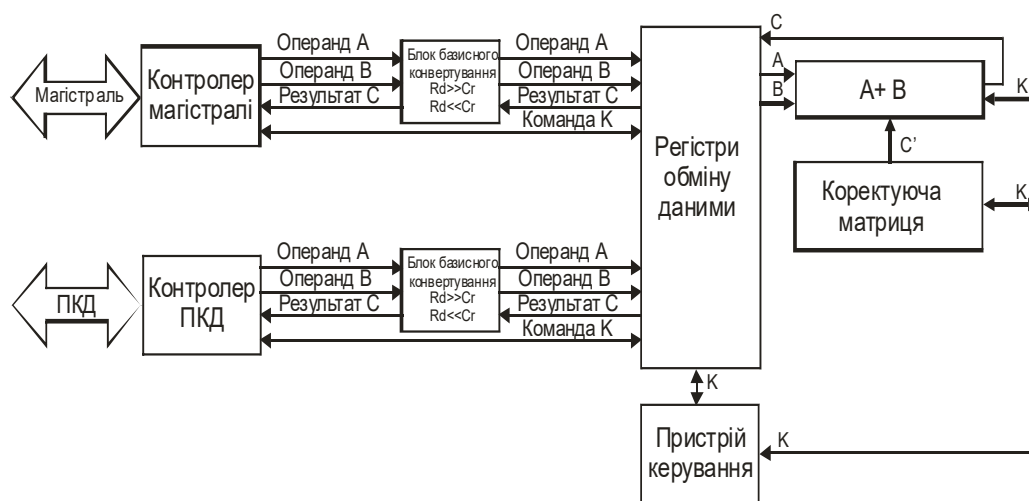


Рисунок 1.8 - Структурна схема арифметичного модуля в кодовому базисі Крестенсона.

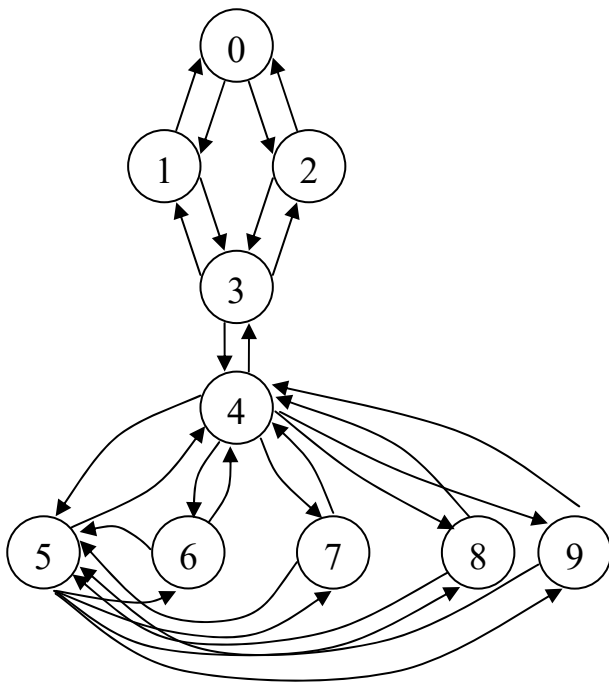
До складу арифметичного модуля в кодовому базисі Крестенсона входять такі функціональні елементи:

- пристрій керування;
- контролер магістралі;
- контролер ПКД;
- блоки міжбазисного перетворення;
- реєстри обміну даними;
- блоки операцій сумування;
- коректуюча матриця множення;
- шини даних та команд.

Схема працює наступним чином: контролери ПКД та магістралі здійснюють моніторинг пакетів даних і при виявленні пакету, призначеного для арифметичного модуля Крестенсона, здійснюють його декодування, переведення операндів А і В за допомогою блоку міжбазисного перетворення в двійкове представлення базису Крестенсона і запис операндів А, В та команди K_i у відповідні реєстри обміну даними. Пристрій контролю генерує сигнал активації для відповідного блоку виконання операцій і переходить у стан очікування.

Після виконання логіко-арифметичних дій над операндами А і В блок виконання операцій заносить результат С у відповідний реєстр та повідомляє пристрій керування про завершення операції. Пристрій керування передає результат

С на блок міжбазисного перетворення, після якого С в базисі Радемахера надходить у буфер контролера ПКД або магістралі в залежності від вимоги. Приклад реалізації процесу роботи модуля можна представити у вигляді графа мікропрограми (рис. 1.9.) [73].



- 0 – Ініціалізація арифметичного модуля;
- 1 – Контроль та обмін даними з ПКД;
- 2 – Контроль та обмін даними з магістраллю;
- 3 – Міжбазисні перетворення;
- 4 – Операції регістру обміну даними;
- 5 – Операції пристрою керування;
- 6 – Сумування;
- 7 – Множення;
- 8 – Подвоєння;
- 9 – Піднесення до степеня.

Рисунок 1.9 - Граф мікропрограми функціонування арифметичного модуля в базисі Крестенсона

Вершинам графу присвоєні номери 0, 1, ..., 9, що відповідає кожному функціональному елементу, який виступає оператором модуля арифметичних операцій.

За допомогою даної графової моделі розраховується тривалість виконання мікропрограм для виконання операцій сумування та множення.

Час виконання мікропрограм для арифметичного модуля в базисі Крестенсона (1 – 6 – відповідно процеси: ініціалізації арифметичного модуля; контролю та обміну даними з ПКД та магістраллю; міжбазисного перетворення; виконання операцій регістру обміну даними; процес виконання операцій пристрою керування;

виконання арифметичних операцій) обчислюється згідно (1.1) та (1.2) (рис. 1.10.) [73].

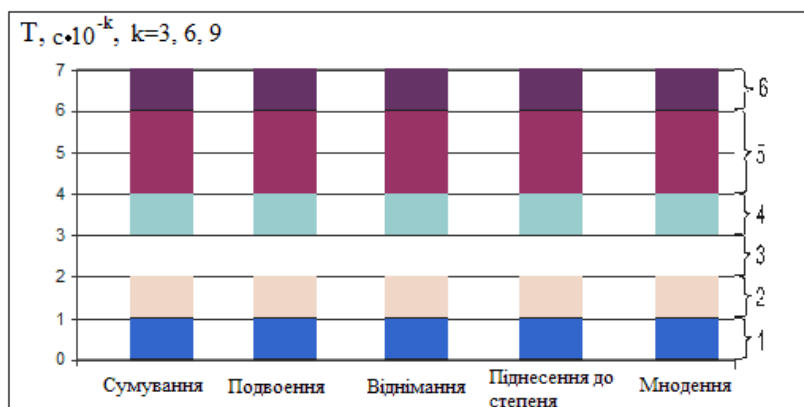


Рисунок 1.10 - Час виконання мікропрограм арифметичного модуля в базисі Крестенсона.

З рис. 1.10. можна зробити висновок, що час виконання мікропрограм для функцій множення та сумування є однаковим, що дозволяє реалізовувати складні операції для задач цифрової обробки даних.

Виконання мікропрограм для модуля в базисі Галуа, який здійснює арифметичні операції інкрементування і декрементування, що реалізуються шляхом зсуву даних в регістрі Галуа вправо або вліво згідно структурної схеми арифметичного модуля в кодовому базисі Галуа (рис.1.11) [80-82].

До складу арифметичного модуля в кодовому базисі Галуа входять такі функціональні елементи:

- пристрій керування;
- контролер магістралі;
- контролер ПКД;
- блоки міжбазисного перетворення;
- регістри обміну даними;
- блоки виконання операцій інкрементування та декрементування;
- шини даних та команд.

Схема працює наступним чином: контролери ПКД та магістралі здійснюють моніторинг пакетів даних і при виявленні пакету, призначеного для арифметичного модуля Галуа, здійснюють його декодування, переведення операндів А і В за

допомогою блоку міжбазисного перетворення в двійкове представлення базису Галуа і запис операндів А або В та команди K_i у відповідні регістри обміну даними.

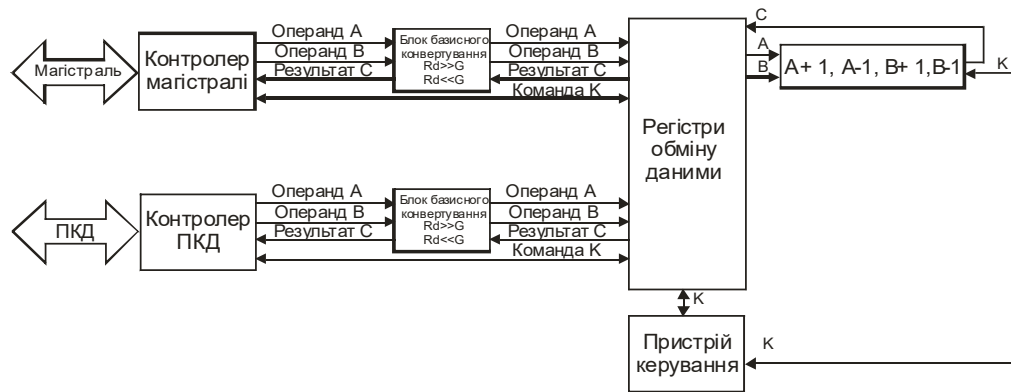
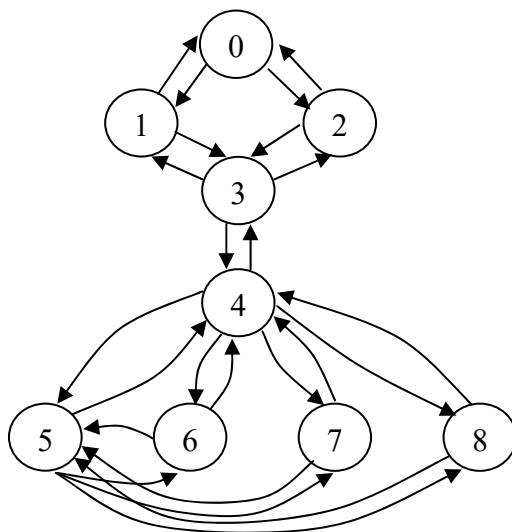


Рисунок 1.11 - Структурна схема арифметичного модуля в кодовому базисі Галуа

Після виконання логіко-арифметичних дій над операндами А або В, аналогічно модулям в інших ТЧБ, в блок виконання операцій заносить результат С у відповідний регістр та повідомляє пристрій керування про завершення операції. Пристрій керування передає результат С на блок базисного перетворення, після якого С в базисі Радемахера надходить у буфер контролера ПКД або магістралі в залежності від вимоги. Приклад реалізації процесу роботи модуля представляється у вигляді графа мікропрограми (рис.1.12) [73]:



- 0 – Ініціалізація арифметичного модуля;
- 1 – Контроль та обмін даними з ПКД;
- 2 – Контроль та обмін даними з магістраллю;
- 3 – Міжбазисні перетворення;
- 4–8 – Операції: регістру обміну даними (4); пристрою керування (5); додавання (6); множення (7); інкрементування/декрементування (8).

Рисунок 1.12 - Граф мікропрограми функціонування арифметичного модуля в базисі Галуа.

Вершинам графу присвоєні номери 0, 1, ..., 8, що відповідає кожному функціональному елементу, який виступає оператором модуля арифметичних операцій.

За допомогою даної графової моделі розраховується тривалість виконання мікропрограм для рішення операцій сумування та множення.

Часові затрати роботи мікропрограм виконання арифметичних операцій модулями в базисі Галуа обчислюється згідно (1.1) та (1.2) (1 – 6 – відповідно процеси: ініціалізації арифметичного модуля; контролю та обміну даними з ПКД та магістраллю; міжбазисного перетворення; виконання операцій регістру обміну даними; виконання операцій пристрою керування; виконання арифметичних операцій додавання, множення, інкрементування / декрементування) (рис. 1.13.).

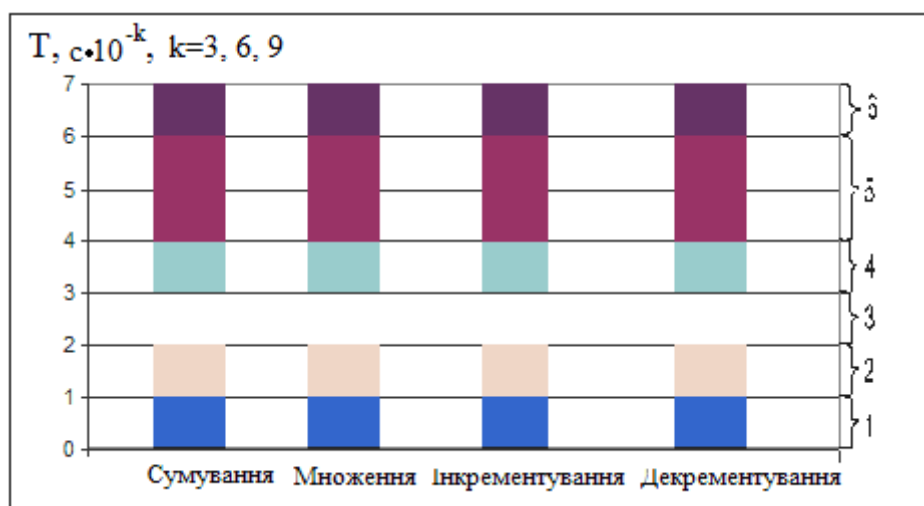


Рисунок 1.13 - Час виконання мікропрограм арифметичного модуля в базисі Галуа.

В той же час, як показано в роботі [77], операція додавання та множення в базисі Галуа потребує не менше двох тактів роботи процесора, що приводить до більш низької швидкодії даного класу процесорів по відношенню до процесорів у базисі Крестенсона.

Виконаний аналіз реалізації базисних функцій мультибазисних RCG-процесорів з позицій створення високопродуктивних спецпроцесорів, орієнтованих на опрацювання великорозрядних чисел, дозволяє зробити висновок, що доцільний розвиток теорії ТЧБ Крестенсона з метою реалізації всіх базових функцій

арифметики системи залишкових класів є перспективною та актуальною науково-технічною задачею.

1.4 Теоретичні засади виконання та характеристики арифметико-логічних операцій у базисах Радемахера та Крестенсона

Система числення залишкових класів, яка породжується теоретико-числовим базисом Крестенсона, характеризується суттєвими перевагами по відношенню до базису Радемахера при виконанні операцій додавання та множення. Оскільки СЗК непозиційна і в ній відсутні наскрізні переноси при виконанні арифметичних операцій, то процес виконання операцій додавання та множення виконується за один такт на основі матриць [28, 78]. Тому є важливим реалізація та дослідження міжбазисних перетворень Радемахера-Крестенсона для проектування спецпроцесорів опрацювання великорозрядних чисел.

Двійкова система числення належить до позиційних систем числення і є частковим випадком системи числення залишкових класів з набором модулів p^i , де $p=2, 3, \dots, 8, 10, 16, \dots$; $i=0, 1, 2, \dots$ [25, 31].

Арифметичні операції над двома числами у двійковій системі числення базису Радемахера описуються наступними виразами:

$$X = \sum_{i=0}^{n-1} x_i 2^i, \quad x_i \in \overline{0,1}; \quad Y = \sum_{i=0}^{n-1} y_i 2^i, \quad y_i \in \overline{0,1}.$$

Тобто, двійкові коди чисел X і Y :

$$X = (x_{n-1}, x_{n-2}, \dots, x_i, \dots, x_0); \quad Y = (y_{n-1}, y_{n-2}, \dots, y_i, \dots, y_0).$$

визначаються на основі модульних операцій згідно аналітичних виразів:

$$\begin{array}{l} X \begin{cases} \rightarrow \text{res}X(\text{mod } 2^0) = x_0; \\ \rightarrow \text{res}X(\text{mod } 2^1) = x_1; \\ \rightarrow \text{res}X(\text{mod } 2^i) = x_i; \\ \rightarrow \text{res}X(\text{mod } 2^{n-1}) = x_{n-1}; \end{cases} \end{array} \quad \begin{array}{l} Y \begin{cases} \rightarrow \text{res}Y(\text{mod } 2^0) = y_0; \\ \rightarrow \text{res}Y(\text{mod } 2^1) = y_1; \\ \rightarrow \text{res}Y(\text{mod } 2^i) = y_i; \\ \rightarrow \text{res}Y(\text{mod } 2^{n-1}) = y_{n-1}, \end{cases} \end{array}$$

де *res*- операція знаходження найменшого невід'ємного залишка по модулю 2^i .

Невиконання умови взаємної простоти модулів в різних розрядах двійкових кодів відповідно ускладнює алгоритми додавання та множення двійкових чисел, оскільки при виконанні операції додавання між двійковими розрядами виникають наскрізні переноси з молодших в старші розряди

$$\begin{array}{r}
 x_{n-1} \dots x_i \dots x_1 x_0 \\
 + \quad y_{n-1}^+ \dots y_i^+ \dots y_1^+ y_0^+ \\
 \hline
 P_n \leftarrow P_{n-1} \leftarrow \dots \leftarrow P_i \leftarrow \dots \leftarrow P_1 \leftarrow P_0 \\
 \downarrow \quad \downarrow \quad \dots \quad \downarrow \quad \dots \quad \downarrow \\
 S_n \quad S_{n-1} \quad \dots \quad S_i \quad \dots \quad S_1 \quad S_0
 \end{array}
 .$$

Наявність наскрізних переносів при виконанні операції додавання в базисі Радемахера в $2n$ -разів знижує швидкість виконання операції сумування чисел по відношенню до тактової частоти роботи процесорів. У зв'язку з цим існують різні способи побудови суматорів базису Радемахера з більш швидкою реалізацією наскрізних переносів, що особливо важливо при виконанні операцій над великорозрядними числами [31].

Відсутність взаємної простоти модулів системи числення базису Радемахера обумовлює складну складність алгоритмів множення двійкових чисел згідно графа (рис.1.14) [31], де AND-лінійка операторів, яка формує n n -розрядних результатів логічного множення множеного X на розряди множника Y , які зсуваються праворуч на R_i ($i=1, 2, \dots, n-1$).

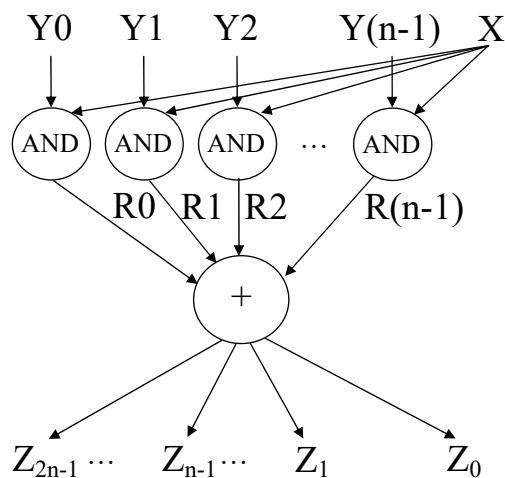
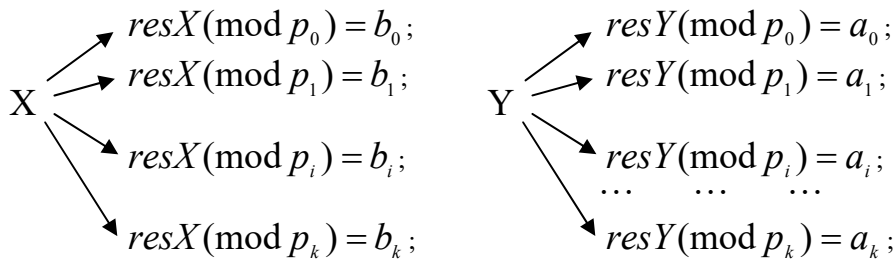


Рисунок 1.14 - Граф виконання операції множення в базисі Радемахера

Теоретичною основою системи числення залишкових класів (СЗК) є Китайська теорема про залишки [79], на основі якої реалізується пряме та зворотнє перетворення СЗК:



$$X = \text{res} \sum_{i=0}^{k-1} b_i \cdot B_i \pmod{P}; \quad Y = \text{res} \sum_{i=0}^{k-1} a_i \cdot B_i \pmod{P},$$

де $P = \prod_{i=0}^{k-1} p_i$; $p_0, p_1, \dots, p_{i-1}, \dots, p_k$ - система взаємно простих модулів;

$B_i = \frac{P}{p_i} \cdot m_i \equiv 1 \pmod{p_i}$; $0 \leq m_i \leq p_i - 1$ нормуючі коефіцієнти базисних чисел B_i .

Виконання умови взаємної простоти модулів СЗК базису Крестенсона суттєво спрощує алгоритми виконання операцій додавання та множення над числами, представленими кодами СЗК $X = (b_0, b_1, \dots, b_j, \dots, b_{k-1})$ та $Y = (a_0, a_1, \dots, a_j, \dots, a_{k-1})$ згідно граф-алгоритмів рис.1.15, де (+)res відповідає операції $C_j = \text{res}(b_j + a_j) \pmod{P_j}$, а (×)res – операції $\gamma_j = \text{res}(b_j \cdot a_j) \pmod{P_j}$:

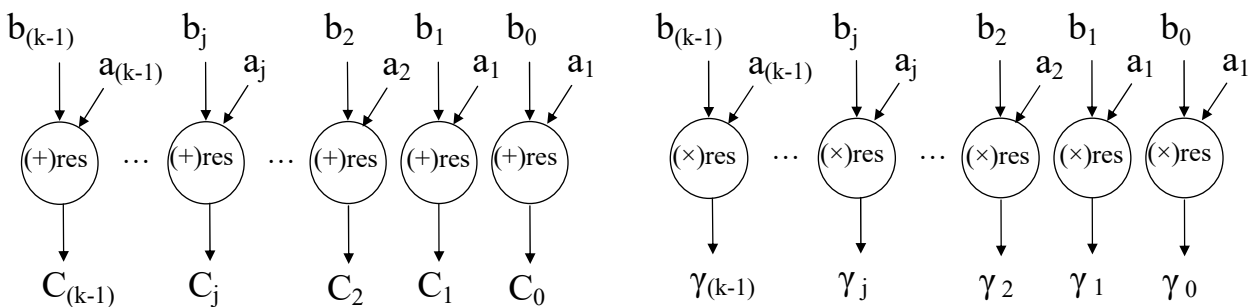


Рисунок 1.15 - Графи виконання операцій додавання та множення в базисі Крестенсона.

Порівняльна оцінка функціональних можливостей досліджуваних ТЧБ подана в табл.1.4, де n – розрядність процесора, v – час спрацьовування логічного елемента,

- - відсутність операції, де l - число модулів, добуток яких представляє дільник, k - число модулів виконання операції у відповідному ТЧБ.

Таблиця 1.4 - Функціональні можливості досліджуваних ТЧБ.

Базові операції	Базиси	
	Радемахера	Крестенсона
Додавання	$2nv$	v
Зсув	v	-
Множення	$2v(2n+1)$	v
Рівності	v	v
Знакова(старшинства)	nv	$2nvk$
Віднімання	$(3n+5)v$	v
Ділення	n^2v	$(l+1) \cdot v$
Модульна	n^2v	$2nv$

Проаналізувавши функціональні можливості ТЧБ (див. таблицю 1.4) і побудувавши графіки часових затрат (рис.1.16, 1.17, 1.18) видно, що базис Крестенсона має значні переваги у швидкості їх здійснення.

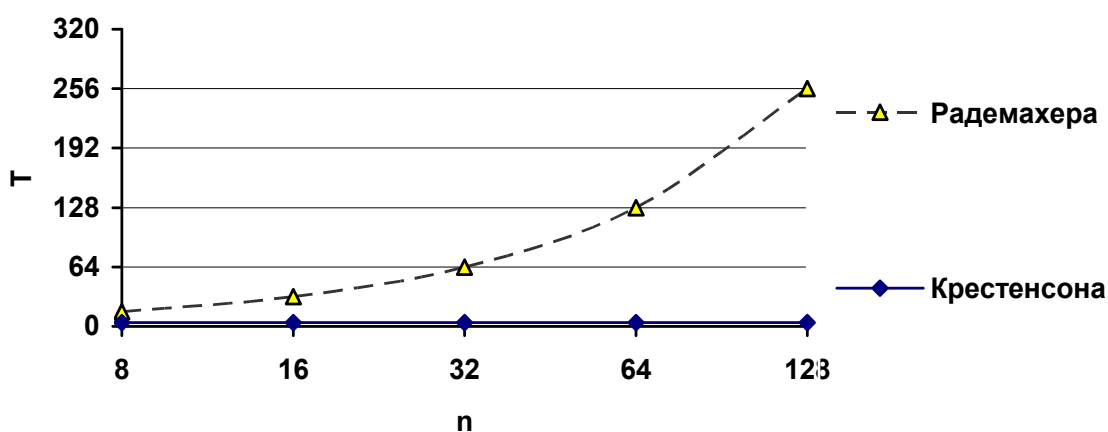


Рисунок 1.16 - Часові затрати виконання операції додавання в базисах Радемахера та Крестенсона

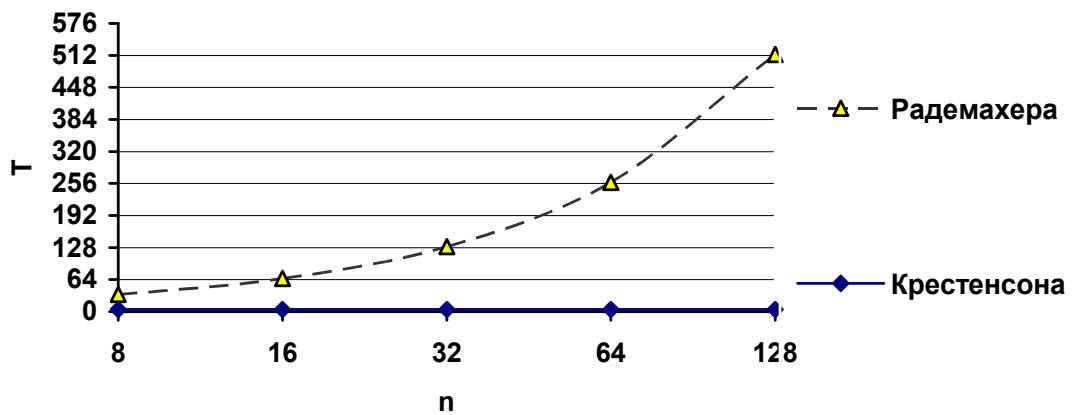


Рисунок 1.17 - Часові затрати виконання операції множення в базисах Радемахера та Крестенсона

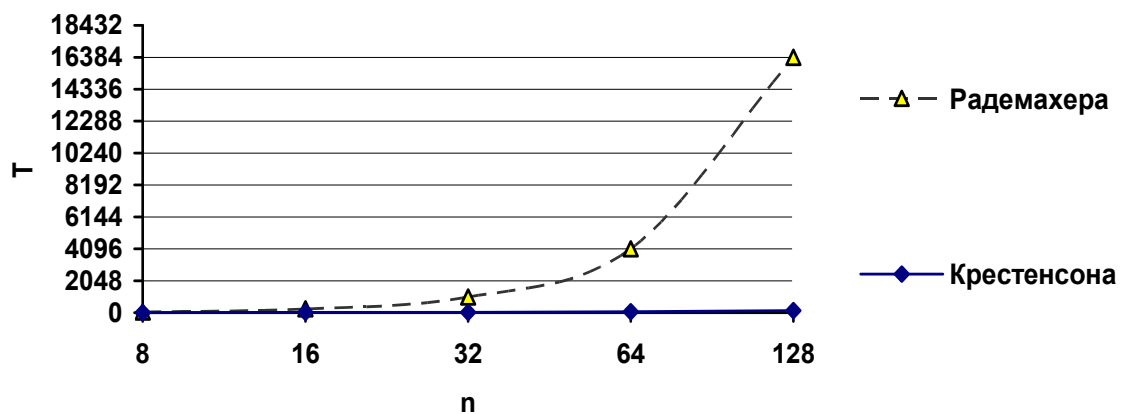


Рисунок 1.18 - Часові затрати виконання модульної операції в базисах Радемахера та Крестенсона

Відсутність наскрізних переносів між розрядами в операціях додавання та множення в СЗК базису Крестенсона забезпечує високу швидкість їх алгоритмів, які виконуються за один такт незалежно від числа модулів та розрядності кодів чисел СЗК. Така властивість СЗК особливо позитивна та перспективна для реалізації спецпроцесорів опрацювання великорозрядних чисел в задачах криптографії та оптимізації обчислень. В той же час, необхідність виконання міжбазисних перетворень Радемахера-Крестенсона та Крестенсона-Радемахера визначають актуальність розвитку теорії та схемотехніки спецпроцесорів таких міжбазисних перетворень.

1.5 Перспективи застосування систем числення базису Крестенсона для побудови високопродуктивних спецпроцесорів опрацювання великорозрядних чисел, постановка задачі дослідження.

Одним з перспективних шляхів вдосконалення спецпроцесорів опрацювання великорозрядних чисел є розвиток теорії арифметичних операцій непозиційної системи числення на основі базису Крестенсона – СЗК. Представлення даних в СЗК дає змогу здійснювати розпаралелення арифметико-логічного опрацювання інформації. Проте, найвагомішою перевагою СЗК перед іншими позиційними системами числення є простота одноктного виконання арифметичних операцій при відсутності наскрізних переносів. Це спрощує принципи побудови спецпроцесорів та дозволяє підвищити на 1-2 порядки швидкодію виконання операцій додавання та множення у порівнянні з позиційними системами числення.

Існує три типи основних перетворень СЗК :

- цілочисельне $N_k = res \sum_{i=1}^k b_i \cdot B_i \pmod{P}$ [25];

- нормалізоване $[N_k]_0 = res \sum_{i=1}^k [b_i]_0 \cdot m_i \pmod{1}$ [5];

- досконале $[N_k]_0 = res \sum_{i=1}^k [b_i]_0 \pmod{1}$ [5],

які дозволяють реалізувати спецпроцесори базису Крестенсона з різними характеристиками апаратної та часової складності.

Крім того, в даний час активно розвивається теорія нормалізованої досконалої СЗК (НДСЗК) [78] та розмежованої СЗК (РСЗК) [24], які дозволяють успішно вирішити широкий клас задач опрацювання великорозрядних чисел у галузі криптографії та побудови високопродуктивних мультибазисних спецпроцесорів.

Однією з найважливіших операцій у всіх асиметричних алгоритмах шифрування інформаційних потоків є операція модулярного множення чисел a та b . Для підвищення ефективності обчислення $a \cdot b \pmod{p}$ багатьма авторами запропоновано різні підходи, алгоритми, але в основному з використанням десяткової системи числення.

Тому розробка ефективного алгоритму з використанням теоретико-числового базису Крестенсона для зменшення обчислювальної складності формування, збільшення швидкодії на основі матричних моделей та розробка спеціалізованих програмно-апаратних засобів є актуальною задачею.

Операції модулярного множення в базисі Радемахера лежать в основі алгоритмів електронного цифрового підпису, криптографічних протоколів, розв'язування задач обчислювальної, прикладної та дискретної математики [93], визначення стійкості еліптичних кривих методом пошуку їх порядку за допомогою алгоритму Шуфа [94] тощо. Існуючі алгоритми (стандартний, швидкого множення, Blakey, Монтгомері, бінарні і т.д.) характеризуються значною обчислювальною складністю. Алгоритм модулярного множення в базисі Крестенсона за допомогою матричних обчислень дозволяє зменшити обчислювальну складність.

Проведені дослідження в підрозділі 1.3 дозволили встановити, що виконання базових операцій додавання і множення у СЗК ТЧБ Крестенсона характеризується на 1-2 порядки меншою часовою складністю по відношенню до двійкової системи числення базису Радемахера. Це створює перспективу ефективного застосування процесорів у базисі Крестенсона для зменшення обчислювальної, часової та апаратної складності спецпроцесорів в задачах, що потребують опрацювання великорозрядних чисел криптографії, дискретної математики, кореляційного та спектрального аналізу та інш., в яких використовуються модулярні операції додавання, множення та експоненціювання.

Оскільки реалізація обчислювальних операцій в універсальних комп'ютерах та контролерах найчастіше виконується в базисі Радемахера, то постає питання в прямому переході з базису Крестенсона в базис Радемахера і навпаки, що ефективно виконується за допомогою принципової розмежованої форми системи числення в базисах Радемахера-Крестенсона [95].

На основі проведених досліджень в роботі [28] показано, що використання ТЧБ Крестенсона дозволяє реалізувати алгоритм операції множення у базисі Радемахера, який має квадратичну часову складність $O_1(n) = n^2$, операцією додавання з логарифмічною складністю:

$$O2(n) = \begin{cases} (\log_2 n)^2, & \text{якщо } n < 256 \\ n \cdot (\log_2 n), & \text{в інших випадках} \end{cases}$$

Результати дослідження ефективності даного алгоритму шляхом емуляції на універсальному процесорі наведені на рис.1.19 [95].

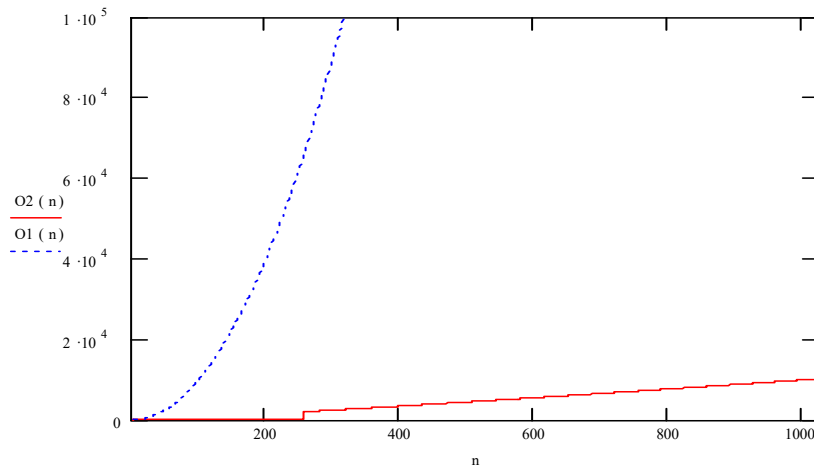


Рисунок 1.19 - Складність операції модулярного множення

Проведені експериментальні дослідження показують, що із зростанням розрядності вхідних параметрів операції модулярного множення від 0 до 256 бітів часова складність даного алгоритму на основі використання ТЧБ Крестенсона логарифмічна, а в проміжку від 256 до 1024 біт є лінійно-логіфімічною, за рахунок заміни операції множення в двохвимірному базисі Радемахера однотоктною операцією додавання над розмежованими фрагментами великорозрядних чисел.

Дослідження показали, що алгоритм характеризується високою швидкодією та ефективністю виконання операції піднесення до степеня двійкового числа будь-якої розрядності за модулем p . Слід зазначити, що при збільшенні розрядності чисел зменшується ефективність (див.рис. 1.19), бо частина ресурсу комп'ютера буде задіяна на розв'язок службової інформації, що значно збільшує складність і кількість операцій та зменшує швидкодію.

З рис.1.19 видно, що при зростанні розрядності чисел алгоритму модульного множення відомий метод не може бути фізично реалізований з використанням сучасної мікропроцесорної техніки, особливо з врахуванням наступної операції піднесення до степеня. При цьому використання базису Крестенсона дозволяє

реалізувати можливості суттєвого підвищення захисту інформаційних потоків від несанкціонованого доступу шляхом збільшення розрядності шифрокодів [28].

Використання розпаралелення виконання арифметичних операцій над розмежованими великорозрядними числами на основі перетворень залишкових класів [78] дозволяє спростити реалізацію міжбазисних перетворень Радемахера-Крестенсона і здійснити реалізацію високопродуктивних спецпроцесорів розв'язання досліджуваних задач.

Таким чином, наукова задача розробки та реалізації високопродуктивних спецпроцесорів опрацювання великорозрядних чисел у базисі Крестенсона потребує вирішення наступних завдань:

- систематизувати характеристики спецпроцесорів реалізованих у різних ТЧБ;
- розробити теоретичні основи виконання арифметичних операцій в нормалізованій та досконалій системі залишкових класів;
- дослідити арифметику і форми СЗК з метою спрощення часової та апаратної складності алгоритмів опрацювання великорозрядних чисел;
- розробити високопродуктивні однокітні матрично-модульні операції на основі розмежованої системи числення Радемахера-Крестенсона;
- розробити методи та способи високопродуктивного перетворення чисел з базису Радемахера в базис Крестенсона;
- вдосконалити методи перетворення чисел з базису Крестенсона в базис Радемахера на основі цілочисельної та нормалізованої досконалої форми системи залишкових класів;
- оптимізувати характеристики компонентів спецпроцесорів базису Крестенсона згідно критеріїв мінімальної часової та апаратної складності;
- розробити високопродуктивні спецпроцесори визначення залишків великорозрядних чисел та однокітний спецпроцесор міжбазисного перетворення Радемахера-Крестенсона;
- реалізувати на сучасній мікроелектронній елементній базі високопродуктивні спецпроцесори кореляційного опрацювання сигналів у базисі Крестенсона та

шифрування великорозрядних чисел на основі дискретного логарифму для задач криптографії.

Теоретичне обґрунтування виконання арифметико-логічних операцій у різних формах системи залишкових класів, дослідження та реалізація спецпроцесорів міжбазисних перетворень та опрацювання великорозрядних чисел у базисі Радемахера-Крестенсона є предметом дослідження даної дисертації.

ВИСНОВКИ ДО РОЗДІЛУ 1

1. Виконана систематизація процесорів цифрового опрацювання даних на основі різних архітектур та сфери застосувань в широкому класі задач цифрового опрацювання даних на основі використання різних теоретико-числових базисів, що дозволило обґрунтувати перспективу розробки та реалізації високопродуктивних спецпроцесорів опрацювання великорозрядних чисел у системі числення залишкових класів базису Крестенсона.

2. Отримані аналітичні вирази та виконано порівняння арифметико-логічних операцій процесорів, реалізованих в теоретико-числових базисах Радемахера та Крестенсона, що дозволило встановити підвищення на 1-2 порядки швидкодії процесорів базису Крестенсона при виконанні модульних операцій додавання та множення незалежно від розрядності опрацьовуваних чисел.

3. Проаналізовані характеристики структур та побудовані графи мікропрограм функціонування арифметичних модулів в базисах Радемахера, Крестенсона та Галуа. Побудовані діаграми часової складності виконання арифметико-логічних операцій процесорів різних ТЧБ, що дозволило обґрунтувати перспективу застосування процесорів Крестенсона при виконанні операцій додавання та множення з швидкодією на 2-3 порядки вищою у порівнянні з процесорами Радемахера.

4. Виконаний аналіз характеристик арифметико-логічних операцій у базисах Радемахера та Крестенсона, здійснено порівняння функціональних можливостей процесорів та побудовані діаграми часових затрат виконання базових операцій, що дозволило встановити основні переваги процесорів Крестенсона при вирішенні задач шифрування інформаційних потоків у сучасних комп'ютерних системах та сформулювати завдання і постановку задачі дисертаційного дослідження.

РОЗДІЛ 2

РОЗРОБКА МЕТОДІВ, ДОСЛІДЖЕННЯ АРИФМЕТИЧНИХ, МАТРИЧНО-МОДУЛЬНИХ ТА МІЖБАЗИСНИХ ОПЕРАЦІЙ У РОЗМЕЖОВАНІЙ СИСТЕМІ БАЗИСУ КРЕСТЕНСОНА

2.1 Дослідження арифметики цілочисельної форми системи залишкових класів базису Крестенсона

В основу цілочисельного перетворення СЗК покладена Китайська теорема про залишки [79]. Суть прямого перетворення цілочисельної форми СЗК полягає в тому, що, згідно з теоремами про залишки, будь-яке ціле число можна однозначно перетворити набором найменших невід'ємних залишків в системі взаємно простих модулів

$$\begin{array}{c}
 \nearrow b_1 \\
 \nearrow b_2 \\
 \dots \\
 \longrightarrow b_i \\
 \dots \\
 \searrow b_k
 \end{array}
 \quad
 b_i = \text{res} N_k (\text{mod } p_i), \quad (2.1)$$

що відповідає рішенням діофантового рівняння

$$N_k = b_i (\text{mod } p_i), \quad (2.2)$$

яке відповідає цілочисельному рішенням лінійного рівняння:

$$N_k = a_i p_i + b_i, \quad (2.3)$$

де a_i – ранг; b_i – найменший невід'ємний залишок.

При цьому діапазон кодування чисел N_k дорівнює:

$$P = \prod_{i=1}^k p_i ; 0 \leq N_k \leq P-1. \quad (2.4)$$

Таким чином, ціле число N_k однозначно представляється набором залишків b_i .

Зворотнє перетворення цілочисельної форми СЗК виконується згідно аналітичного виразу [25]

$$N_k = \text{res} \sum_{i=1}^k b_i \cdot B_i \pmod{P}, \quad (2.5)$$

де B_i – базисні числа СЗК, які обчислюються згідно діофантового рівняння:

$$B_i = \frac{P}{p_i} \cdot m_i \equiv 1 \pmod{p_i}. \quad (2.6)$$

Тобто, для виконання зворотнього перетворення цілочисельної форми СЗК необхідно задати параметри:

1. Набір взаємно простих модулів $p_1, p_2, \dots, p_i, \dots, p_k$;
2. Діапазон кодування чисел P ;
3. Набір базисних чисел $B_1, B_2, \dots, B_i, \dots, B_k$;
4. Набір коефіцієнтів, які забезпечують ортогональність перетворень $m_1, m_2, \dots, m_i, \dots, m_k$;
5. Аналітичні вирази прямого і зворотнього перетворення:

$$b_i = \text{res} N_k \pmod{p_i},$$

$$N_k = \text{res} \sum_{i=1}^k b_i * B_i \pmod{P}. \quad (2.7)$$

У таблиці 2.1 показаний приклад кодування чисел в цілочисельній формі СЗК, для наступної системи модулів:

$$p_1=2, p_2=5;$$

$$P=2*5=10;$$

$$0 \leq N_k \leq 9.$$

$$B_1 = \frac{10}{2} \cdot m_1 = 1 \pmod{2}, m_1 = 1; B_1 = 5;$$

$$B_2 = \frac{10}{5} \cdot m_2 = 1 \pmod{5}, m_2 = 3; B_2 = 6.$$

Таблиця 2.1 - Кодування чисел в цілочисельній формі СЗК.

N_k	b_1	b_2
0	0	0
1	1	1
2	0	2
3	1	3
4	0	4
5	1	0
6	0	1
7	1	2
8	0	3
9	1	4

Теорія виконання алгоритму операцій додавання, віднімання та множення в цілочисельній формі СЗК детально викладена в роботі [68]. В основу

арифметики залишкових класів покладено глибоке розпаралелення обробки даних, яке виконується по кожному модулю p_i окремо з виключенням міжрозрядних переносів.

Алгоритми визначення операції додавання, віднімання і множення в СЗК виконується на основі наступних математичних виразів:

1) Сумування $x_k + y_k \leq P-1$:

$$x_k = (a_1, a_2, \dots, a_i, \dots, a_k) \quad + \quad x_k + y_k = (a_1, a_2, \dots, a_i, \dots, a_k)$$

(2.8)

$$y_k = (b_1, b_2, \dots, b_i, \dots, b_k) \quad \begin{array}{l} (b_1, b_2, \dots, b_i, \dots, b_k) \\ (c_1, c_2, \dots, c_i, \dots, c_k) \end{array},$$

де $c_i = \text{res}(a_i + b_i) \text{ mod } p_i$;

2) Сумування $x_k + y_k \geq P$:

$$x_k + y_k = \begin{array}{l} (a_1, a_2, \dots, a_i, \dots, a_k); \\ + \\ (b_1, b_2, \dots, b_i, \dots, b_k) \end{array}, \quad (2.9)$$

$$(d_1, d_2, \dots, d_i, \dots, d_k)$$

де $d_i = \text{res}(a_i + b_i) \text{ mod } P$;

3) Віднімання ($x_k \geq y_k$):

$$x_k - y_k = \begin{array}{l} (a_1, a_2, \dots, a_i, \dots, a_k) \\ - \\ (b_1, b_2, \dots, b_i, \dots, b_k) \end{array}, \quad (2.10)$$

$$(e_1, e_2, \dots, e_i, \dots, e_k)$$

де $e_i = \text{res}(a_i - b_i) \text{ mod } P_i$;

4) Віднімання ($x_k < y_k$) $x_k - y_k = (x_k - y_k) = P + x_k - y_k$:

$$x_k - y_k = \begin{array}{l} (a_1, a_2, \dots, a_i, \dots, a_k) \\ - \\ (b_1, b_2, \dots, b_i, \dots, b_k) \end{array}, \quad (2.11)$$

$$(f_1, f_2, \dots, f, \dots, f_k);$$

де $f_i = \text{res}(a_i - b_i) \text{ mod } P_i$;

5) Множення ($x_k \cdot y_k$):

$$x_k * y_k = \begin{array}{l} (a_1, a_2, \dots, a_i, \dots, a_k) \\ \text{Nik} \\ (b_1, b_2, \dots, b_i, \dots, b_k) \end{array}, \quad (2.12)$$

$$(j_1, j_2, \dots, j, \dots, j_k)$$

де $j_i = \text{res}(a_i \cdot b_i) \text{ mod } P_i$.

5) Ділення (x_k/y_k).

Створення повнофункціональних процесорів в базисі Крестенсона потребує вдосконалення методів реалізації операції ділення над числами з заданими наборами залишків.

Запропонований алгоритм виконання операції ділення [119] на основі доповнення в класах діофантових рівнянь, над великорозрядними числами, заданими в базисі Радемахера, що має вигляд:

$$Z = X/Y,$$

в якому $X_{(2)} = (x_{n-1}, \dots, x_i, \dots, x_0); x_i \in \overline{0,1}; Y_{(2)} = (y_{n-1}, \dots, y_i, \dots, y_0); y_i \in \overline{0,1}$,

$$Z_{(2)} = \underbrace{(z_{r-1}, \dots, z_i, \dots, z_0)}_{z_0} + \underbrace{(b_{r-1}, \dots, b_i, \dots, y_0)}_{b_0}; y_i \in \overline{0,1};$$

де Z_0 - ціла частина (ранг);

b_0 - дробова частина (залишок).

Рішення цієї задачі відповідає рівнянню в цілих числах:

$$X = Z_0 \cdot Y + b_0; X^* = Z_0 \cdot Y,$$

яке відповідає порівнянню:

$$X \equiv b_0 \pmod{Y}. \quad (2.13)$$

Застосувавши принцип доповнення відносно рівняння (2.13) в класі діофантових рівнянь, отримаємо:

$$X^* + b_0 \equiv 0 \pmod{Y}.$$

Тобто, якщо Y можна представити p_j , яке входить в склад системи взаємно простих модулів базису Крестенсона, метод ділення реалізується згідно наступного алгоритму:

- 1) До ділимого X додаємо доповнення b_0 по модулю Y .
- 2) Спростуємо систему взаємопростих модулів СЗК базису Крестенсона, які представлені простими числами $p_1, p_2, \dots, p_j, \dots, p_k$, вилучивши, при цьому, з нього модуль Y .

3) Визначаємо діапазон зміни ділимого у границях: $0 \leq X \leq P_j$, де $P = \prod_{j=1}^k p_j$. Розглянемо рішення задачі коли $Y = p_j$.

4) На основі представлення чисел в розмежованій СЗК [89] перетворюємо двійкові числа X та Y у базис Крестенсона з набором модулів $\{p_j, Y, j \in \overline{1, k}\}$ на основі матричних алгоритмів (рис.2.1).

$$\begin{array}{cccccc}
 & X_{n-1} & \dots & X_i & \dots & X_0 \\
 & \downarrow & & \downarrow & & \downarrow \\
 p_1 \longrightarrow & (a_{n-1,1}) & + \dots + & a_{i,1} & + \dots + & a_{0,1}) & (mod p_1) = a_1 \\
 p_2 \longrightarrow & (a_{n-1,2}) & + \dots + & a_{i,2} & + \dots + & a_{0,2}) & (mod p_2) = a_2 \\
 \dots & \dots & + \dots + & \dots & + \dots + & \dots & \dots \\
 p_j \longrightarrow & (a_{n-1,j}) & + \dots + & a_{i,j} & + \dots + & a_{0,j}) & (mod p_j) = a_j \\
 \dots & \dots & \dots & \dots & \dots & \dots & \dots \\
 p_k \longrightarrow & (a_{n-1,k}) & + \dots + & a_{i,k} & + \dots + & a_{0,k}) & (mod p_k) = a_k
 \end{array}$$

$$\begin{array}{cccccc}
 & Y_{n-1} & \dots & Y_i & \dots & Y_0 \\
 & \downarrow & & \downarrow & & \downarrow \\
 p_1 \longrightarrow & (b_{n-1,1}) & + \dots + & b_{i,1} & + \dots + & b_{0,1}) & (mod p_1) = b_1 \\
 p_2 \longrightarrow & (b_{n-1,2}) & + \dots + & b_{i,2} & + \dots + & b_{0,2}) & (mod p_2) = b_2 \\
 \dots & \dots & + \dots + & \dots & + \dots + & \dots & \dots \\
 p_j \longrightarrow & (b_{n-1,j}) & + \dots + & b_{i,j} & + \dots + & b_{0,j}) & (mod p_j) = b_j \\
 \dots & \dots & \dots & \dots & \dots & \dots & \dots \\
 p_k \longrightarrow & (b_{n-1,k}) & + \dots + & b_{i,k} & + \dots + & b_{0,k}) & (mod p_k) = b_k
 \end{array}$$

Рисунок 2.1 - Математичні алгоритми міжбазисного перетворення Радемахера-Крестенсона на основі розмежованої СЗК, відповідно числа X та Y .

5) До числа X , представленого в СЗК, додаємо числове значення доповнюючого залишку b_j^* по модулю p_j , тобто

$$\begin{array}{l}
 X = (b_1, \dots, b_j, \dots, b_k) \\
 + \\
 b_j^* = (b_1^*, \dots, b_j^*, \dots, b_k^*) \\
 \hline
 X^* = (x_1^*, \dots, x_j^*, \dots, x_k^*)
 \end{array}$$

6) На основі алгоритму модульного множення чисел в базисі Крестенсона вирішуємо задачу знаходження інформативних залишків ділимого, згідно наступного матричного алгоритму:

$$\begin{array}{l} Y = (y_1, \dots, y_j, \dots, y_k) \\ \times \\ Z^* = (z_1^*, \dots, z_j^*, \dots, z_k^*) \\ \hline X^* = (x_1^*, \dots, x_j^*, \dots, x_k^*) \end{array}.$$

Тобто $(y_{i \neq j} \cdot z_{i \neq j}^*) \bmod p_{i \neq j} = x_{i \neq j}^*$, що означає видалення неінформативного залишку по модулю p_j .

7) З представлення СЗК вилучаються неінформативні модулі із залишками y_i , що дорівнюють нулю. В результаті формуємо нову СЗК на основі інформативних $y_i \neq y_j$, тобто $Z^* = (z_1^*, \dots, z_i^*, \dots, z_l^*); i \in \overline{1, l}$, у системі модулів $p_1, \dots, p_i, \dots, p_l$. При цьому, $\prod_{i=1}^l p_i \geq X_{\max}$.

8) Для отримання правильного цілого результату ділення виконується віднімання від інформативних залишків СЗК згідно виразу:

$$\begin{array}{l} Z^* = (z_1^*, \dots, z_i^*, \dots, z_l^*) \\ - \\ (1, \dots, 1, \dots, 1) \\ \hline Z = (z_1, \dots, z_i, \dots, z_l) \end{array}.$$

Таким чином, результат операції ділення отримаємо у вигляді:

$$X/Y = \{Z_i\} + \{b_j\}; i \in \overline{1, l}; j \in \overline{1, k}.$$

Проведені дослідження розробленого методу виконання операції ділення в СЗК дозволяють оцінити часову складність процесора ділення в базисі Крестенсона на основі виразу

$$\tau_{div} = (l + 1) \cdot \nu,$$

де l - число модулів, добуток яких представляє дільник Y .

Однією із переваг цього методу є відсутність операції порівняння в алгоритмі ділення, що зменшує часову складність операції ділення в СЗК та дозволяє розпаралелити її виконання в бінарно-розмежованій СЗК.

На рис.2.2 показані порівняльні характеристики швидкодії виконання арифметико-логічних операцій в базисі Радемахера та Крестенсона.

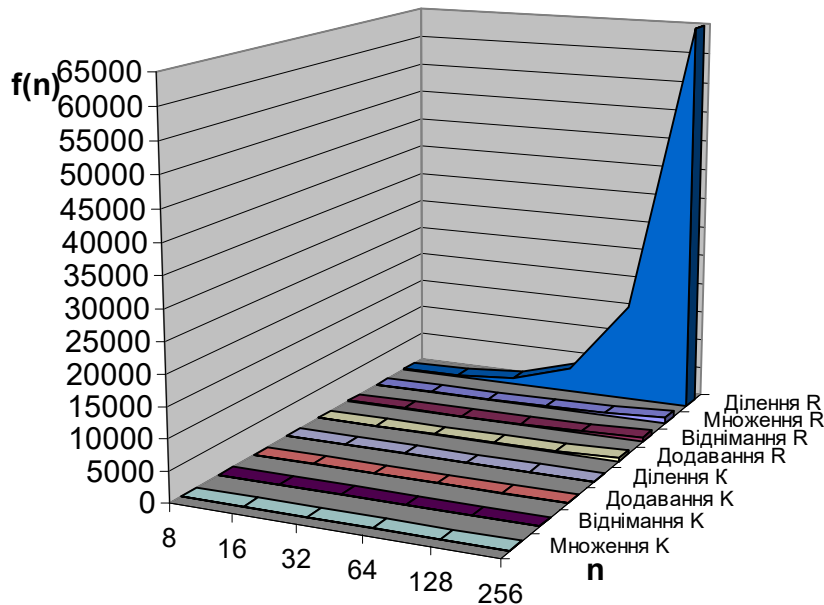


Рисунок 2.2 - Порівняльні характеристики швидкодії виконання арифметико-логічних операцій у базисах Радемахера та цілочисельного перетворення Крестенсона

Недоліком цілочисельної форми перетворення СЗК є практична відсутність простої операції порівняння чисел, що суттєво ускладнює реалізації алгоритмів та відповідних процесів ділення. В той же час, переваги однотактного матричного виконання інших арифметичних операцій забезпечує широкі перспективи застосування теоретичних основ цілочисельного перетворення СЗК для створення та широкомасштабного впровадження супершвидкісних процесорів в комп'ютерних мережах. Особливу перспективу має застосування цілочисельної форми СЗК при створенні спецпроцесорів, в яких базовими операціями є додавання та множення. Прикладом таких процесорів є цифрові фільтри, обчислювачі кореляційних та спектральних характеристик випадкових процесів, а також операції над матрицями та алгебраїчними поліномами.

2.2 Дослідження перетворень та арифметики нормалізованої СЗК

Теоретичною основою утворення нормалізованої форми СЗК (НСЗК) є нормалізація по модулю P обох частин рівняння зворотнього перетворення цілочисельної форми СЗК (2.5):

$$\frac{N_k}{P} = \text{res} \sum_{i=1}^k \frac{b_i \cdot B_i \pmod{P}}{P},$$

$$\text{звідки } [N_k]_0 = \text{res} \sum_{i=1}^k b_i \cdot \frac{B_i}{P} \pmod{1}, \text{ де } 0 \leq [N_k]_0 \leq P-1; \frac{B_i}{P} = \frac{1}{p_i},$$

а з врахуванням виразу (2.2), отримаємо:

$$[N_k]_0 = \text{res} \sum_{i=1}^k b_i \cdot \frac{m_i}{p_i} \pmod{1} \text{ або } [N_k]_0 = \text{res} \sum_{i=1}^k [b_i]_0 \cdot m_i \pmod{1},$$

(2.13)

$$\text{де } [b_i]_0 = \frac{b_i}{p_i}, \text{ а } 0 \leq [b_i]_0 < 1.$$

(2.14)

Для забезпечення однозначного кодування даних в НСЗК необхідно виконувати умову:

$$\delta_p \leq \frac{1}{P}. \quad (2.15)$$

Дана формула визначає необхідне число розрядів після коми, у відповідній системі числення при представленні величини $1/P$ в нормалізованій формі, тобто

$$\frac{1}{p_i} = 0.\overbrace{g \dots g}^{n_i} \overbrace{g \dots g}^{\delta_p}, \quad (2.16)$$

де g – цифри у відповідній системі числення;

n_i – число розрядів до яких заокруглюється результат ділення з приведенням до меншого цілого;

δ_p – дробова частина, яка визначає величину похибки δ_p , якою нехтують.

Таким чином, аналітичний вираз з НСЗК в СЗК отримує вигляд:

$$N_k = \text{int}[N_k]_0 \cdot P, \quad (2.17)$$

де int – символ операції виділення цілої частини.

Кодування даних та виконання арифметичних операцій в НСЗК продемонструємо на прикладі набору модулів:

$$p_1=3, p_2=5; p_2=7; p_2=8; p_2=11; p_2=5; P=13; \delta_p \leq 0,01.$$

В таблиці 2.2 показані нормалізовані значення залишків $[b_i]_0$ на основі яких формуються нормалізовані значення чисел $[N_k]_0$ шляхом додавання по $\text{mod} 1$.

Таблиця 2.2 – Нормалізовані значення залишків

b_i	$p_1=3$	$p_2=5$	$p_3=7$	$p_4=8$	$p_5=11$	$p_6=13$
0	0.0	0.0	0.0	0.0	0.0	0.0
1	0.10101010101010101010	0.11001100110011001100	0.10110110110110110110	0.111	0.10100010111010001010	0.01001110110001001110
2	0.01010101010101010101	0.10011001100110011001	0.01101101101101101101	0.110	0.01000101110100010111	0.10011101100010011100
3		0.01100110011001100110	0.00100100100100100100	0.101	0.11101000101110100010	0.11101100010011101011
4		0.00110011001100110011	0.11011011011011011011	0.100	0.10001011101000101110	0.00111011000100111010
5			0.10010010010010010010	0.011	0.00101110100010111010	0.10001001110110001001
6			0.01001001001001001001	0.010	0.11010001011101000101	0.11011000100111010111
7				0.001	0.01110100010111010001	0.00100111011000100111
8					0.00010111010001011101	0.01110110001001110101
9					0.10111010001011101000	0.11000100111011000100
10					0.01010001011101000101	0.00010011101100010011
11						0.01100010011111000100
12						0.10110001001110110000

Алгоритм виконання операції додавання в НСЗК виконуються на основі наступного математичного виразу при $[x_k]_0 + [y_k]_0 < 1$:

$$[x_k]_0 = \frac{([a_1]_0, [a_2]_0, \dots, [a_i]_0, \dots, [a_k]_0) + ([b_1]_0, [b_2]_0, \dots, [b_i]_0, \dots, [b_k]_0)}{([c_1]_0, [c_2]_0, \dots, [c_i]_0, \dots, [c_k]_0)} \quad (2.18)$$

де $[c_i]_0 = \text{res}([a_i]_0 + [b_i]_0) \text{ mod } 1$.

Перевагою НСЗК є виконання операцій над залишками в нормалізованій формі, що спрощує реалізацію процесорів на основі даного базису, за рахунок виключення нелінійних операцій отримання залишку по кожному з модулів

процесора, а також заміни операції по “*mod P*” на операцію по “*mod l*”, яка виконується шляхом простого відкидання цілої частини результату згідно операції *int*.

2.3 Дослідження числових перетворень Радемахера-Крестенсона у досконалій формі СЗК

Формула перетворення СЗК (2.5) може бути представлена в наступному вигляді:

$$N_k = \text{res} \sum_{i=1}^k b_i \cdot \frac{P}{p_i} \cdot m_i \pmod{P}, \quad (2.20)$$

де $0 \leq m_i \leq p_i - 1$.

Очевидно, що наявність коефіцієнтів m_i в формулі (2.20) ускладнює реалізацію алгоритму виконання цілочисельного перетворення СЗК. Дослідження різних наборів p_i , яким відповідають набори коефіцієнтів m_i , в теоретико-числовому аспекті показали, що існують такі набори модулів p_1, p_2, \dots, p_k , які відповідають умовам взаємної простоти з одиничними коефіцієнтами $m_i (m_1=m_2=\dots=m_i=\dots=m_k=\dots=1)$ [114].

Прикладом такого набору модулів є $p_1=2, p_2=3, p_3=5$, для якого $P=30, V_1=15, V_2=10, V_3=6$, а $m_1=m_2=m_3=1$. В табл.2.3 показаний приклад представлення чисел в досконалій СЗК (ДСЗК) по вказаному наборі модулів:

Таблиця 2.3 – Представлення залишків в досконалій цілочисельній СЗК

N_k	$p_1=2$	$p_2=3$	$p_3=5$
0	0	0	0
1	1	1	1
2	0	2	2
3	1	0	3
4	0	1	4
5	1	2	0
6	0	0	1
...
20	0	2	0
...
28	0	1	3
29	1	2	4

Наприклад, для числа, представленого в ДСЗК, $N_k=(1, 2, 4)$ згідно виразу (2.20) маємо

$$N_k = \text{res}(1 \cdot 15 \cdot 1 + 2 \cdot 20 \cdot 1 + 4 \cdot 6 \cdot 1) \bmod 30 = 29.$$

Теоретичною основою досконалої нормалізованої форми СЗК є рівняння (2.20), підставивши в яке $m_1=m_2=m_k=1$, отримаємо базове рівняння перетворення НДСЗК у вигляді:

$$[N_k]_0 = \text{res} \sum_{i=1}^k [b_i]_0 \pmod{1}. \quad (2.21)$$

З рівняння (2.21) видно, що в перетворенні НДСЗК виключена операція множення на m_i , а саме перетворення виконується у вигляді сумування нормалізованих залишків $[b_i]_0$ по $\bmod 1$, що відповідає операції `int` відкидання цілої частини результату.

Розглянемо приклад застосування НДСЗК для набору модулів: $p_1=2$, $p_2=3$, $p_3=5$ (табл.2.4).

Таблиця 2.4 - Перетворення векторів багатомірного дискретного простору залишків у одномірний дискретний простір Радемахера

N_k	$[b_1]_0$	$[b_2]_0$	$[b_3]_0$	$[N_k]_0$
0	0	0	0	0
1	0.5	0.333	0.2	0.033
2	0	0.666	0.4	0.066
3	0.5	0	0.6	0.1
4	0	0.333	0.8	0.133
5	0.5	0.666	0	0.166
6	0	0	0.2	0.2
7	0.5	0.333	0.4	0.233
...
29	0.5	0.666	0.8	0.966

На рис.2.3 показаний приклад визначення $[N_k]_0$ для двох чисел $N_{k1}=5$, $N_{k2}=7$.

Операція міжбазисного перетворення може бути представлена у вигляді графа сумування нормалізованих значень залишків в заданій системі модулів. Наприклад: для двох чисел, згідно таблиці 2.4, отримаємо їх коди у

нормалізованій СЗК $N_{k1} = (0,5;0,66;0)$, $N_{k2} = (0,5;0,33;0,4)$ і, згідно графу рис 2.3, отримуємо їх нормалізовані значення у системі модулів (2, 3, 5) $[N_{k1}]_0 = 0,16$ і $[N_{k2}]_0 = 0,23$.

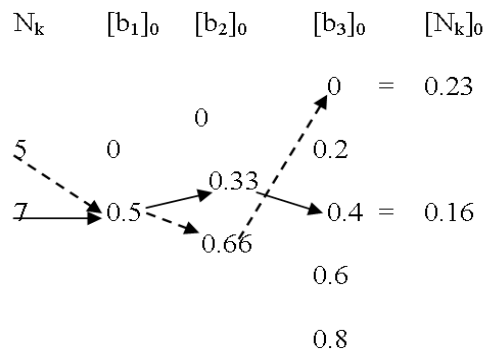


Рисунок 2.3 - Граф визначення $[N_k]_0$

Дані операції виконуються по табличному методу і займають 1 такт. Це дає перевагу перед виконанням тих самих операцій в інших базисах, що дозволяє суттєво спростити спецпроцесор на основі заданого базису.

Як показано у підрозділі 2.2, в якості базового спецпроцесора перетворення Крестенсона-Радемахера доцільно використати алгоритм досконалої нормалізованої форми СЗК (2.21). На рис.2.4 показана процедура міжбазисного перетворення Крестенсона-Радемахера на основі НСЗК.

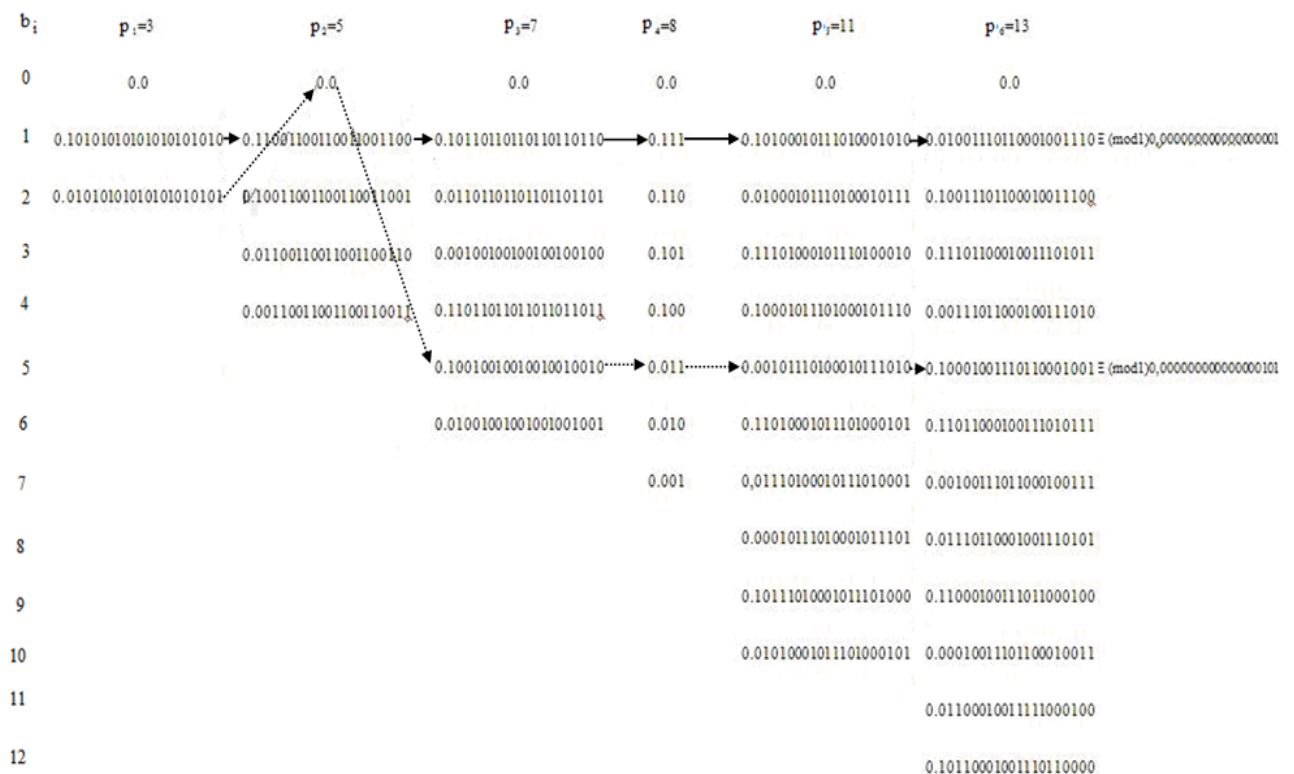


Рисунок 2.4 - Граф обчислення двійкових значень залишків на основі НСЗК

На рис.2.5 приведена діаграма часової складності виконання прямих перетворень досліджених форм СЗК згідно виразів:

$$\tau_k = k \cdot (2\nu(2n + 1) + n^2\nu);$$

$$\tau_n = k \cdot (2\nu(2n + 1) + 2n\nu);$$

$$\tau_d = k \cdot 2n\nu.$$

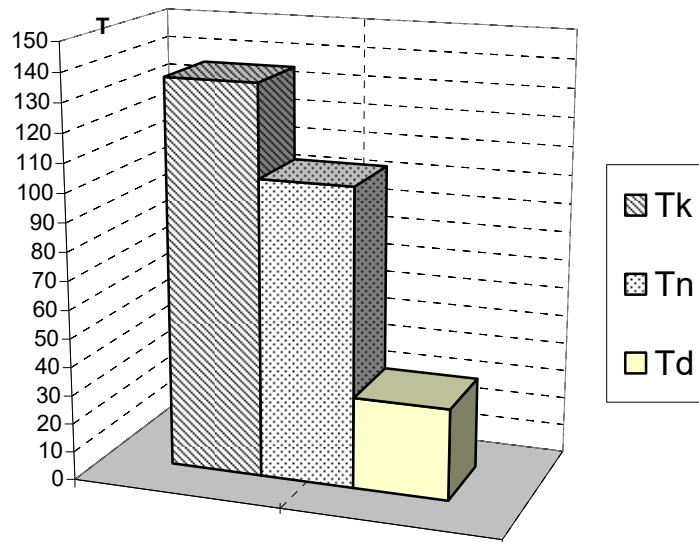


Рисунок 2.5 - Діаграма часової складності виконання перетворень цілочисельної, нормалізованої та досконалої форм СЗК

Проведені дослідження аналітики та часової складності прямих перетворень різних форм СЗК показує, що часова складність НДСЗК на 2 порядки менша по відношенню до цілочисельної форми СЗК, що визначає перспективу застосування НДСЗК для побудови високопродуктивних спецпроцесорів міжбазисного перетворення Крестенсона-Радемахера.

2.4 Розрахунок системи взаємопростих модулів для побудови спецпроцесорів базису Крестенсона різної розрядності

Досвід розробки спецпроцесорів базису Крестенсона на основі модульної цілочисельної арифметики СЗК, які використовувались у системах протиповітряної оборони колишнього Радянського Союзу, як показано в роботі [110], були вибрані наступні набори взаємопростих модулів: 2; 5; 23; 63; 17; 19;

29; 13; 31; 61. При цьому була досягнута швидкодія виконання арифметичних операцій 2,4 млрд/с.

Оскільки спецпроцесори в СЗК можуть мати розрядність 2^k , а їх застосування в задачах шифрування потребує більше 2^{10} розрядів, то науковою задачею є обґрунтування та рекомендація конкретних наборів взаємопростих модулів для спецпроцесорів даного класу. Однією з важливих умов, з точки зору уніфікації схемотехніки таких процесорів, є використання модулів з однаковою розрядністю, що потребує застосування математичних основ теорії чисел [79]. При цьому, при розрядності процесора в базисі Радемахера 2^k , необхідна розрядність спецпроцесора у базисі Крестенсона повинна розраховуватись згідно виразу:

$$N = \hat{E}[\log_2(P-1)] \geq 2^k + 2,$$

де $\hat{E}[\bullet]$ - цілочисельна функція з заокругленням до більшого цілого;

$P = \prod_{i=1}^n p_i$; $p_i \in (p_1, p_2, \dots, p_i, \dots, p_n)$ - набір взаємопростих модулів з

розрядністю $\hat{E}[\log_2(P-1)] \leq \frac{N}{n}$;

$P \in \overline{0, N-1}$ - діапазон кодування чисел у базисі Крестенсона.

В основу методу вибору системи взаємопростих модулів для великорозрядних процесорів базису Крестенсона покладений наступний алгоритм:

1) вибирається модуль $p_1 = 2^k$ з виконанням умови $\hat{E}[\log_2(2^k - 1)] = n$, оскільки $b_{i_max} = p_i - 1$;

2) вибираються всі прості числа розрядністю n в діапазоні

$\hat{E}[\log_2(2^k - 1)] \div \hat{E}[\log_2(2^{k-1} + 1)]$, тобто 521, 523, 541, 547, 557, 563, 569, 571, 577, 587, 593, 599, 601, 607, 613, 617, 619, 631, 641, 643, 647, 653, 659, 661, 673, 677, 683, 691, 701, 709, 719, 727, 733, 739, 743, 751, 757, 761, 769, 773, 787, 797, 809, 811, 821, 823, 827, 829, 839, 853, 857, 859, 863, 877, 881, 883,

887, 907, 911, 919, 929, 937, 941, 947, 953, 967, 971, 977, 983, 991, 997, 1009, 1013, 1019, 1021 при $n=10$;

3) вибираються добутки простих чисел, сумарна розрядність яких відповідає n -біт;

4) вибираються прості числа розрядність яких дорівнює $(n-1)$ -біт.

В результаті використання розробленого алгоритму будуть отримані набори модулів для процесорів різної розрядності (додаток В), приклад наборів модулів для процесорів з розрядністю 256, 512 та 1024 біти представлені в табл.2.5.

Таблиця 2.5 – Набори модулів для 256, 512 та 1024-бітного спецпроцесора

Розрядність процесора	Набори модулів
256 біт	8 бітні: 256, 255, 253, 251, 247, 241, 239, 233, 229, 227, 223, 217, 211, 199, 197, 193, 191, 181, 179, 173, 167, 163, 157, 151, 149, 139, 137, 131, 127, 113, 109, 107, 103, 101, 97. 9 бітні: 1) 512, 511, 509, 505, 503, 501, 499, 493, 491, 487, 481, 479, 473, 467, 463, 461, 457, 449, 443, 439, 437, 433, 431, 421, 419, 409, 401, 397, 389. 2) 263, 269, 271, 277, 281, 283, 293, 307, 311, 313, 317, 331, 337, 347, 349, 353, 359, 367, 373, 379, 383, 389, 397, 401, 409, 419, 421, 431, 433, 437, 439.
512 біт	9 бітні: 512, 511, 509, 505, 503, 501, 499, 493, 491, 487, 481, 479, 473, 467, 463, 461, 457, 449, 443, 439, 437, 433, 431, 421, 419, 409, 401, 397, 389, 383, 379, 373, 367, 359, 353, 349, 347, 337, 331, 317, 313, 311, 307, 293, 283, 281, 277, 271, 269, 263, 257, 251, 241, 239, 233, 229, 227, 223, 211, 199, 197.
1024 біти	10 бітні: 1024, 1023, 1021, 1019, 1013, 1009, 1007, 1003, 997, 995, 991, 989, 983, 977, 973, 971, 967, 953, 949, 947, 941, 937, 929, 919, 911, 907, 887, 883, 881, 877, 863, 859, 857, 853, 841, 839, 829, 827, 823, 821, 811, 809, 797, 787, 773, 769, 761, 757, 751, 743, 739, 733, 727, 719, 709, 701, 691, 683, 677, 673, 661, 659, 653, 647, 643, 641, 631, 619, 617, 613, 607, 601, 599, 593, 587, 577, 571, 569, 563, 557, 547, 541, 523, 521, 509, 503, 499, 479, 467, 463, 461, 457, 449, 443, 439, 433, 431, 421, 419, 409, 401, 397, 389, 383, 379, 373, 367.

2.5 Розробка теоретичних основ розмежування розрядної сітки процесора у базисі Радемахера-Крестенсона

Розмежовану систему можна ефективно застосовувати для побудови спецпроцесорів, які включають операції сумування, множення та обчислення залишків по модулю.

Перспективним є створення класу високопродуктивних спецпроцесорів для опрацювання даних великої розрядності (256 – 10⁹ біт). Типовими задачами, які реалізують такий клас спецпроцесорів, є процесори шифрування та дешифрування інформаційних потоків у системах захисту інформації, розв’язання систем великої розмірності, задачі знаходження найбільших дільників двох великорозрядних чисел, пошуку простих чисел великої розрядності та ряд інших аналогічних задач.

Теоретичною основою РСЗК є цілочисельна форма СЗК, рівняння якої представлено у вигляді суми [114]:

$$N_k = N_{1k} + N_{2k} + \dots + N_{ik} + \dots + N_{nk},$$

де N_{ik} – m - розрядний (розмежований) фрагмент числа N_k , яке представлено у двійковій системі числення, числового базису Радемахера.

Наприклад, 1024-х розрядний процесор СЗК може бути розмежований на 32 фрагменти по 32 біти (рис.2.6).

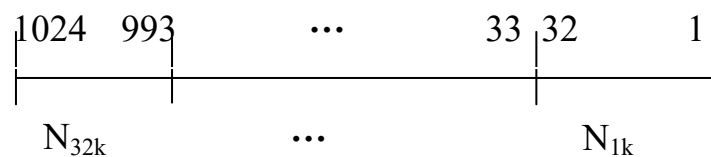


Рисунок 2.6 - Приклад розмежування 1024-х розрядного процесора

Таким чином, пряме перетворення РСЗК отримає вигляд :

$$\begin{array}{l}
 N_k = \begin{array}{l} \nearrow \\ \nearrow \\ \dots \\ \rightarrow \\ \dots \\ \searrow \end{array} \begin{array}{l} b_1 = (b_{11} + b_{21} + \dots + b_{r1} + \dots + b_{n1}) \bmod p_1 \\ b_2 = (b_{12} + b_{22} + \dots + b_{r2} + \dots + b_{n2}) \bmod p_2 \\ \dots \\ b_i = (b_{1i} + b_{2i} + \dots + b_{ri} + \dots + b_{ni}) \bmod p_i \\ \dots \\ b_k = (b_{1k} + b_{2k} + \dots + b_{rk} + \dots + b_{nk}) \bmod p_k. \end{array}
 \end{array}$$

При цьому математичні операції над числами в РСЗК можуть бути розмежовані по кожному із фрагментів процесора, що забезпечує ще більш глибокий рівень розпаралелювання обробки інформації, а відповідно підвищення швидкодії процесора СЗК.

Зі структури розмежованого процесора зрозуміло, що вона потребує обчислення залишків для кожного компонента згідно виразу

$$b_{ij} = \text{res}N_{ij}(\bmod p_i).$$

Звідки, процедура обчислення загального залишку виконується згідно виразу

$$b_i = \text{res}(b_{i1} + b_{i2} + \dots + b_{in}) \bmod p_i.$$

При бінарному розмежуванні двійкових чисел базису Радемахера, тобто $k=0$, структура розмежування має наступний вигляд:

$$\left| \begin{array}{c} 32 \\ \hline N_{32} \end{array} \right| \dots \left| \begin{array}{c} i \\ \hline N_{ik} \end{array} \right| \dots \left| \begin{array}{c} 3 \\ \hline N_3 \end{array} \right| \left| \begin{array}{c} 2 \\ \hline N_2 \end{array} \right| \left| \begin{array}{c} 1 \\ \hline N_1 \end{array} \right|$$

Запропонований в [89] алгоритм перетворення чисел базису Радемахера в СЗК на основі теорії РСЗК дозволяє поглибити процес розпаралелення та спрощення арифметичних операцій базису Крестенсона. В той же час, виконання процедури розмежування на N розрядів

$$N = 2^i \cdot n,$$

де N – число розрядів процесора, 2^i – коефіцієнт розмежування, приводить, як це показано в [67, 117], до спрощення складних дешифраторів, а також передбачає наскрізні переноси в РСЗК.

Реалізація побітного розмежування чисел в базисі Радемахера дозволяє суттєво спростити алгоритм переходу з базису Радемахера в базис Крестенсона,

а також реалізувати повнофункціональну арифметичну операцію у РСЗК без наскрізних переносів та при максимальному розпаралеленні.

Наявність значних переваг в СЗК, які приводять до створення модульних дешифраторів системи залишкових класів, які викладені в [37], визначає ефективність використання розмежованої СЗК, що дозволяє поглибити процес розпаралелення, спрощення виконання арифметичних операцій та реалізації дешифраторів на основі СЗК.

Основними операціями, які повинен виконувати спецпроцесор, незалежно від його застосування, є арифметичні операції додавання, множення, віднімання та ділення. Проте, для розробки алгоритмів виконання операцій віднімання та множення необхідна проста логічна операція порівняння. Отже, основними на даному етапі проектування спецпроцесора є реалізація операцій сумування та порівняння.

В загальному випадку для двох чисел $x = x_{n-1} \dots x_i \dots x_0$ та $y = y_{n-1} \dots y_i \dots y_0$ алгоритм здійснення операції сумування у розмежованій СЗК буде виконуватися наступним чином [68]:

1. Для кожного з бітів знаходимо залишки по модулях (2, 3, 5, 7, ..., P_j , ..., P_k). В результаті чого формуються матриці залишків числа X (табл.2.7) і залишків числа Y (табл.2.8).

Таблиця 2.7 - Матриця залишків числа X

	X_{n-1}	X_{n-2}	...	X_i	...	X_1	X_0
P_1	$a_{n-1,1}$	$a_{n-2,1}$...	$a_{i,1}$...	$a_{1,1}$	$a_{0,1}$
P_2	$a_{n-1,2}$	$a_{n-2,2}$...	$a_{i,2}$...	$a_{1,2}$	$a_{0,2}$
P_3	$a_{n-1,3}$	$a_{n-2,3}$...	$a_{i,3}$...	$a_{1,3}$	$a_{0,3}$
P_4	$a_{n-1,4}$	$a_{n-2,4}$...	$a_{i,4}$...	$a_{1,4}$	$a_{0,4}$
...
P_j	$a_{n-1,j}$	$a_{n-2,j}$...	$a_{i,j}$...	$a_{1,j}$	$a_{0,j}$
...
P_k	$a_{n-1,k}$	$a_{n-2,k}$...	$a_{i,k}$...	$a_{1,k}$	$a_{0,k}$

У табл.2.7 зображено структуру відображення числа X , де X_j – біти досліджуваного числа X представленого у вигляді залишків a_j по модулях P_j , відповідних бітів. Тобто, число розбивається на послідовність бітів і подальші

Для чисел, які відповідають умові $res2^i \pmod{5} = 4$, що діляться на 5, оскільки $res(2^{4i+2} + 2^0) \pmod{5} = 0$, формуємо таблицю 2.10.

Таблиця 2.10 - Ділимість чисел на 5

	2^{15}	2^{14}	2^{13}	2^{12}	2^{11}	2^{10}	2^9	2^8	2^7	2^6	2^5	2^4	2^3	2^2	2^1	2^0
16	1	1	1	1	1	1	1	1	1	1	1	1	1	1	1	1
32	1	1	1	1	1	1	1	1	1	1	1	1	1	1	1	1
48	1	1	1	1	1	1	1	1	1	1	1	1	1	1	1	1
...	...															
k+16	1	1	1	1	1	1	1	1	1	1	1	1	1	1	1	1
...	...															

Визначення 3. Даний тип чисел ніколи не ділиться на 7 без залишку, оскільки в РСЗК описується наступним рядом чисел:

...	1	4	2	1	4	2	1
-----	---	---	---	---	---	---	---

тобто відсутній залишок рівний 6.

В результаті з отриманих 50% віднімаємо 25% і отримуємо четверту частину всіх чисел (табл.2.11), які описуються аналітичним рівнянням $n = 2 + k * 4$, де $k = 0, 1, 2, \dots, \infty$.

Таблиця 2.11 - Ділимість чисел на 3 та 5

	2^{15}	2^{14}	2^{13}	2^{12}	2^{11}	2^{10}	2^9	2^8	2^7	2^6	2^5	2^4	2^3	2^2	2^1	2^0
16	1	1	1	1	1	1	1	1	1	1	1	1	1	1	1	1
32	1	1	1	1	1	1	1	1	1	1	1	1	1	1	1	1
48	1	1	1	1	1	1	1	1	1	1	1	1	1	1	1	1
...	...															
k+16	1	1	1	1	1	1	1	1	1	1	1	1	1	1	1	1
...	...															

Для дослідження чисел ділимості на 11 розглянемо залишки РСЗК по відповідному модулю, що описуються наступним рядом чисел:

...	10	5	8	4	2	1	6	3	7	9	10	5	8	4	2	1
-----	----	---	---	---	---	---	---	---	---	---	----	---	---	---	---	---

Тобто всі числа, які в степені РСЗК $res2^i \pmod{11} = 10$, діляться на 11, оскільки $res(2^{10i+1} + 2^0) \pmod{11} = 0$. Отже, отримуємо таблицю ділимості чисел на 11 (табл.2.12).

Таблиця 2.12 - Ділимість чисел на 11.

	2^{15}	2^{14}	2^{13}	2^{12}	2^{11}	2^{10}	2^9	2^8	2^7	2^6	2^5	2^4	2^3	2^2	2^1	2^0
16	1	1	1	1	1	1	1	1	1	1	1	1	1	1	1	1
32	1	1	1	1	1	1	1	1	1	1	1	1	1	1	1	1
48	1	1	1	1	1	1	1	1	1	1	1	1	1	1	1	1
64	1	1	1	1	1	1	1	1	1	1	1	1	1	1	1	1
80	1	1	1	1	1	1	1	1	1	1	1	1	1	1	1	1
96	1	1	1	1	1	1	1	1	1	1	1	1	1	1	1	1
...	...															

З табл. 2.13 видно, що числа, які діляться на 11, потрапляють в діапазон бітів залишків по модулях 3 та 5 з степенями бітів $1+k16$, $4+k16$, $8+k16$.

Табл.2.13 – Ділимість чисел на 3, 5 та 11.

	2^{15}	2^{14}	2^{13}	2^{12}	2^{11}	2^{10}	2^9	2^8	2^7	2^6	2^5	2^4	2^3	2^2	2^1	2^0
16	1	1	1	1	1	1	1	1	1	1	1	1	1	1	1	1
32	1	1	1	1	1	1	1	1	1	1	1	1	1	1	1	1
48	1	1	1	1	1	1	1	1	1	1	1	1	1	1	1	1
64	1	1	1	1	1	1	1	1	1	1	1	1	1	1	1	1
80	1	1	1	1	1	1	1	1	1	1	1	1	1	1	1	1
96	1	1	1	1	1	1	1	1	1	1	1	1	1	1	1	1
...	...															

Повторивши даний алгоритм для наступних простих чисел отримаємо таблиці простих чисел даного класу, які можуть бути використані для формування системи взаємопростих модулів СЗК базису Крестенсона.

ВИСНОВКИ ДО РОЗДІЛУ 2

1. Викладені теоретичні засади прямого та зворотного перетворення цілочисельної системи залишкових класів базису Крестенсона. Поданий приклад розрахунку базисних чисел B_i та нормуючі коефіцієнтів m_i для взаємопростих модулів p_1, p_2 . Формалізована аналітика арифметичних операцій додавання, віднімання, множення в СЗК та розраховані порівняльні характеристики швидкодії виконання арифметико-логічних операцій у базисах Радемахера та Крестенсона, в результаті чого встановлено, що операції сумування та множення в базисі Крестенсона можуть виконуватись за один такт роботи процесора, а при зростанні розрядності опрацьовуваних чисел більше 128 біт швидкодія процесорів базису Крестенсона перевищує відповідні характеристики процесорів базису Радемахера на 2-3 порядки.

2. Досліджено пряме та зворотне перетворення нормалізованої форми СЗК та визначені умови необхідної розрядності представлення двійкових кодів нормалізованих залишків $[b_i]_0$ двійковими кодами з фіксованою комою. Розраховано приклад кодування чисел в нормалізованій СЗК та формалізований алгоритм виконання операції додавання в НСЗК. Показано, що перевагою нормалізованої СЗК є виключення операції з великою часовою та апаратною складністю по базовому модулю СЗК і заміна її операцією по $mod1$, яка виконується шляхом відкидання цілої частини нормалізованих залишків.

3. В результаті дослідження досконалої форми СЗК встановлено та показано на діаграмі, що дана форма СЗК забезпечує зменшення часової складності прямих перетворень в 5 та 10 разів у порівнянні з нормалізованою та цілочисельною формами СЗК. Таким чином обґрунтована доцільність та ефективність застосування досконалих форм СЗК для побудови спецпроцесорів у базисі Крестенсона, а також процесорів міжбазисних перетворень Крестенсона-Радемахера.

4. Розроблено алгоритм операції ділення на основі бінарно-розмежованої СЗК та отримана аналітична матриця цієї операції у базисі Крестенсона, що дозволило замінити операцію ділення операцією множення у

розширеній СЗК та доповнюючими кодами залишків і виконувати її обмежене число тактів процесора з підвищенням швидкодії виконання операції ділення на 2-3 порядки.

5. Обґрунтована перспектива розмежування великорозрядних чисел з метою зменшення апаратної та часової складності процесорів міжбазисних перетворень та опрацювання великорозрядних чисел.

РОЗДІЛ 3

РОЗРОБКА ТА ДОСЛІДЖЕННЯ МІЖБАЗИСНИХ ПЕРЕТВОРЕНЬ
ВЕЛИКОРОЗРЯДНИХ ЧИСЕЛ У РОЗМЕЖОВАНІЙ СЗК

3.1 Дослідження часової складності міжбазисних перетворень ТЧБ, які породжують системи числення

В роботах [37, 122] проведені дослідження теорії міжбазисних перетворень у різних ТЧБ, які породжують системи числення. В табл.3.1 приведені отримані аналітичні вирази міжбазисних перетворень у різних ТЧБ.

Таблиця 3.1 - Міжбазисні перетворення різних ТЧБ

№	Теоретико-числові бази	Алгоритми міжбазисних перетворень
1	2	3
1	Радемахера-Крестенсона (цілочисельна)	$N_k = (a_{n-1}, \dots, a_i, \dots, a_0); a_i \in \overline{0,1}; N_k = \sum_{i=0}^{n-1} a_i \cdot 2^i;$ $N_k = \begin{matrix} \nearrow \dots b_1 \\ \dots b_i \\ \searrow \dots b_k \end{matrix} \quad b_i = \text{res} N_k (\text{mod} p_i);$ $N_k = a_i p_i + b_i, P = \prod_{i=1}^k p_i; 0 \leq N_k \leq P, p_i \equiv p_j.$
2	Радемахера-Крестенсона (нормалізована)	$\frac{N_k}{P} = \text{res} \sum_{i=1}^k \frac{b_i \cdot B_i (\text{mod} P)}{P}, [N_k]_0 = \text{res} \sum_{i=1}^k b_i \cdot \frac{B_i}{P} (\text{mod} 1),$ $0 \leq [N_k]_0 \leq P-1; \frac{B_i}{P} = \frac{1}{p_i},$ $\delta_p \leq \frac{1}{P}, \frac{1}{p_i} = 0 \underbrace{\text{gggggggggg}}_{\delta_i}$
3	Радемахера-Крестенсона (досконала)	$[N_k]_0 = \text{res} \sum_{i=1}^k [b_i]_0 (\text{mod} 1), \quad b_i = \text{int} \text{res} [N_k]_0 (\text{mod} 1) \cdot P_i$
4	Радемахера-Крестенсона (розмежована)	$N_k = N_{1k} + N_{2k} + \dots + N_{ik} + \dots + N_{nk},$ $b_{ij} = \text{res} N_{ij} (\text{mod} p_i), P = \prod_{i=1}^k p_i, \text{ де } 0 \leq N_k \leq P-1$
5	Крестенсона-Радемахера (цілочисельна)	$N_k = \text{res} \sum_{i=1}^k b_i \cdot B_i (\text{mod} P), B_i = \frac{P}{p_i} \cdot m_i \equiv 1 (\text{mod} P_i).$
6	Крестенсона-Радемахера (нормалізована)	$[N_k]_0 = \text{res} \sum_{i=1}^k b_i \cdot \frac{m_i}{p_i} (\text{mod} 1), [N_k]_0 = \text{res} \sum_{i=1}^k [b_i]_0 \cdot m_i (\text{mod} 1),$ $[b_i]_0 = \frac{b_i}{p_i}, 0 \leq [b_i]_0 \leq 1, N_k = \text{int} [N_k]_0 \cdot P,$

Продовження таблиці 3.1

1	2	3
7	Крестенсона-Радемахера (досконала)	$[N_k]_0 = \text{res} \sum_{i=1}^k [b_i]_0 \pmod{1}$.
8	Крестенсона-Радемахера (розмежована)	$N_k = \text{res} \sum_{r=1}^n \sum_{i=1}^k \text{res}(b_{1i} + b_{2i} + \dots + b_{ri} + \dots + b_{ni}) \pmod{P_i} \cdot B_i \pmod{P}$.
9	Радемахера-Галуа	$N_k \rightarrow \sum_{i=0}^{n-1} i \rightarrow G_0, G_1 \dots G_{i-1}; G_0 = (111\dots 1); G_{i+1} = G_i \oplus G_{i-n}; i \in \overline{0, n-1}$.
10	Крестенсона-Галуа	$N_k = (b_1, b_2, \dots, b_i, \dots, b_k) \rightarrow \sum_{i=0}^{n-1} i \rightarrow G_i, G_{i-1} \dots G_{i-n};$ $G_0 = (111\dots 1); G_{i+1} = G_i \oplus G_{i-n}; i \in \overline{0, n-1}$.
11	Галуа-Радемахера	$G_i, G_{i-1} \dots G_{i-n} \rightarrow \sum_{i=0}^{n-1} i \rightarrow N(a_{n-1}, \dots, a_i, \dots, a_0) \rightarrow N_k; a_i \in \overline{0, 1}$.
12	Галуа-Крестенсона	$G_i, G_{i-1} \dots G_{i-n} \rightarrow \sum_{i=0}^{n-1} i \rightarrow N_k = (b_1, b_2, \dots, b_i, \dots, b_k)$.

На рис. 3.1 показана розрахована на основі аналітичних виразів табл.3.1 діаграма часової складності алгоритмів міжбазисних перетворень досліджуваних ТЧБ.

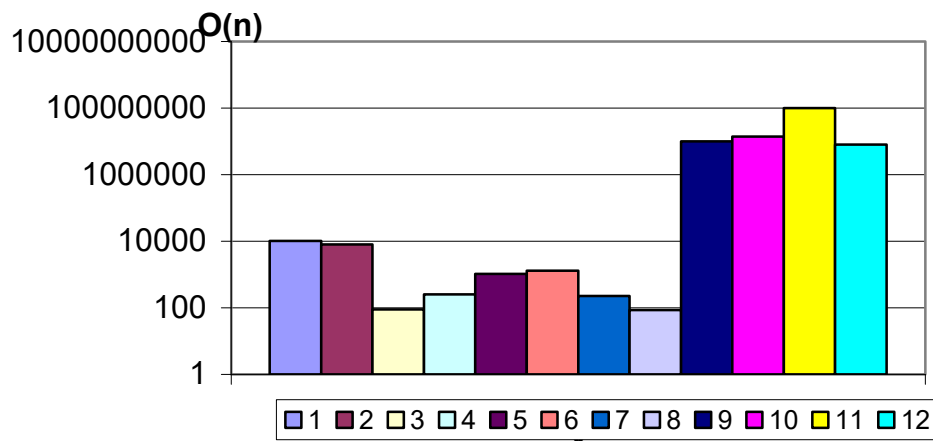


Рисунок 3.1 - Діаграма часової складності міжбазисних перетворень різних ТЧБ

В результаті проведених досліджень встановлено, що перетворення Радемахера-Крестенсона та Крестенсона-Радемахера характеризуються

найменшою часовою складністю та найбільшим числом міжбазисних перетворень у цілочисельній, нормалізованій, досконалій та розмежованій формах СЗК. Тому такі міжбазисні перетворення можуть бути ефективно застосовані при створенні мультибазисних процесорів, а також опрацюванні великорозрядних чисел в системах криптозахисту інформації та ряді фундаментальних задач теорії чисел.

3.2 Розробка високопродуктивних матричних операцій сумування у розмежованій СЗК

Для виконання операції додавання застосовуємо бінарно-розмежовану СЗК, на основі якої формуємо матриці по кожному біту двійкового числа X ($X_{n-1}, X_{n-2}, \dots, X_i, \dots, X_1, X_0$) та Y ($Y_{n-1}, Y_{n-2}, \dots, Y_i, \dots, Y_1, Y_0$), звідки формується матриця залишків кожного i -того розряду у системі взаємопростих модулів $P_1, P_2, \dots, P_j, \dots, P_k$ [87].

Виконуємо операцію сумування над матрицями за формулою:

$$\left(\sum_{i=1}^{n-1} b_{i,j} + \sum_{i=0}^{n-1} a_{i,j} \right) \bmod P_j = C_{i,j}; \quad i \in \overline{0}, n-1; j \in \overline{1, k}. \quad (3.1)$$

При цьому $a_{i,j}$ – залишок біту X_i по модулю P_j , $b_{i,j}$ – залишок біту Y_i по модулю P_j , i – порядковий номер біту, j – порядковий номер модуля, по якому шукається залишок.

Тобто, виконується сумування залишків по відповідних модулях:

$$\begin{array}{r} P_1, P_2, \dots, P_i, \dots, P_k \\ x_k \quad (a_1, a_2, \dots, a_i, \dots, a_k) \\ \quad \quad \quad + \quad + \quad \quad + \quad + \\ y_k \quad (b_1, b_2, \dots, b_i, \dots, b_k) \\ \quad \quad \quad (c_1, c_2, \dots, c_i, \dots, c_k) \end{array} .$$

В результаті отримуємо суму двох чисел X та Y у вигляді матриці залишків РСЗК (табл. 3.2).

Таблиця 3.2 - Матриця залишків результату сумування

P_1	$C_{n-1,1}$	$C_{n-2,1}$...	$C_{i,1}$...	$C_{1,1}$	$C_{0,1}$
P_2	$C_{n-1,2}$	$C_{n-2,2}$...	$C_{i,2}$...	$C_{1,2}$	$C_{0,2}$
P_3	$C_{n-1,3}$	$C_{n-2,3}$...	$C_{i,3}$...	$C_{1,3}$	$C_{0,3}$
P_4	$C_{n-1,4}$	$C_{n-2,4}$...	$C_{i,4}$...	$C_{1,4}$	$C_{0,4}$
...
P_j	$C_{n-1,j}$	$C_{n-2,j}$...	$C_{i,j}$...	$C_{1,j}$	$C_{0,j}$
...
P_k	$C_{n-1,k}$	$C_{n-2,k}$...	$C_{i,k}$...	$C_{1,k}$	$C_{0,k}$

Алгоритм трансформації операції сумування з РСЗК в цілочисельній формі СЗК обчислюється згідно операції:

$$(C_{n-1,j} + C_{n-2,j} + \dots + C_{i,j} + \dots + C_{1,j} + C_{0,j}) \bmod P_j = \gamma_j, \quad (3.2)$$

де γ_j - відповідно залишок в цілочисельній формі СЗК.

Розроблено алгоритм виконання матрично-модулярної операції множення чисел з розрядністю n біт $a = a_{n-1}2^{n-1} + \dots + a_i2^i + \dots + a_12 + a_0$ та $b = b_{n-1}2^{n-1} + \dots + b_i2^i + \dots + b_12 + b_0$, де $a_i, b_j = 0, 1$, n – розрядність модуля p . Обчислення результату їх множення за модулем p відбувається на основі матриці $\|c_{ij}\| = 2^{i+j} \bmod p$ (табл. 3.3). Результат операції множення чисел a та b отримується згідно формули:

$$a \cdot b = \left(\sum_{i=1}^{n-1} \sum_{j=1}^{n-1} a_i b_j 2^{i+j} \right) \bmod p,$$

де $a_i, b_j = 1$, тобто c_{ij} знаходиться в місці перетину стовпця та рядка, для яких відповідні a_i та b_j дорівнюють 1

Таблиця 3.3 – Матриця множення в базисі Радемахера–Крестенсона

	b_{n-1}	...	b_i	...	b_1	b_0
a_{n-1}	$c_{n-1, n-1}$...	$c_{n-1, i}$...	$c_{n-1, 1}$	$c_{n-1, 0}$
...
a_i	$c_{i, n-1}$...	c_{ij}	...	$c_{i, 1}$	$c_{i, 0}$
...
a_1	$c_{1, n-1}$...	$c_{1, i}$...	$c_{1, 1}$	$c_{1, 0}$
a_0	$c_{0, n-1}$...	$c_{0, i}$...	$c_{0, 1}$	$c_{0, 0}$

Таким чином, отриманий новий алгоритм заміни операції множення, яка має лінійно-логарифмічну обчислювальну складність $O(n) = n \log n$, операцією

додавання з логарифмічною складністю $O2(n) = \begin{cases} (\log_2 n)^2, & \text{якщо } n < 256 \\ n \cdot (\log_2 n), & \text{в інших випадках} \end{cases}$ та

для спецпроцесора в РСЗК $O3(n) = 2 \log n$. Результати дослідження ефективності даного алгоритму наведені на рис. 3.2.

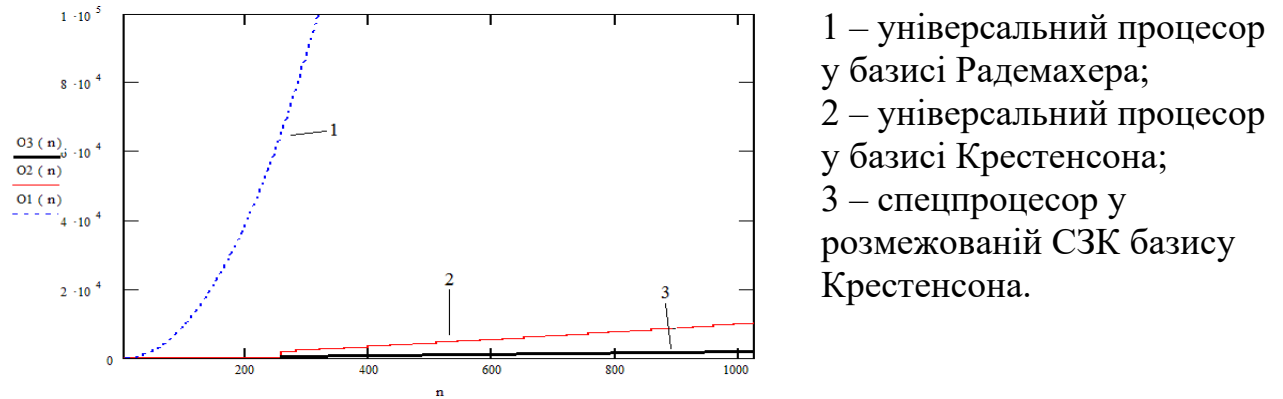
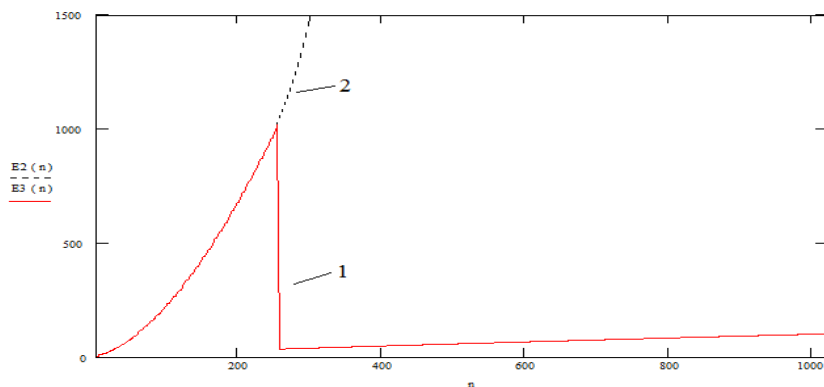


Рисунок 3.2 - Складність операції модулярного множення

З рис.3.2 видно, що при зростанні розмірності параметрів алгоритму модулярного множення відомий алгоритм не може бути фізично реалізований з використанням сучасної мікропроцесорної техніки, особливо з врахуванням наступної операції піднесення до степеня, яка включає множення. А запропонований алгоритм з використанням базису Крестенсона дозволяє, за рахунок нарощення розмірності ключів, параметрів асиметричних криптоалгоритмів, суттєво підвищити рівень захисту інформаційних потоків від несанкціонованого доступу, які ґрунтуються на незворотних перетвореннях дискретного логарифмування або факторизації великорозрядних чисел [7].

Ефективність запропонованого алгоритму модулярного множення буде визначатися як співвідношення обчислювальних складностей

$$E3(n) = \begin{cases} \frac{n^2}{(\log_2 n)^2}, & \text{якщо } n < 256 \\ \frac{n^2}{n \cdot \log_2 n}, & \text{в інших випадках.} \end{cases}, \text{ що показано на рис.3.3.}$$



1 – емуляція для спецпроцесора;
2 – емуляція на універсальному процесорі.

Рисунок 3.3 - Ефективність реалізації алгоритму модулярного множення розмірності n

Проаналізувавши співвідношення складностей та результатів рис.3.3, можна зробити висновок, що в діапазоні розрядності вхідних даних алгоритму модулярного множення від 0 до 256 бітів ефективність стрімко зростає при переході від двійково-десятькової системи числення з квадратичною часовою складністю до розмежованої системи числення Радемахера-Крестенсона з логарифмічною. При зростанні розрядності чисел більших від 256 біт складність операції модулярного множення на основі використання ТЧБ Радемахера-Крестенсона буде лінійно-логічною. Слід зазначити, що в основу розробленого алгоритму входить додавання чисел з великою розрядністю, який на відміну від існуючих замінює операцію множення, яка здійснюється за n^2 тактів, n -тактною операцією додавання.

Очевидно, що при створенні спецпроцесорів шифрування інформації з розрядністю 1024 та 2048 біт втрата швидкодії (див. рисунки 3.2, 3.3), яка спостерігається на універсальних процесорах з меншою розрядністю буде компенсована підвищенням швидкодії арифметико-логічних пристроїв відповідної розрядності.

Отже, використання базису Крестенсона суттєво збільшує перспективи щодо розробки систем з високим рівнем захисту інформаційних потоків і дозволяє зменшити часову та обчислювальну складність виконання алгоритму модулярного множення.

3.3 Вдосконалення та дослідження компонентів спецпроцесорів модульного опрацювання великорозрядних чисел у бінарно-розмежованій СЗК

3.3.1 Матрично-модульний суматор та перемножувач у базисі Хаара

Вимоги створення швидкодіючих спецпроцесорів опрацювання великорозрядних чисел у базисі Крестенсона визначають доцільність застосування одноктактних матричних суматорів по модулю в кодах базису Хаара. Алгоритми виконання операцій сумування та множення по модулю у базисі Хаара здійснюються згідно аналітичного виразів:

$$S_k(H) = \text{res}(b_i + b_j) \bmod P, \quad Z_k(H) = \text{res}(b_i \cdot b_j) \bmod P;$$

$$S_k = k(H), \text{ якщо } (b_i + b_j) = P_j + k, \text{ що відповідає } b_i(H) \wedge b_j(H) = 1;$$

$$Z_k = k(H), \text{ якщо } (b_i \cdot b_j) = P_j + k, \text{ що відповідає } b_i(H) \wedge b_j(H) = 1.$$

На рис.3.4 та 3.5 показані структури матрично-модульного суматора та перемножувача базису Хаара по модулю 11.

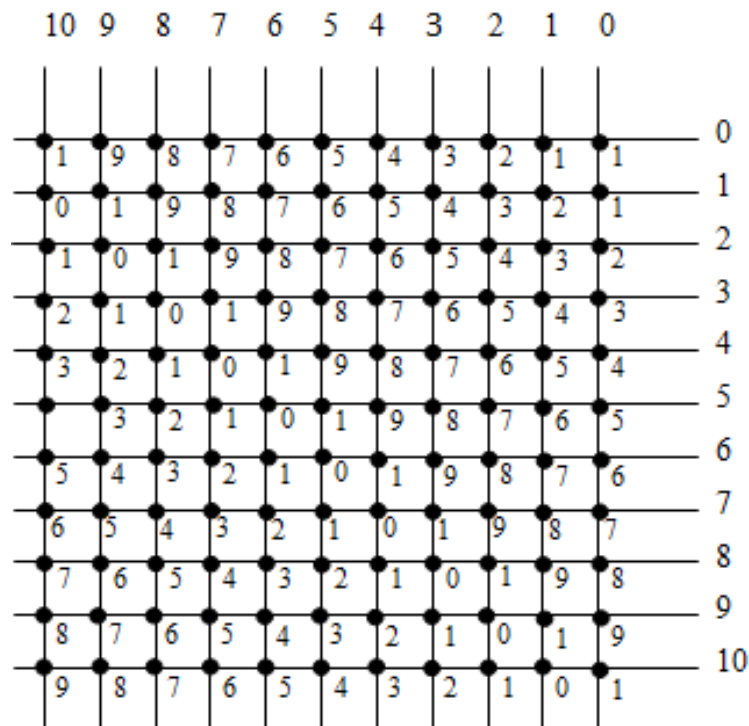


Рисунок 3.4 - Матрично-модульний суматор базису Хаара

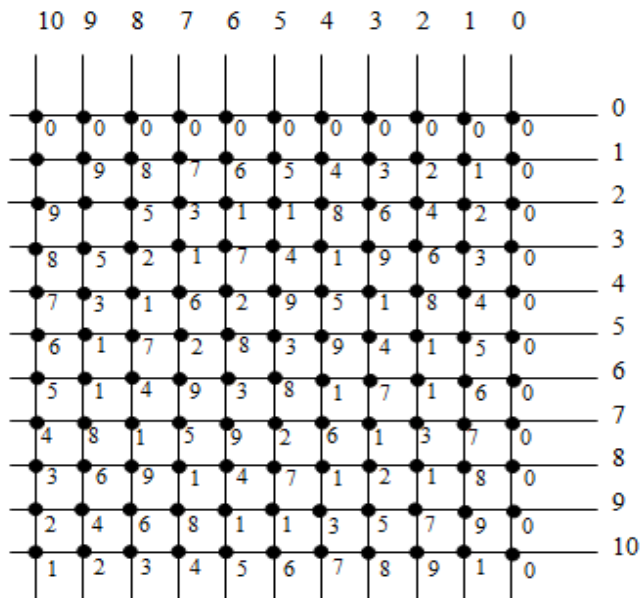


Рисунок 3.5 - Матрично-модульний перемножувач базису Хаара

Оскільки на пересіченні шин матриці (див. рис.3.4, 3.5) розміщується один логічний елемент «І-НЕ», а вихідний біт формується на основі провідного логічного елемента «АБО», то апаратна складність таких пристроїв рівна $P^2 + P$ та P^2 (рис.3.6), а часова складність рівна $2v$.

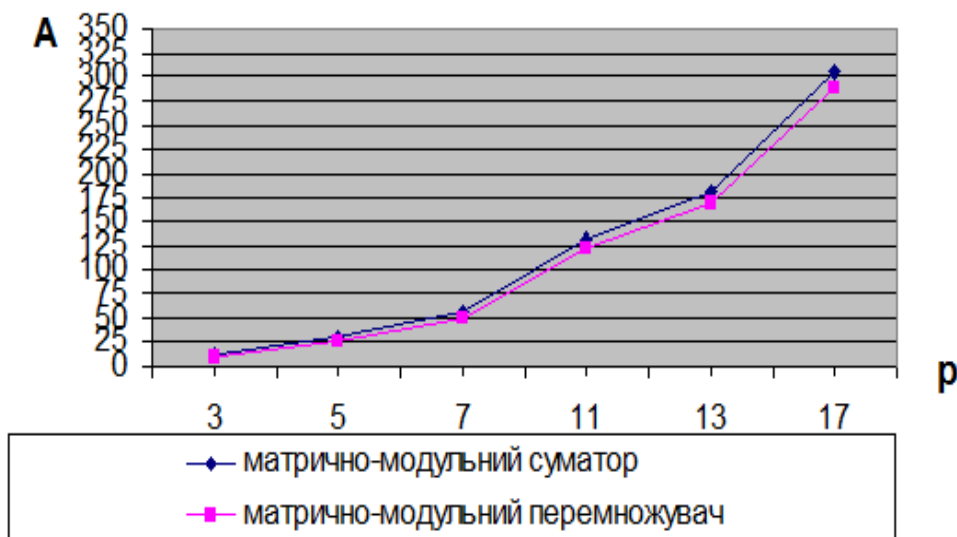


Рисунок 3.6 - Апаратна складність матрично-модульного суматора та перемножувача у базисі Хаара

Швидке зростання апаратної складності даного класу матрично-модульних пристроїв не дозволяє використовувати їх автономно при опрацюванні великорозрядних чисел. В той же час, використання таких пристроїв у

процесорах базису Крестенсона є достатньо ефективним, оскільки при переході до базису Крестенсона число вентильних елементів замість N^2 буде рівне сумі P_j^2 , де P_j – взаємопрості модулі, добуток яких перевищує число N . На рис.3.7 показано характеристики часової складності процесорів виконання операцій сумування та множення по модулю у базисах Хаара та Крестенсона в залежності від значення числа N .

При створенні спецпроцесорів опрацювання великорозрядних чисел $k \geq 1024$ біт, для яких необхідно використовувати матриці по модулю, коди залишків та взаємопростих модулів можуть перевищити розрядність 10 біт, що приводить до швидкого зростання складності апаратної реалізації матриць модульних операцій. У даному випадку доцільно виконувати модульні операції над 10-и бітними кодами залишків у базисі Радемахера по кожному модулю системи залишкових класів, що на порядок може зменшити швидкодію процесорів базису Крестенсона. При цьому, апаратна складність по кожному каналу процесора суттєво, практично на 2 порядки, зменшиться.

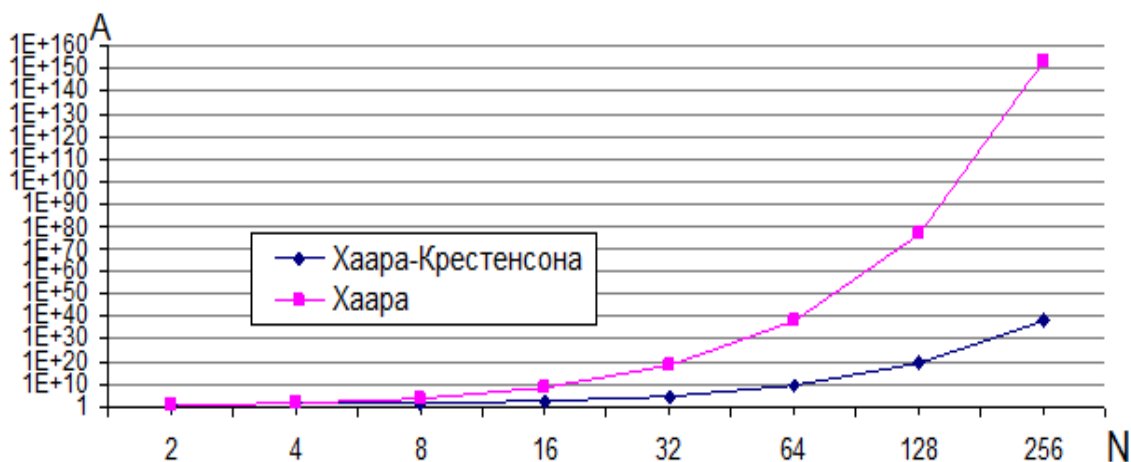


Рисунок 3.7 - Кількість вентильних елементів для базису Хаара та Хаара-Крестенсона

Модульна матриця множення у базисі Хаара-Крестенсона реалізується згідно аналогічної структури з часовою складністю $\tau = \nu$ та меншою апаратною складністю без елементів обчислення рангів $A = p^2$.

3.3.2. Пірамідальні та конвеєрні компоненти спецпроцесорів міжбазисного перетворення Радемахера-Крестенсона

Алгоритми міжбазисного перетворення Радемахера-Крестенсона можуть бути побудовані на основі пірамідальних та конвеєрних структур. У першому випадку виконується паралельне багатокаскадне обчислення залишків, число тактів якого залежить від розрядності вхідних двійкових кодів. У другому випадку відбувається послідовне обчислення залишків, з числом тактів перетворень, пропорційним розрядності перетворюваних двійкових чисел. При цьому виникають компромісні завдання створення міжбазисних перетворювачів з максимальною швидкодією або мінімальною апаратною складністю.

Таким чином, для перетворення двійкових чисел з базису Радемахера в базис Крестенсона над елементами стрічок матриці, поданої в табл.3.2, виконується наступна операція над залишками [37]:

$$res(b_{n-1,j} + b_{n-2,j} + \dots + b_{i,j} + \dots + b_{1,j} + b_{0,j}) \bmod P_i . \quad (3.3)$$

Для підвищення швидкості модульної операції (3.3) доцільно застосувати структуру пірамідального алгоритму сумування, згідно рис. 3.8 [37, 116, 121].

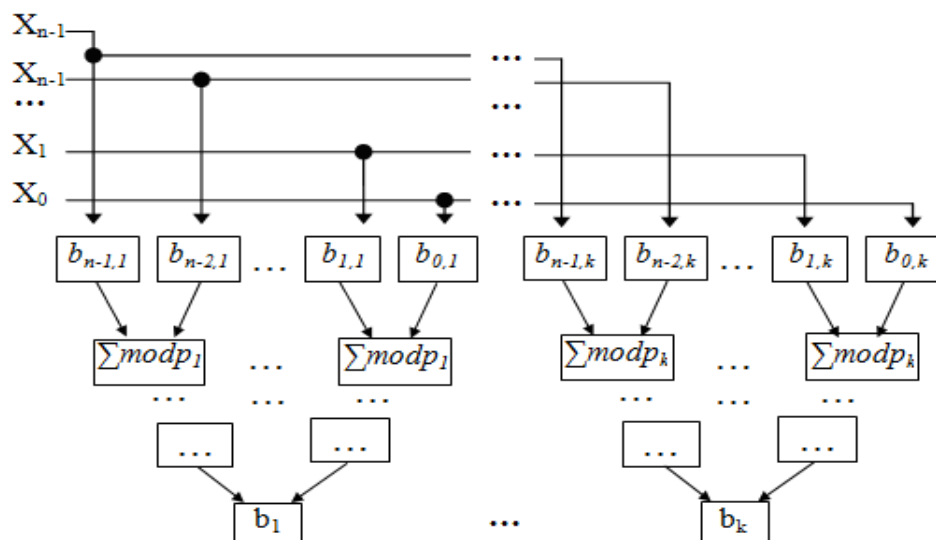


Рисунок 3.8 - Пірамідальний алгоритм сумування залишків в РСЗК

Швидкодія такого пірамідально-модульного суматора розраховується за формулою:

$$m = \log_2 n^i,$$

де n – розрядність процесора базису Радемахера.

Висока швидкодія такого компонента міжбазисного перетворення Радемахера – Крестенсона потребує великої кількості суматорів в залежності від розрядності процесора, число яких розраховується за формулою:

$$S = n + n/2 + n/4 + \dots + n/n.$$

Таким чином, загальний об'єм мікроелектронного обладнання даного міжбазисного перетворення можна оцінити згідно виразу

$$Q = K \cdot S,$$

де K – число взаємопростих модулів базису Крестенсона.

Об'єм мікроелектронного обладнання міжбазисного перетворювача (МБП) можна суттєво зменшити на основі інформаційної технології та структури, показаної на рис.3.9 [37, 116, 120, 121].

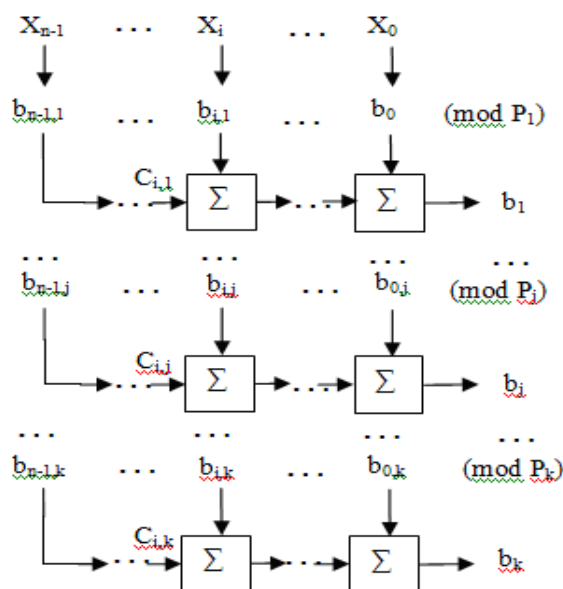


Рисунок 3.9 - Структура міжбазисного перетворювача Радемахера-Крестенсона

Характеристика об'єму та швидкодії мікроелектронного обладнання суматора по модулю P_j . Згідно архітектури пірамідального та лінійного міжбазисних перетворень по модулю P_j , показаних на рис.3.8 та 3.9, порівняння

їх характеристик приведено на рис.3.10, звідки видно, що лінійна архітектура потребує в два рази менше обладнання по відношенню до пірамідальної.

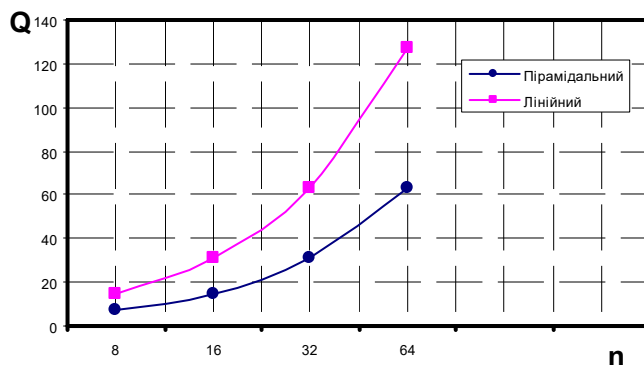


Рисунок 3.10 - Об'єм мікроелектронного обладнання міжбазисного перетворення Радемахера-Крестенсона

Результати аналізу швидкодії двох досліджуваних архітектур міжбазисного перетворення при унітарному кодуванні залишків (рис.3.11) розраховується згідно виразів [37, 121]:

$$S_p = \frac{1}{2 + \log_2 n}; \quad S_l = \frac{1}{n},$$

де n – число розрядів процесора;

S_p – швидкодія пірамідального МБП;

S_l – швидкодія лінійного МБП.

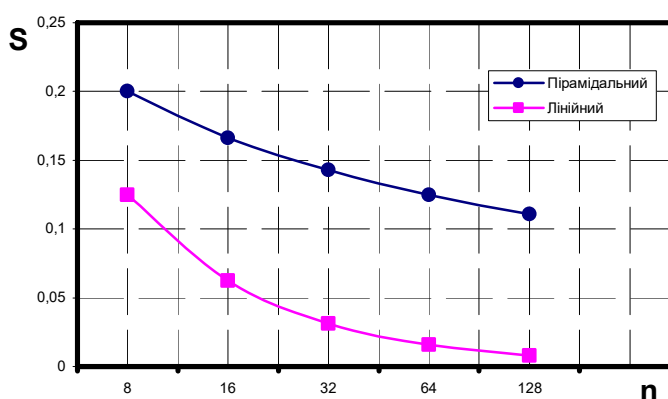


Рисунок 3.11 - Швидкодія міжбазисного перетворення Радемахера-Крестенсона

Проведені дослідження доводять, що в бінарно-розмежованій СЗК підвищується ефективність і реалізація міжбазисного перетворення Радемахера – Крестенсона за схемотехнічними варіантами на основі пірамідально та лінійно з'єднаних суматорів по модулю P , при чому, об'єм обладнання пірамідальної структури в два рази перевищує об'єм лінійної структури при заданій розрядності процесора. Швидкодія пірамідального МБП зростає із збільшенням розрядності процесора (8 – 128) відповідно у діапазоні (1,6 – 13,8) разів.

При розрядності процесорів $k \geq 1024$ застосування досліджуваних міжбазисних перетворень не забезпечує прийнятної швидкодії та апаратної складності, що обмежує застосування цих структур при створенні процесорів шифрування. Крім того, наявність операції порівняння чисел у алгоритмах, які реалізують досліджувані структури, також значно знижує швидкодію міжбазисних перетворювачів.

3.4 Розробка методу та способу визначення залишків на основі модуля пам'яті та мультиплексованих рандомізаторів

Вперше розроблений метод знаходження залишку великорозрядного двійкового числа Y по великорозрядному цілочисельному модулю P , який представляється у доповнюючому коді для виконання операції віднімання, ґрунтується на основі розробленого рекурсивного співвідношення [96, 111]:

$$b_i = [p]_{\text{мд}} + 2b_{i-1} + a_i, \quad i = n, n-1, \dots, 1,$$

де n – розрядність числа Y , з якого визначається залишок b_i ;

a_i – біти двійкового числа Y , починаючи зі старшого розряду a_n ;

$[P]_{\text{мд}}$ – $k+1$ розрядна мантиса доповнюючого коду модуля P ;

b_i – текуче кодове значення залишку ($b_{i-1} = 0$).

Розглянемо приклад знаходження результату операції за модулем:

Нехай значення $Y=100_{(10)}=1100100_{(2)}$, $P=11_{(10)}=1011$.

Отже, залишок в десятковій системі $b_1 = \text{res}100(\text{mod}11) = 1$.

Для знаходження значення b_1 , знаючи двійкові представлення Y та P , потрібно виконати наступну послідовність кроків:

1. Записуємо число $Y=1100100_{(2)}$ у перший регістр 1;

2. Записуємо $k+1$ розрядну мантису доповнюючого коду $[P]_{мд}=10101$ у другий регістр 5, яку отримуємо наступним чином:

- Двійкове представлення числа P записуємо з нульовим бітом у старшому розряді і отримуємо: $P=01011_{(2)}$
- Записуємо інверсний код для числа P : $\bar{P}=10100$
- Додаємо до цього коду «1»:

$$[P]_{мд} = \frac{10100}{10101} + 1.$$

3. У регістри 6 і 7 записуємо нулі, тобто $b_i = 00000$ $b_{i-1} = 00000$; $i = n, n-1, \dots, 1$.

4. У блоці управління формується «0» біт на керуючий вхід мультиплексора, за допомогою якого записується, зчитується інформація b_i, b_{i-1} з регістрів та записуються порозрядно вихідні коди суматора у четвертий регістр.

5. В кожному циклі роботи пристрою виконується сумування мантиси доповнюючого коду модуля P із значенням текучого залишку b_{i-m} . У нашому випадку має місце така операція

$$\begin{array}{r} [P]_{мд} \quad 10101 \\ 2b_i + a_i \quad + 00001 \\ \hline [b_{i-m+1}]_{мд} \quad 11110 \end{array} \quad i = n-1$$

6. В результаті чого отримується мантиса додавання в доповнюючому коді. При чому, записується у регістр третій (b_i) або четвертий (b_{i-1}) двійкове представлення цієї мантиси. Отримане значення «1» в $k+1$ такті сумування показує, що $b_{i-1} < P$. Тоді відбувається зсув інформації у відповідному третьому або четвертому регістрі відбувається запис у молодший розряд a_{i-1} біта числа Y , тобто

$$P > b_i \quad \begin{array}{r} 10101 \\ +00011 \\ \hline 11100 \end{array} \quad i = n - 2; \quad P > b_i \quad \begin{array}{r} 10101 \\ +00110 \\ \hline 11011 \end{array} \quad i = n - 3;$$

$$P \leq b_i \quad \begin{array}{r} 10101 \\ +01100 \\ \hline 00011 \end{array} \quad i = n - 4.$$

7. Згенерований біт «0» подається на блок управління, в якому він записується і переключається мультиплексор, в результаті чого отримуємо $2b_{i-1}$ в четвертому регістрі та відбувається запис в молодший розряд текучого біта числа Y .

8. На основі рекурентного співвідношення здійснюється сумування:

$$\begin{array}{r} 10101 \\ +00011 \\ \hline 10100 \end{array} \rightarrow \begin{array}{r} 10101 \\ +00110 \\ \hline 11011 \end{array} \rightarrow \begin{array}{r} 10101 \\ +01100 \\ \hline 00001 = b_1 \end{array}$$

Отже, на основі використання розробленого методу знаходження залишку отримуємо значення $b_1 = 00001_{(2)} = 1_{(10)}$, що відповідає $b_1 = \text{res}100(\text{mod}11) = 1$.

Аналогічним чином виконується розрахунок знаходження залишку по парному модулю:

Нехай $Y=25_{(10)}=11001_{(2)}$, $p=6_{(10)}=110$.

Записуємо $[P]_{\text{mod}} = 0110 \xrightarrow{-p} 1001 \xrightarrow{+1} 1010$.

Згідно запропонованого методу виконуємо наступну послідовність дій:

$$\begin{array}{r} 1010 \\ +0001 \\ \hline 1011 \end{array} \rightarrow \begin{array}{r} 1010 \\ +0011 \\ \hline 1101 \end{array} \rightarrow \begin{array}{r} 1010 \\ +0110 \\ \hline 0000 \end{array}$$

Слід зазначити, якщо старший розряд «0», то здійснюється зсув на біт отриманого залишку і додається новий біт числа:

$$\begin{array}{r} 1010 \\ +0000 \\ \hline 1010 \end{array} \rightarrow \begin{array}{r} 1010 \\ +0001 = b_1 \\ \hline 1011 \end{array}$$

Отже, коли використані всі біти числа Y і $b_i < P$, то $b_1 = 0001_{(2)}$, то $b_1 = \text{res}25(\text{mod}6) = 1$.

При реалізації пристрою доцільно в якості регістрів використати багаторозрядну флеш-пам'ять.

Функціональним обмеженням розробленого спецпроцесора є наявність операцій додавання доповнюючих кодів фрагментів двійкового числа базису Радемахера для визначення залишку по модулю p_i , що знижує швидкодію роботи процесора. Тому, з метою підвищення швидкодії спецпроцесорів даного класу, запропонована структурна схема на основі використання ПЗП, в якому зберігаються обчислювані залишки по модулю.

В основу способу отримання залишку b_i двійкового числа $X_{(2)} = (a_0, a_1, \dots, a_i, \dots, a_{n-1})$, який починаючи з його старшого розряду a_{n-1} , по заданому модулю P_j , покладено рекурентний алгоритм [97, 98, 111].

$$b_i = (a_i + 2 \cdot b_{i-1}) \text{ mod } P_j, \quad (3.4)$$

де a_i – значення i -того біта двійкового числа;

b_{i-1} – значення залишку $i-1$ біта двійкового числа. Початкова умова реалізації способу визначення залишку задається наступними даними: $i = n - 1$, $b_{i-1} = 0$. Шуканий кінцевий залишок b_0 отримується згідно виразу:

$$b_0 = \text{res}X(\text{mod}P_j),$$

де res - символ операції визначення найменшого невід'ємного залишку.

Наприклад, потрібно обчислити залишок числа $X=100_{(10)}=1100100_{(2)}$ по модулю $P=11_{(10)}=1011_{(2)}$:

У регістр пам'яті та зсуву в n -розрядів записуємо $X=1100100$, а в інші m -розряди $b_{i-1}=00000$.

(Зсув 1) Зсуваємо код числа X , починаючи з старшого розряду вправо, при цьому, старший розряд числа X потрапляє в перший розряд m -розрядного регістра пам'яті та зсуву, тобто при вхідному коді $b_{i-1}=10000$ на виході відповідно отримується $b_i=10000$ (рис.3.12), який порозрядно записується в m -розряди регістра пам'яті та зсуву.

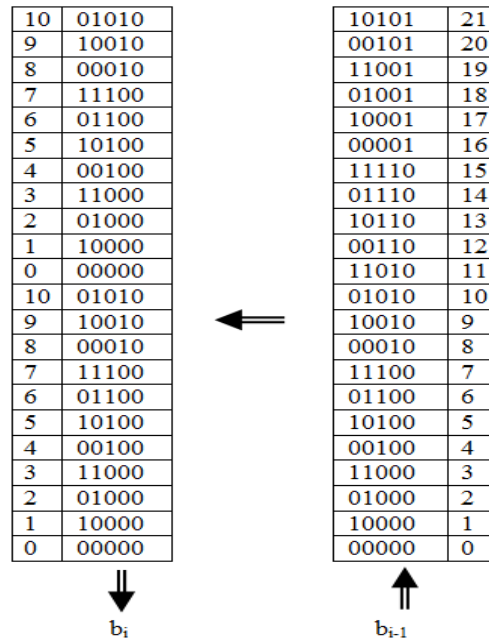


Рисунок 3.12 - Приклад вибірки кодів залишків b_i згідно адресних входів b_{i-1} по модулю $P_{(10)}=11$ з постійним запам'ятовуючим пристроєм

Аналогічно здійснюються наступні зсуви, при яких b_{i-1} та b_i будуть набувати значень (див. рис.3.12):

(Зсув 2) $b_{i-1}=11000$, $b_i=11000$;

(Зсув 3) $b_{i-1}=01100$, $b_i=01100$;

(Зсув 4) $b_{i-1}=00110$, $b_i=10000$;

(Зсув 5) $b_{i-1}=11000$, $b_i=11000$;

(Зсув 6) $b_{i-1}=01100$, $b_i=01100$;

(Зсув 7) $b_{i-1}=00110$, $b_i=10000$.

Після $n=7$ зсувів отримаємо кінцеве значення залишку $b_0=10000$, що зчитується вихідною шиною, в якому старший розряд справа.

Операція обчислення залишку даним способом потребує n тактів в регістрі пам'яті та зсуву та n тактів вибірки коду залишку з постійного запам'ятовуючого пристрою, тобто рівне $2n$, у випадку, якщо двійкове число буде займати 512 біт, а модуль, за яким обчислюють залишок, буде від 2 біт до 128, то швидкодія, в порівнянні з відомим способом, зросте від 2-х до 48-и разів.

Функціональним обмеженням дослідженого алгоритму та розробленої структурної схеми спецпроцесора є лінійне зростання часової складності виконання операції міжбазисного перетворення Радемахера-Крестенсона пропорційна розрядності двійкових чисел базису Радемахера, що обмежує можливість його використання при опрацюванні великорозрядних чисел.

З метою створення спецпроцесора міжбазисного перетворення Радемахера-Крестенсона з максимальною швидкодією, незалежно від розрядності вхідних двійкових чисел, розроблений рекурентний алгоритм, який описується виразом [99, 111, 112]

$$b_i = (((((((((1 \cdot 2 + a_{n-1}) \bmod p_i) \cdot 2) \bmod p_i + a_{n-2}) \bmod p_i \cdot 2) + \dots \\ \dots + a_1) \cdot 2) \bmod p_i + a_0) \bmod p_i.$$

Поставлена задача підвищення швидкодії та зменшення апаратної складності вирішується завдяки тому, що пристрій для перетворення чисел з позиційної системи числення в систему залишкових класів містить шини для подачі K –розрядного позиційного числа, перетворювачі степенів розрядів числа в позиційній системі числення по модулю P_j , виходи кодів залишків системи залишкових класів і K комутаційних мультиплексорів по кожному модулю системи залишкових класів P_j , перші входи яких підключені до відповідних шин вхідного K –розрядного двійкового числа, а другі входи i -тих комутаційних мультиплексорів підключені до виходів $i-1$ -ших комутаційних мультиплексорів, починаючи з $K-2$ до нульового розряду, при чому, на одиничний вхід $K-1$ -го комутаційного мультиплексора подається старший біт двійкового числа базису Радемахера, а виходи нульового комутаційного мультиплексора є виходами чисел залишків b_i по модулю P_j системи залишкових класів.

Функціональна структура одного розряду міжбазисного перетворювача показана на рис. 3.13(а), що складається з $Rand$ – рандомізатор по модулю, $Incr$ – інкрементний пристрій, MX - P -канальний двохвходовий мультиплексор.

Наприклад, потрібно обчислити залишок числа $X=100_{(10)}=1100100_{(2)}$ по модулю $P=7_{(10)}=111_{(2)}$, який показаний у вигляді графа на рис.3.13(б):

- на вхідну шину подається двійкове значення числа $X=1100100$, старший біт, якого приймаємо за перший залишок $X_6=b_1=1$, що поступає на вхід рандомізатора по модулю $P=7$;
- в результаті, на виході з врахуванням старшого біта «1», згідно виразу (3.4), отримується залишок рандомізатора $b_{1,Rand}=2$;
- отримане $b_{1,Rand}$ поступає на інкрементний пристрій, на виході якого отримується два значення $b_{1,Incr}=2;3$, що поступають на відповідні входи P -канального двохвходового мультиплексора. На другий вхід P -канального двохвходового мультиплексора поступає з вхідної шини наступний біт $X_5=1$, який встановлює його у відповідний режим роботи. В результаті, з мультиплексора кожного розряду отримується наступний залишок $b_{1,MX}=b_2=3$.

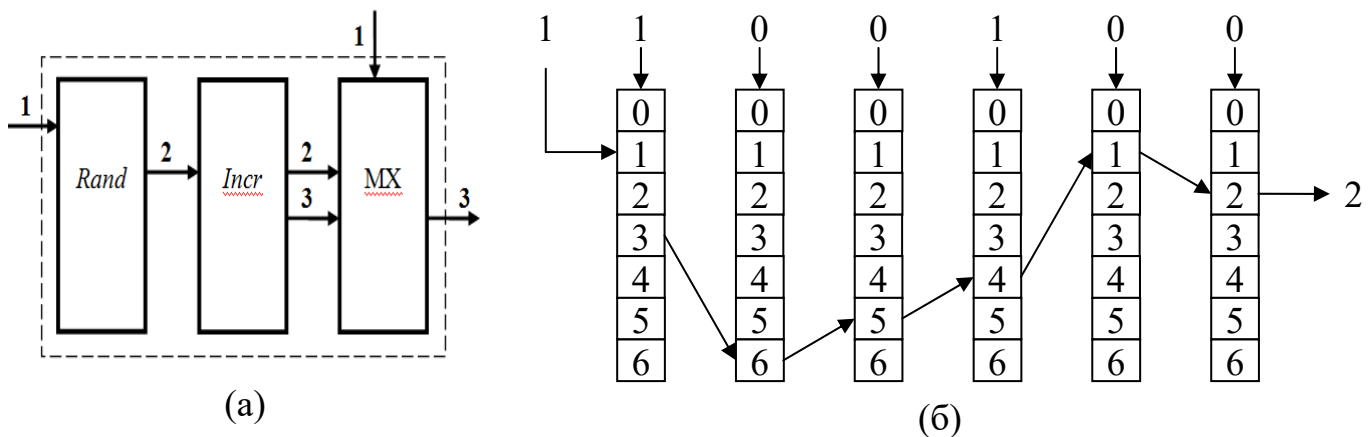


Рисунок 3.13 – Структура одного розряду міжбазисного перетворювача (а) та граф обчислення залишку (б) числа $X=100_{(10)}=1100100_{(2)}$

Аналогічно, паралельно виконуються операції для інших розрядів двійкового числа, де вхідні дані b_i та X_i , вихідні дані $b_{i,Rand}$, $b_{i,Incr}$ та $b_{i,MX}=b_{i+1}$:

- вхідні дані: $b_2=3$, $X_4=0$; вихідні дані: $b_{2,Rand}=6$, $b_{2,Incr}=6;0$ та $b_{2,MX}=b_3=6$;
- вхідні дані: $b_3=6$, $X_3=0$; вихідні дані: $b_{3,Rand}=5$, $b_{3,Incr}=5;6$ та $b_{3,MX}=b_4=5$;
- вхідні дані: $b_4=5$, $X_2=1$; вихідні дані: $b_{4,Rand}=3$, $b_{4,Incr}=3;4$ та $b_{4,MX}=b_5=4$;
- вхідні дані: $b_5=4$, $X_1=0$; вихідні дані: $b_{5,Rand}=1$, $b_{5,Incr}=1;2$ та $b_{5,MX}=b_6=1$;
- вхідні дані: $b_6=1$, $X_0=0$; вихідні дані: $b_{6,Rand}=2$, $b_{6,Incr}=2;1$ та $b_{6,MX}=b_7=2$.

Кінцевим результатом обчислення залишку числа $X=100$ по модулю $P_j=7$ буде $b_j=b_7=2$.

3.5 Розробка функціональної структури визначення кодів взаємопростих залишків СЗК

Для отримання простих чисел, які формують приведені таблиці ділимості чисел (див. табл.2.9-2.13), розроблена функціональна структура компонента процесора в РСЗК, яка зображена на рис.3.14 [37].

Пристрій містить наступні компоненти функціональні компоненти:

RP – реєстр доповнюючого коду модуля p , який представляється в нормалізованому вигляді y доповнюючому коді, згідно виразу:

$$[p]_d = 1, (\overline{p} + 1 \cdot 2^0);$$

RB – реєстр поточного залишку b_i , реалізований на D-тригерах на виходах якого формуються біт орієнтовані двійкові коди залишку починаючи з молодших розрядів, які поступають на суматор Σ та модуль порівняння MP;

RZ – реєстр подвоєння коду залишку, який формується у випадку, коли $b_i < p$;

Σ – двійковий багаторзрядний суматор на базі однорзрядних повних суматорів, який виконує обчислення залишку суми $b_{i+1} = [p]_d + b_i$, код якого формується у нормалізованому вигляді прямого нормалізованого коду отриманого залишку.

БУ – мікропрограмний блок управління.

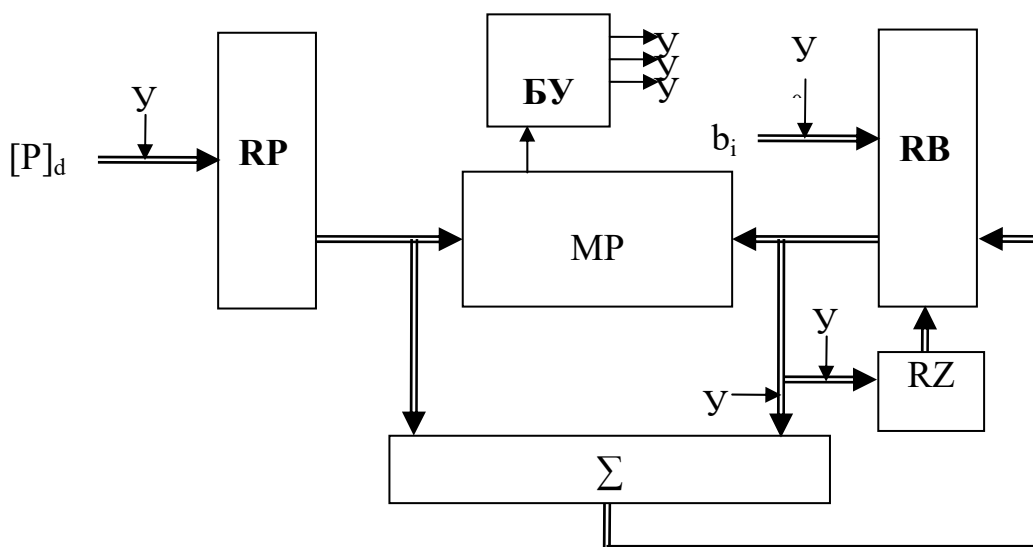


Рисунок 3.14 - Функціональна структура компонента процесора РСЗК

Базовим компонентом даного процесора є виконання операції порівняння двох чисел $[P]_d < b_i$, з метою спрощення даного модуля операція порівняння виконується шляхом додавання доповнюючого коду модуля до $[P]_d$ коду поточного залишку. При цьому, якщо $b_i < [P]_d$ то на виході сумматора Σ формується біт «1», в протилежному випадку – біт «0».

Пристрій працює наступним чином.

В регістри RP та RB записуються, відповідно, доповнюючий код числа $[P]_d$, де P – певне число бітів, та b_i – залишок числа P. Записані коди порівнюються між собою, в разі виконання умови $[P]_d < b_i$ дані регістрів подаються на суматор, інакше відбувається зсув вправо коду числа b_i , який записується в регістр RB, поки умова не буде виконуватись. Робота такого процесора реалізується згідно нищї аналогічної оцінки мікрокоманд блоку управління, який керує процесом руху даних. Такий БУ контролює три стани:

Y_0 – запис даних в регістри $RP := [P]_d$, $RB := b_i$;

Y_1 – зсув коду числа b_i , $RZ := 2 RZ$;

Y_2 – сумування даних регістрів RP та RB, $\Sigma := [P]_d + b_i$.

Розроблена функціональна структура пристрою визначення кодів взаємопростих залишків СЗК застосований при розробці спецпроцесора визначення залишків багаторозрядних двійкових чисел на основі одно-розрядного повного суматора (патент України № 68872 [91]).

ВИСНОВКИ ДО РОЗДІЛУ 3

1. Розроблені принципи та теоретичні основи розмежування розрядної сітки у базисі Радемахера-Крестенсона у результаті чого отримані аналітичні вирази прямого та зворотнього перетворень розмежованої системи. Показано, що при бінарному розмежуванні базису Радемахера формуються матриці степеневих залишків двійкових чисел, які дозволяють зменшити на 2-3 порядки обчислювальну та часову складність міжбазисних перетворень, а також операцій додавання, множення та піднесення до степеня великорозрядних двійкових чисел.

2. Отримані аналітичні вирази та досліджена часова складність алгоритмів міжбазисних перетворень Радемахера-Крестенсона та Крестенсона-Радемахера на основі цілочисельної, нормалізованої, досконалої та розмежованої форм СЗК, а також, міжбазисних перетворень Радемахера-Галуа, Крестенсона-Галуа та Галуа-Радемахера і Крестенсона-Галуа. Розрахована та побудована діаграма обчислювальної складності досліджених міжбазисних перетворень. В результаті виконаних досліджень встановлено найменшу обчислювальну складність досконалих форм СЗК, які на порядок нищі аналогічної оцінки цілочисельної СЗК та на 1-2 порядки менші обчислювальної складності перетворень Радемахера, Галуа, Крестенсона.

3. Розроблені теоретичні засади та алгоритми виконання міжбазисних перетворень на основі матричних суматорів у розмежованій СЗК пірамідального та лінійного типу. Розроблені структури такого класу суматорів та оцінені характеристики часової та апаратної складності в залежності від розрядності чисел базису Радемахера, в результаті встановлено, що в бінарно-розмежованій СЗК підвищується ефективність реалізації міжбазисного перетворення Радемахера – Крестенсона за схемотехнічними варіантами на основі пірамідально та лінійно з'єднаних суматорів по модулю P , при чому, об'єм обладнання пірамідальної структури в два рази перевищує об'єм лінійної структури при заданій розрядності процесора. Швидкодія пірамідального МБП

зростає із збільшенням розрядності процесора від 8 – 128 відповідно у діапазоні 1,6 – 13,8 разів.

4. Запропоновані рекурентні алгоритми та високопродуктивні спецпроцесори опрацювання великорозрядних чисел у базисі Радемахера-Крестенсона шляхом використання однорозрядного двійкового суматора зі схемою порівняння на основі операції додавання доповнюючих кодів мантиси моулів та фрагментів двійкового числа базису Крестенсона та застосування ПЗП в якості обчислювача текучих сум залишків по модулю, що дозволило зменшити на порядок апаратну складність та підвищити на 2 порядки швидкодію спецпроцесорів даного класу.

РОЗДІЛ 4

РОЗРОБКА ТА РЕАЛІЗАЦІЯ СПЕЦПРОЦЕСОРІВ ОПРАЦЮВАННЯ
ВЕЛИКОРОЗРЯДНИХ ЧИСЕЛ У БАЗИСІ КРЕСТЕНСОНА4.1 Розробка та дослідження алгоритмів піднесення до високих показників
степенів у РСЗК базису Крестенсона

Операція модулярного експоненціювання $a^x \bmod p$ (крім того, $x \leq \varphi(p)$, $\varphi(p)$ – значення функції Ейлера від модуля p) є однією з базових в асиметричних алгоритмах шифрування RSA, Ель–Гамала [94]. Для виконання даної операції потрібно використати матрицю, представлену у вигляді таблиці 4.1, розмірність якої співмірна з розрядністю p , тобто рівна n . При чому, в стовпцях таблиці подані значення $a^{2^i} \bmod p$ в базисі Радемахера, $a_{ij}=0,1$. Для зменшення часової складності, степінь x записуємо степенями 2, і результат операції модулярного експоненціювання отримується шляхом перемноження відповідної кількості стовпців даної таблиці 4.1 з використанням методу модулярного множення в ТЧБ Радемахера-Крестенсона.

Таблиця 4.1 - Матриця піднесення до степеня в базисі Радемахера–Крестенсона

$a_{n-1 \ n-1}$...	$a_{i \ n-1}$		$a_{1 \ n-1}$	$a_{0 \ n-1}$
...
$a_{n-1 \ j}$...	$a_{i \ j}$...	$a_{1 \ j}$	$a_{0 \ j}$
...
$a_{n-1 \ 1}$...	$a_{i \ 1}$...	$a_{1 \ 1}$	$a_{0 \ 1}$
$a_{n-1 \ 0}$...	$a_{i \ 0}$...	$a_{1 \ 0}$	$a_{0 \ 0}$
$a^{2^{n-1}}$...	a^{2^i}	...	a^{2^1}	a^{2^0}

В запропонованому алгоритмі модулярного експоненціювання, в якому на відміну від відомих, здійснюється заміна операції множення великорозрядних чисел операцією сумування, що дозволяє зменшити обчислювальну складність та збільшити швидкодію на 30-40% для параметрів, менших 256 біт (рис.4.1), на 10% - більших від 256 біт. Результати досліджень показали, що розроблений

метод дозволяє зменшити складність з $O3 = \frac{n^3}{2}$ до

$$O4(n) = \begin{cases} \log_2 n \cdot \left(\frac{n}{2} \cdot \log_2 n + 1 \right), & \text{якщо } n < 256 \\ n \cdot \left(\frac{n}{2} \cdot \log_2 n + 1 \right), & \text{в інших випадках} \end{cases} \quad \text{В } E2(n) = \begin{cases} \frac{n}{(\log_2 n)^2 + 2 \cdot \log_2 n}, & \text{для } n < 256 \\ \frac{n}{(\log_2 n) + 2 \cdot \log_2 n}, & 256 \leq n \leq 1024 \end{cases}$$

разів, що показано на рис. 4.2 [87].

В результаті проведеного чисельного експерименту можна зробити висновок, що розроблений метод є ефективним та високопродуктивним у задачах обчислення значення модулярного експоненціювання будь-якої розрядності. Крім того, при зростанні розрядності вхідних параметрів операції модулярного піднесення до степеня спадає ефективність, оскільки частина ресурсу комп'ютера буде задіяна на розв'язок службової інформації, тому значно зростає складність. Отже, даний метод доцільно застосовувати в асиметричних системах захисту інформаційних потоків для зменшення обчислювальної складності, і відповідно, нарощування рівня захисту за рахунок збільшення розрядності вхідних параметрів.

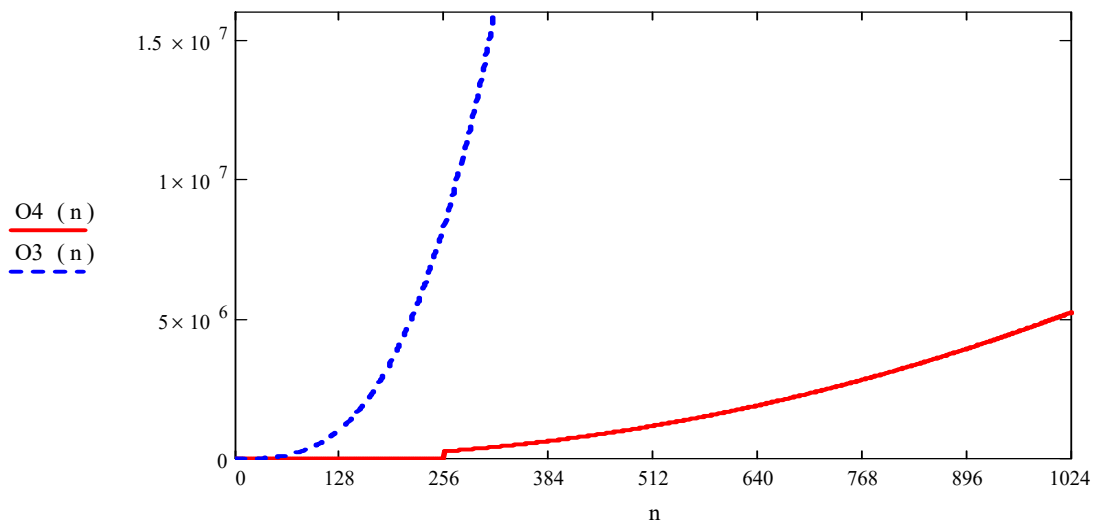


Рисунок 4.1 - Обчислювальна складність операції модулярного піднесення до степеня

В умовах стрімкого розвитку комп'ютерної техніки зростають вимоги до забезпечення необхідного рівня захищеності даних та додаткового опрацювання інформаційних потоків в комп'ютерних мережах. Тому результати проведеного аналізу ефективності досліджуваних методів показали, що застосуванням теоретичних засад пропонованих підходів дає змогу

вдосконалити захист даних на основі використання асиметричних криптоалгоритмів.

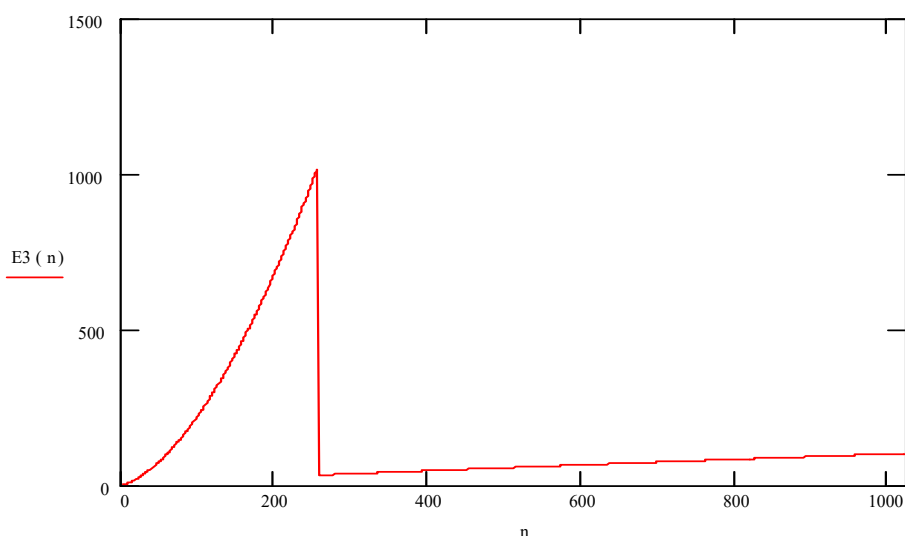


Рисунок 4.2 - Ефективність запропонованого алгоритму

Криптографічна система з відкритим ключем RSA ґрунтується на однонаправлених задачах факторизації чисел великої розрядності, які є обчислювально складними. Алгоритм RSA складається з трьох основних етапів, а саме: генерування ключів, шифрування та дешифрування. Оскільки RSA належить до двоключової криптографії, то адресат і отримувач в процесі шифрування мають в своєму розпорядженні відповідно відкритий і таємний ключі, для генерування яких потрібно здійснити наступні кроки [87]:

1. Вибираються випадковим чином два прості числа p і q будь-якої розрядності, при чому розмірність впливає на стійкість системи захисту від несанкціонованого доступу, тобто зі збільшенням розрядності параметрів зростає стійкість, яка ґрунтується на задачі факторизації.

2. Знаходимо значення $n = p * q$ – модуль криптоперетворень на основі використання матричних перетворень. Для цього представляємо p і q у вигляді: $p = p_{r-1}2^{r-1} + p_{r-2}2^{r-2} + \dots + p_12^1 + p_02^0$, $q = q_{r-1}2^{r-1} + q_{r-2}2^{r-2} + \dots + q_12^1 + q_02^0$, де r - розрядність чисел p і q . Знаходимо значення операції множення з використанням таблиці 4.2, де $m_{ij} = 2^{i+j}$.

Множення чисел p і q здійснюється згідно співвідношення:

$$n = p \cdot q = \sum_{s,k=1}^{r-1} m_{sk}, \quad (4.1)$$

де $p_s, q_k = 1$, тобто m_{sk} знаходиться на перетині стовпця та рядка, для яких відповідні p_i і q_j дорівнюють 1. Використання даного підходу дозволяє зменшити обчислювальну складність модуля криптоперетворень $O(3,5n^2 + n - 1/2)$.

Таблиця 4.2 - Матриця знаходження модуля перетворення в базисі Радемахера–Крестенсона

	q_{r-1}	...	q_j	...	q_1	q_0
p_{r-1}	$m_{r-1 r-1}$...	$m_{r-1 j}$...	$m_{r-1 1}$	$m_{r-1 0}$
...
p_i	$m_{i r-1}$...	m_{ij}	...	$m_{i 1}$	$m_{i 0}$
...
p_1	$m_{1 r-1}$...	m_{1j}	...	$m_{1 1}$	$m_{1 0}$
p_0	$m_{0 r-1}$...	m_{0j}	...	$m_{0 1}$	$m_{0 0}$

3. Отримавши значення модуля криптоперетворення, аналогічним чином знаходимо $\varphi(n) = (p-1)(q-1)$.

4. Вибирається ціле число $e, 1 < e < \varphi(n)$, таким чином, щоб $\text{НСД}(e, \varphi(n)) = 1$. Для забезпечення необхідного рівня захисту дану експоненту доцільно вибирати числа Ферма 17, 257, 65537... , тобто з найменшою кількістю одиничних бітів в двійковій формі. Задане число e називається відкритим ключем, при чому із зменшенням розмірності e знижується стійкість криптографічного алгоритму RSA.

5. Для знаходження закритого ключа d потрібно знайти значення оберненого до елемента e за модулем $\varphi(n)$, тобто $d \equiv e^{-1} \pmod{\varphi(n)}$. Відомі методи пошуку оберненого елемента за модулем використовують алгоритм Евкліда та його наслідок. Щоб зменшити обчислювальну складність, можна скористатися матричним методом, який передбачає наступну послідовність дій:

Припустимо, що x пробігає зведену систему залишків за модулем $\varphi(n)$: $r_1 = 1, r_2 = 2, r_3 = 3, \dots, r_i = i, \dots, r_{\varphi(n)-1} = \varphi(n) - 1$. Відповідно, добуток $e \cdot x$, якщо $e < \varphi(n)$, також пробігатиме зведену систему залишків:

$$\left\{ \begin{array}{l} e \cdot r_1 \bmod \varphi(n) = c_1 \\ e \cdot r_2 \bmod \varphi(n) = c_2 \\ e \cdot r_3 \bmod \varphi(n) = c_3 \\ \dots \dots \dots \\ e \cdot r_i \bmod \varphi(n) = c_i \\ \dots \dots \dots \\ e \cdot r_{\varphi(n)-1} \bmod \varphi(n) = c_{\varphi(n)-1} \end{array} \right. \quad (4.2)$$

Аналогічним чином для d :

$$\left\{ \begin{array}{l} d \cdot r_1 \bmod \varphi(n) = g_1 \\ d \cdot r_2 \bmod \varphi(n) = g_2 \\ d \cdot r_3 \bmod \varphi(n) = g_3 \\ \dots \dots \dots \\ d \cdot r_i \bmod \varphi(n) = g_i \\ \dots \dots \dots \\ d \cdot r_{\varphi(n)-1} \bmod \varphi(n) = g_{\varphi(n)-1} \end{array} \right. \quad (4.3)$$

З системи (4.2) вибираємо $e \cdot r_1 \bmod \varphi(n) = c_1$, з другого – рівняння, в якому $c_1 = r_1$: $e \cdot r_1 \bmod \varphi(n) = c_1$

$$d \cdot r_i \bmod \varphi(n) = g_i \quad (4.4)$$

Знайшовши добуток, отримаємо:

$$e r_1 \cdot d r_i \bmod \varphi(n) = c_1 \cdot g_i \quad (4.5)$$

Оскільки $r_1 = 1$, $c_1 = r_1$, то отримується добуток за заданим модулем:

$$e \cdot d \bmod \varphi(n) = g_i \quad (4.6)$$

6. Запропонований метод дозволяє знаходити добутки великої кількості даних, обернені елементи за модулем та корені квадратні за модулем. Результат даних операцій зручно знаходити за допомогою таблиці Келі (абл. 4.3), наприклад, для $\varphi(n)=20$, $p = 3$, $q = 11$.

Знайшовши обернений елемент за модулем $d \equiv e^{-1} \pmod{\varphi(n)}$, отримуємо пари $P = (e, n)$ - відкритий ключ, $S = (d, n)$ - таємний ключ.

Для здійснення шифрування, яке ґрунтується на операції модулярного експоненціювання, інформаційний потік $M \in D \in Z_n$, $0 < M < n-1$ подається у вигляді цілого числа(порядковий номер літер в алфавіті) і з використанням

відкритого ключа $P = (e, n)$ на підставі співвідношення $P(M) = M^e \bmod n$ отримуємо шифротекст.

Таблиця 4.3 - Таблиця Келі для множення

1	2	3	4	5	6	7	8	9	10	11	12	13	14	15	16	17	18	19
2	4	6	8	10	12	14	16	18	20	22	1	3	5	7	9	11	13	15
3	6	9	12	15	18	21	1	4	7	10	13	16	19	22	2	5	8	11
4	8	12	16	20	1	5	9	13	17	21	2	6	10	14	18	22	3	7
5	10	15	20	2	7	12	17	22	4	9	14	19	1	6	11	16	21	3
6	12	18	1	7	13	19	2	8	14	20	3	9	15	21	4	10	16	22
7	14	21	5	12	19	3	10	17	1	8	15	22	6	13	20	4	11	18
8	16	1	9	17	2	10	18	3	11	19	4	12	20	5	13	21	6	14
9	18	4	13	22	8	17	3	12	21	7	16	2	11	20	6	15	1	10
10	20	7	17	4	14	1	11	21	8	18	5	15	2	12	22	9	19	6
11	22	10	21	9	20	8	19	7	18	6	17	5	16	4	15	3	14	2
12	1	13	2	14	3	15	4	16	5	17	6	18	7	19	8	20	9	21
13	3	16	6	19	9	22	12	2	15	5	18	8	21	11	1	14	4	17
14	5	19	10	1	15	6	20	11	2	16	7	21	12	3	17	8	22	13
15	7	22	14	6	21	13	5	20	12	4	19	11	3	18	10	2	17	9
16	9	2	18	11	4	20	13	6	22	15	8	1	17	10	3	19	12	5
17	11	5	22	16	10	4	21	15	9	3	20	14	8	2	19	13	7	1
18	13	8	3	21	16	11	6	1	19	14	9	4	22	17	12	7	2	20
19	15	11	7	3	22	18	14	10	6	2	21	17	13	9	5	1	20	16

Шифрування даних в інформаційному потоці доцільно здійснювати з використанням розробленого алгоритму модулярного експоненціювання на основі матрично-модульних перетворень ТЧБ Радемахера-Крестенсона. Шифротекст $P(M) = M^e \bmod n$ передається по каналу зв'язку. Для пошуку значення $P(M)$ потрібно побудувати матрицю розмірності n , що дорівнює розрядності модуля p у вигляді таблиці. В стовпцях таблиці записуємо значення $M^{2^i} \pmod n$ в двійковій системі числення, тобто $M_{ij} = 0, 1$ (табл.4.4). Згідно розроблених теоретичних положень для методу модулярного експоненціювання будь-який степінь e записується за степенями 2 і результат отримується шляхом перемноження відповідної кількості стовпців табл. 4.4.

Таблиця 4.4 - Матриця шифротексту алгоритму шифрування RSA в базисі Радемахера–Крестенсона

$M_{n-1\ n-1}$...	$M_{i\ n-1}$		$M_{1\ n-1}$	$M_{0\ n-1}$
...
$M_{n-1\ j}$...	$M_{i\ j}$...	$M_{1\ j}$	$M_{0\ j}$
...
$M_{n-1\ 1}$...	$M_{i\ 1}$...	$M_{1\ 1}$	$M_{0\ 1}$
$M_{n-1\ 0}$...	$M_{i\ 0}$...	$M_{1\ 0}$	$M_{0\ 0}$
$M^{2^{n-1}}$...	M^{2^i}	...	M^{2^1}	M^{2^0}

В основі процесу дешифрування лежить операція модулярного експоненціювання $S(P(M)) = (P(M))^d \bmod n$, тільки з застосуванням таємного ключа $S = (d, n)$ до зашифрованого інформаційного потоку $P(M)$.

Отже, при реалізації криптографічного алгоритму захисту інформаційних потоків RSA доцільно використовувати теоретичні основи ТЧБ Радемахера та Крестенсона, які дозволяють на 1-2 порядки зменшити обчислювальну складність базової $P(M) = M^e \bmod n$. В праці [100] показано, що для реалізації даної операції на основі використання алгоритму швидкого піднесення до степеня потрібно $O(\ln e)$ операцій множення по модулю. Таким чином, взявши до уваги, що модулярне множення має обчислювальну складність $O(r^2)$, то складність $P(M) = M^e \bmod n$ буде $O(n^2 \cdot \ln e)$, де n - розрядність модуля n . Крім того, як було зазначено, в криптоалгоритмі шифрування/дешифрування інформаційних потоків RSA використовується одна і та ж операція модулярного експоненціювання, то обчислювальна складність його буде $O(n^2 \cdot \ln e + 2n)$, тоді як запропонованого алгоритму з використанням ТЧБ

$$\text{Радемахера-Крестенсона} \quad O_3(n) = \begin{cases} \log_2 n \left(3 \log_2 n + \frac{n}{2} \right), & \text{якщо } n < 256 \\ n \cdot \left(3 \log_2 n + \frac{n}{2} \right), & \text{в інших випадках} \end{cases}, \quad \text{що}$$

показано на рис. 4.3.

Результати досліджень обчислювальних складностей криптоалгоритму шифрування/дешифрування інформаційних потоків RSA в двовимірному ТБЧ

Радемахера та на основі використання запропонованих методів в ТЧБ Радемахера-Крестенсона показує, що застосування розроблених алгоритмів дозволить зменшити складність на 20-40% для параметрів в діапазоні до 256 біт, і на 10 % при параметрах від 256 до 1024 біт.

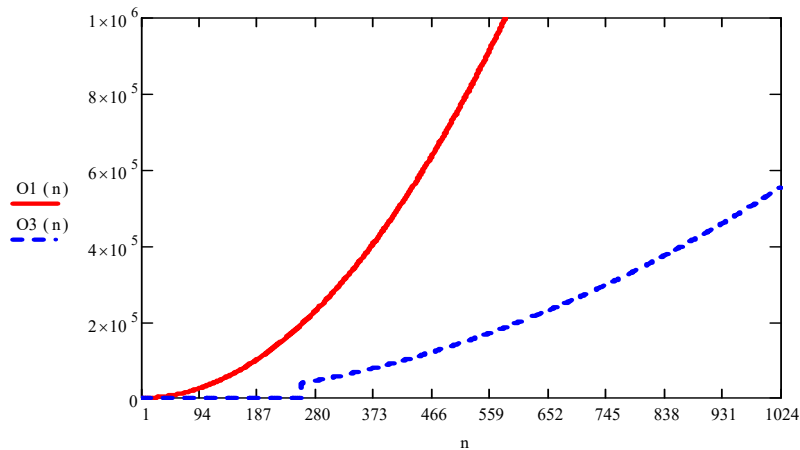


Рисунок 4.3 - Обчислювальні складності: $O_3(n)$ - алгоритму шифрування RSA з використанням розмежованої системи числення Радемахера-Крестенсона, $O_1(n)$ - класичного алгоритму RSA

В алгоритмі шифрування Ель-Гамала для здійснення процесу шифрування/дешифрування необхідно згенерувати ключі, виконуючи наступну послідовність кроків:

1. Задається випадкове просте число p розмірності n .
2. Вибираємо будь-яке $g \in Z$, яке є первісним коренем по модулю p , і довільне число $x \in (1, p)$, таке, що $\text{НСД}(x, p-1) = 1$.

Знаходимо відкритий ключ згідно співвідношення $y = g^x \bmod p$ на основі використання розробленого матрично-модульного методу модулярного експоненціювання в ТЧБ Радемахера-Крестенсона. В стовпцях таблиці записується величини $g^{2^i} \pmod n$ в двійковій системі числення, тобто $g_{ij}=0, 1$ (табл. 3.14) та предстлямо степінь x з степенями 2, тобто $x = x_{n-1}2^{n-1} + \dots + x_i2^i + \dots + x_12^1 + x_0$. Значення операції $y = g^x \bmod p$ знаходимо в результаті перемноження відповідної кількості стовбців табл. 3.14. Таким чином, отримуємо відкритий ключ алгоритму шифрування Ель-Гамала, із значно меншою обчислювальною складністю.

4.2 Розробка та дослідження системних характеристик модульних компонентів спецпроцесорів у базисі Крестенсона

Створення спецпроцесорів опрацювання великорозрядних чисел у базисі Крестенсона потребує схемотехнічної реалізації спеціалізованих компонентів:

- лічильників по модулю P ;
- аналого цифрових перетворень базису Крестенсона;
- шифраторів Радемахера-Крестенсона;
- рандомізаторів по модулю p_i .

Вказані модульні компоненти спецпроцесорів досліджуваного класу можуть бути з різною ефективністю реалізовані на основі алгоритмічного та схемо-технічного виконання у різних ТЧБ згідно заданих критеріїв мінімальної апаратної та часової складності в залежності від типу обчислювальних задач.

Тому створення цих компонентів спецпроцесорів у базисі Крестенсона потребує теоретико-математичної формалізації алгоритмів виконання операцій такими цифровими пристроями та оптимізації їх програмно-апаратних, функціонально-структурних та схемо технічних рішень.

4.2.1 Пристрої обчислення залишків на основі лічильників по модулю в різних ТЧБ

Систематизація модульних лічильників у різних ТЧБ, які виконують перетворення чисел з унітарного базису в інші ТЧБ, представлена в табл.4.5, а їх структури – у табл.4.6.

Таблиця 4.5 - Модульні лічильники у різних ТЧБ

ТЧБ	Асинхронні	Синхронні
1	2	3
Унітарний	-	+1
Хаара	-	+1
Крейга	-	+1

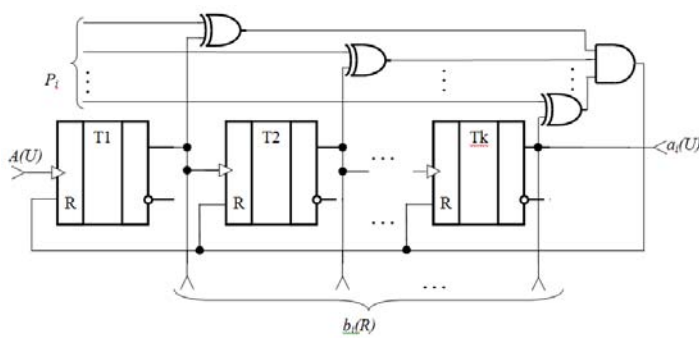
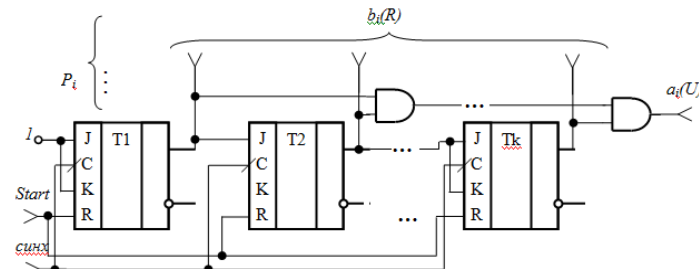
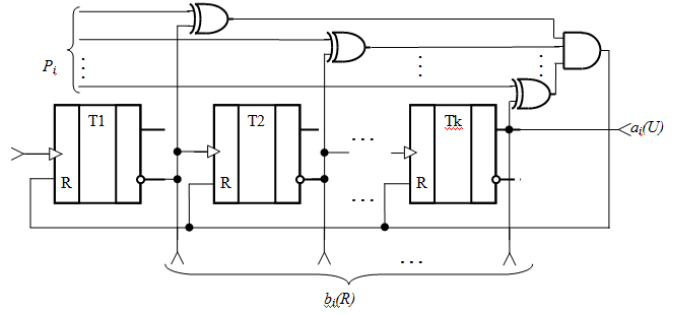
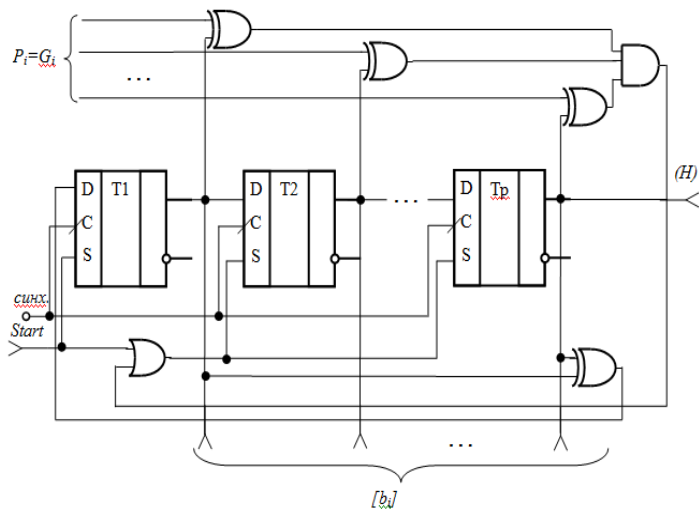
Продовження таблиці 4.5

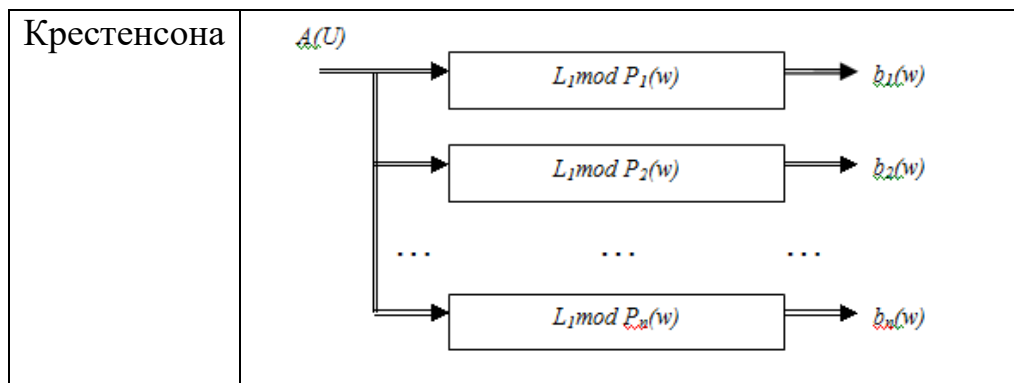
1	2	3
Радемахера	+1, -1	+1
Галуа	-	+1, -1
Крестенсона	+1, -1	+1

Таблиця 4.6 - Структури модульних лічильників у різних ТЧБ

ТЧБ	Структура
1	2
Унітарний	
Хаара	
Крейга	

Продовження таблиці 4.6

1	2
<p>Радемахера</p>	<p>асинхронний +1</p>  <p>синхронний +1</p>  <p>асинхронний -1</p> 
<p>Галуа</p>	



Алгоритм даного класу пристроїв отримання залишків по модулю реалізується для ТЧБ унітарного, Хаара, Крейга та Радемахера згідно виразів:

$$b_i(U) = \text{res}A(U)(\text{mod } P_i(U)),$$

де b_i – код залишку у відповідному ТЧБ;

$A(U)$ – унітарний код числа з якого отримується залишок по модулю P_i ;

$P_i = (2, 3, \dots, U-1)$ – ціле число;

$b_i(H) = \text{res}A(U)(\text{mod } P_i(H))$ – Хаара;

$b_i(K) = \text{res}A(U)(\text{mod } P_i(R))$ – Крейга;

$b_i(R) = \text{res}A(U)(\text{mod } P_i(R))$ – Радемахера.

У загальному випадку обчислення залишку та рангу числа A на основі модульного лічильника у ТЧБ (w) описується виразами:

$$A = a_i \cdot P_i + b_i; \quad b_i(w) = \text{res}A(U)(\text{mod } P_i(w)); \quad a_i(U) = \left(\frac{A - b_i}{P_i} \right)(U),$$

де $b_i(w)$ - паралельний код залишку числа A по модулю P_i у ТЧБ (w);

$a_i(U)$ – унітарний код рангу числа A по модулю P_i у ТЧБ (w).

Алгоритм обчислення залишку у ТЧБ Галуа виконується згідно виразу :

$$G_{i+1} = \text{res}(x_i \cdot G_i \oplus x_{i-1} \cdot G_{i-1} \oplus \dots \oplus x_{i-n} \cdot G_{i-n}) \text{mod } 2,$$

де x_i, x_{i-1}, x_{i-n} - незвідний поліном (ключ) поля Галуа $G \binom{n}{2}$.

При цьому, особливістю ТЧБ Галуа є те, що, на відміну від інших базисів, на паралельному виході лічильника Галуа формується паралельний бінарний код залишку, а на послідовному виході формується послідовний біт-

орієнтовний код Галуа залишку. Реалізація відповідного модульного лічильника виконується на базі синхронних D-тригерів згідно значенню модуля P_i заданого в коді Галуа, що забезпечує високу швидкість даного класу процесорних модулів і меншу апаратну складність по відношенню до синхронних пристроїв визначення залишку у базисі Радемахера.

Алгоритм обчислення залишку на основі модульних лічильників базису Крестенсона реалізується згідно виразів:

$$b_i(C) = \text{res}(U)(\text{mod } P_i(C)), \text{ якщо } P_i = P_i^2(R);$$

$$C_k = \begin{cases} 1, & (b_i + b_j) = P_1 + 1, \\ 2, & (b_i + b_j) = P_2 + 2, \\ \dots & \\ k, & (b_i + b_j) = P_1 + k, \\ \dots & \\ P-1, & (b_i + b_j) = P + (P-1), \end{cases}$$

тобто

$$C(b_1(w), b_2(w), \dots, b_j(w), \dots, b_k(w)) = \text{res}A(U) \text{ mod}(P_1(w), P_2(w), \dots, P_j(w), \dots, P_k(w)),$$

$$\text{якщо } P_i = \prod_{j=1}^k P_j.$$

4.2.2 Аналого-цифровий перетворювач в базисі Крестенсона-Хаара та його характеристики

Принципова схема АЦП, який перетворює вхідні аналогові сигнали у коді ТЧБ Хаара-Крестенсона представлена модулями $p_i(2,3,5)$ на рис.4.4.

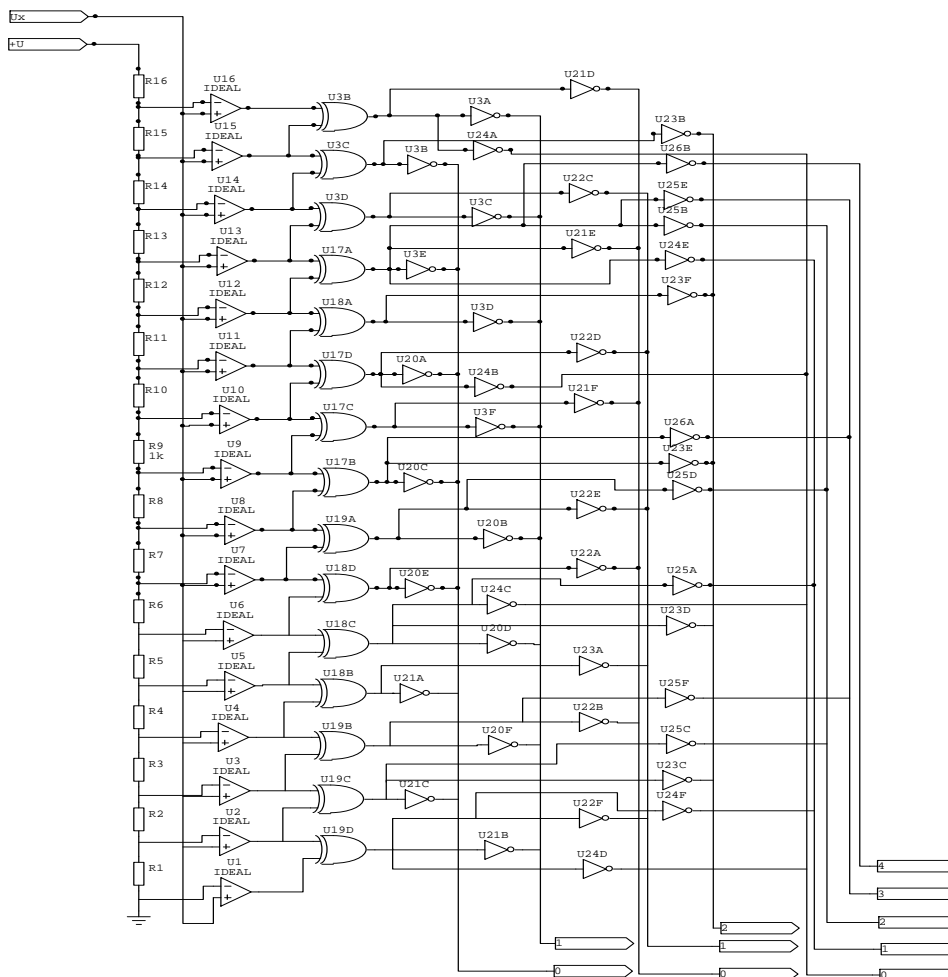


Рисунок 4.4 - Принципова схема АЦП базису Хаара-Крестенсона

Оцінка часової складності такого класу АЦП розраховується на основі виразу $\tau_{ACP} = \tau_k + \tau_{LE} + \tau_{VEN}$, де $\tau_k, \tau_{LE}, \tau_{VEN}$ відповідно часова складність компаратора, логічного елемента та вентиля. Згідно даних часової затримки сигналів в елементах приведених в [33] $\tau_k = 10\nu$, $\tau_{LE} = \nu$, $\tau_{VEN} = \nu$, тобто $\tau_{ACP} = 12\nu$.

Апаратна складність АЦП Крестенсона розраховується за формулою $A_{ACP} = 2^k \cdot (R + k + LE + \log_2 k / 2)$, де R – еталонний резистор, k – компаратор, LE – логічний елемент «виключаюче АБО».

4.2.3 Модульні шифратори Радемахера-Крестенсона

Структура модульних шифраторів Радемахера-Крестенсона запропонована в роботі [87].

При 4-бітній розрядності компонентів процесора оптимальний набір модулів з максимальним діапазоном кодування задається масивом чисел:

$$p_i = (3, 5, 7, 8, 11, 13),$$

що відповідає діапазону кодування:

$$P = 120120,$$

що достатньо для реалізації швидкодіючого 16-бітного процесора в РСЗК.

У табл.4.9 приведений приклад реалізації дешифраторів 4-бітних компонентів 16-бітного процесора залишкових класів.

Табл.4.9 – Дешифратори 4-бітних компонентів 16-бітного процесора залишкових класів

Модуль p_i		Число вентелів																																																																
3	00 01 02 03 04 05 06 07 08 09 10 11 12 13 14 15	74																																																																
	<table border="1"> <tr><td>0</td><td>0</td><td>0</td><td>0</td><td>0</td><td>0</td><td>0</td><td>0</td><td>1</td><td>1</td><td>1</td><td>1</td><td>1</td><td>1</td><td>1</td><td>1</td></tr> <tr><td>0</td><td>0</td><td>0</td><td>0</td><td>1</td><td>1</td><td>1</td><td>1</td><td>0</td><td>0</td><td>0</td><td>0</td><td>1</td><td>1</td><td>1</td><td>1</td></tr> <tr><td>0</td><td>0</td><td>1</td><td>1</td><td>0</td><td>0</td><td>1</td><td>1</td><td>0</td><td>0</td><td>1</td><td>1</td><td>0</td><td>0</td><td>1</td><td>1</td></tr> <tr><td>0</td><td>1</td><td>0</td><td>1</td><td>0</td><td>1</td><td>0</td><td>1</td><td>0</td><td>1</td><td>0</td><td>1</td><td>0</td><td>1</td><td>0</td><td>1</td></tr> </table>		0	0	0	0	0	0	0	0	1	1	1	1	1	1	1	1	0	0	0	0	1	1	1	1	0	0	0	0	1	1	1	1	0	0	1	1	0	0	1	1	0	0	1	1	0	0	1	1	0	1	0	1	0	1	0	1	0	1	0	1	0	1	0	1
	0		0	0	0	0	0	0	0	1	1	1	1	1	1	1	1																																																	
	0		0	0	0	1	1	1	1	0	0	0	0	1	1	1	1																																																	
	0		0	1	1	0	0	1	1	0	0	1	1	0	0	1	1																																																	
0	1	0	1	0	1	0	1	0	1	0	1	0	1	0	1																																																			
2^3																																																																		
2^2																																																																		
2^1																																																																		
2^0																																																																		
$b_{ij} = \text{res}N_{ij}(\text{mod}3)$																																																																		
5	00 01 02 03 04 05 06 07 08 09 10 11 12 13 14 15	79																																																																
	<table border="1"> <tr><td>0</td><td>0</td><td>0</td><td>0</td><td>0</td><td>0</td><td>0</td><td>0</td><td>1</td><td>1</td><td>1</td><td>1</td><td>1</td><td>1</td><td>1</td><td>1</td></tr> <tr><td>0</td><td>0</td><td>0</td><td>0</td><td>1</td><td>1</td><td>1</td><td>1</td><td>0</td><td>0</td><td>0</td><td>0</td><td>1</td><td>1</td><td>1</td><td>1</td></tr> <tr><td>0</td><td>0</td><td>1</td><td>1</td><td>0</td><td>0</td><td>1</td><td>1</td><td>0</td><td>0</td><td>1</td><td>1</td><td>0</td><td>0</td><td>1</td><td>1</td></tr> <tr><td>0</td><td>1</td><td>0</td><td>1</td><td>0</td><td>1</td><td>0</td><td>1</td><td>0</td><td>1</td><td>0</td><td>1</td><td>0</td><td>1</td><td>0</td><td>1</td></tr> </table>		0	0	0	0	0	0	0	0	1	1	1	1	1	1	1	1	0	0	0	0	1	1	1	1	0	0	0	0	1	1	1	1	0	0	1	1	0	0	1	1	0	0	1	1	0	0	1	1	0	1	0	1	0	1	0	1	0	1	0	1	0	1	0	1
	0		0	0	0	0	0	0	0	1	1	1	1	1	1	1	1																																																	
	0		0	0	0	1	1	1	1	0	0	0	0	1	1	1	1																																																	
	0		0	1	1	0	0	1	1	0	0	1	1	0	0	1	1																																																	
0	1	0	1	0	1	0	1	0	1	0	1	0	1	0	1																																																			
2^3																																																																		
2^2																																																																		
2^1																																																																		
2^0																																																																		
$b_{ij} = \text{res}N_{ij}(\text{mod}5)$																																																																		
7	00 01 02 03 04 05 06 07 08 09 10 11 12 13 14 15	83																																																																
	<table border="1"> <tr><td>0</td><td>0</td><td>0</td><td>0</td><td>0</td><td>0</td><td>0</td><td>0</td><td>1</td><td>1</td><td>1</td><td>1</td><td>1</td><td>1</td><td>1</td><td>1</td></tr> <tr><td>0</td><td>0</td><td>0</td><td>0</td><td>1</td><td>1</td><td>1</td><td>1</td><td>0</td><td>0</td><td>0</td><td>0</td><td>1</td><td>1</td><td>1</td><td>1</td></tr> <tr><td>0</td><td>0</td><td>1</td><td>1</td><td>0</td><td>0</td><td>1</td><td>1</td><td>0</td><td>0</td><td>1</td><td>1</td><td>0</td><td>0</td><td>1</td><td>1</td></tr> <tr><td>0</td><td>1</td><td>0</td><td>1</td><td>0</td><td>1</td><td>0</td><td>1</td><td>0</td><td>1</td><td>0</td><td>1</td><td>0</td><td>1</td><td>0</td><td>1</td></tr> </table>		0	0	0	0	0	0	0	0	1	1	1	1	1	1	1	1	0	0	0	0	1	1	1	1	0	0	0	0	1	1	1	1	0	0	1	1	0	0	1	1	0	0	1	1	0	0	1	1	0	1	0	1	0	1	0	1	0	1	0	1	0	1	0	1
	0		0	0	0	0	0	0	0	1	1	1	1	1	1	1	1																																																	
	0		0	0	0	1	1	1	1	0	0	0	0	1	1	1	1																																																	
	0		0	1	1	0	0	1	1	0	0	1	1	0	0	1	1																																																	
0	1	0	1	0	1	0	1	0	1	0	1	0	1	0	1																																																			
2^3																																																																		
2^2																																																																		
2^1																																																																		
2^0																																																																		
$b_{ij} = \text{res}N_{ij}(\text{mod}7)$																																																																		
8	00 01 02 03 04 05 06 07 08 09 10 11 12 13 14 15	88																																																																
	<table border="1"> <tr><td>0</td><td>0</td><td>0</td><td>0</td><td>0</td><td>0</td><td>0</td><td>0</td><td>1</td><td>1</td><td>1</td><td>1</td><td>1</td><td>1</td><td>1</td><td>1</td></tr> <tr><td>0</td><td>0</td><td>0</td><td>0</td><td>1</td><td>1</td><td>1</td><td>1</td><td>0</td><td>0</td><td>0</td><td>0</td><td>1</td><td>1</td><td>1</td><td>1</td></tr> <tr><td>0</td><td>0</td><td>1</td><td>1</td><td>0</td><td>0</td><td>1</td><td>1</td><td>0</td><td>0</td><td>1</td><td>1</td><td>0</td><td>0</td><td>1</td><td>1</td></tr> <tr><td>0</td><td>1</td><td>0</td><td>1</td><td>0</td><td>1</td><td>0</td><td>1</td><td>0</td><td>1</td><td>0</td><td>1</td><td>0</td><td>1</td><td>0</td><td>1</td></tr> </table>		0	0	0	0	0	0	0	0	1	1	1	1	1	1	1	1	0	0	0	0	1	1	1	1	0	0	0	0	1	1	1	1	0	0	1	1	0	0	1	1	0	0	1	1	0	0	1	1	0	1	0	1	0	1	0	1	0	1	0	1	0	1	0	1
	0		0	0	0	0	0	0	0	1	1	1	1	1	1	1	1																																																	
	0		0	0	0	1	1	1	1	0	0	0	0	1	1	1	1																																																	
	0		0	1	1	0	0	1	1	0	0	1	1	0	0	1	1																																																	
0	1	0	1	0	1	0	1	0	1	0	1	0	1	0	1																																																			
2^3																																																																		
2^2																																																																		
2^1																																																																		
2^0																																																																		
$b_{ij} = \text{res}N_{ij}(\text{mod}8)$																																																																		

Продовження таблиці 4.9

1	2	3
11	00 01 02 03 04 05 06 07 08 09 10 11 12 13 14 15	86
	0 0 0 0 0 0 0 0 1 1 1 1 1 1 1 1	
	0 0 0 0 1 1 1 1 0 0 0 0 1 1 1 1	
	0 0 1 1 0 0 1 1 0 0 1 1 0 0 1 1	
	0 1 0 1 0 1 0 1 0 1 0 1 0 1 0 1	
	$b_{ij} = \text{res}N_{ij}(\text{mod}11)$	
13	00 01 02 03 04 05 06 07 08 09 10 11 12 13 14 15	88
	0 0 0 0 0 0 0 0 1 1 1 1 1 1 1 1	
	0 0 0 0 1 1 1 1 0 0 0 0 1 1 1 1	
	0 0 1 1 0 0 1 1 0 0 1 1 0 0 1 1	
	0 1 0 1 0 1 0 1 0 1 0 1 0 1 0 1	
	$b_{ij} = \text{res}N_{ij}(\text{mod}13)$	

На рис.4.5 зображені приклади принципових схем обчислення залишку по модулях $P=5, 7, 8$.

Синтез, проектування та моделювання роботи таких модульних шифраторів виконаний в середовищі CircuitMaker в логічному базисі «І», «АБО», «НЕ».

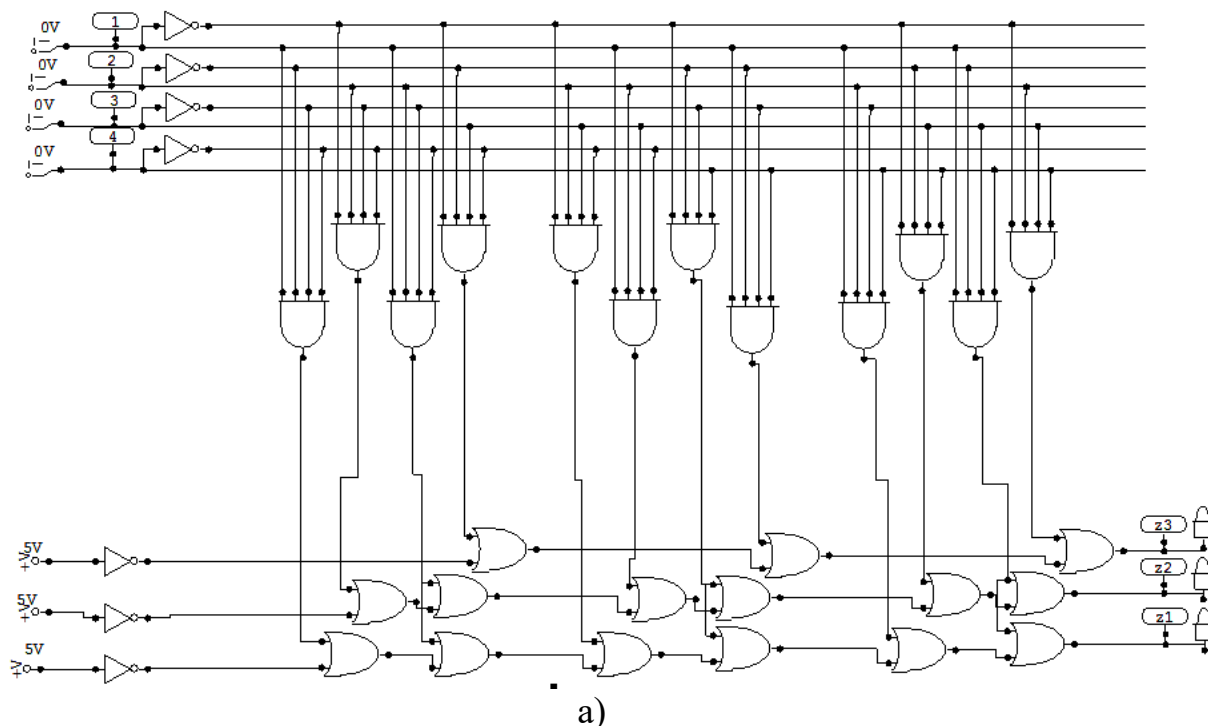


Рисунок 4.5 - Принципова схема обчислення залишку по модулях $P=5$ (а), $P=7$ (в), $P=8$ (в), $P=5$ (г) провідне АБО. S – селектор.

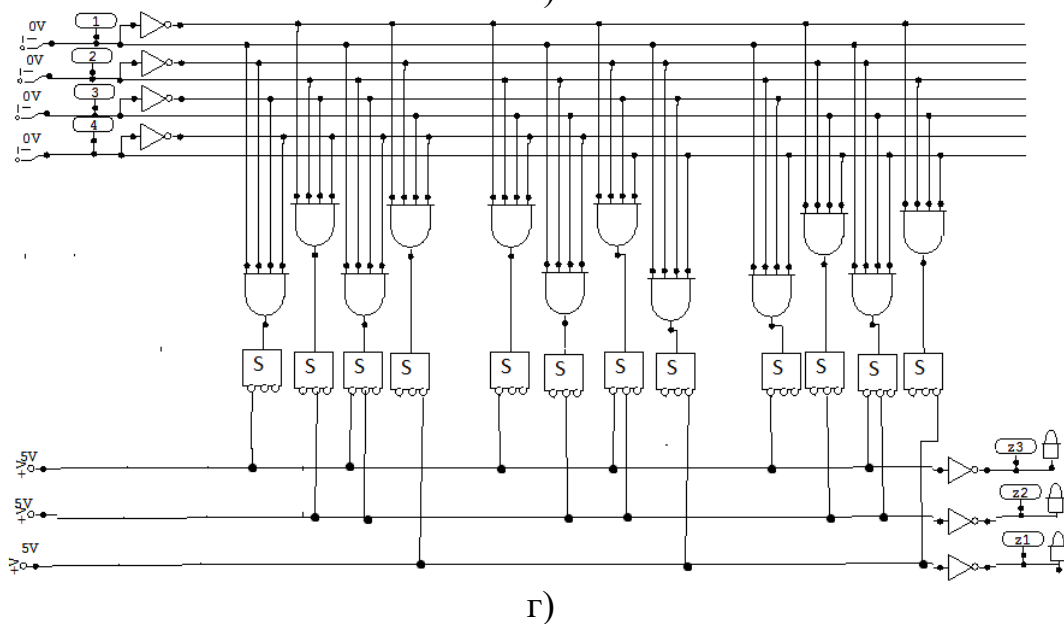
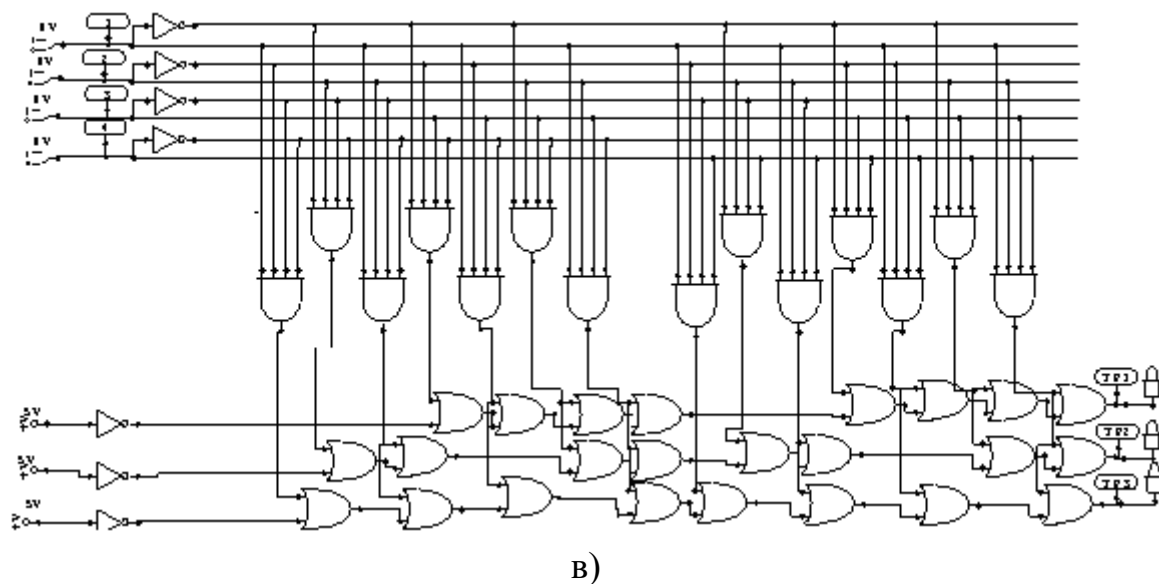
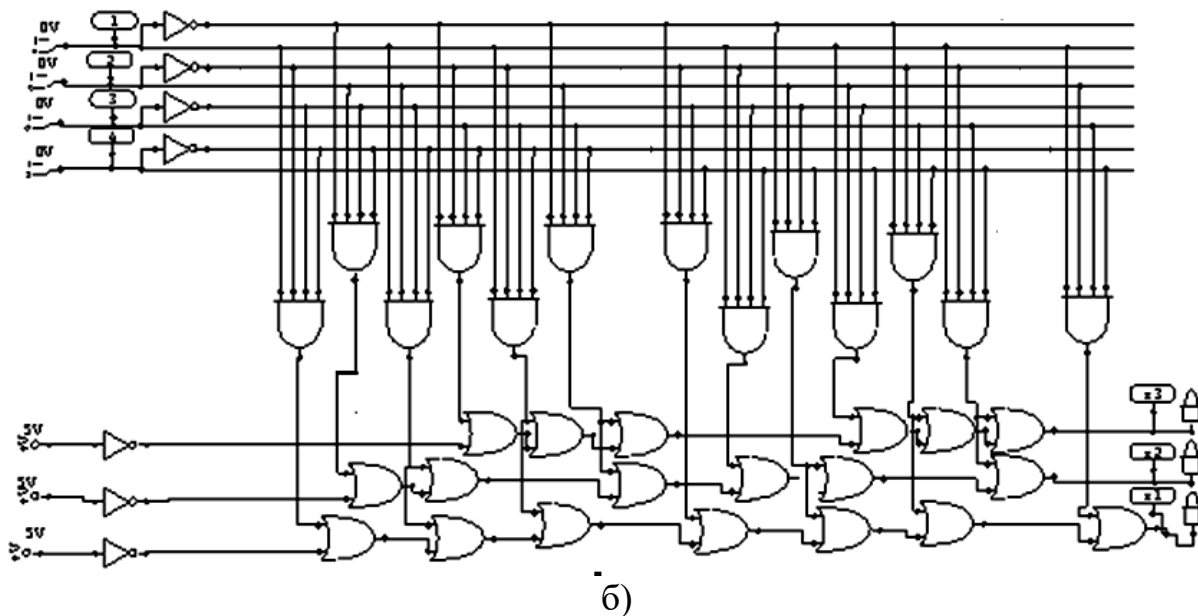


Рисунок 4.5 - Продовження.

Часова складність шифраторів Радемахера-Крестенсона на основі структурної схеми з використанням послідовно включених елементів «АБО»,

пропорційна розрядності модуля p_i у базисі Хаара, тобто $\tau_{SH} = (p_i + 1)\nu$. При реалізації шифратора на основі схеми «провідне АБО» рис.4.6 часова складність шифратора суттєво зменшується $\tau_{SH} = 2\nu$. Відповідно, апаратна складність розглянутих схемотехнічних реалізацій шифраторів визначається згідно виразів $A_{SH} = 2^k \cdot (p_i + 1)$ та $A_{SH} = 2^k$ (рис.4.7).

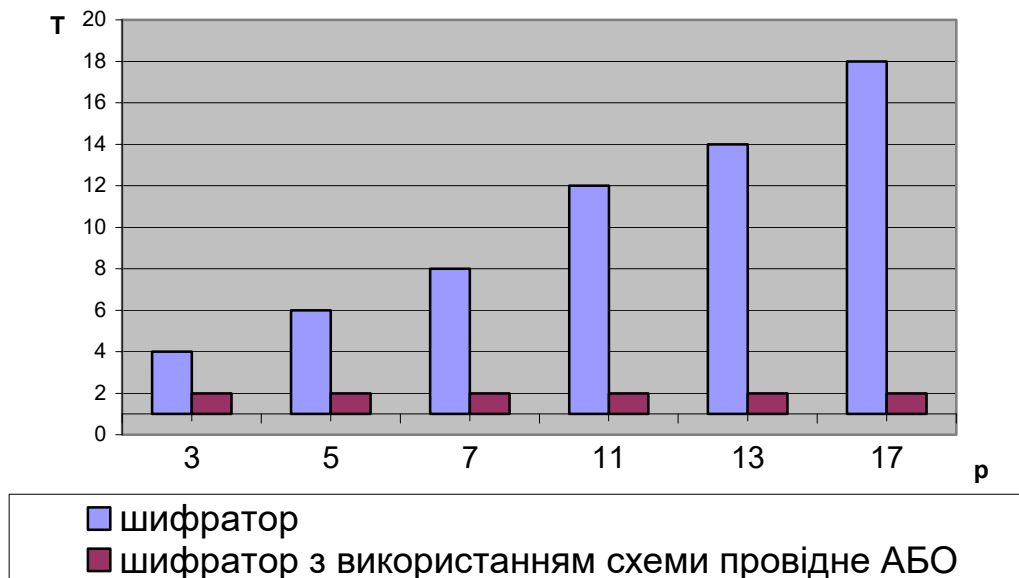


Рисунок 4.6 - Часова складність шифраторів Радемахера-Крестенсона

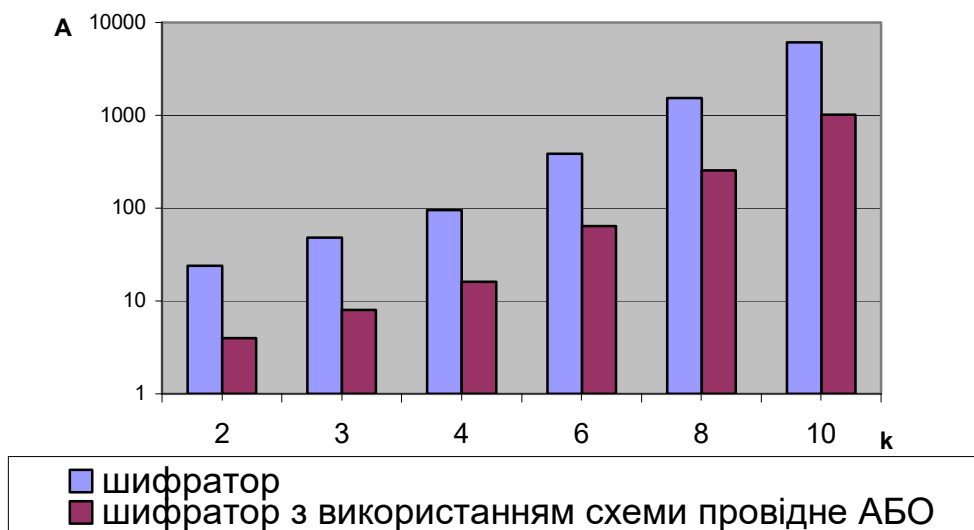


Рисунок 4.7 - Апаратна складність розглянутих схемотехнічних реалізацій шифраторів Радемахера-Крестенсона

З наведених діаграм часової та апаратної складностей (рис.4.6 та 4.7) видно, що при реалізації шифраторів доцільніше використовувати схеми «провідне АБО», які дозволяють зменшити апаратну складність в 6 разів.

4.3 Розробка міжбазисного перетворювача на основі способу з пам'яттю

Спосіб визначення залишку двійкового числа належить до систем перетворення інформації, які можуть бути використані для перетворення великорозрядних двійкових чисел по великорозрядних модулях у системах передавання та захисту інформації від несанкціонованого доступу, а також побудови спецпроцесорів в системі залишкових класів теоретико-числового базису Крестенсона.

Відомий спосіб визначення залишку двійкового числа, що ґрунтується на виконанні операції ділення двійкового числа на заданий модуль, і отримання найменшого невід'ємного залишку згідно алгоритму ділення по модулю двійкових чисел в доповнюючих кодах [9].

Недоліком такого способу є велика обчислювальна складність визначення залишку, оскільки його реалізація потребує багаторазового виконання операцій додавання доповнюючих кодів та операції порівняння чисел, що приводить до низької швидкодії обчислень, оскільки операція ділення потребує $(n+1-m) \cdot m$ - тактів виконання операцій сумування, $(n+1-m)$ - операцій порівняння та $(n-m)$ - операцій зсуву процесора при n -розрядності ділимого та m -розрядного дільника.

Найбільш близьким за суттю до розробленого міжбазисного перетворювача є спосіб отримання залишків двійкових чисел по заданому модулю, в якому n -розрядне двійкове число з вхідної шини записують в регістр пам'яті, а з вихідної шини знімають m -розрядний кінцевий код залишку цього числа по m -розрядному модулю, що ґрунтується на використанні розмежованої системи числення залишкових класів шляхом отримання сукупності залишків кожного одиничного розряду двійкового числа та їх лінійного сумування по

заданому модулю, який потребує n операцій сумування залишків для n -розрядного двійкового числа та наявності n - суматорів по модулю [101].

Проте такий спосіб характеризується великою часовою та апаратною складністю, оскільки для отримання залишку n -розрядного числа необхідне знаходження n окремих залишків для кожного окремого i -того розряду двійкового числа з наступним n -разовим їх сумуванням по модулю.

Розроблений спосіб визначення залишку двійкового числа здійснюється шляхом послідовного зчитування n -розрядного двійкового числа, починаючи зі старших розрядів, та послідовного отримання m -розрядних кодів залишків по модулю з постійної пам'яті, що дозволяє підвищити швидкодію отримання текучих та кінцевого залишку двійкового числа по модулю за n операцій зсуву та вибірки з пам'яті, в яких відсутні операції наскрізних переносів.

Поставлена задача вирішується завдяки тому, що спосіб визначення залишку двійкового числа по модулю, в якому n -розрядне двійкове число з вхідної шини записують в регістр пам'яті, а з вихідної шини знімають m -розрядний кінцевий код залишку цього числа по m -розрядному модулю, згідно з розробленим способом вводиться те, що двійковий код порозрядно зчитують, починаючи зі старших розрядів, сумують його з подвоєним кодом попереднього залишку, починаючи з його нульового, та формують повний код залишку по модулю з постійної пам'яті, який після n повторень таких операцій зчитується як кінцевий код залишку, починаючи зі старшого розряду.

Суть розробленого способу полягає у тому, що в способі отримання залишку, по відношенню до існуючих, відсутня операція порівняння, яка потребує використання суматорів, що, у свою чергу, приводить до виникнення наскрізних переносів, які знижують швидкодію визначення залишку. У запропонованому способі, замість вказаних операцій, здійснюється проста вибірка з постійної пам'яті з врахуванням модульної операції.

На рис.4.8 показана формалізована функціональна структура пристрою, який реалізує відомий спосіб визначення залишку двійкового числа [101, 111], де: 1 – вхідна шина двійкового числа X ; 2 – n -розрядний регістр пам'яті; 3 – вхідна шина m -розрядного коду модуля P ; 4 – дешифратори 2^i значень бітів

числа X в коди залишків b_i по модулю P ; 5 – n -розрядні суматори кодів залишків b_i та b_j по модулю P ; 6 – вихідна шина коду залишку b_0 .

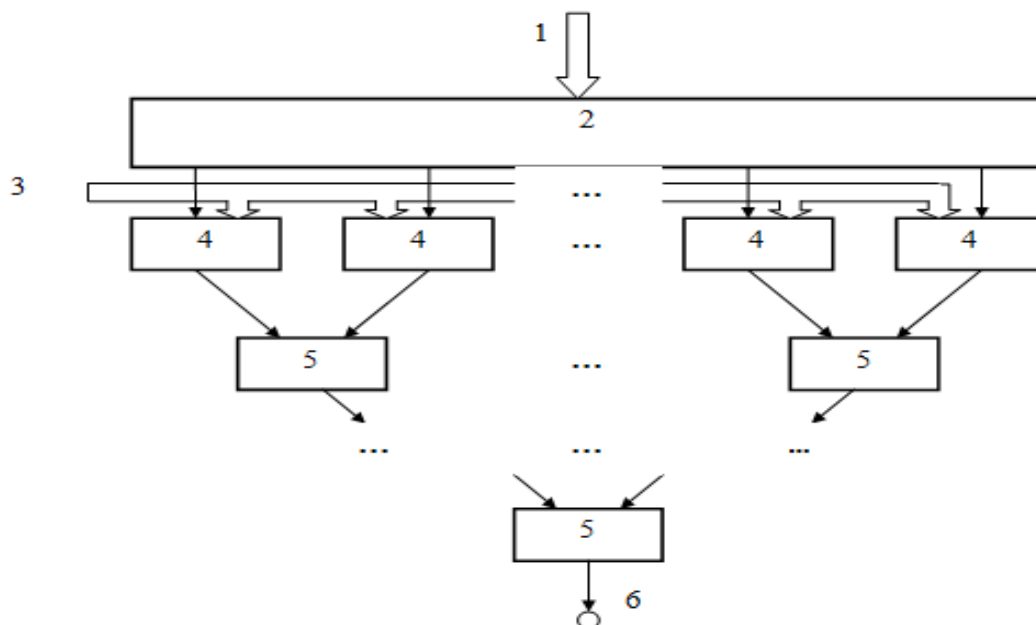


Рисунок 4.8 - Структура пристрою визначення залишку двійкового числа

На рис.4.9 зображена функціональна структура пристрою, який реалізує запропонований спосіб визначення залишку двійкового числа по модулю P , що складається: 1 – вхідна шина двійкового числа X та залишку $b_0=0$; 2 – $n+m$ -розрядний реєстр пам'яті та зсуву; 3 – вхідна шина m -розрядного коду модуля P ; 4 – постійний запам'ятовуючий пристрій; 5 – вихідна шина проміжних та кінцевого залишку b_0 по модулю P .

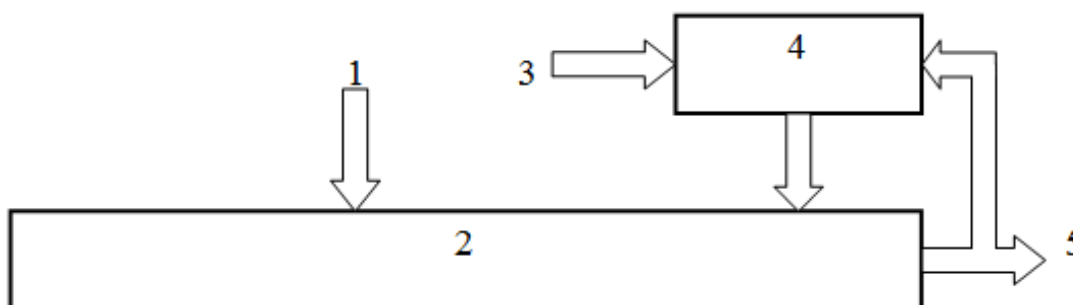


Рисунок 4.9 - Структура пристрою визначення залишку двійкового числа з використанням ПЗП

У реєстр пам'яті та зсуву – 2 з вхідної шини – 1 заноситься n -розрядний код числа X , молодші розряди якого записуються у відповідні розряди реєстра

2, починаючи зліва, а в інші m -розряди записуються нулі. Одночасно з вхідної шини – 3 в постійний запам'ятовуючий пристрій – 4 подається m -розрядний двійковий код модуля P . Після n зсувів з вихідної шини – 5 зчитують код кінцевого залишку b_0 числа X по модулю P , починаючи зі старшого розряду справа.

Для реалізації запропонованого способу реєстр пам'яті та зсуву – 2 виконується відомою мікроелектронною схемою на D-тригерах з мультиплексами на D входах, а постійний запам'ятовуючий пристрій на основі групи k m -адресних кристалів флеш-пам'яті.

Схемотехнічне представлення компонента отримання залишку приведене на рис.4.10

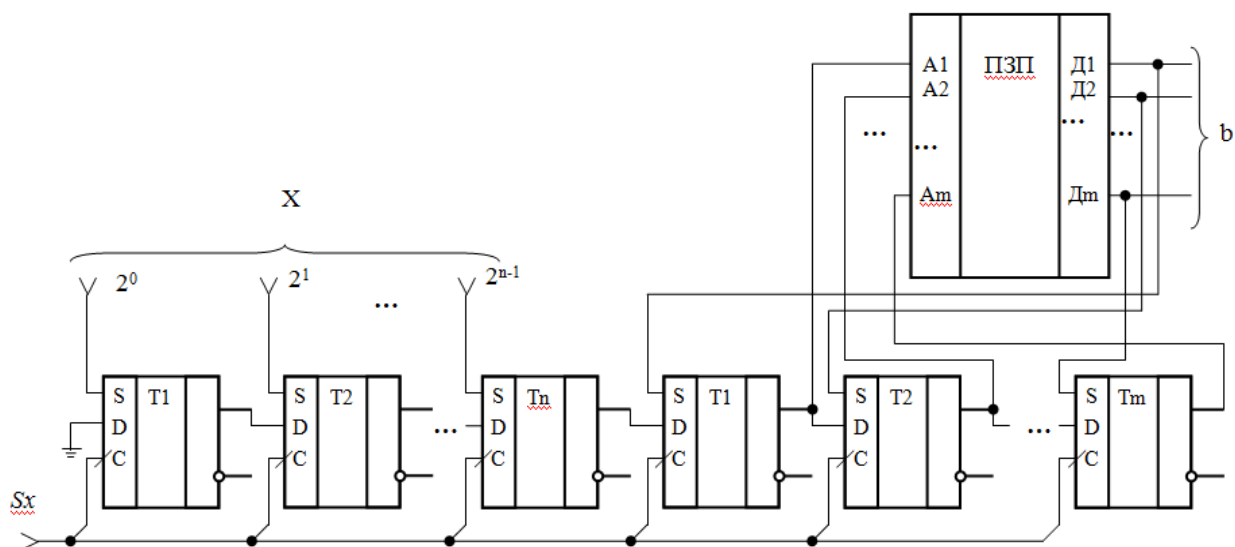


Рисунок 4.10 - Схематехнічна реалізація пристрою визначення залишку двійкового числа з використанням ПЗП

Реалізація міжбазисного перетворювача на основі пристрою визначення залишку двійкового числа з використанням ПЗП буде мати структуру, показану на рис.4.11.

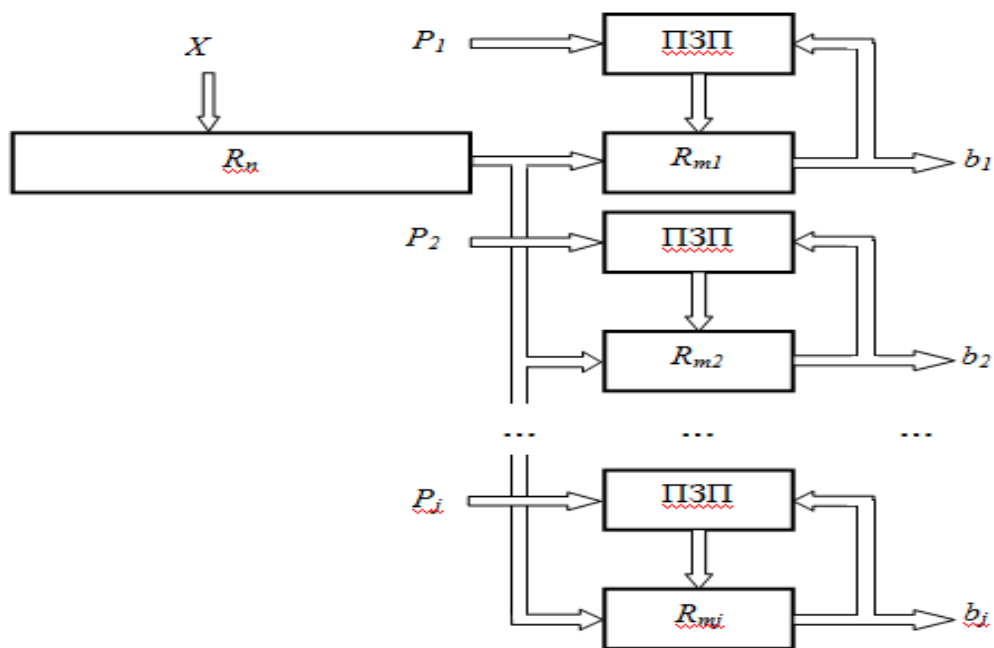


Рисунок 4.11 - Структура міжбазисного перетворювача Радемахера-Крестенсона на основі пристрою визначення залишку двійкового числа з використанням ПЗП

Для реалізації даного міжбазисного перетворювача використовуються відповідні набори модулів представлених в табл.4.8, що дозволяє продемонструвати переваги вибору модулів при різних розрядностях спецпроцесора.

$$A = n \cdot 2ЛЕ + k \cdot 2ЛЕ + A_{ПЗП}$$

$$A_{ПЗП} = 2p \cdot k$$

$$k = \hat{E}[\log_2 p]$$

Таблиця 4.8 - Набори модулів та їх характеристики для різної розрядності спецпроцесора

Характеристики модулів	Розрядність спецпроцесора (біт)					
	8	16	32	64	128	256
Розрядність модулів min (біт)	3	4	5	6	7	8
Кількість модулів min	3	5	7	12	20	34
Розрядність модулів max (біт)	5	6	7	8	9	9
Кількість модулів max	2	3	5	9	15	31

Апаратна складність такого міжбазисного перетворювача згідно табл.4.8 наведена на рис.4.12.

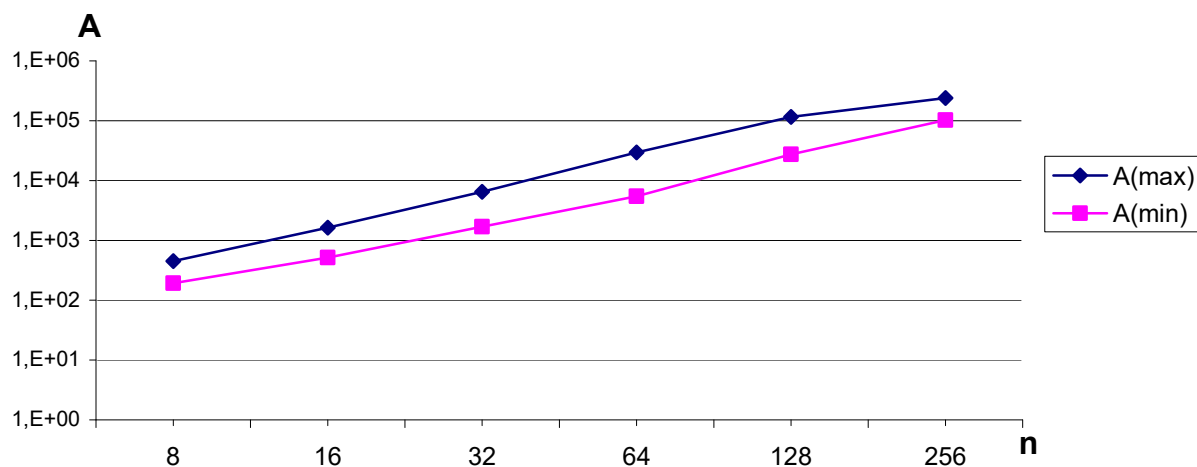


Рисунок 4.12 - Апаратна складність міжбазисного перетворювача з використанням ПЗП з різними наборами модулів

З графіка видно (див.рис.4.12), що апаратна складність даного міжбазисного перетворювача менша при наборі модулів min в 2, рази ніж при наборі модулів з розрядністю max, тому для реалізації даного спецпроцесора доцільніше застосовувати набори модулів (додаток Б) з меншою розрядністю (рис.4.13).

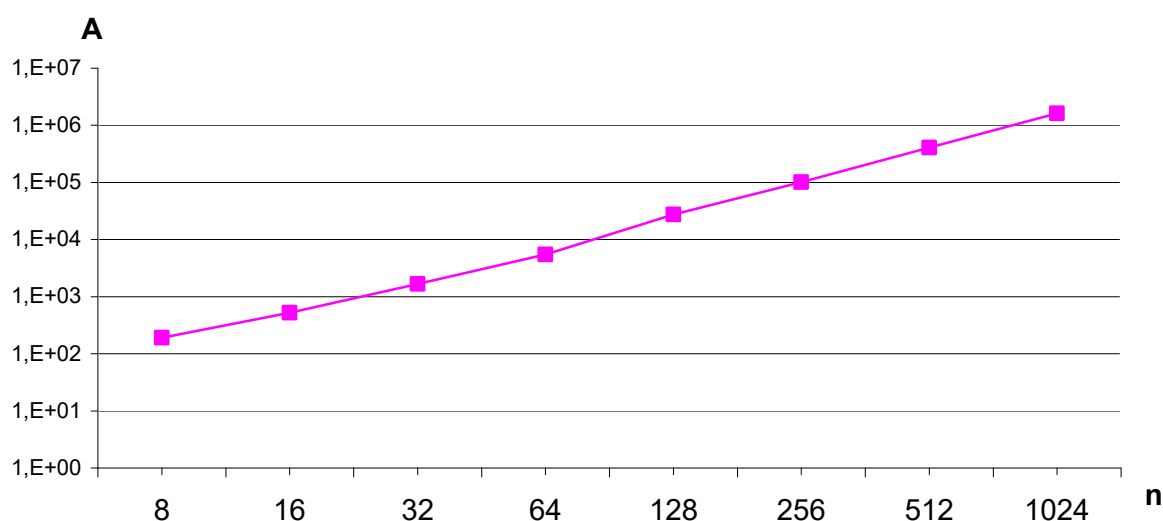


Рисунок 4.13 - Апаратна складність міжбазисного перетворювача з використанням ПЗП

Слід зазначити, що часова складність відомого алгоритму [101, 111] буде обчислюватись згідно наступного співвідношення:

$$O2(n) = mn^2 + mn + m^2n + 2n - 2m + 1.$$

Скориставшись пірамідальним алгоритмом для обчислення залишку [101, 111] отримаєм наступний вираз часової складності: $O3(n) = n \log^2(n)$.

Часова складність розробленого методу обчислення залишку великорозрядних чисел по заданому модулю, згідно рекурентного співвідношення $b_i = (a_i + 2b_i - 1) \bmod p_i$, обчислюється згідно виразу: $O1(n) = 2n$. Результатом чисельного експерименту показано, що розроблений метод характеризується меншою часовою складністю на 2-3 порядки в порівнянні з відомими (рис.4.14).

Отже, враховуючи проведені дослідження, розроблений метод на основі використання рекурентного співвідношення доцільно використовувати в міжбазисних перетвореннях.

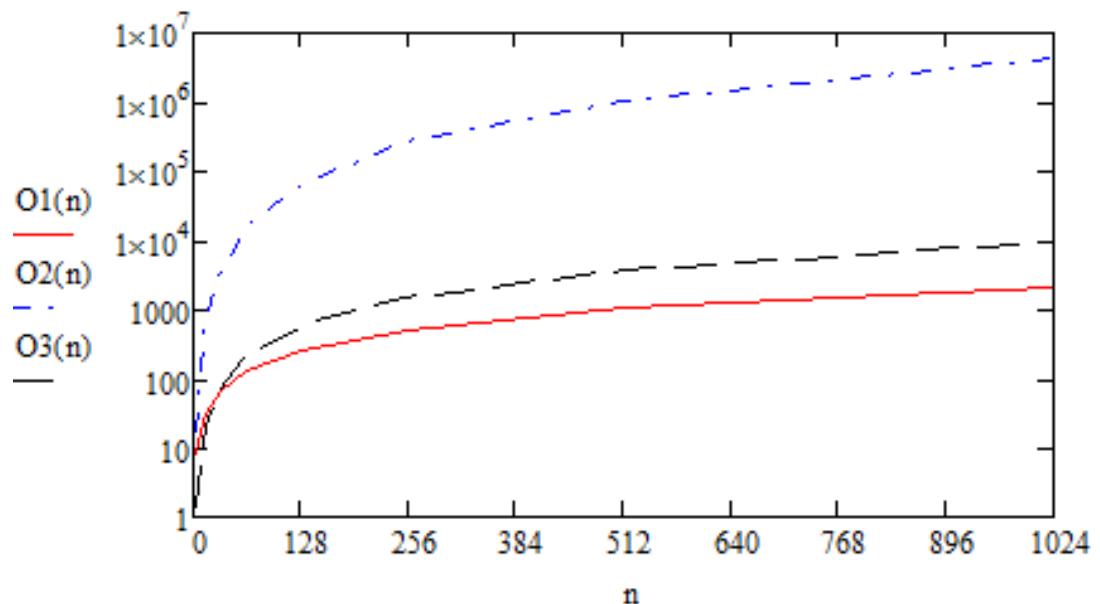


Рисунок 4.14 – Часова складність обчислення залишків по модулю.

Наприклад, для використовуваних сучасних способів захисту інформації RSA та Ель-Гамала з розрядністю модулів 512-1024 біти потрібно 4 кристали флеш-пам'яті 16 ГБ. При тактовій частоті регістра пам'яті та зсуву – 2 100 МГц

затримка часу визначення одного залишку 1024-х бітного числа X складає близько 1 мс.

Операція обчислення залишку розробленим способом потребує n тактів в регістрі пам'яті та зсуву – 2 та n тактів вибірки коду залишку з постійного запам'ятовуючого пристрою – 4, тобто рівне $2n$, у випадку, якщо двійкове число буде займати 512 біт, а модуль, за яким обчислюють залишок, буде від 2 до 128 біт то швидкодія, в порівнянні з відомим способом, зросте від 2-х до 48-и разів.

4.4 Реалізація швидкодіючого перетворювача Радемахера-Крестенсона на основі рандомізаторів

Розроблений перетворювач Радемахера-Крестенсона відноситься до обчислювальної техніки і може бути використаний в якості міжбазисного перетворювача обчислювальних пристроїв, які працюють у двійковій системі числення базису Радемахера, в систему числення залишкових класів теоретико-числового базису Крестенсона.

Відомий пристрій для перетворення десяткового коду в систему залишкових класів [102], який містить вхідні регістри для запису вхідного десяткового числа, розрядні перетворювачі по кожному модулю системи, вхідні шини для подачі розрядів числа та виходи кодів залишків b_i по модулю P_j системи залишкових класів.

Недоліком такого пристрою є низька швидкодія та висока апаратна складність, які обумовлені тим, що він містить арифметичні пристрої відповідного числа модулів системи на цифрових елементах розподілу струму.

Також, відомий пристрій для перетворення чисел з десяткової системи числення в систему залишкових класів [103], який містить перетворювачі степенів основи в системі залишкових класів, блоки множення і сумування по модулю з'єднані між собою відповідним чином.

Недоліком відомого пристрою є низька швидкодія та висока апаратна складність, обумовлена наявністю великої кількості блоків множення та сумування по кожному P_j – модулю в системі залишкових класів.

Відомий прототип до запропонованого перетворювача Радемахера-Крестенсона є пристрій для перетворення чисел з позиційної системи числення в систему залишкових класів [104], який містить шини для подачі K -розрядного позиційного числа, перетворювачі степенів розрядів числа в позиційній системі числення по модулю P_j , K виходів кодів залишків системи залишкових класів, блоки множення та сумування по модулю P_j , які з'єднані відповідним чином.

Недоліком пристрою перетворення чисел з позиційної системи числення в систему залишкових класів є низька швидкодія та висока апаратна складність, обумовлена наявністю блоків множення та сумування по модулю P_j .

Поставлена задача підвищення швидкодії та зменшення апаратної складності вирішується завдяки тому, що пристрій для перетворення чисел з позиційної системи числення в систему залишкових класів містить шини для подачі K –розрядного позиційного числа, перетворювачі степенів розрядів числа в позиційній системі числення по модулю P_j , виходи кодів залишків системи залишкових класів, згідно з розробленим міжбазисним перетворювачем, додатково введені K комутаційних мультиплексорів по кожному модулю системи залишкових класів P_j , перші входи яких підключені до відповідних шин вхідного K –розрядного двійкового числа, а другі входи i -тих комутаційних мультиплексорів підключені до виходів $i-1$ -ших комутаційних мультиплексорів починаючи, з $K-2$ до нульового розряду, при чому, на одиничний вхід $K-1$ -го комутаційного мультиплексора подається старший біт двійкового числа базису Радемахера, а виходи нульового комутаційного мультиплексора є виходами чисел залишків b_i по модулю P_j системи залишкових класів.

Міжбазисний перетворювач Радемахера-Крестенсона ілюструється зображеною структурною схемою пристрою (рис.4.14) [111, 112]: 1 – вхідні шини K –розрядного позиційного числа, 2 – комутаційні мультиплексори, 3 – виходи коду b_i системи залишкових класів.

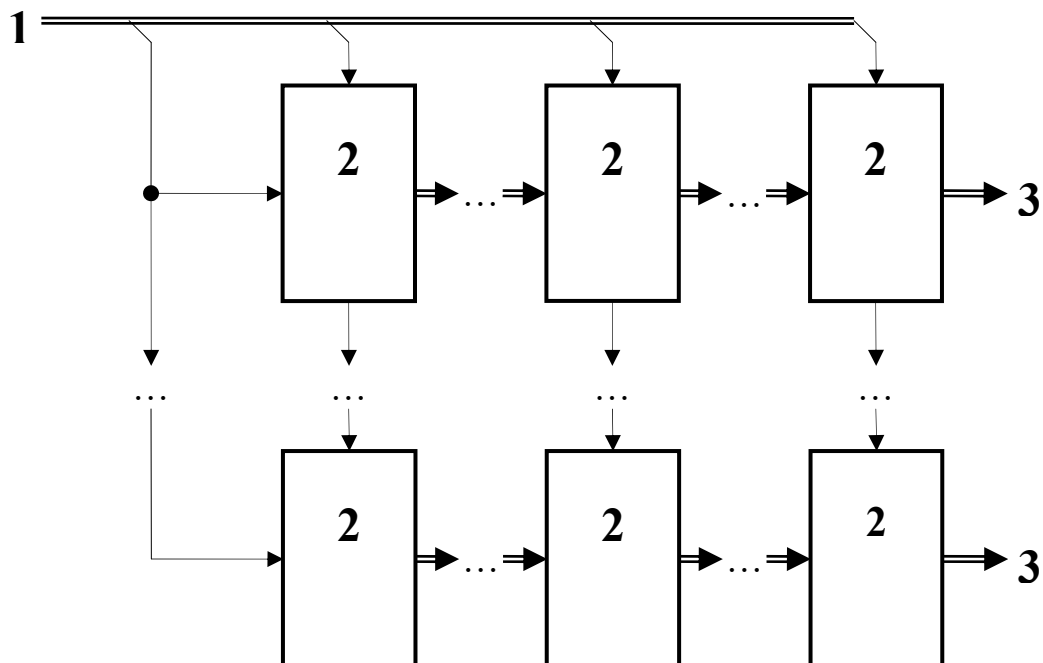


Рисунок 4.14 - Структурна схема перетворювача Радемахера-Крестенсона на основі рандомізаторів

На рис.4.15 зображена структурна схема комутаційного мультиплексора: 2.1– рандомізатор по модулю P_j , 2.2 – інкрементний пристрій по модулю P_j , 2.3 – P -каналний двохвходовий мультиплексор.

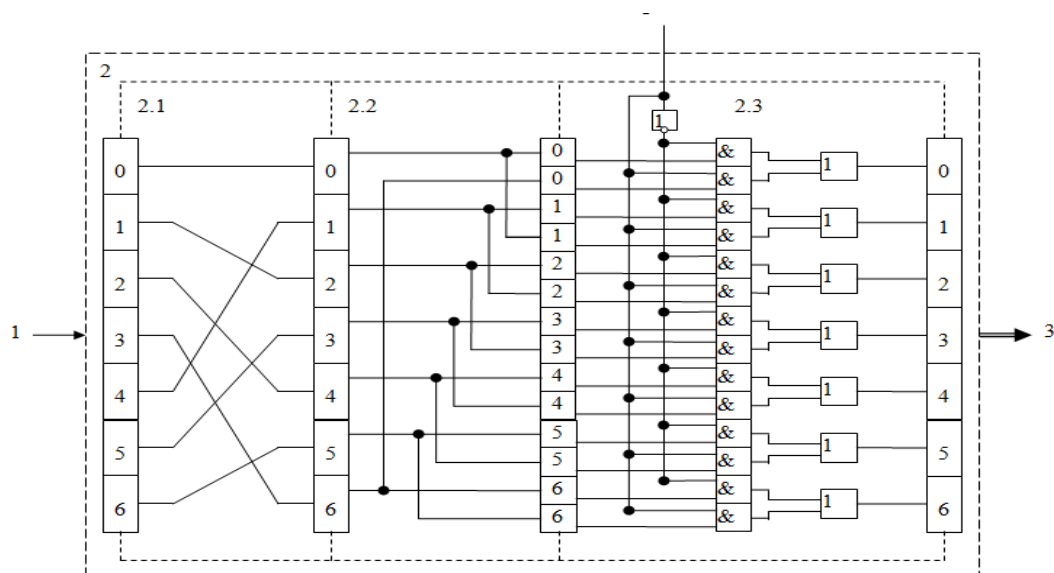


Рисунок 4.15 - Структура комутаційного мультиплексора

На вхідну шину – 1 подається код K -розрядного двійкового числа базису Радемахера, при цьому на перші входи $i-1$ -тих комутаційних пристроїв всіх j -

тих розрядів вихідних кодів системи залишкових класів подаються двійкові значення 0 або 1 X_{i-1} -тих вхідних шин. При подачі на одиничні входи всіх j -тих $K-1$ -ших комутаційних мультиплексорів – 2 сигналу старшого біту X_i відбувається однозначне формування на виходах всіх X_j нульового розряду вхідного числа унітарних кодів Хаара залишків b_j системи залишкових класів. У результаті за один такт переключення мультиплексорів 2 відбувається перетворення K -розрядних чисел базису Радемахера у систему залишкових класів базису Крестенсона у системі взаємопростих модулів $p_1, p_2, \dots, p_j, \dots, p_m$, де m – число взаємопростих модулів.

Оскільки рандомізатори по модулю p_j організовані на основі провідникової схеми без активних елементів то швидкодія пристрою визначається часом паралельного переключення мультиплексорів, тобто за 1 такт. А також, пристрій характеризується регулярністю структури і легко проектується на ПЛМ, що забезпечує зменшення апаратної складності порівняно з відомим пристроєм, та надійністю мікроелектронної реалізації.

Оцінку часової та апаратної складності спецпроцесора міжбазисного перетворення на основі рандомізаторів та мультиплексорів розраховуємо згідно виразів: $\tau = 2LE$, що відповідає тривалості переключення двох послідовно підключених елементів мультиплексора. Оскільки всі мультиплексори переключаються одночасно при подачі на їх входи бітових значень великорозрядного двійкового числа, то швидкодія такого міжбазисного перетворювача не залежить від перетворюваного числа базису Радемахера.

Оцінка апаратної складності розробленого міжбазисного перетворювача розраховується згідно виразу $A = 2p + p + 1 + (9p \cdot 0.001)$, де 0,001 – апаратна складність з'єднань міжбазисного перетворювача.

Апаратна складність такого міжбазисного перетворювача згідно наборів модулів табл.4.8 наведена на рис.4.16 та рис.4.17.

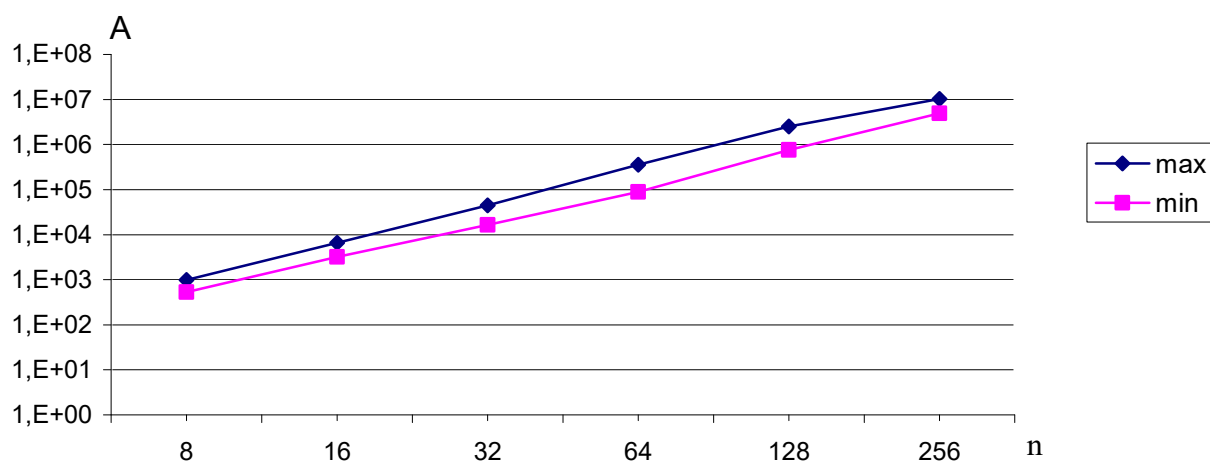


Рисунок 4.16 - Апаратна складність міжбазисного перетворювача на основі рандомізаторів з різними наборами модулів

З графіка видно (див.рис.4.16), що апаратна складність даного міжбазисного перетворювача менша при наборі модулів min в 2 рази, ніж при наборі модулів з розрядністю max, тому для реалізації даного спецпроцесора доцільніше застосовувати набори модулів (додаток В) з меншою розрядністю (рис.4.17).

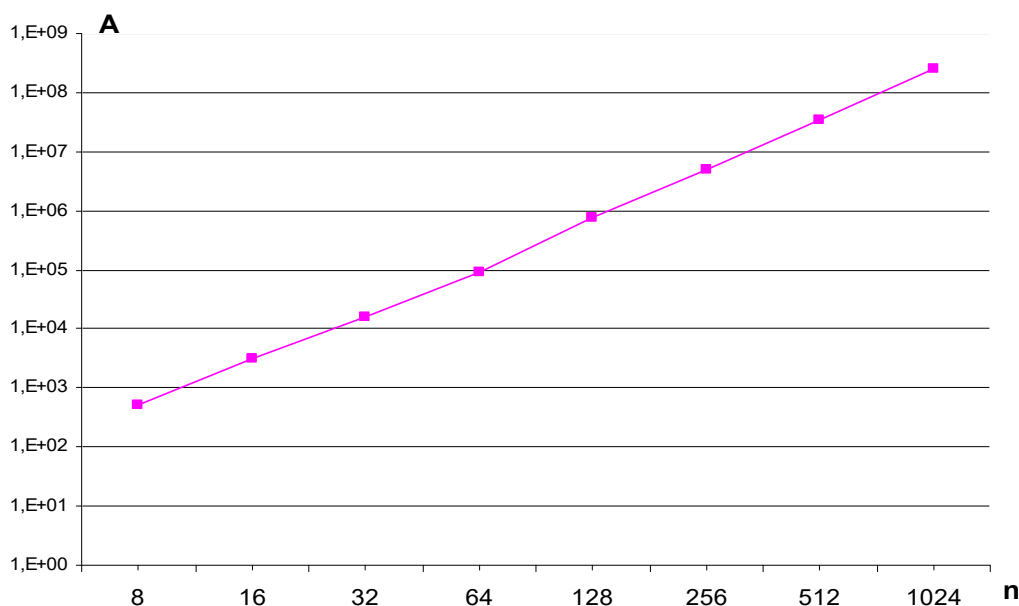


Рисунок 4.17 - Апаратна складність міжбазисного перетворювача на основі рандомізаторів

4.5 Розрахунок системи взаємопростих модулів високопродуктивного кореляційного спецпроцесора в базисі Хаара-Крестенсона

Функціональна структура спецпроцесора обчислення коваріаційної функції на основі числення системи залишкових класів теоретико-числового базису Крестенсона та представлення кодів залишків системи взаємопростих модулів у базисі Хаара приведена на рис.4.18.

Обчислення коваріаційної функції здійснюється згідно виразу:

$$K_{xx}(j) = \frac{1}{N} \sum_{i=0}^{N-1} x_i \cdot x_{i-j},$$

де N – об'єм вибірки, x_i - цифрові відліки;

$j \in \overline{0, m}$ - часовий дискретний зсув;

m – число точок коваріаційної функції.

З метою розпаралелення та підвищення швидкодії виконання обчислювальних операцій у базисі Хаара-Крестенсона на виході аналого-цифрового перетворювача паралельно формуються коди базису Хаара системи взаємопростих модулів перетворення Крестенсона:

$$\begin{array}{cccccc} p_1 & p_2 & \dots & p_i & \dots & p_k \\ b_i(N) = (010\dots 0) & (101\dots 0) & \dots & (011\dots 1) & \dots & (100\dots 1), \end{array}$$

де $p_1, p_2, \dots, p_1, \dots, p_k$ – взаємно прості модулі системи залишкових класів;

$b_i(N)$ – паралельні коди базису Хаара.

На рис. 4.18 позначені наступні модулі: АЦП – паралельний АЦП, який перетворює вхідні аналогові сигнали $X(t)$ у масив кодів Хаара, які відповідають залишкам системі взаємно простих модулів базису Крестенсона; $MK(+)$, $MK(\times)$ – відповідно K матриць модульного сумування та множення у базисі Хаара; ПЗП – постійний запам'ятовуючий пристрій, який перетворює коди Хаара-Крестенсона у вихідні коди значень коваріаційної функції базису Радемахера [112].

Таким чином, у процесі обчислення коваріаційної функції у кожному каналі процесора виконується матрично-модульне перемноження поточних та зміщених в регістрі відліків, а також накоплююче матрично-модульне

сумування кодів Хаара. У результаті у кожному j -му каналі по P_i модулю виконується операція модульного множення і на виходах формуються коди залишків згідно виразу:

$$b_m(H) = \text{res}[b_i(H) + b_{i-j}(H)] \bmod P_i. \quad (4.1)$$

Структурна схема формування прямих кодів залишків у базисі Хаара в результаті модульного сумування згідно виразу (4.1) показана на рис.4.19. На пересіченні кодівих шин матриці Хаара розміщений логічний елемент «І-НЕ», при чому виходи елементів, які відповідають одному значенню коду Хаара з'єднані між собою і утворюють вихідну шину зворотних паралельних кодів Хаара, які після інвекторів перетворюються в прямі коди базису Хаара, які представляють результати модульного сумування.

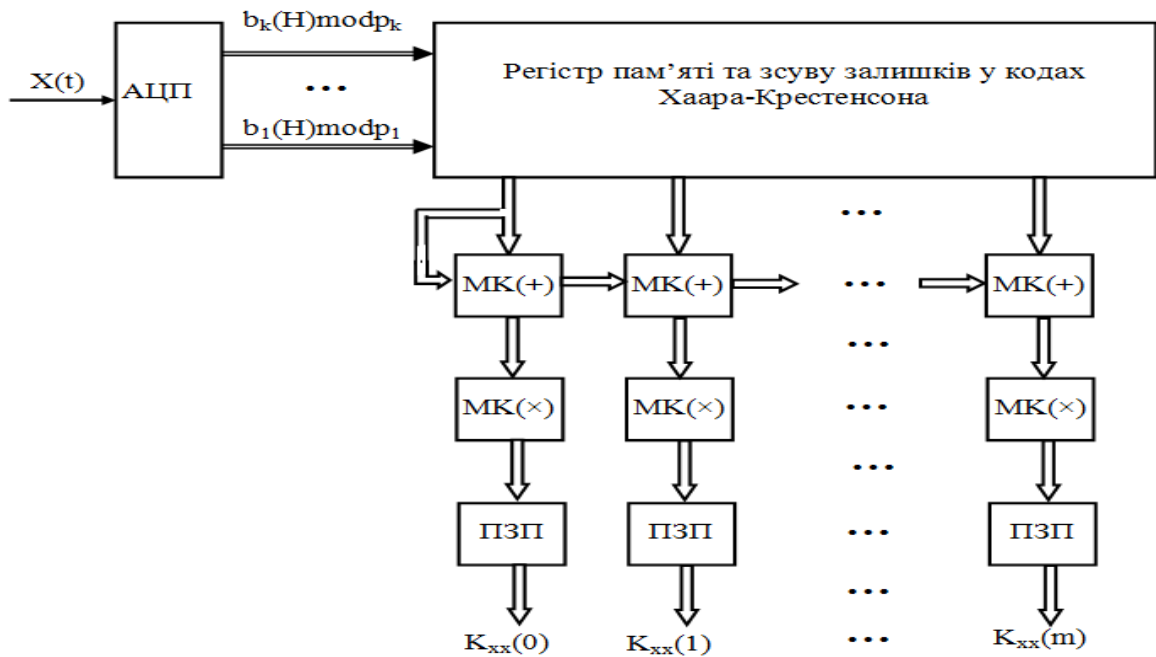


Рисунок 4.18 - Функціональна структура спецпроцесора обчислення коваріаційної функції у базисі Хаара-Крестенсона.

Отже, часова затримка виконання модульних операцій у матрицях модульного сумування та множення виконується за два мікротакти незалежно від розрядності АЦП та числа точок обчислювальної автоковаріаційної функції $\tau_m = 2\nu$, де ν - тривалість переключення мікроелектронного обладнання.

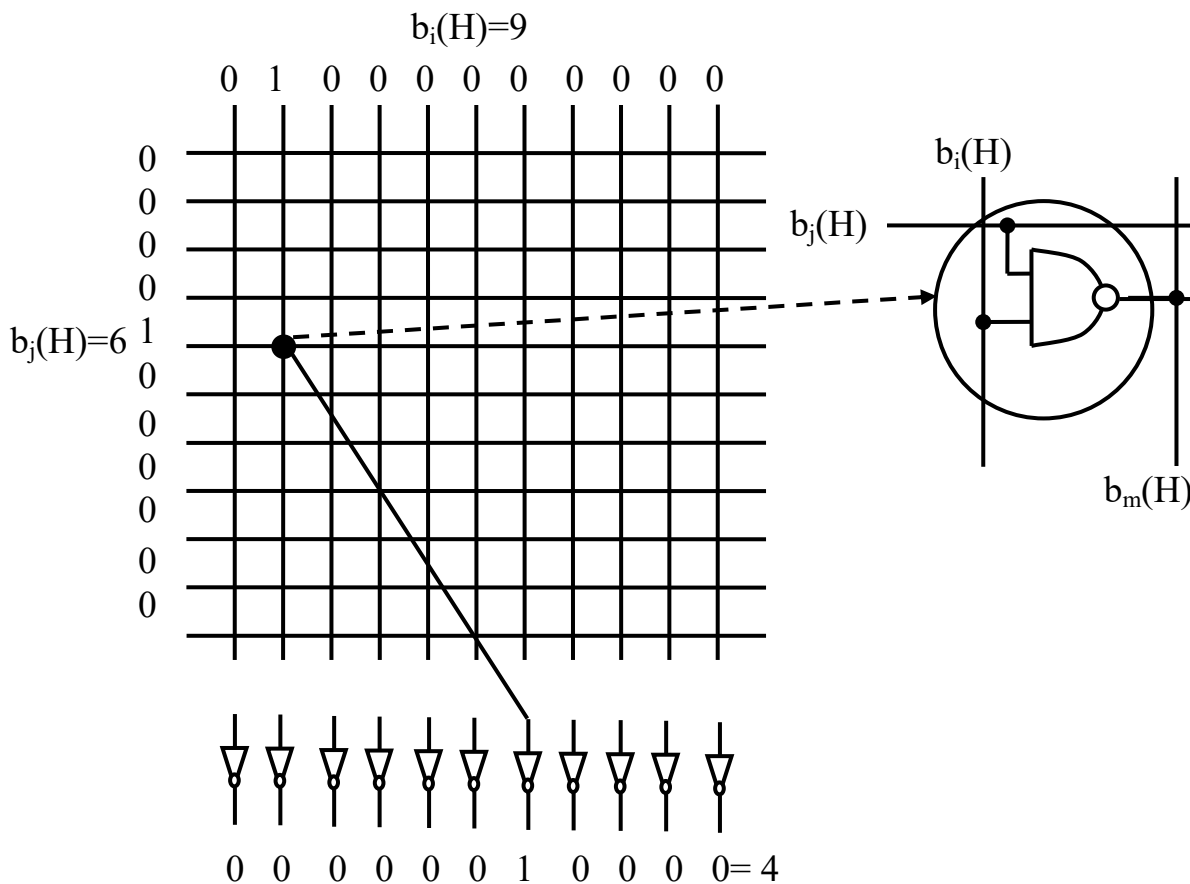


Рисунок 4.19 - Структура модульної матриці сумування кодів Хаара.

Аналогічну структуру має матриця модульного множення кодів Хаара.

Приклади розрахунку параметрів автокорелятора при різній розрядності АЦП K , числа каналів автокорелятора M і об'ємі вибірки N :

Приклад 1.

- вихідні дані автокорелятора $K=4$, $M=16$, $N=256$. Шукаємо набір взаємно простих модулів (P_1, P_2, \dots, P_k) , добуток яких найменше перевищує суму добутків максимальних значень $x_i \cdot x_{i-j}$, тобто $\prod_{i=1}^k P_i \geq \sum_{i=1}^{256} x_i \max \cdot x_{i-j} \max$. Для

нашого прикладу $x_i \max = 2^4 - 1 = 15$, отже $\sum_{i=1}^{256} 15^2 = 57600$.

Вибираємо набір наступних взаємнопростих модулів: $p_1=11$, $p_2=13$, $p_3=15$, $p_4=31$. Їх добуток рівний $P=11 \cdot 13 \cdot 15 \cdot 31=66495$, що задовольняє діапазон кодування чисел в системі залишкових класів.

Приклад. 2

- вихідні дані автокорелятора $K=8$, $M=16$, $N=256$. Діапазон кодування чисел в кожному каналі автокорелятора $255^2 \cdot 256^2 = 16646400$.

Вибраний набір модулів: $p_1=25$, $p_2=27$, $p_3=28$, $p_4=29$, $p_5=31$. Їх добуток рівний $P=25 \cdot 27 \cdot 28 \cdot 29 \cdot 31 = 16991100$, що задовольняє умову однозначного кодування результатів обчислень у автокореляторі в системі залишкових класів базису Крестенсона.

У загальному випадку швидкодія спецпроцесора обчислення автоковаріаційної функції у базисі Хаара-Крестенсона з вихідними кодами у базисі Радемахера визначається згідно виразу:

$$\tau_n = \tau(AЦП) + \tau(R) + \tau(M+) + \tau(M \times) + \tau(ПЗП) ,$$

де $\tau(AЦП)$ згідно структури, показаної на рис.4.4, з врахуванням сумарного часу переключення послідовно включених компаратора, логічного елемента та мікроелектронного вентиля не перевищує 6ν , $\tau(R)$ реєстра пам'яті та зсуву, який реалізується на D-тригерах рівний 2ν , а $\tau(ПЗП)$, яке реалізується на основі вентильних матриць не перевищує 2ν . У результаті отримаємо загальну оцінку швидкодії розробленого кореляційного спецпроцесора:

$$\tau_n = 6\nu + 2\nu + 2\nu + 2\nu = 12\nu .$$

Таким чином, при тактовій частоті роботи кристала мікроелектронної реалізації процесора 100 МГц час затримки обчислення автоковаріаційної функції не перевищує 120 нс.

При створенні великорозрядних процесорів у базисі Крестенсона у системі взаємно простих модулів можуть використовуватися наступні значення модулів. Один модуль з значенням 2^k , де k - ціле число; по одному модулю p^k , де p – просте число; модулі, рівні простим числам; складені модулі добутоків простих чисел.

В таблиці 4.9 розраховані значення k – розрядних модулів для процесорів з різною розрядністю розробленою програмою (Додаток І).

Таблиця 4.9 – Набори модулів для процесорів з різною розрядністю

3 бітні модулі:

8 (Складене число: 2^3)
7 (Складене число: $7 * 1$)

4 бітні модулі:

16 (Складене число: 2^4)
15 (Складене число: $3 * 5$)
13 (Просте число)

5 бітні модулі:

32 (Складене число: 2^5)
31 (Складене число: $31 * 1$)
29 (Просте число)
27 (Складене число: 3^3)
25 (Складене число: $5 * 5$)
23 (Просте число)

6 бітні модулі:

64 (Складене число: 2^6)
63 (Складене число: $3 * 3 * 7$)
61 (Просте число)
59 (Просте число)
55 (Складене число: $11 * 5$)
53 (Просте число)
47 (Просте число)
43 (Просте число)

7 бітні модулі:

128 (Складене число: 2^7)
127 (Складене число: $127 * 1$)
125 (Складене число: 5^3)
123 (Складене число: $41 * 3$)
121 (Складене число: $11 * 11$)
119 (Складене число: $17 * 7$)
113 (Просте число)
109 (Просте число)
107 (Просте число)
103 (Просте число)
101 (Просте число)
97 (Просте число)
89 (Просте число)
83 (Просте число)
79 (Просте число)

5 (Просте число)
3 (Просте число)

11 (Просте число)
7 (Просте число)

19 (Просте число)
17 (Просте число)
13 (Просте число)
11 (Просте число)
7 (Просте число)

41 (Просте число)
37 (Просте число)
31 (Просте число)
29 (Просте число)
23 (Просте число)
19 (Просте число)
17 (Просте число)
13 (Просте число)

73 (Просте число)
71 (Просте число)
67 (Просте число)
61 (Просте число)
59 (Просте число)
53 (Просте число)
47 (Просте число)
43 (Просте число)
37 (Просте число)
31 (Просте число)
29 (Просте число)
23 (Просте число)
19 (Просте число)
13 (Просте число)

Продовження таблиці 4.9

8 бітні модулі:

256 (Складене число: 2^8)
255 (Складене число: $3 * 5 * 17$)
253 (Складене число: $23 * 11$)
251 (Просте число)
247 (Складене число: $19 * 13$)
241 (Просте число)
239 (Просте число)
233 (Просте число)
229 (Просте число)
227 (Просте число)
223 (Просте число)
217 (Складене число: $31 * 7$)
211 (Просте число)
199 (Просте число)
197 (Просте число)
193 (Просте число)
191 (Просте число)
181 (Просте число)
179 (Просте число)
173 (Просте число)
167 (Просте число)
163 (Просте число)
157 (Просте число)
151 (Просте число)
149 (Просте число)

9 бітні модулі:

512 (Складене число: 2^9)
511 (Складене число: $7 * 73$)
509 (Просте число)
505 (Складене число: $101 * 5$)
503 (Просте число)
501 (Складене число: $167 * 3$)
499 (Просте число)
493 (Складене число: $29 * 17$)
491 (Просте число)
487 (Просте число)
481 (Складене число: $37 * 13$)
479 (Просте число)
473 (Складене число: $43 * 11$)
467 (Просте число)
463 (Просте число)
461 (Просте число)
457 (Просте число)
449 (Просте число)
443 (Просте число)
439 (Просте число)
437 (Складене число: $23 * 19$)
433 (Просте число)
431 (Просте число)
421 (Просте число)
419 (Просте число)
409 (Просте число)
401 (Просте число)
397 (Просте число)
389 (Просте число)
383 (Просте число)
379 (Просте число)

139 (Просте число)
137 (Просте число)
131 (Просте число)
127 (Просте число)
113 (Просте число)
109 (Просте число)
107 (Просте число)
103 (Просте число)
101 (Просте число)
97 (Просте число)
89 (Просте число)
83 (Просте число)
79 (Просте число)
73 (Просте число)
71 (Просте число)
67 (Просте число)
61 (Просте число)
59 (Просте число)
53 (Просте число)
47 (Просте число)
43 (Просте число)
41 (Просте число)
37 (Просте число)
29 (Просте число)

373 (Просте число)
367 (Просте число)
359 (Просте число)
353 (Просте число)
349 (Просте число)
347 (Просте число)
337 (Просте число)
331 (Просте число)
317 (Просте число)
313 (Просте число)
311 (Просте число)
307 (Просте число)
293 (Просте число)
283 (Просте число)
281 (Просте число)
277 (Просте число)
271 (Просте число)
269 (Просте число)
263 (Просте число)
257 (Просте число)
251 (Просте число)
241 (Просте число)
239 (Просте число)
233 (Просте число)
229 (Просте число)
227 (Просте число)
223 (Просте число)
211 (Просте число)
199 (Просте число)
197 (Просте число)

Продовження таблиці 4.9

193 (Просте число)
191 (Просте число)
181 (Просте число)
179 (Просте число)
173 (Просте число)
163 (Просте число)
157 (Просте число)
151 (Просте число)
149 (Просте число)
139 (Просте число)
137 (Просте число)
131 (Просте число)
127 (Просте число)
113 (Просте число)
109 (Просте число)

107 (Просте число)
103 (Просте число)
97 (Просте число)
89 (Просте число)
83 (Просте число)
79 (Просте число)
71 (Просте число)
67 (Просте число)
61 (Просте число)
59 (Просте число)
53 (Просте число)
47 (Просте число)
41 (Просте число)
31 (Просте число)

10 бітні модулі:

1024 (Складене число: 2^10)
1023 (Складене число: $3 * 11 * 31$)
1021 (Просте число)
1019 (Просте число)
1013 (Просте число)
1009 (Просте число)
1007 (Складене число: $53 * 19$)
1003 (Складене число: $59 * 17$)
997 (Просте число)
995 (Складене число: $199 * 5$)
991 (Просте число)
989 (Складене число: $43 * 23$)
983 (Просте число)
977 (Просте число)
973 (Складене число: $139 * 7$)
971 (Просте число)
967 (Просте число)
953 (Просте число)
949 (Складене число: $73 * 13$)
947 (Просте число)
941 (Просте число)
937 (Просте число)
929 (Просте число)
919 (Просте число)
911 (Просте число)
907 (Просте число)
887 (Просте число)
883 (Просте число)
881 (Просте число)
877 (Просте число)
863 (Просте число)
859 (Просте число)
857 (Просте число)
853 (Просте число)
841 (Складене число: $29 * 29$)

839 (Просте число)
829 (Просте число)
827 (Просте число)
823 (Просте число)
821 (Просте число)
811 (Просте число)
809 (Просте число)
797 (Просте число)
787 (Просте число)
773 (Просте число)
769 (Просте число)
761 (Просте число)
757 (Просте число)
751 (Просте число)
743 (Просте число)
739 (Просте число)
733 (Просте число)
727 (Просте число)
719 (Просте число)
709 (Просте число)
701 (Просте число)
691 (Просте число)
683 (Просте число)
677 (Просте число)
673 (Просте число)
661 (Просте число)
659 (Просте число)
653 (Просте число)
647 (Просте число)
643 (Просте число)
641 (Просте число)
631 (Просте число)
619 (Просте число)

Продовження таблиці 4.9

617 (Просте число)
613 (Просте число)
607 (Просте число)
601 (Просте число)
599 (Просте число)
593 (Просте число)
587 (Просте число)
577 (Просте число)
571 (Просте число)
569 (Просте число)
563 (Просте число)
557 (Просте число)
547 (Просте число)
541 (Просте число)
523 (Просте число)
521 (Просте число)
509 (Просте число)
503 (Просте число)
499 (Просте число)
491 (Просте число)
487 (Просте число)
479 (Просте число)
467 (Просте число)
463 (Просте число)
461 (Просте число)
457 (Просте число)
449 (Просте число)
443 (Просте число)
439 (Просте число)
433 (Просте число)
431 (Просте число)
421 (Просте число)
419 (Просте число)
409 (Просте число)
401 (Просте число)
397 (Просте число)
389 (Просте число)
383 (Просте число)
379 (Просте число)
373 (Просте число)
367 (Просте число)
359 (Просте число)
353 (Просте число)
349 (Просте число)
347 (Просте число)
337 (Просте число)
331 (Просте число)
317 (Просте число)
313 (Просте число)

311 (Просте число)
307 (Просте число)
293 (Просте число)
283 (Просте число)
281 (Просте число)
277 (Просте число)
271 (Просте число)
269 (Просте число)
263 (Просте число)
257 (Просте число)
251 (Просте число)
241 (Просте число)
239 (Просте число)
233 (Просте число)
229 (Просте число)
227 (Просте число)
223 (Просте число)
211 (Просте число)
197 (Просте число)
193 (Просте число)
191 (Просте число)
181 (Просте число)
179 (Просте число)
173 (Просте число)
167 (Просте число)
163 (Просте число)
157 (Просте число)
151 (Просте число)
149 (Просте число)
137 (Просте число)
131 (Просте число)
127 (Просте число)
113 (Просте число)
109 (Просте число)
107 (Просте число)
103 (Просте число)
101 (Просте число)
97 (Просте число)
89 (Просте число)
83 (Просте число)
79 (Просте число)
71 (Просте число)
67 (Просте число)
61 (Просте число)
47 (Просте число)
41 (Просте число)
37 (Просте число)

В таблиці 4.10 розраховані на основі розробленої програми набори модулів для процесорів різної розрядності (Додаток В).

Таблиця 4.10 – Набори взаємопростих модулів та їх характеристики для процесорів різної розрядності

16 бітний процесор:

Модулі	p_i	m_i	B_i	$P,$
4 бітні:	16	7	105105	240240
	15	11	176176	
	13	2	36960	
	11	9	196560	
	7	6	205920	
5 бітні:				
1)	29	28	63308	65569
	19	8	27608	
	17	8	30856	
	7	1	9367	
2)	27	1	2431	65637
	17	9	34749	
	13	8	40392	
	11	9	53703	
3)	29	9	20475	65975
	25	9	23751	
	13	8	40600	
	7	5	47125	
4)	32	31	64449	66528
	27	4	9856	
	11	5	30240	
	7	3	28512	
5)	32	5	10465	66976

Продовження таблиці 4.10

	23	5	14560	
	13	10	51520	
	7	6	57408	
6 бітні:				
1)	63	46	48070	65835
	55	38	45486	
	19	11	38115	
2)	61	43	46483	65941
	47	20	28060	
	23	20	57340	
3)	53	36	44892	66091
	43	39	59943	
	29	12	27348	
4)	53	37	64343	92167
	47	18	35298	
	37	34	84694	

32 бітний процесор:

Модулі	P_i	m_i	B_i	P
5 бітні:				
1)	32	1	137894913	4412637216
	31	16	2277490176	
	29	25	3803997600	
	27	17	2778327136	
	23	14	2685953088	
	19	14	3251416896	
	13	8	2715469056	
2)	31	1	145422675	4508102925
	29	4	621807300	

Продовження таблиці 4.10

	27	8	1335734200	
	25	3	540972351	
	23	13	2548058175	
	19	15	3559028625	
	17	1	265182525	
3)	32	21	5568833025	8485840800
	31	17	4653525600	
	29	13	3803997600	
	27	11	3457194400	
	25	18	6109805376	
	23	22	8116891200	
	19	5	2233116000	
6 бітні:				
1)	64	15	1006745025	4295445440
	59	16	1164866560	
	55	27	2108673216	
	43	36	3596186880	
	37	9	1044838080	
	13	12	3965026560	
2)	59	44	3277649716	4395030301
	47	17	1589691811	
	43	32	3270720224	
	41	36	3859050996	
	31	18	2551953078	
	29	20	3031055380	
3)	59	6	436916418	4296344777
	53	45	3647839905	
	47	15	1371173865	

Продовження таблиці 4.10

	41	4	419155588	
	31	25	3464794175	
	23	19	3549154381	
7 бітні:				
1)	125	59	2027274751	4295073625
	107	11	441549625	
	83	75	3881090625	
	73	67	3942053875	
	53			
2)	119	54	1951010118	4299448223
	89	78	3768055746	
	83	13	673407553	
	73	44	2591448244	
	67	61	3914423009	
3)	101	57	2428247253	4302683729
	89	73	3529167553	
	83	21	1088630823	
	79	73	3975897623	
	73	32	1886107936	
4)	128	83	2785025409	4294978944
	123	70	2444296960	
	101	45	1913604480	
	73	68	4000802304	
	37	15	1741207680	

64 бітний процесор:

Модулі	p_i ,	m	B	ПР,
6 бітні:				
1)	53	1	349152177107071296	18505065386674778688

Продовження таблиці 4.10

	47	40	15748991818446620160	
	43	25	10758758945741150400	
	41	20	9026861164231599360	
	31	12	7163251117422494976	
	29	19	12124008356786923968	
	19	3	2921852429474965056	
	17	6	6531199548238157184	
	53	1	349152177107071296	
	47	40	15748991818446620160	
	43	25	10758758945741150400	
	41	20	9026861164231599360	
7 бітні:				
1)	113	91	45624703079436213187	56654851076662550441
	109	83	43140849902412767767	
	107	97	51360005181647358811	
	103	95	52254474294009148465	
	101	52	29168834217687649732	
	97	49	28619460853159432697	
	89	69	43923423868423775061	
	83	35	23890599851604689945	
	79	49	35140350667803354071	
	73	56	43461255620453463352	
2)	128	103	393110229925203338625	488525334275980848000
	127	31	119246341437444144000	
	125	114	445535104859694533376	
	123	110	436892575368763360000	
	121	7	28261796197784016000	
	119	30	123157647296465760000	

Продовження таблиці 4.10

	113	19	82141427887111824000	
	109	27	121010862618820944000	
	107	49	223717209154421136000	
	103	99	469553476634195184000	
8бітні:				
1)	179	44	13135832020200000892	53438952991268185447
	173	28	8649079096852654292	
	167	44	14079724141411977004	
	163	11	3606309711067178159	
	157	127	43227688088478086317	
	151	27	9555309475259874219	
	149	63	22594993546643595189	
	137	58	22623790317471202598	
	131	56	22844132576419987672	
2)	181	72	241165613757449117016	606263556806920696943
	191	114	361853641235544290322	
	193	49	153921835666005772799	
	197	107	329290358265687891233	
	199	185	563611849292865974545	
	211	123	353414300887446662199	
	217	165	460983810475308364035	
	223	74	201181628716197899434	
	227	137	365894745738097513133	

4.6 Розробка структури спецпроцесора визначення залишку багаторозрядного числа, його системні характеристики та мікроелектронна реалізація

Спецпроцесор визначення залишку багаторозрядних чисел належить до пристроїв опрацювання та перетворення даних і може бути використаний в

системах передавання інформації, а також захисту даних від помилок та несанкціонованого доступу.

У праці [105] показано існуючий пристрій обчислення залишку на основі згортки по непарному модулю $P = 2^n - 1$, який складається з n -розрядного регістру і логічних схем.

Основним недоліком даного пристрою є значна апаратна складність та певні функціональні обмеження, що унеможливує його використання для знаходження операції обчислення залишку великорозрядних двійкових чисел в діапазоні $2^{10} \dots 2^{30}$. Крім того, з використанням даного пристрою неможливе знаходження залишку по довільному цілочисельному великорозрядному модулю P .

Одним з аналогів пристрою пошуку залишку є апаратний комплекс на основі згортки унітарного коду числа, з використанням лічильника і логічних схем [106].

До недоліків розглянутого пристрою належить низька швидкодія, яка обмежує при роботі з числами великої розрядності.

Наближеним за своєю суттю та технічними характеристиками до розробленого спецпроцесора визначення залишків великорозрядних чисел є пристрій, який складається з лічильника, n -розрядного регістра зсуву і k -розрядного суматора зі зворотнім зв'язком, шини запису двійкового коду числа на основі згортки по непарному модулю [105].

Даний пристрій характеризується великою апаратною складністю, в склад якого входить багаторозрядний двійковий суматор з розрядністю вхідного двійкового коду k , великорозрядного модуля P . Слід зазначити, що використання його можливе тільки для знаходження залишку по непарному модулю.

З врахування недоліків існуючих пристроїв були поставлені задачі:

1. Розробити спеціалізований процесор пошуку залишків великорозрядних чисел з меншою апаратною складністю;
2. Розширити функціональні можливості пристрою отримання залишку великорозрядного двійкового числа по будь-якому цілочисельному багаторозрядному модулю p .

Поставлені задачі можна вирішувати з використанням запропонованого пристрою, в основу якого входять:

- 1) n -розрядний регістр зсуву, вхід якого підключений до шини запису кодового представлення числа;
- 2) шина запису в базисі Радемахера модуля P , підключена до першого входу регістра зсуву з $k+1$ -розрядами. Крім того, другий вхід з'єднується з першим входом блоку управління (БУ), другий і третій виходи БУ з'єднані з першим входом третього і четвертого $k+1$ -розрядного регістру зсуву, виходи яких відповідно підключені до першого і другого входів мультиплексора, третій вхід якого з'єднаний з четвертим виходом БУ, а вихід підключений до першого входу накопичувального суматора, другий вхід якого підключений до виходу другого $k+1$ -розрядного регістру зсуву, а вихід з'єднаний з другим входом БУ і додатково введеною вихідною шиною кодового представлення залишку.

Функціональна схема розробленого спецпроцесора зображена на рис.4.20 [111], де:

- 1 – регістр зсуву з розрядністю n біт (№1);
- 2 – шина даних двійкового числа Y ;
- 3 – шина даних представлення модуля P в базисі Радемахера;
- 4 – блок управління;
- 5 – регістр зсуву з розрядністю $k+1$ -біт (№2);
- 6 – регістр зсуву з розрядністю $k+1$ -біт (№3);
- 7 – регістр зсуву з розрядністю $k+1$ -біт (№4);
- 8 – однорозрядний накопичувальний суматор;
- 9 – мультиплексор;
- 10 – вихідна шина кодового представлення залишку b_i .

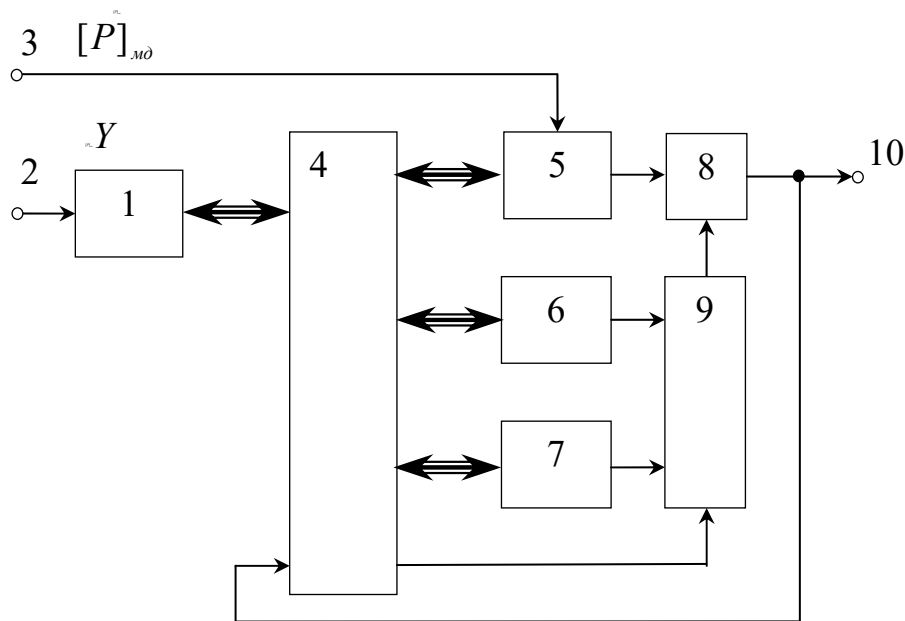


Рисунок 4.20 - Функціональна схема спецпроцесора обчислення залишку великорозрядних чисел

Робота спецпроцесора починається з циклу визначення залишку числа Y у першому n -розрядному регістрі зсуву і другому $k+1$ -розрядному регістрі зсуву, на основі адресних сигналів БУ записується код числа Y в базисі Радемахера та $[P]_{m0}$, а в третій і четвертій $k+1$ -розрядні регістри зсуву записуються нулі.

Після кожного наступного циклу роботи пристрою на четвертому виході БУ формується сигнал «1», що здійснює зсув на один розряд в бік старших розрядів коду залишку b_{i-1} у регістрі №3 та здійснюється запис старшого біта числа Y a_i у молодший розряд регістра №3. В результаті чого отримуємо значення $2b_{i-1} + a_i$.

В кожному циклі роботи спецпроцесора паралельно через мультиплексор на входи однорозрядного накопичувального суматора, по одному розряду зчитується код $[P]_{m0}$ розрядністю $k+1$ та код відповідного регістра №3 або №4. Крім цього, паралельно записується новий залишок b_i у відповідний регістр №4 або №3, згідно адресних входів БУ.

У результаті чого отримана за $k+1$ тактів у однорозрядному накопичувальному суматорі по кожному розряду отримується сума кодів, яка припиняється формуванням на виході суматора останнього біта «0» або «1», при чому отримане

значення подається на другий вхід БУ. Крім того, якщо біт є «1», то текучий залишок b_i у регістрі №3 задовільняє нерівність $b_i < P$ і відбувається зсув на один розряд в бік старших розрядів в регістрі №3, а в молодший розряд записується наступний молодший біт числа Y . Якщо на виході суматора сигнал «0», тоді $b_i \geq P$ і на вхід мультиплексора надходить сигнал «0», який поступає на четвертий вихід БУ, після чого запускається новий цикл сумування у суматорі кодів $[P]_{10}$ регістрів №2 та №4. Після чого здійснюється запис інформації у регістр №3 до виникнення «0» біта в кінці $k+1$ такту на виході суматора. У результаті чого запускається попередній цикл.

Завершення роботи спецпроцесора здійснюється після зчитування останнього молодшого біта числа Y a_1 в одному з регістрів №3 або №4 і відповідно отримується b_1 в базисі Радемахера, який зчитується через мультиплексор і суматор на вихідну шину, при цьому на виході регістра №2 формується сигнал «0».

На рис.4.21 представлена структурна схема спецпроцесора обчислення залишку великорозрядних чисел.

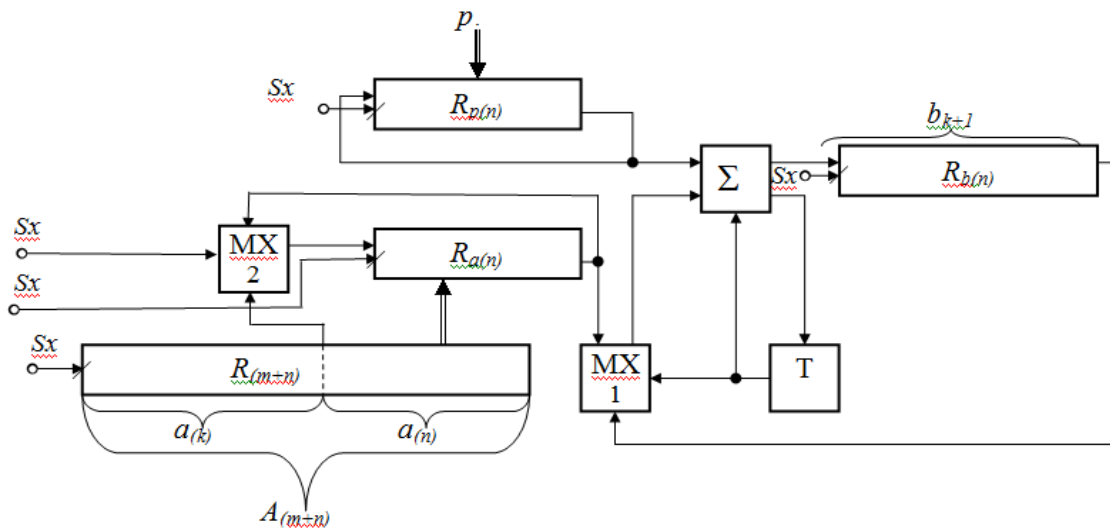


Рисунок 4.21 - Структурна схема спецпроцесора обчислення залишку великорозрядних чисел

Роботу такого спецпроцесора можна описати наступним чином:

1. В першому такті в регістр $R_{(m+n)}$ записується прямий код великорозрядного числа A , в регістр $R_{a(n)}$ записується n -розрядний фрагмент старших бітів числа A

початкового n -розрядного залишку a , в регістр $R_{p(n)}$ записується доповнюючий код мантиси модуля P , а регістр R_b і тригер T скидаються в нульовий стан.

2. За n тактів синхронізації виконується побітне сумування через мультиплексор $MX(1)$ в залежності від стану тригера T кодів регістрів $R_{a(n)}$ та $R_{p(n)}$ в суматорі Σ в результаті чого в регістр R_b заноситься результат операції сумування кодів $a_i + p^*$ і одночасно через мультиплексор $MX(2)$ код регістра $R_{a(n)}$ реверсується.

3. Після завершення n тактів циклу 2 переключується мультиплексор 2, зсувається на один розряд інформація в регістрах a і p , в результаті чого в молодший розряд регістра $R_{a(n)}$ записується старший біт $a_{(k)}$ компонента, а його попередній код подвоюється.

4. Цикли 2 і 3 повторюються до завершення розрядності числа A і в регістрі R_b формується кінцевий залишок b .

5. Виконується сумування p і a , при цьому в регістр R_{b+1} записуються нові залишки або його доповнення, а в регістр R_a подвоєння значення a .

6. У залежності від знакового тригера з p сумується з $2a$ або b_{k+1} (значення регістру R_b), після цього цикл повторюється m раз.

Розроблений спецпроцесор складається з двох регістрів на основі флеш-пам'яті, двох цифрових компараторів, суматора, регістра зсуву та блоку управління (табл.4.11).

Таблиця 4.11 - Характеристика спецпроцесора обчислення залишків

Компоненти	Кількість, шт.	Коефіцієнт апаратної складності C_A , експлуат. один.	Кбіт
Флеш-пам'ять	2	10	1
Цифровий компаратор	2	1	0,01
Суматор	1	2	0,01
Блок управління	1	5	0,1
Регістр зсуву	1	3	0,03

Виходячи з вищенаведених характеристик пристроїв обчислення залишків по модулю, у (4.3)-(4.5) наведено аналітичні вирази швидкодії розглянутих пристроїв (рис. 4.21):

$$S = 1/(2(n-1)), \quad (4.3)$$

де $S(n)$ - кількість залишків з розрядністю n процесор обчислює в унітарному коді за 1 с.

$$S1 = p/2^n, \quad (4.4)$$

де $S1(n)$ - кількість залишків з розрядністю n процесор обчислює в двійковому коді базису Радемахера за 1 секунду, p - модуль.

$$S2 = 4^{20-n}, \quad (4.5)$$

де $S2(n)$ – кількість залишків з розрядністю n процесор шукає в базисі Крестенсона за 1 секунду, $i = 5 \dots 9$.

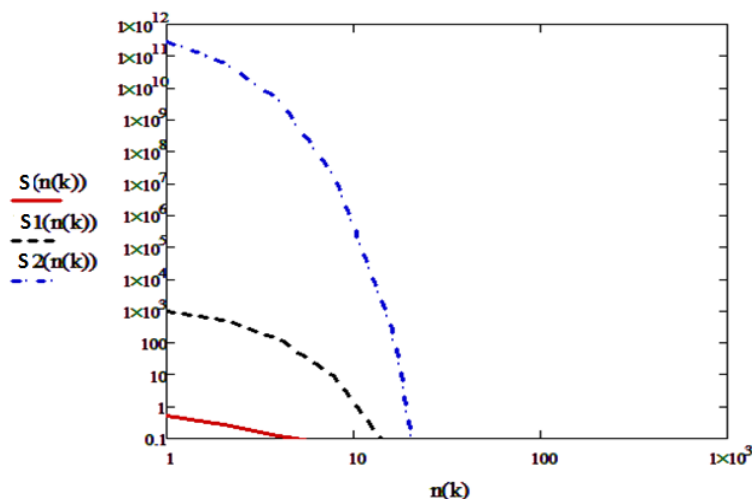


Рисунок 4.21 - Швидкодія пристроїв обчислення залишків по модулю

З результатів дослідження видно, що запропонований спецпроцесор дозволяє знаходити найбільшу кількість залишків за 1 с в порівнянні з відомими аналогами.

При дослідженні апаратної складності запропонованого спецпроцесора слід врахувати дані табл. 4.11. Тоді апаратна складність буде обчислюватися згідно наступного співвідношення:

$$P(n) = F(\Phi + ЦК + \Sigma + PЗ + БУ), \quad (4.6)$$

де Φ - апаратна складність флеш-пам'яті;

ЦК - апаратна складність цифрового компаратора;

Σ - апаратна складність суматора;

РЗ – апаратна складність регістру зсуву;

БУ – апаратна складність блоку управління.

Оскільки $ЦК + \Sigma + PЗ + БУ = C_A = \text{const}$, тоді загальна апаратна складність з врахуванням коефіцієнту апаратної складності флеш-пам'яті буде:

$$P(n) = F \cdot \log_2 n + C_A, \quad (4.7)$$

де n - розрядність числа.

На рис. 4.22 подано результати дослідження при використанні елементної бази різних виробників.

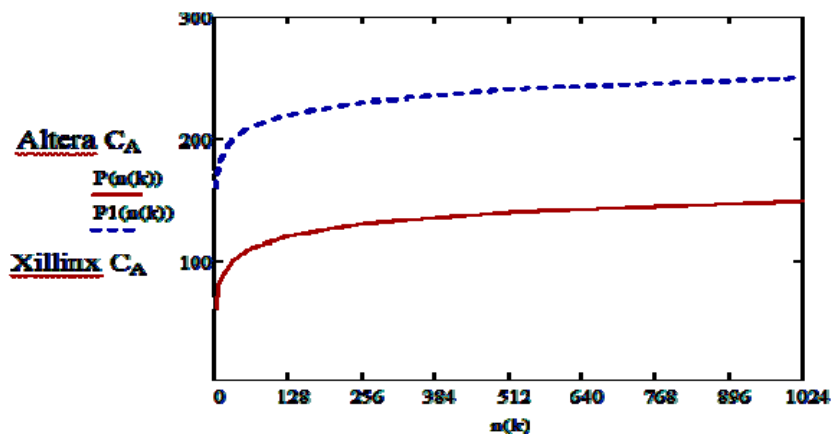


Рисунок 4.22 - Апаратна складність запропонованого методу при використанні елементної бази різних виробників.

Результати проведеного експерименту показали, що використання елементної бази фірми Xilinx при проектуванні спецпроцесора обчислення залишків по модулю дозволяє зменшити апаратну складність на 20% в порівнянні з елементною базою фірми Altera. Завдяки наявності в платформі PCI, що дозволяє імплементувати її в існуючі обчислювальні системи, як окремий елемент. Перевагою даної платформи є сумісне використання ПЛІС XilinxSpartanIII та AlteraCyclone в яких доступ до оперативної пам'яті SRAM розміром 16Мб спільний, що дає можливість провести аналіз системних характеристик спецпроцесора на різних кристалах.

ВИСНОВКИ ДО РОЗДІЛУ 4

1. Розроблені та досліджені системні та схемо-технічні характеристики компонентів спецпроцесорів у базисі Крестенсона, що дозволило оптимізувати часову та апаратну складність базових вузлів великорозрядних спецпроцесорів.

2. Встановлено функціональні переваги апаратної та часової складності модульних матриць сумування, множення та шифрування даних у базисі Крестенсона по відношенню до базису Радемахера, що дозволяє ефективно використати досліджувані компоненти при побудові високопродуктивних спецпроцесорів опрацювання великорозрядних чисел у базисі Крестенсона.

3. Розроблені алгоритми міжбазисного перетворення Радемахера-Крестенсона на основі комутованих рандомізаторів шляхом глибокого розпаралелення процесів опрацювання бітів великорозрядних чисел базису Радемахера, що дозволило досягнути максимальної швидкодії перетворення та отримати всі коди залишків n , k -розрядного перетворення Радемахера-Крестенсона з глибоким розпаралеленням.

4. Розроблений новий алгоритм та структура спецпроцесора міжбазисного перетворення Крестенсона-Радемахера шляхом застосування досконалої нормалізованої форми СЗК та матричної структури спецпроцесора на суматорах з наскрізним переносом, що дозволило за рахунок розпаралелення операцій сумування виконати міжбазисне перетворення з часовою складністю $(kn/2) v$.

5. Розроблено програмне забезпечення та розраховані таблиці систем взаємно простих модулів для процесорів з різною розрядністю та різною розрядністю кодів модулів, що дозволило оптимізувати характеристики перетворень системи залишкових класів у великорозрядних спецпроцесорів базису Крестенсона та на мові VHDL.

6. Результати чисельного експерименту показали, що використання елементної бази фірми Xilinx при проектуванні спецпроцесора обчислення залишків по заданому модулю дозволяє зменшити апаратну складність на 20% порівняно з елементною базою фірми Altera. Платформа оснащена модулем інтерфейсу PCI, що

дозволяє імплементувати її в існуючі обчислювальні системи як окремий елемент. Особливістю даної платформи є сумісне використання ПЛІС XilinxSpartanIII та AlteraCyclone, які мають доступ до спільної оперативної пам'яті SRAM розміром 16Мб, що дозволяє провести дослідження та аналіз системних характеристик спецпроцесора на різних кристалах.

ЗАГАЛЬНІ ВИСНОВКИ ПО РОБОТІ

1. Виконана систематизація процесорів цифрового опрацювання даних на основі різних архітектур та використання різних теоретико-числових базисів, що дозволило обґрунтувати перспективу розробки та реалізації високопродуктивних спецпроцесорів опрацювання великорозрядних чисел у системі числення залишкових класів базису Крестенсона.

2. Виконаний аналіз характеристик арифметико-логічних операцій у базисах Радемахера та Крестенсона, здійснено порівняння функціональних можливостей процесорів та побудовані діаграми часових затрат виконання базових операцій, що дозволило встановити основні переваги процесорів Крестенсона при вирішенні задач шифрування інформаційних потоків у сучасних комп'ютерних системах та сформулювати завдання і постановку задачі дисертаційного дослідження.

3. Викладені теоретичні засади прямого та зворотнього перетворення цілочисельної системи залишкових класів базису Крестенсона. Поданий приклад розрахунку базисних чисел V_i та виконання арифметико-логічних операцій у базисах Радемахера та Крестенсона, в результаті чого встановлено, що операції сумування та множення в базисі Крестенсона можуть виконуватись за один такт роботи процесора, а при зростанні розрядності опрацьовуваних чисел більше 128 біт швидкодія процесорів базису Крестенсона перевищує відповідні характеристики процесорів базису Радемахера на 2-3 порядки.

4. Розроблено алгоритм операції ділення на основі бінарно-розмежованої СЗК та отримано аналітичну матрицю цієї операції у базисі Крестенсона, що дозволило замінити операцію ділення операцією множення в розширеній СЗК та доповнюючими кодами залишків і виконувати її за обмежене число тактів процесора з підвищенням швидкодії виконання операції ділення на 2-3 порядки.

5. Розроблені принципи та теоретичні основи розмежування розрядної сітки у базисі Радемахера-Крестенсона, у результаті чого отримані аналітичні вирази прямого та зворотнього перетворень розмежованої системи. Показано, що при

бінарному розмежуванні базису Радемахера формуються матриці степеневих залишків двійкових чисел, які дозволяють зменшити на 2-3 порядки алгоритмічну та часову складність міжбазисних перетворень, а також операцій додавання, множення та піднесення до степеня великорозрядних двійкових чисел.

6. Отримані аналітичні вирази та досліджена часова складність алгоритмів міжбазисних перетворень Радемахера-Крестенсона та Крестенсона-Радемахера. Розрахована та побудована діаграма алгоритмічної складності досліджених міжбазисних перетворень.

7. Розроблені теоретичні засади та алгоритми виконання міжбазисних перетворень на основі матричних суматорів у розмежованій СЗК пірамідального та лінійного типу, в результаті встановлено, що в бінарно-розмежованій СЗК підвищується ефективність реалізації міжбазисного перетворення Радемахера – Крестенсона за схемотехнічними варіантами на основі пірамідально та лінійно з'єднаних суматорів по модулю P , при чому, об'єм обладнання пірамідальної структури в два рази перевищує об'єм лінійної структури при заданій розрядності процесора. Швидкодія пірамідального МБП із збільшенням розрядності процесора від 8 до 128 зростає відповідно від 1,6 до 13,8 разів.

8. Запропоновані рекурентні алгоритми та високопродуктивні спецпроцесори опрацювання великорозрядних чисел у базисі Радемахера-Крестенсона шляхом використання однорозрядного двійкового суматора та ПЗП в якості обчислювача поточних сум залишків по модулю, що дозволило зменшити на порядок апаратну складність та підвищити на 2 порядки швидкодію спецпроцесорів даного класу.

9. Розроблені та досліджені системні та схемотехнічні характеристики компонентів спецпроцесорів у базисі Крестенсона. Встановлено функціональні переваги апаратної та часової складності модульних матриць сумування, множення та шифрування даних у базисі Крестенсона по відношенню до базису Радемахера.

10. Розроблено високопродуктивний спецпроцесор міжбазисного перетворення Радемахера-Крестенсона, що, у порівнянні з відомими аналогами, шляхом мультиплексування та рандомізації розмежованих залишків дозволило досягнути максимальної швидкодії визначення кодів залишків, у системі

взаємопростих модулів, з часовою складністю перемикання двох послідовно з'єднаних логічних вентилів, незалежно від розрядності перетворюваного двійкового числа.

СПИСОК ВИКОРИСТАНИХ ДЖЕРЕЛ

1. Трахтман А.М. Основы теорий дискретных сигналов на конечных интервалах /А.М. Трахман, В.А. Трахман – М.: Сов. радио, - 1978.
2. Залмазон Л.А. Преобразование Фурье, Уолша, Хаара и их применение в управлении, связи и других областях/Л.А. Залмазон –М.: Наука, 1989. – 496 с.
3. Бекчанова Ш.Б. Алгоритмы и структуры на основе быстрых преобразований Хаара / Ш.Б. Бекчанова, Х.Н. Зайниддинов // Техника юлдузлари. – Ташкент, –2002. –№4, С.45-54.
4. Задірака В.К. Комп'ютерна арифметика багаторозрядних чисел: Наукове видання / В.К. Задірака, О.С. Олексюк //– Київ. –2003. – 264 с.
5. Николайчук Я.М. Теорія цифрових перетворень мультибазисного супершвидкодуючого процесора /Я.М. Николайчук// Искусственный интеллект. – 2008. – №4. – С. 387-394.
6. Палагин А.В. Реконфигурируемые структуры на ПЛИС / А.В. Палагин, В.Н. Опанасенко, В.Г. Сахарин // УсиМ. – 2000. – № 3. – С. 33-43.
7. Мельник А.О. Програмовані процесори обробки сигналів. – Львів: Вид-тво Національного університету "Львівська політехніка", –2000. –55 с
8. Задірака В.К. Комп'ютерна криптологія: Підручник /В.К. Задірака, О.С. Олексюк // – Київ: – 504 с.
9. Майоров С.А. Принципы организации цифровых машин / С.А. Майоров, Г.И. Новиков// – Л.: Машиностроение, –1974. – 306 с.
10. Корнейчук В.И. Основы компьютерной арифметики / В.И. Корнейчук, В.П. Тарасенко // – К.: Вища школа. –2003. - С. 34-56.
11. Мельник А.О. Спеціалізовані комп'ютерні системи реального часу /А.О. Мельник// – Львів: Державний університет “Львівська політехніка”, 1996. – 54 с.
12. Самофалов К.Г. Цифровые ЭВМ / К.Г. Самофалов, В.И. Корнейчук, В.П. Тарасенко// – СПб.: Вища школа – К. – 2000. – 528с.
13. Стешенко В.Б. ПЛИС фирмы «Altera»/ В.Б.Стешенко//. – М.: «Додатка» –2002. – 575с.

14. Зотов В.Ю. Проектирование встраиваемых микропроцессорных систем на основе ПЛИС фирмы Xilinx / В.Ю. Зотов/ – М.:Телеком. –2006. – 522с.
15. Палагин А.В. Опыт разработки микропроцессорных распределенных систем реального времени./ А.В. Палагин, Я.М. Николайчук// – Киев: Знание, – 1988. – 19 с.
16. Офіційний сайт.Intel microcontrollers [Електронний ресурс] – Режим доступу: URL: [http://www. Intel.com/design/embrocontrol/index.htm](http://www.Intel.com/design/embrocontrol/index.htm).
17. Архітектура системи Motorola Canopy [Електронний ресурс] – Режим доступу URL: <http://rtm.ru/canopy.html>. - Назва з титул. екрану.
18. Зотов В.Ю. Проектирование встраиваемых микропроцессорных систем на основе ПЛИС фирмы XILINX / В.Ю. Зотов / М.:, Горячая Линия. –Телеком, – 2006. –522с.
19. Стешенко В.Б ПЛИС фирмы «Altera» / В.Б. Стешенко // М., «Додека». – 2002. –575с.
20. Тарасов И.Е. Разработка цифровых устройств на основе ПЛИС XILINX с применением языка VHDL. /И.Е. Тарасов// М.: Горячая линия. –Телеком, –2005. – 782с.
21. Stallings W. Computer Organization and Architecture / W. Stallings// 5th ed., New York, NY: Macmillan Publishing Company Stallings –2000.
22. Tanenbaum A., Structured Computer Organization / A. Tanenbaum// 4th ed. Upper Saddle River, NJ: Prentice Hall –1999.
23. Patterson D. Computer Architecture. A Quantitative Approach / D. Patterson, J. Hennessy // Morgan Kaufmann Publishers, Inc –1996.
24. Якименко І.З. Розмежована система числення залишкових класів та спецпроцесори на її основі // І.З. Якименко, О.І. Волинський / Поступ в науку. Збірник наукових праць Буцацького інституту менеджменту і аудиту. - 2010. - №6, Т1. – С.80-83.
25. Акушский И.Я. Машинная арифметика в остаточных классах / И.Я. Акушский, Д.И. Юдицкий – М: Сов.радио, 1968. – 440 с.

26. Брюховин Е.Н. О принципе построения компьютеров, специализированных на вычислении некоторого набора специальных функций в мультипроцессорной вычислительной системе / Е.Н. Брюховин // Автоматика и вычислительная техника, 1983, № 12. — С. 45-51.
27. Торгашев В.А. Система остаточных классов и надежность ЦВМ. — М.:Советское радио, 1970 — 118 с.
28. Николайчук Я.М. Теорія джерел інформації / Я.М. Николайчук — Тернопіль: ТзОВ „Терно–граф”, 2010. — 536 с.
29. Червяков Н.И. Нейрокомпьютеры в остаточных классах / Н.И. Червяков, П.А. Сахнюк, А.В. Шапошников, А.Н. Макоха - М.: Радиотехника, 2003. - 272 с.
30. Синьков М.В. Непозиционные представления в многомерных числовых системах / М.В. Синьков, Н.М. Губарени - Киев: Наукова думка, 1979. - 137 с.
31. Мельник А.О. Архітектура комп'ютера: Наукове видання / А.О. Мельник — Луцьк: Волинська обласна друкарня — 2008. — 470с.
32. Петришин Л.Б. Теоретичні основи перетворення форми та цифрової обробки інформації в базисі Галуа / Л.Б. Петришин// Навч. посібник. - Київ.: ІЗіМН МОУ, — 1997. — 237 с.
33. Николайчук Я.М. Проектування спеціалізованих комп'ютерних систем / Я.М. Николайчук, Н.Я. Возна, І.Р. Пітух - навч. посібник для втузів. - Т.: Тено-граф, 2010. - 392 с.
34. Николайчук Я.М. Коды поля Галуа: теорія та застосування / Я.М. Николайчук // Монографія - Тернопіль: ТзОВ «Тернограф» - 2012. — 576с.
35. Лабунец В.Г. Теоретико-числовые преобразования над полями алгебраических чисел. — В кн.: Применение ортогональных методов при обработке сигналов и анализе систем. — Свердловск: УПИ, 1981, С.44-54.
36. Бекчанов Ш.Б. Синтез быстродействующих спецпроцессоров Хаара на основе матричной диаграммы / Ш.Б. Бекчанов, Х.Н. Зайнидинов — тезис докл. НТК «Молодьож в розвитку науки и техники» - Ташкент, 2002 — 78с.
37. Волинський О. Систематизація характеристик теоретико-числових базисів та їх застосування для побудови високопродуктивних спецпроцесорів/

О. Волинський, В. Пуюл // Вісник Тернопільського національного технічного університету. – 2011. – Том 16, №3. – С.183-189

38. Грибанов Ю.И. Автоматические цифровые корреляторы./ Ю.И. Грибанов, Г.П. Веселова, В.Н. Андреев // – М.: Энергия, 1971. – 240с.

39. Албанський І.Б. Спецпроцесори кореляційної обробки сигналів /Албанський І.Б., Заведюк Т.О. // Праці міжнародного симпозиуму ПИТАННЯ ОПТИМІЗАЦІЇ ОБЧИСЛЕНЬ (ПОО-XXXV) Том 1. К.: - 2009.- С.8-13.

40. Ширмовська Н.Г. Оптимальна дискретизація заданих кореляційною функцією сигналів / Методи та прилади контролю якості.- Івано-Франківськ.- 2009.- №22.- С.107-111.

41. А.С. №1282160. Многоканальное устройство для вычисления структурной функции / Я.М. Николайчук – Бюлетень №1.-1987

42. А.С. №1317455. Многоканальное устройство для вычисления функций эквивалентности / Я.М. Николайчук С.М. Ищеряков – Бюллетень №22.-1987

43. КОЖЕМ'ЯКО В.П. ЕФЕКТИВНІСТЬ ФУНКЦІОНУВАННЯ ОПТИКО-ЕЛЕКТРОННИХ ІНТЕЛЕКТУАЛЬНИХ СТРУКТУР В СИСТЕМАХ АВТОМАТИЗОВАНОГО УПРАВЛІННЯ / В.П. КОЖЕМ'ЯКО, А.А. ЯРОВИЙ // ВЕСТНИК ХЕРСОНСЬКОГО ГОСУДАРСТВЕННОГО ТЕХНИЧЕСКОГО УНИВЕРСИТЕТА. – 2001. - №1(10). - С. 279-281.

44. Календер В. Компьютерная томография / В. Календер // Основы, техника, качество изображений и области клинического использования: фонография. – М.: Техносфера. - 2006. - 344с.

45. Орнатский П.П. Теоретические основы информационно-измерительной техники / 2-е изд., перераб., и доп / П.П. Орнатский – К.: Вища школа. – 1983. – 455с.

46. Explore Zilog's Products. - [Електронний ресурс]. - Режим доступу: <http://www.zilog.com/products>.

47. Padovani R. Reverse Link Performance of IS-95 Based Cellular Systems. IEEE Personal Communications / Third Quarter // Padovani R., 1994. - P. 28 - 34.

48. Advanced Micro Devices, AMD - Processor Homepage [Електронний ресурс]. - Режим доступу: <http://amd.com>.

49. RF Solutions and Wireless Communications Technology: RFMD [Електронний ресурс]. - Режим доступу: <http://www.rfmd.com>.

50. Шевчук Б. М. Технологія багатофункціональної обробки і передачі інформації в моніторингових мережах. / Б.М. Шевчук, В.К. Задирака, Л.О. Гнатів, С.В. Фраєр // НАН України, Ін-т кібернетики ім. В. М. Глушкова. – К. : Наук. Думка, 2010. – 371 с.

51. Задирака В.К. Методи захисту фінансової інформації: Навчальний посібник / В.К. Задирака. Олексюк О С. - Тернопіль: "Збруч", 2000. - 460с.

52. Пат. АС №1462477 СССР, МКИ Н03 М1/38. “Аналого-цифровой преобразователь”/ Я.Н. Николайчук – Оpubл. 28.02.89, Бюл. №8.

53. Пат. АС 13726221 СССР, МКИ Н03 М1/38. “Аналого-цифровой преобразователь”/Я.Н. Николайчук. – Оpubл. 07.02.88, Бюл. №5.

54. Николайчук Я.М. Дослідження системних характеристик двомірних кодів з особливими кореляційними властивостями/ Я.М. Николайчук, О.М. Заставний //Вісник технологічного університету Поділля –Хмельницький, 2004. – №2. – ч.1, Т2.

55. Николайчук Я.М. Методы цифровой обработки шумоподобных сигналов на основе кодовых ключем / Я.М. Николайчук, Б.М. Шевчук – Киев, Сб. тр. ИКАН УССР, 1988.

56. Заставний О.М Теорія та принципи побудови спецпроцесора на основі базисів Радемахера, Крестенсона, Галуа. / О.М. Заставний, Я.М. Николайчук, Н.Д. Круцкевич, Р.І. Король // Тези доповідей сьомої міжнародної науково - технічної конференції – Вінниця: «УНШЕРСУМ - Вінниця», 2003 - 114с.

57. Пилипенко І.А. Дослідження методів стиснення інформації. / І.А. Пилипенко // Науковий вісник інституту менеджменту та економіки «Галицька академія» – 2006. – №2(10). – С. 78-82.

58. Яцків Н.Г. Методи стиснення в багатоканальних систем на основі кодів Галуа / Н.Г. Яцків, Я.М. Николайчук // Вісник національного університету

«Львівська політехніка». Радіоелектроніка та телекомунікації. – 2002. - №443. – С. 135-138.

59. Куприянов М., Мартынов О., Панфилов Д. Коммуникационные контроллеры фирмы Motorola. - СПб.: БХВ.-Петербург, 2001.- 560 с.

60. Бекчанова Ш.Б., Зайнидинов Х.Н. Принципы построения высокопроизводительных вычислительных структур// Тезисы докладов НТК Мафкуравий жараёнлар ва Узбекистонда фанлар ривожининг долзарб муаммолари Андижон. - 2002. – С. 441.

61. Садыхов Р.Х., Чеголин П.М., Шмерко В.П. Методы и средства обработки сигналов в дискретных базисах. – Мн.: Наука и техника, 1987. - 296 с.

62. ADSP-21000 Family Application Handbook, Vol. 1, Analog Devices, Free Download at: <http://www.analog.com>.

63. DSP Designer's Reference (DSP Solutions) CDROM // Analog Devices, 1999.

64. General DSP Training and Workshops: http://www.analog.com/industry/dsp/tech_docs.html.

65. Яцків Н.Г., Спецпроцесори обробки даних на основі перетворення Крестенсона – Галуа. / Н.Г. Яцків, Р.І. Король, В.В. Яцків, Т.Г. Федчишин // Вісник Технологічного університету Поділля. – 2003. -ТІ, №3. – С. 105-108

66. Круцкевич Н.Д. Принципи побудови RCG процесора. / Н.Д. Круцкевич, Я.М. Николайчук // Тези міжнар. науково - технічної конф. “Контроль і управління в складних системах” (КУСС - 2003) – Вінниця: «УНІВЕРСУМ – Вінниця». – 2003. – С. 73.

67. Волинський О.І. Оптимізація обчислень на основі алгоритмів міжбазисних перетворень Радемахера, Крестенсона та Галуа / О.І. Волинський, О.Д. Круцкевич, П.В. Гуменний // Праці міжнародної молодіжної математичної школи “Питання оптимізації обчислень (ПОО-XXXVII)” Київ: Інститут кібернетики імені В.М. Глушкова НАН України, 2011. С. 32-33.

68. Волинський О.І. Розмежована система числення залишкових класів та спецпроцеси на її основі. / О.І. Волинський, І.З. Якименко // Поступ в науку. Збірник

праць Буцацького інституту менеджменту і аудиту – Бучач. – 2010. - №6. Т1. – С. 80-83.

69. L. L. Yang and L. Hanzo, A residue number system based parallel communication scheme using orthogonal signaling: Part II—Multipath fading channels // IEEE Trans. Veh. Technol. – 2002. - Vol. 51. – P. 1541-1553.

70. L.-L. Yang and L. Hanzo, Minimum-distance decoding of redundant residue number system codes // Proc. IEEE ICC '2001. – Helsinki (Finland) – 2001. - P. 2975-2979.

71. L.-L. Yang and L. Hanzo, Performance analysis of coded M-array orthogonal signaling using errors-and-erasures decoding over frequency-selective fading channels // IEEE J. Select. Areas Community. – 2001.- Vol. 19. - P. 211-221.

72. Lakhani G. Some Fast Residual Arithmetic Adders, // International Journal of Electronics, 1994. pp. 225-240.

73. Lenstra H. W., Divisors in residue classes // Math. Comput.- 1984. -Vol. 42. - N 165. - P.331-340.

74. Montgomery P., Modular multiplication without trial division, Math. of Comput. – 1985. Vol. 44. - N 170. - P. 519-521.

75. Шауман А. М. Основы машинной арифметики. - Л.: Изд-во Ленинградского ун-та, 1979. -457с.

76. Широчин В.П., Мухин В.Е., Ху Чженбин. Машина состояний в задачах аутентификации пользователей в компьютерных сетях // Управляющие системы и машины. - 2003. -№ 5. - С. 59-65.

77. Заставний О.М. Аналіз системних характеристик спецпроцесорів формування вихідних даних аналого-цифрових кодерів // Вісник Технологічного університету Поділля, Хмельницький, 2005, №4, ч.1, Т2. С. 223-226.

78. Николайчук Я.М. Теоретичні основи побудови та структура спецпроцесорів в базисі Крестенсона / Я.М. Николайчук, О.І Волинський, С.В.Кулина // Вісник Хмельницького національного університету. – 2007. - №3. – Т1. – С. 85-90.

79. Николайчук Я.М., Кусик Я.Б. Коды поля Галуа та їх застосування в перетворювачах форм інформації// Тезисы докладов 7-го симпозиума Проблемы создания преобразователей формы информации - Киев: ИКАН Украины. - 1992.
80. Петришин Л.Б. Николайчук Я.Н., Ищеряков С.М., Цифровая обработка сигналов на основе преобразования кодов поля Галуа // Методы и микроэлектронные средства цифровой обработки и преобразования сигналов.- Рига: ИЭВТ АН Латвии. - 1989.- С.130 - 132.
81. Петришин Л.Б. Теоретичні основи перетворення форми та цифрової обробки інформації в базисі Галуа: Навч. посібник. - Київ.: ІЗіМН МОУ, 1997. - 237 с.
82. Столлингс В. Передача данных / В. Столлингс – 4-е изд. – СПб.: Питер, 2004. – 750 с.
83. Бернад С. Цифровая связь. Теоретические основы и практическое применение / С. Бернад – 2-е изд.: Пер. с англ. – М.: Издательский дом «Вильянс», 2003. – 1104с.
84. Таненбаум Э. Компьютерные сети / Э. Таненбаум – 4-е изд. – Питер, 2003. – 992 с.
85. Столлингс В. Современные компьютерные сети / В. Столлингс – СПб.: Питер, 2003. – 783 с.
86. Касянчук М.М. Теорія алгоритмів RSA та Ель-Гамала в розмежованій системі числення Радемахера-Крестенсона / М.М. Касянчук, І.З.Якименко, О.І. Волинський, І.Р. Пітух // Вісник Хмельницького національного університету, Видавництво Хмельницького національного університету. – 2011. – № 3(177). – С.265-272.
87. Николайчук Я.М. Швидкодіючий алгоритм та процесор порівняння чисел у системі залишкових класів / Я.М. Николайчук, О.І Волинський, С.В.Кулина // Науково-теоретичний журнал "Искусственный интеллект". ІПШІ МОН і НАН України "Наука і освіта". – 2008. – №3. – С.348-352.

88. Волинський О.І. Методи порівняння та сумування в розмежованій системі числення // Поступ в науку. Збірник наукових праць Буцацького інституту менеджменту і аудиту. – Бучач. – 2009. - №5. Т1. – С.91-94.

89. Албанський І.Б. Дослідження системних характеристик цифрових пристроїв множення реалізованих в різних теоретико-числових базисах / І.Б. Албанський, О.І. Волинський // Вісник Хмельницького національного університету. – 2012. – №2. – С. 179-186.

90. Николайчук Я.М., Якименко І.З., Воронич А.Р., Волинський О.І. Пристрій визначення залишку багаторозрядного числа // Патент на корисну модель № 68872. МПК G 06 F7/00. Опубл. 10.04.2012. Бюл. № 7

91. Николайчук Я.М., Волинський О.І. Спосіб визначення залишку двійкового числа // Патент на корисну модель № 74576. МПК G 06 F5/00. Опубл. 12.11.2012. Бюл. № 21

92. Романец Ю.В. Защита информации в компьютерных системах и сетях / Под ред. В.Ф.Шаньгина. / Романец Ю.В., Тимофеев П.А., Шаньгин В.П. – М.: Радио и связь, 1999. – 328с.

93. Kinakh Y.I Reliability of Schoof algorithm and its computational complexity. Proceedings of the Xth International Conference “The Experience of Designing and Application of CAD Systems in Microelectronics”. // Kinakh Y.I, Iakymenko I.Z./ – Lviv-Polyana. – 2009. – С. 107.

94. M.Kasyanchuk Matrix Algorithms of Processing of the Information Flow in Computer Systems Based on Theoretical and Numerical Krestenson’s Basis. Proceedings of the X–th International Conference ”Modern Problems of Radio Engineering, Telecommunications and Computer Science” (TCSET–2010). // M.Kasyanchuk, I.Yakymenko, Ya. Nykolaychuk/–L’viv–Slavske.– 2010. – P.241.

95. Николайчук Я.М., Якименко І.З., Воронич А.Р., Волинський О.І. Пристрій визначення залишку багаторозрядного числа. Патент на корисну модель № 68872. МПК G 06 F7/00. Опубл. 10.04.2012. Бюл. № 7.

96. Волинський О.І. Швидкодія міжбазисних перетворювачів Радемахера-Крестенсона./ О.І.Волинський // Збірник матеріалів проблемно-наукової міжгалузевої конференції "Юриспруденція та проблеми інформаційного суспільства"(ЮПС - 2011))” Івано-Франківськ, 2011. С.71-75.

97. Николайчук Я.М., Волинський О.І. Спосіб визначення залишку двійкового числа. Патент на корисну модель № 74576. МПК G 06 F5/00. Опубл. 12.11.2012. Бюл. № 21

98. Волинський О.І. Теорія, алгоритми та спецпроцесори міжбазисних перетворень Радемахера-Крестенсона./ О.І.Волинський // Поступ в науку. Збірник наукових праць Бучацького інституту менеджменту і аудиту . – Бучач. - 2012. - №8. С. 50-54.

99. Montgomery P. L.“Modular multiplication without trial division”/ P. L. Montgomery/ Math. Computation, vol. 44, 1985.-pp.519 – 521

100. Волинський О. І., «Методи міжбазисних перетворень на основі розмежованої системи числення залишкових класів», Вісник національного університету “Львівська політехніка” , “Комп’ютерні системи та мережі”– Львів. – 2010. - № 688. - С.53-59.

101. Червяков Н.И. Преобразователь десятичного кода в код системы остаточных классов// А.С. СССР №374595 Бюллетень №15. – 1973

102. Червяков Н.И. Устройство для преобразования чисел из десятичной системы счисления в систему остаточных классов// А.С. СССР №377767 Бюллетень №18. – 1973

103. Болтков А.П., Червяков Н.И., Хлевнов С.Н. Устройство для преобразования чисел из позиционной системы счисления в систему остаточных классов// А.С. СССР №1008729. Бюллетень №12. – 1983

104. Хетагуров Я.А., Руднев Ю.П. Повышение надежности цифровых устройств методами избыточного кодирования. - М.: Энергия, 1974. – 272с.

105. Новиков Л.Г., Шурыгин И.Т. Счётчики импульсов с коэффициентами счёта, управляемыми с помощью двоичного кода. Журнал «Приборы и системы управления» № 6, 1972. –С.30-31
106. Авт. свідоцтво СРСР №206908, кл. G 06 F 15/34.
107. Авт. свідоцтво СРСР №337784, кл. G 06 F 15/34. Бюлетень № 15. Опубліковано 05.05.1972.
108. Авт. свідоцтво СРСР №840924, кл. G 06 F 15/36. Бюлетень №23. Опубліковано 23.06.1981.
109. Малашевич Б. М. Неизвестные модулярные суперЭВМ// PC WEEK/RE, М., 2005. № 9. С. 44-45. № 10. – С. 52-54.
110. Волинський О.І. Методи високопродуктивних перетворень великорозрядних чисел з базису Радемахера у базис Крестенсона / О.І. Волинський // Вісник національного університету “Львівська політехніка”, “Комп’ютерні системи та мережі”– Львів. – 2012. - С.39-48.
111. Николайчук Я.М., Волинський О.І. Пристрій для перетворення чисел з позиційної системи в систему залишкових класів. Патент на корисну модель № 76623 МПК G06F5/02 Опублікований 10.01.2013 Бюл.№1.
112. Николайчук Я.М., Албанський І.Б., Волинський О.І. Цифровий авто корелятор. Патент на корисну модель № 76622. МПК G 06F 17/15 Опубл. 10.01.2013 Бюл.№1.
113. Николайчук Я.М. Теорія побудови та компоненти швидкодіючих процесорів на основі досконалої та розмежованої форм системи залишкових класів / Я.М. Николайчук, О.І Волинський, С.В.Кулина // Поступ в науку. Збірник праць Бучацького інституту менеджменту і аудиту.– Бучач.– 2008.– №4. - Т1.– С.31-36.
114. Николайчук Я.М. Теорія та техніка високопродуктивних мультибазисних процесорів / Я.М. Николайчук, О.Д.Круцкевич, С.В.Кулина, О.І.Волинський // Праці міжнародного симпозіуму. Питання оптимізації обчислень. (ПОО - XXXV) . - Київ. – 2009.– Т2. – С.165-169

115. Orest Volinskiy. Methods of interbase transformations are on the basis of the delimited scale of notation of remaining classes / Orest Volinskiy // Proceedings of the 4-th International conference “Advanced Computer Systems and Networks: Design and Application” (ACSN-2009). – Lviv. - 2009. – №4. –С.314-317.

116. Orest Volinskiy. An algorithm of calculation of degrees of numbers is in the delimited system of remaining classes(DSRC) /О.І. Волинський// Proceedings of the X-th International conference “Modern Problems of Radio Engineering, Telecommunications and Computer Science” (TCSET-2010). – 2010. – №10. –р.305.

117. Orest Volynskyy. Multibases special processor module and correlations processing of information flows / Orest Volynskyy, Ivan Albanskiy, Petro Humenniy, Ostop Krutskevych, Volodymyr Puyul // Proceedings of the XIth International conference “The experience of designing and application of CAD systems in micro-electronics.– 2011. - №11 – pp.176-177.

118. Волинський О.І. Методи ділення великорозрядних чисел в теоретико-числовому базисі Радемахера-Крестенсона / О.І.Волинський // Поступ в науку. Збірник наукових праць Буцацького інституту менеджменту і аудиту . – Бучач. – 2011. – №7. Т1. –С.37-39.

119. Івасьєв С.В. Метод знаходження залишків велико-розрядних чисел в базисі Радемахера / С.В. Івасьєв, О.І. Волинський // Поступ в науку. Збірник наукових праць Буцацького інституту менеджменту і аудиту . – Бучач. – 2011. – №7. Т1. –С.88-91.

120. Yaroslav Nykolaychuk. Rademacher-Krestenson’s method of between-bases transformations in designing processors / Yaroslav Nykolaychuk, Orest Volynskyy, Andrii Borovyi // Proceedings of the 6th International Conference “Intelligent Data Acquisition and Advanced Computing Systems: Technology and Applications”. –Prague, Czech Republic. – 2011. – pp.310-313.

121. Ivan Albanskiy. Structure and Simulation of Interactive Computer Systems Based on Multibases Switching Processors / Ivan Albanskiy, Petro Humenniy, Orest Volinskiy, Tanya Zavedyuk // Proceedings of the XI-th International conference “Modern

Problems of Radio Engineering, Telecommunications and Computer Science” (TCSET-2012). – Lviv-Slavsk. – 2012. – p.434.

122. Tsanko R.. Theory, Topology and Building Technology of Multibasis Specialized Processor / R. Tsanko, O. Volynskyy, V. Puyul, I. Pituh // Proceedings of the XI-th International conference “Modern Problems of Radio Engineering, Telecommunications and Computer Science” (TCSET-2012). – Lviv-Slavsk. – 2012. – p. 260.

123. Omondi and B. Premkumar, 2007, “Residue Number System- theory and implementation,” Imperial College Press.

124. M. Hosseinzadeh, S. J. Jassbi and k. Navi, 2007, “A Novel Multiple Valued Logic OHRNS Modulo m Adder Circuit,” International Journal of Electronics, Circuits and Systems, Vol. 1, No. 4, pp. 245-249.

125. M. Abdallah and A. Skavantzios, On MultiModuli residue number systems with moduli of forms ra , $rb-1$, $rc+1$ "IEEE TRANSACTIONS ON CIRCUITS AND SYSTEMS-I: REGULAR PAPERS, VOL. 52, NO. 7 , 2005.

126. F. J. Taylor, “Residue arithmetic: A tutorial with examples,” IEEE Comput. Mag., vol. 17, pp. 50–62, May 1984.

127. F.J. Taylor, “Large Moduli Multipliers for Signal Processing,” IEEE Trans. Circuits Syst., vol. CAS-28, pp. 731-736, July 1981.

128. G.A. Jullien, “Implementation of Multiplication, Modulo a Prime Number, with Applications to Number Theoretic Transforms,” IEEE Trans. Comput., vol. C-29, pp. 899-905, Oct. 1980.

129. W. A. Chren, Jr., C. H. Brogdon and D. Andrevska, “Delay Power Product Simulation Results For One-Hot Residue Number System Arithmetic Circuits.”, IEEE, 1997. Pp. 544-547

130. H. Garner, “The Residue Number System,” IEEE Transactions Electronic Computer, Vol. 8, pp.140-147, 1959.

131. N. Szabo and R. Tanaka, Residue arithmetic and its applications to computer technology, (New York, McGraw-Hill, 1967).

132. M. Hosseinzadeh, K. Navi and S. Timarchi, “Design Residue Number System Circuits in Current mode,” 14th Iranian Conference of Electrical Engineering, 2006.

133. M. Hosseinzadeh, K. Navi and S. Timarchi, "New Design of 4-3 Compressor," 11th International CSI Computer Conference of Iran, 2006.
134. K.A. Gbolagade, A Memoryless MRC Technique for RNS-to-Binary Conversion Using The Moduli Set $(2^n, 2^n-1, 2^{n-1}-1)$, International Journal of Soft Computing, Vol. 4(3), 2009, pp. 127-130.
135. H. Siewobr, K. A. Gbolagade (2011): "An Efficient RNS Overflow Detection Algorithm" (in press), Far East Journal of Electronics and Communications.
136. K.A. Gbolagade, S. D. Cotofana, Residue Number System Operands to Decimal Conversion for 3-Moduli Sets, Proceedings of 51st IEEE Midwest Symposium on Circuits and Systems (MWSCAS 08), Knoxville, USA, 2008, pp. 791-794.
137. K.A. Gbolagade, S. D. Cotofana, MRC Technique for RNS to Decimal Conversion Using the Moduli Set $\{2^n + 2, 2^n + 1, 2^n\}$, Proceedings of the 16th Annual Workshop on Circuits, Systems and Signal Processing, Veldhoven, The Netherlands, 2008, pp. 318-321.
138. K. A. Gbolagade, S. D. Cotofana, Residue-to-Decimal Converters for Moduli Sets with Common Factors, Proceedings of 52nd IEEE International Midwest Symposium on Circuits and Systems, (MWSCAS 2009), Cancun, Mexico, 2009, pp. 624-627.
139. Leonel Sousa, Efficient Method for Magnitude Comparison in RNS Based on Two Pairs of Conjugate Moduli. Electrical and Computer Engineering Department, INESC-ID/IST, TU Lisbon.
140. Theodore L. Residue Addition Overflow Detection Processor Boeing Company, Seattle, Wash. Appl. No.: 414276, Sep. 29, 1989.
141. Theodore L. Houk, Seattle, Wash, Method And Apparatus For Pipelined Detection Of Overflow In Residue Arithmetic Multiplication, Boeing Company, Seattle, Wash. Appl. No.: 472,237, Jan. 30, 1990.
142. Mehrin Rouhifar, Mehdi Hosseinzadeh and Mohammad Teshnehlab, "A new approach to Overflow detection in moduli set $(2^n-1, 2^n, 2^{n+1})$, International Journal of Computational Intelligence and Information Security, Vol.2, No. 3, March, 2011, pp. 35-43.

143. Tadeusz Tomczak. Hierarchical residue number systems with small moduli and simple converters. *International Journal of Applied Mathematics and Computer Science*. Volume 21, Issue 1, ,2011, pp. 173–192
144. H. Siewobr, K.A.Gbolagade. Overflow detection in residue number systems addition beforeforward conversion. *International Journal of Computational Intelligence and Information Security*, September 2011 Vol. 2, No. 9,pp.48-54
145. Askari Yadollahpour , Mehdi Hosseinzadeh. New Squaring Schema for Residue Number System. *International Journal of Computer Applications in Technology*, Vol 2 (4), pp. 1127-1130.
146. Seyyed Mohammad Safi, Hadi Toofani, Mahdi Mahmoodi, Misagh Mohammadzadeh. Improved One-hot 2^n -modulo Multiplier in RNS. *Journal of Automation & Systems Engineering* 5-4 (2011). pp 160-164.
147. Ittee Teli. Residue number systems in optical computing. *International Journal of Electronics and Communication Engineering*,vol 2, No 1, 2012, pp. 27-29.
148. Shahram Moharrami and Davar Kheirandish Taleshmekaeil, 2012. The Application of the Residue Number System in Digital Image Processing: Propose a Scheme of Filtering in Spatial Domain. *Research Journal of Applied Sciences*, 7: 286-292.
149. M. Roshanzadeh, S. Saqaeeyan. Error Detection & Correction in Wireless Sensor Networks By Using Residue Number Systems. *International Journal of Computer Network and Information Security*, 2012, 2, 29-35.
150. Hamidreza Mahyar. Reliable and High-Speed KASUMI Block Cipher by Residue Number System Code. *World Applied Sciences Journal* 17 (9): 2012, pp. 1149-1158.
151. A. Omondi, B. Premkumar. *Residue Number Systems: Theory and Implementation*. World Scientific Publishing Co. Pte. Ltd. 2007.p.296.
153. N. Szabo and R. Tanaka, *Residue arithmetic and its applications to computer technology*, New York: McGraw Hill, (1967), p. 236.
154. H. Siewobr, K. A. Gbolagade, “Application of Residue Number System to Advance Encryption StandardAlgorithm”, *International Journal of Computational Intelligence and Information Security*, Vol. 2, No. 7, July, 2011, pp.66-72.

ДОДАТОК А

Лістинг додатку «Інкриментний модуль»

```

-----
-- Company:
-- Engineer:
--
-- Create Date: 13:25:43 08/28/2013
-- Design Name:
-- Module Name: interconnect_matrix - Behavioral
-- Project Name:
-- Target Devices:
-- Tool versions:
-- Description:
--
-- Dependencies:
--
-- Revision:
-- Revision 0.01 - File Created
-- Additional Comments:
--
--
=====

```

```

=====
library IEEE;
use IEEE.STD_LOGIC_1164.ALL;
use IEEE.STD_LOGIC_ARITH.ALL;
use IEEE.STD_LOGIC_UNSIGNED.ALL;
--
=====

```

```

=====
entity interconnect_matrix is
    generic (width : natural := 8);

    port ( data_in_bus : in STD_LOGIC_VECTOR (7 downto 0);
          data1_out_bus : out STD_LOGIC_VECTOR (7 downto 0);
          data2_out_bus : out STD_LOGIC_VECTOR (7 downto 0));
end interconnect_matrix;
--
=====

```

```

=====
architecture Behavioral of interconnect_matrix is

```

```

    signal data2_out_int : std_logic_vector ((width-1) downto 0);
-----

```

```
begin
```

```
  intercom_matrix : for i in 0 to width-1 generate
    lsb : if i=0 generate
      data2_out_int(i) <= data_in_bus(width-1);
    end generate lsb;

    others_bits : if i/=0 generate
      data2_out_int(i) <= data_in_bus(i-1);
    end generate others_bits;
  end generate intercom_matrix;
```

```
-----
  data1_out_bus <= data_in_bus;
  data2_out_bus <= data2_out_int;
```

```
--
```

```
=====  
=====  
=====  
end Behavioral;
```

ДОДАТОК Б

Лістинг додатку «Рандомізатор модулю»

```

-----
-- Company:
-- Engineer:
--
-- Create Date: 09:22:45 09/04/2013
-- Design Name:
-- Module Name: intercross_circuit - Behavioral
-- Project Name:
-- Target Devices:
-- Tool versions:
-- Description:
--
-- Dependencies:
--
-- Revision:
-- Revision 0.01 - File Created
-- Additional Comments:
--
--
=====
library IEEE;
use IEEE.STD_LOGIC_1164.ALL;
use IEEE.STD_LOGIC_ARITH.ALL;
use IEEE.STD_LOGIC_UNSIGNED.ALL;
--
=====
entity intercross_circuit is
    generic (width : natural := 7);

    port ( data_in_bus : in STD_LOGIC_VECTOR ((width-1) downto 0);
          data_out_bus : out STD_LOGIC_VECTOR ((width-1) downto 0));
end intercross_circuit;
--
=====
architecture Behavioral of intercross_circuit is

    signal data_out_int : std_logic_vector ((width-1) downto 0);
-----
begin

```

```

intercross_circuit : for i in 0 to width-1 generate
    lsb : if i = 0 generate
        data_out_int(i) <= data_in_bus(i);
    end generate lsb;

    firsts_bits : if (i>=1 and i<=(width/2)) generate
        data_out_int(2*i) <= data_in_bus(i);
    end generate firsts_bits;

    others_bits : if (i > (width/2) and i <= (width-1)) generate
        data_out_int((2*i)- width) <= data_in_bus(i);
    end generate others_bits;
end generate intercross_circuit;

```

```

-----
data_out_bus <= data_out_int;

```

```

--
=====
=====

```

```

end Behavioral;

```

ДОДАТОК В

Набори модулів та їх параметри для спецпроцесорів різної розрядності

8 Бітний процесор:

Модуль	P_i ,	m_i	B	P ,
3 бітні 1)	8	3	105	280
	7	3	120	
	5	1	56	
4 бітні:	13	12	924	1001
	11	4	364	
	7	5	715	
2)	15	8	616	1155
	11	2	210	
	7	2	330	
5 бітні:				
1)	25	16	176	275
	11	4	100	
2)	27	5	55	297
	11	9	243	
3)	23	16	208	299
	13	4	92	
4)	29	8	88	319
	11	8	232	
5)	19	9	153	323
	17	9	171	

128 бітний процесор:

Модул	p_i ,	m_i	B_i	P ,
7 бітні:				
1)	128	85	2318046817767106855733394121950655130625	3,4907057961669373827514640895257e+39
	127	62	1704124089467323761658195067327503392000	
	125	71	1982720892222820433402831602850593301376	
	123	13	368936384960733219315195391575886192000	
	121	91	2625241549183399188680853158238330672000	
	119	24	704007891663920144420463345786694272000	
	113	95	2934664164919106649215832641636644080000	
	109	105	3362606500894756194393612196332089040000	
	107	70	2283639305903603895257967161371948320000	
	103	79	2677337455312505371236559835655628176000	
	101	56	193544083747869795479289098033107699200	

			0	
	97	79	284294595770296962100376972239721342400 0	
	89	69	270627752736537842033540474356486267200 0	
	83	56	235517499500419871607327697606552742400 0	
	79	26	114883988228278951837389957376794940800 0	
	73	5	239089438093625848133661923940115920000	
	71	13	639143314791129379940408917800478896000	
	67	13	677301124629405760832373629310955248000	
	61	40	228898740732258189032882891116438848000 0	
	59	44	260323822087025838713668508371407571200 0	
8 бітні:				
о	256	31	127638680318388905526267667445294263654 5	1,054048456822824510 1524039634192e+40
	255	124	512556896651098977485874868486201278361 6	
	253	156	649927111716840409422035645428442141184 0	
	251	194	814682871010469940117794298419623995648 0	
	247	2	85348053184034373291692628616939614720	
	241	24	104967481177376714703973838680750629888 0	
	239	36	158768805211806202366052479845570513408 0	
	233	111	502143256254650303119814763688977128064 0	
	229	180	828509704052875160818483464696317744640 0	
	227	192	891529972290670951318332867737829138432 0	
	223	208	983148336408733175388789347045715167232 0	
	217	206	100061742905761220779444800213988974105 60	
	211	183	914174727955340688899952252633717422976 0	
	199	69	365474088044094930655858660683040666752 0	
	197	12	642059973699182442732428810204591416320	
	193	135	737287780679177766168779974412396749440 0	
	191	149	822268167887962575982765395546918492288 0	
9 бітні:				

1)	512	201	9222089851822639020195625817433702331905	2,3491094547926324270349056808587e+40
	511	100	459708308178597343842447295667071257600	
	509	252	11630168617048003371567705924880176814080	
	505	138	6419348609136302473877564038782283355136	
	503	277	12936447693390838614088844405524241610240	
	501	134	6283047244355543816819907409881644170240	
	499	436	20525285015823401566878133804697556695040	
	493	278	13246499562522349182874316009710508866560	
	491	78	3731782840607440515452599655946665210880	
	487	312	15049736137480519861086048715152465039360	
	481	229	11183909878326669974864727669784825674240	
	479	35	1716468286382925572990014589353981094400	
	473	96	4767748576323313171149068612313709854720	
	467	346	17404536859919717767753262646191049415680	
	463	44	2232415032632307274072048595200524871680	
2)	463	33	221205623693816375045403233457674358429	3,1035819324314236862430817300274e+39
	461	375	2524605693409509506163027437657839379625	
	457	91	617999903394441040367878418889476410297	
	449	290	2004540669053703494455442542779370729990	
	443	290	2031690204074746882642197972252680491570	
	439	134	947334803976789917896521530350040211614	
	437	227	1612158120507856239764712935277375545749	
	433	427	3060576178171403958489136024761402360961	
	431	37	266432787702929643598594023227407680113	
	421	230	1695543573537357358280068403577898396970	
	419	369	2733226093239129690271353599952505323969	
	409	299	2268877745224928318304844589922209762009	
	401	264	2043255935565825070244821887100313774616	
	397	392	3064493998773597191454126040732315499384	
	389	356	2840296061556778489209606930307824970876	

256 бітний процесор:

Модуль	p_i	m_i	B_i	P_i
8бітні:				
1)	256	197	1841878278144887096835211553451941682414674074239865723940647835461721103113985	2,3935067979953862781208840491558e+78
	255	56	525632865442124045391252967657749297483761670713699910787561010633606723086336	
	253	237	2242138779149828252627073200197351693494574856689896535039966803899069897637120	
	251	88	839157761846988017827242216437101183518469827178103727808257618000721034864640	
	247	207	2005894361073056516481874486539495132134207619189029047926648926134682683495680	
	241	14	139041888680229908272582475884570612923609155634848005446917072314906342725120	
	239	120	1201760735395173026671573581166103444635617687077048510915971826463565879142400	
	233	218	2239418377523580294550870054574975739356400312306451413295563809098880881082880	
	229	8	83615958008572446397236123987976338651502948242042094354852188216824525506560	
	227	10	105440828105523624586823085865895272858998761825042068321922638224960442406400	
	223	200	2146642868157297110422317532875177303945535330429107579289366715431930083072000	
	217	130	1433898081748388092883478923457405300492651364726724164138219840561558827379200	
	211	168	1905730531105331254617575925394209538270510322729765079395659588316157076592640	
	199	151	1816178525112077025106801464434820235069296763355259786869619231375361348926720	
	197	84	1020581578840672321635300812838015767957049944406041704955543586636317622236160	
	193	129	1599805061872563885376134934409850401621793130840780770295782702145863541443840	
	191	59	739355503045695237744147428796824811204487129383658859180895232328217384894720	
	181	99	1309155651942227853778826082134952744176949820162525083645617375043942553701120	
	179	97	1297039996679064072501261188648686040828097059567375029262801436354974291255040	
	173	171	2365836199174630367391162846275408558709684935122923679798884998831381209762560	
	167	69	98893394647713564784635328977096865795831800278822704267230109291949346952960	
	163	136	1997036346793696526530308163712833658713502929486318241248095513669312133724160	
	157	119	1814186681283127178957867527704094908114734747248319357694328806605641038677760	

	151	69	1093721649415110286028748340342726926351 3 22918189161533858459789746725436696320	
	149	95	1526061381272226150479758286374517824969 3 34428695994767357222612967296604358400	
	139	63	1084826822113016802313781979113790141839 2 38340186997567677565215291481501333760	
	137	115	2009148042112915488933588800386274524076 0 31151418046126674299613768315583225600	
	131	79	1443412496501034473065265953307709868840 0 18928098075886425220359761996651659520	
	127	56	1055404572344422295864326824824614731168 1 82882141680923234866596154092239267840	
	113	40	8472590435381898329631447961613531659820 4 3148116267239259342969099682138982400	
	109	73	1602990791318010993603894821911697767473 8 24295598873499231724805528274762492160	
	107	91	2035599239416636928121499518440933319110 5 95722448499070398089661507483980176640	
	103	6	1394275804657506569779155756789799627514 1 3896704570191315008381808151575298560	
	101	32	7583387874836867415828543522077854079680 8 6144452579786426184202045656092712960	
	97	9	2220779503294688299287418189938392190215 8 1928256248397506894793704736271996160	
	9 бітні:			
1)	512	189	5812692114801855024060025913483682757185 1392362331541767780370941787549443585	1,574655218401349085 88292765486 97e+77
	511	510	1571573701339898304892941495075388274424 2 3669469056546313409855769055021388800	
	509	468	1447816585877861242029882401726911495250 2 3058308047054731535653097029817231360	
	505	166	5176094381279682143694376053630941012087 3 733979352322258129700739529649560576	
	503	58	1815705818434955208373952365456061968478 7 559800896183368950381262555072404480	
	501	134	4211652679955704141882481152745181664237 2 190298713075622341303526007880453120	
	499	293	9245971522877660965204364787110391709364 6 112082657681180724837263979822261760	
	493	206	6579695233076631068800874176534455796664 7 456510081161373851178766994176834560	
	491	39	1250744470827955485731856996739643501497 5 685111811940064214468334417545310720	
	487	477	1542321435682635552291902446350769681225 9 3075500560156195412940830776077217280	
	481	92	3011814554946447316033874100790190108729 0455134643049020773813295074863093760	
	479	281	9237538963899354762695254092241601281790 1 089372185920593101783125524497835520	
	473	314	1045331371200895587668581994987465697402 75452725564809858524499430286259594240	

	467	370	1247585504943253023076409491010218167885 9 2363381259273676266538314041369164800	
	463	63	2142619411647624026147396161053740512367 7 403088202843329808171290277340039680	
	461	52	1776183760452714804032803428486377322444 8 478351119776056483887063482327541760	
	457	426	1467840531813949038481678732985716616923 3 0368181409204705800565765403146634240	
	449	292	1024051946042748180574197940360665684979 2 0959731066270966053152535098641213440	
	443	55	1954989548805286675475418081666612997507 7 755191554172682416606897664282636800	
	439	140	5021679511986079089376079081588872980138 0 094304418711524683286800295664076800	
	437	335	1207115556440393464006363305220443943811 6 9721622741709878678450037356682534400	
	433	295	1072802054107154688996451866481634766236 8 4083023651356582053927038473935603200	
	431	9	3288143147473814796507273525249857001081 4 17842173654776831681573549356459520	
	421	349	1305355513591617175708175181827812721682 9 3953655824486111439617474721733777920	
	419	190	7140441324492991081569361680793179257983 4 873268523094583597561404920922956800	
	409	247	9509531514550934577336995861926759759959 9 157626808140879426874565428916221440	
	401	185	7264618838011211493474853270595659406517 7 847505047482302763682534485435660800	
	397	225	8924368366254497338127423736666803321574 8 809192496549673454329861446639424000	
	389	18	7286322347358427646759048274461122711907 9 23341783265855087170993315026396160	
2)	263	80	19402778622507266496477676719415337782026 3 90945840041877931622133148884020419760	6,378663472149263860 7170362215078e+78
	269	222	5264175802294188018881717625184869478351 5 24059656909158220989306042320744248518	
	271	83	1953612797743132473946546149022681773264 7 59776602503420358366215152536405984453	
	277	99	2279738930479339791375402837289788582267 8 54379821171948362168117364507817674607	
	281	138	3132582061055510365761391453978915789416 2 62321544416366443518403047401985636778	
	283	274	6175808450066778437584692313403304201626 3 55845367716334253911402781575984076358	
	293	287	6248042377156446170736482578746540576471 6 15656269291851030578934821284758758699	
	307	86	1786856868419663491927247931757883183851 0 45537989009250613087516594521937046178	
	311	123	2522751148149065771280371238731377660412 746973753195928826770272718378182337573	

	313	154	3138383944763535573643525808665175762170 6 56473179447928913201263450323506191738	
	317	300	6036590036734319111088677812152484822561 8155111466060889937105138227403360059900	
	331	273	5260952048026432126814957366983768268170 4 48169198231374381138124545193496303563	
	337	95	1798139554463442334623496857695074979539 5 67425141448305642491802549141960318535	
	347	32	5882340954143413358586315823868857448613 5 8868882917595269183424804791351435616	
	349	145	2650161041437373237260659748190916569905 0 20727779727686780888612021228227747405	
	353	205	3704322979576767964439072026654666914014 9 40079495958139117684394784776273404085	
	359	292	5188216528879066984204386007465948051212 7 72112699577160781227483889334861843868	
	367	162	2815649816044089224621689013308616762741 5 21411391717447246413235863125087670446	
	373	260	4446253358602704031599006481479962458226 5 24560205833230997463856056323368508820	
	379	211	3551182038584418666520566339678480671298 9 86832371419654751303002468041587900849	
	383	359	5978956100526333488243906014415920193751 1 47060488878393886095526942499430677953	
	389	83	1361000175291488175937054000990094500140 7 45242825908552486162581764363408796367	
	397	74	1188970017478704094944737230205482694942 5 35660829310296860995905394949017802562	
	401	314	4994763915847553247544013400382660301480 9 80333209549200852531764329836040346154	
	409	75	1169681565797542272747622779005096386767 7 92219031015465837446411257999306319675	
	419	14	2131295670885195562053424990479930600042 1 2513800209850672560641236700207732266	
	421	107	1621180502422734520419769300953286878040 1 86567900374658161335464636067257085287	
	431	311	4602701484543900372814381125032304881685 2 71538082788437403166158255413882894241	
	433	346	5097038247952991445284282985315695460417 4 70302816170057968295348506990418307082	
	437	252	3678313947326348954006162763890077021857 5 99036799045065840852073700670404386156	
	439	115	1670948289970763881509018600167189325789 6 16006746357249374769687274715182163885	

512 бітний процесор:

Модуль	P_i	m_i	B_i	P
9 бітні:				

1)	512	139	14151114491632310162448655285547019029107 4646537197441332099022858821474980381374 1 6210146790941603735693264107536389831036 9 875332971671426913581548743396865	5,212496848716361728 9019507238851e+155
	511	33	3356191702693540842539420232645854981990 4507002667754983839630154199659875100644 7766808824817679168675151544243808645180 42059069195530845557897110300981760	
	509	494	5058886921936901167146490486442363258461 4956960834863735134685945973905702870489 7514833713663309062721576501277856709754 565049656087672409809025370108830720	
	505	339	3499082042999696289302497614647517627814 1241185509346103183650116902807563779235 4876666822168267294992066167763640730848 839 354965356892459954933004520178176	
	503	284	2943039970249397079539073569748159879549 2630123833696453248644415314605938394517 5767879775244538054550350579594183299133 462 002551836388844553542998693877760	
	501	149	1550223613690095604004771772173366917521 1451392222344382232901471666412043974402 6652858265969837744049823767175826204774 644 912325015334364600056135075694080	
	499	353	3687397570334420221046870952968708685348 7791866534387849941968823131093989495837 7770816033564628781703588152094072598795 043 465177548882037667465503578186240	
	493	361	3816858747234496113861266148727109929207 4524010628332593422339505657172885977571 1020904731224673267715740860029501657047 620 424030583857066255506658942307840	
	491	172	1825966309529967856153025508163361637209 8049308637130908101171224544322074568572 9229897927734835879116190949371578284528 775 699297027315748798043128962160640	
	487	214	2290501695329161006129399291399134003488 1696588698461069645939368317774911217447 0095772585583426593312815145101346839556 093045078265700957323021629012106240	
	481	217	2275726274907351274572577239118167316306 9064741739285499375232859870002527543943 7471531877976344431364773591714251280251 439 13303820150034881987897098206720	
	479	265	2883740427786713691354941423443654408719 1553209124147789818710174801967115750957 2495365452095185833024265492274152892307 880 396587278598687367788776580467200	

473	151	1664031763543701101615633317772995171153 5983502036303685745721713935549718897052 0316065960226516383715442169936552750789 713 839441232388722794086676144151040	
467	98	1093843021786302889576854755761722962741 6636828756056284995918492388622199891571 5341420104660435646025009662141596582527 708 145744414625506706143111391380480	
463	440	4953560720162417193772912135009451103807 4018944170548010776244805748095597340329 6785714354159349331009366275330701850791 058090262315803083659767411484569600	
461	114	1288990543934197911268595189854411596140 6147051425802924003114540213941933636448 8320565840274298838440822178783795627531 323 349044693121269777804395153710080	
457	200	2281180240138451522495383248964965049793 9398021833065177033420872350674618627981 5408579417123312850862678123610617621758 762577870949091732379622350822912000	
449	354	4109630032172810806305769613040691712979 5544912874271917707269063331263234436498 8609901569525337487604257700239181487894 087 887781808487330522389138880056320	
443	159	1870851013421899582156682088256673311661 1404948763611906983966826722540291347235 0192252891494709725533123933362509122458 882 225686645303076183978542639336960	
439	429	5093761157401638227104639773454764156119 0350801531183680557326449737662995511066 7998840779786752327450804489387612945315 155 805003794786804193873584805061120	
437	234	2791131035697090719823927847572258953030 4843771839637573244850815188059981313948 3983554527555295533701980242364670792169 777 489157477734229716385068104125440	
433	54	6500573437198234026806127923551663683465 9176025727064946747200957028862383198767 7211653909442161031592282994741665319834 034 97652416647641705130720249512960	
431	82	9917047368787509553827377247298503512294 4431725077991234820233616063710053186192 6058132839591534312439443155937852060068 198 24166310281480037052992746378240	
421	326	4036280220146161338769681558162689109838 4885939296124895543861144947128337677362 7781484307860634146641609408690701122623 087 486655222536632700485713423979520	
419	286	3557933409863674115670543930861800261791 9751792954955665496684664176346945154110 3025443281346673463406369404679653274452 431 819246882913933239634850802580480	

409	251	3198867259236691427761343842775357530155 4211844625982973862745819128714345708555 9731930552566795197847252072432800923460 664 780193679186617922608080633786880	
401	2	2599749051728858717656833278745608548019 5274054807258817716392365746280051653335 5715014447943526116818563347855491903101 632 1648055454736201932354471971840	
397	41	5383183143510600274180855911316945861207 6889261345861740815517239953978630885704 0467323997309762328288916876837801307165 482 92463072709468382833551478197760	
389	118	1581168709893395074576941350690034772174 6529276675705305099026400544761947096819 1847340021179842786576102577041467427647 339727175691525973782821528155223040	
383	51	6940922696724137028041762060525644962865 1899437971703665942289852725479547827985 0878297712127030367500840604046039805526 302 79405198570248127569949486026240	
379	184	2530605330247521261524957607374221386636 8444602373334889266309951374980571651579 3114467361834632335136423193379546366470 327 541530506163926020286071715000320	
373	281	3926840789515543286384579499763189233235 7690023723012477735935766282259819039537 6076723096631695259641186817690411302056 233 431132086722694329677793909194240	
367	18	2556537963948079322077251036237847751989 7750426103377949084049059394638884582258 3317571428509042440217491858967430593540 54236588098463604775950592069063680	
359	162	2352157352345544847025392805764237082123 1829988139124614435825638768939341441559 6851793434085060495832416604504017618513 763 630781307034224442798901404226560	
353	170	2510267604197681285873460688556489160318 5720004478906991554199257406854265172916 2310092562553968489851578802029870864510 457006725127973607486867711550028800	
349	145	2165650553191611606563847721957928496054 3756589065445042351284156250966384002624 5960594771857827020951509539556698806673 988 570524619506642494780445233241600	
347	22	3304753045295676024087692101598524295479 5779209151244566267148912192173287562784 7855599057601986657431320728354632502761 181 40603955650839731191975722961920	
337	202	3124404639289926021478320611942904801286 0201617025186628377792498667361672759992 4030083090687262648583638995593331678561 400721269715051249004339134923832320	

331	82	1291313418715231606555770269965454686948 3096698945200671361788727650591852846903 0251074094822946008659033232691605509936 372 641134984082531407763866687882240	
317	286	4702757409251985660775892451202190251390 6548899836360958495617899968105268200543 2705554368720051044691699623220109533109 050 259509286879930685826506265871360	
313	96	1598721078200545450398042394546181256622 3598562521729000747767420315795477131738 1175801856038881491901715888802636043159 751306970515631828801258654557552640	
311	185	3100681405184974018800195768227378941074 4154433374220183155796907602697518197792 5944024868499847025340596816087775994077 083314245970915763891240701773683200	
307	90	1528093538711636988928910635666596294756 1033235146481608003006522472039854465291 2178418101405241979739119726776949556725 373 042798568992556234102073116390400	
293	95	1690058705215202608347048869519009515986 4146162421203492506927767459121818562010 5562516644955778624918142845333702458168 202684612069194838929373794555916800	
283	79	1455078625613401330682876703840673731319 9754183431787139336353246545519536330848 3669539623611359785418644316196362685483 332 249980121467470213807521762536960	
281	112	2077578815146734923975154736922113364922 6515095186896939880402383103148214944032 1563571688363694750152229841261314098791 823 910778410290235411362818585763840	
277	273	5137226136099518960253547103323429685511 5834595702437627290011217605460579325732 9425808242955264162210804790248813449607 310 071800676527682733105850379374080	
271	215	4135375728686412441748780094595067176522 2058166701251272498501251158958203935282 7730073258845961331393218432386738642544 413 599422695627456918077381551756800	
269	56	1085129455494855973303008329135899359745 8458627783490780866901616453503063939169 2117776290762450231956833801848381527435 878 287971623218505856120728666542080	
263	125	2477422456614240365447695210971932100180 2055361163761373346657173631792539717175 7703709110326411532424533988807158396254 169 434617451841543957907353436480000	
257	33	6693089338818674593531687699930085197654 1646219312150960085801590646016327534745 0618051787867058580517519218321347150533 83238071435471836887491919703508480	

251	66	1370616701256095115966249991141061271551 4902851285436491427929090674124459104724 68 5963291592178012365976289968811650811728 6 790313616862646056457556683678720	
241	191	4131065967239938133694077129717944072642 3988280741551039579174433296127291207066 9036694431171008481602709240157675940880 852 886610405256639921578758014097920	
239	90	1962864922110763830967261778868807792845 7059427573095621995493733886678808873825 9576461745319704132970333707617253196295 772067527868956965539202244546995200	
233	10	2237123111037065119700408036002122377158 4345270338435162884706735331026396379801 6398542475590888353743012666287665779278 44312894211101914527357814233062400	
229	26	5918118692865738207486930952882470463242 7058361445519745308101922548191226754951 2376580924510743077281733944266672179418 693 65726258015457732198095468948480	
227	182	4179182495446598390573370183907753371179 7609935417254692391580344425000236338408 2969012873123665706115691415268491411281 130366780579730302840147784302750720	
223	43	1005100289214365714541631753932971484159 2087679978510398966003443106796119521490 2524529016275565489513508695225835131954 740 883805874901381905649300807646720	
211	205	5064274189511157129975828902352671817297 2808143967552395980474749435378001093896 9349591533014160294622511848589116395603 546 732413266958742843244548266457600	
199	175	4583854012690267852049454154170177885861 0637105429632852594166690106663382531980 4957315047347661940898057360194953374375 804 953900229990233594479836860864000	
197	179	4736228101117912433875376546068046598180 0420720304828189768145371088889234203674 4666701067485745206576641079840592723673 402 415166935242410757620486405245440	

1024 бітний процесор:

Модуль	p_i	m_i	B_i	P
10 бітні:				
1)	1024	979	48585566090408393113363049453357394911360968191 60947796781012577255761434332445620073121218691 14062794159634223106980116048787016694153359096 85247534181321268860201590945157619780012113861 38396012681486166778341472900519662998563842595 17314954649967662722494078928317107622481560401	5,0818814787 107451019493 118120774e+3 08

			277689901766774264418033665	
1023	142		70540290320325103076911268554740379636802726891 36131460917123491998695565261620648711828258206 71417886797369321874114615272851309797671448807 70995134882758486000978445060378198043288346102 52366034845035486555945399743776322891125874289 49221360453616842261813019936843148794976008743 02669184083847914953512960	
1021	711		35389008142637999681547117516033769260989208186 26610632004285030745697545543402328359723565057 33689571267969105387636318827547018757684209974 08937402120524639657522778655282216745099328470 23002298590612004423257062490402215298332950326 30604491723123954056128681829553099560960798504 136164068994351246 949155840	
1019	451		22491938634921943483602940404778388902521516893 14851884972643724774298310295546381814622412869 29075788666991026925752866240225315730197424532 99946328467748642663844302017195725141899731928 81701802785497074969091623184830000014683974898 45463729102383283365948014794483084831154864671 105650316302348090 960808960	
1013	966		48460982314260412324610416687727450526202965089 83725345191800914183200738367217881782396102546 14147936859643449608465857 01745984163470483204401630789538058004407961863 46088339113270005880054010037438193103071336811 76732243457490192034804410500553567244786749205 967405142588613066305333287118303815680	
1009	777		39134012972827046027895096907672524953087717812 12974741740291508262604965629803365947472493634 07439109351408974334789261684659608223303579185 38311306592354109162665404042203184478333485220 94046847724918132744881193092962792300836216880 72346439791961691973289393326413301781021074446 585218645025141864117406720	
1007	567		28613970192939349283071100272570992170937725015 58954102075492137727747579877418425038433483026 19739221558829670356227055371190362243416608275 78282158015392334628371496881873946019572160763 14665403595639837096239790209924725587151589051 81430904190998480217620519670186467173578387266 118819923949111350 389181440	
1003	492		24928072657285010868983663126042793392552624723 05085547851489845603201281455083944242654116248 13626279690017790016143029854570394339604287790 22182879045013178871883270648624066621512727456 31963169080128544613618450856893069897539712232 23994423952138383848346988571280627328501920166 616504311406246030 659727360	

997	702	35782154443881073837195756189351565029349549427 24198132518533464679175007706479877936488773587 04208449102224694524847722392343987403024962405 14619260694416683633759494261891563007328572054 29171781866601815678165457671884661858088690096 69972963343780016671812601901171231959623123437 050338790124451133203875840	
995	318	16241591057588109974069157349151965362847223650 60253004513265702934435309730001316239677045785 44767243559770262280526379752899958238742791207 75097679460152660566864110606817094711766087496 63555951772650487843060953904909654402295790691 91865664699984365081434949938236387647454756393 395842047923086563 841652736	
991	418	21435181211918178129311930751244832149920951419 76562100118399997802426205883786936000241418402 81255019289784316030100231019517232549154701404 51392329278830522045467230998741179615186468946 06710570930078455783839084269719850866791190864 56056865898020858420817578422189313844896228736 544830093964202770 746091520	
989	908	46656707610408054121031093279740143549859627854 11018624547872611217559586039729442642331761913 50310693943154705407165496726745764002691754407 14112309254216261631846695311428774342586658939 24478255109725247364696725028552048528461361322 09279920095413938469304550912868747365579469164 512173075581687197437153280	
983	551	28485419071918825546023100798114548744870906448 37899666850212593028943250295669691746552211388 07129751196204173605338506393688418858325948564 89067055911602255297543824640378376073284191761 81552533892514785016727616888351003147170629531 88782866412800399988711568772556121825047291115 303887546029650579324513280	
977	105	54615921726164609591062204735734844224827114543 19471512926988480783657100224724883455973534643 80904120910082789432352713823095444821866872386 582700881790440899404262810569905296669 07943087698724666513390741525345893822010883186 94812550140935395184500233289316737628292125876 29651737019513874 37337600	
973	643	33583245537625992811443036949288623525985285033 32344265264402055989411256877868784574717946627 63365299956975499664354456715627281835256506405 17545647105217507742930685116324648982163917240 44478092797563110798712250880867133490316574065 26265050353505326241300844325837122014604514725 089229332320037028 859171840	

971	49	25644921983195315138570162594417480237115869300 44000389763657687612731267314582456433601304732 51012927078891602947329914853151372958238760058 48534784281255237288196040930227135763304237863 39916393935953161649743077798090220170605783934 88182787713105782132968054208483605689254307235 61958037964136322601026560	
967	634	33318643821123189189615963690352494942683765830 61661895498310287871227964452650453400829482328 26011590846389581193292020772023572404265656532 18327021696643652043845931117111301428340913593 56438576992777725462391438059205860329880567020 42576786347879836570088419313891957944377943765 799363391580394194156308480	
953	548	29222151629942164909425213777737962982656810890 88919972153158371716031456385266380555433374860 49746207683780227982735135731804335957475876688 43934614631197211390340747686792086765188965888 63867555826867175491191060755479347441036260312 27295044230775620530675129855810425629264687055 980177905754559186 812579840	
949	653	34968056960991744484435201404494808222589620516 21446891754401162084237383168719158886171359933 35534740290366328551198571646918816782477243325 87126106805715015850552560805880751776280026176 59935073413931462839769134293650629603739307066 73614853284305695655095854617306596576730938708 282957343404532571 716193280	
947	525	28173049380392198294861549116585503066344292982 41881556562654564797060711150768854876708629011 08840193310005747241504013413497491864289300064 25094971568598772899575753216831968048915841339 59939830870203484645384517131481675726721469528 70371270405897248209886838855526000668576631836 385517289898661592 007808000	
941	235	12691202417609193400192223972775711309953121161 42380509094146976616085979379682920517255446269 46544893113051422539062822053755982646502226168 30874470821787994362504095945832438296535551664 22984281485773866687732599291585627295386325461 79923636197521184358826509899505154230632835447 656322949811239601221350400	
937	759	41164867047400806108639569534330460528547007165 42586638319274095650511192836248578800216478935 17719961916984826878116713387731529643280607968 86079764190225025752597983161908754729731942932 73949955895855606584371531294702400786954862667 18494423221950465594480851399508034921085188585 524881677109987677 943239680	
929	887	48521301093825951619257691897875934461418783777 76205539628904905898443240963295257858489116970 41393336692354129108911199391440555012747972467 41522579471906739759376159452259916980759175049 48230864919434834924992352577284661052874141099	

			89502881863712591371315056401485324261821756931 905549813572580556684702720	
919	877		48496300944823976652987447869335147771712929920 64975860873328786985211803231722676995386649790 47645678030224702198594065425492561159930950204 80156382594292106885916897219317206636649641190 78242952265900881629514697722205357464906965441 75237840564247632905387859514902530803182746662 776441129777390593 777361920	
911	234		13053350889333856793151909594139593975214599626 40331334841192046939311190151247873509944861787 88179957466124412894721251088608472535973614166 82427882514574984845539047120053380284781041470 22643346696305162909305145005074646129716218085 03828409972099771906987619500719984728775797316 772479975760730984 194754560	
907	285		15968425815132991775695191471246588649322188175 54455027476196049279997271246992723446105476824 58697798022584136403099124692047893246626472706 12907034916799424185921138057346278188821632799 60346428629628958866731882713710814029009273940 14698071142331365161143294740194655222230251587 087245632293167995 747251200	
887	419		24005730998644895126457290296059078795735117937 12977738708681790367788931679061633613773226029 30541744401260772996613737036306244246109291330 63687569772092152026931576413091549037490660724 03213411307200625506836438945943004362770155277 18458640678943870315017186771891830962122784079 572488456564684874 810874880	
883	167		96112594217972189357365240386968251619247879865 75102761987321507158288397946026934797963500393 13206444087452923917308271958824674342781394938 49373772498567164650703894633851241222412584630 67044692062596362900995869057362789937017174879 89998296789564663908653263833523841443881265130 61604214809218426607221760	
881	190		10959789795176408278891818890972876205020979701 26288845948475078847489614090822852944092067710 85916687708273788662588653874905364490874166284 11582807922464682358403686884610725930579811539 34191608601644695945611666758483320714575415409 54469277734464281650516056246202461056801239643 956210206954145571 050137600	
877	64		37085566093214103366562822801933304443611769757 90714174515922633723630462755623581611935854636 56504022069453837841409029591469967680096560749 18003063187916260583102291382217558114974019914 43645181503638872723841338205024518704352170824 68750870538320473899219667249947762361320356243 463179277975307200 26951680	

863	443	26086599015861646351837139429319796572081496741 76973773637303770188661273746469570748180060147 57119123186242721599079634080988536742037215587 38536153103636540982404501606309251377474419631 69470656704736823002629494038550624251062004343 98567622870280680828251253155678691886513131743 380872038791759443228400640	
859	760	44961931592784240715733142924084302382414356772 11923042051718484119386961648497943859115770213 11723408013919477586685001461194999378161306152 76388608985757323202578105449788356436977014976 29908298850053444135431331381717371592740120958 36495616689466971520859816311545369923361546571 946082385688485439325593600	
857	646	38306831216419385482605080870501929270151508281 40356603446980456452474200755718522413924596990 79060497504507942310289444360433522515711175831 31919653268320547883736760436596229232740685513 35446376202294658384463461620024432751971061047 54979316832922181162142117712806128179162699217 627108580992354309 829150720	
853	274	16323980365378008885511271236919272404731501042 80035599919085538244652976515333447051188749262 63427981197328579875466931038927041129820932288 44237800553066203080301718959855134048783754098 40132345077962730505923259613113609678374886329 18881698213323075243688979339148496849173063754 014718372909785993 571153920	
841	425	25681327329988902120433502022983410558013519773 73651049153625266896997927003919811712821030431 43152611522438283497025825940994061577667937361 09937373154570615758466114661558114128276775365 28003586273676796291605534301552771503566555571 17949554513591517973555756680545443902577158481 058289046491056733 465472000	
839	313	18958628162532338699763225234567740619554295311 22479945654788585518046568937875128084136628489 25756128132611643216076840047467404644953415565 79757819666541644529056469917144856078885733463 44740848420609308331285703178295283464063198829 61029839678261897358852983238561365308300057935 762228424805385506 892846080	
829	577	35370875913342580504520541804205948647271600269 19479989098533275068861202197235836436041707980 03311734363283429035453803217622806610358079273 49747760973156810589955272553249714858568660138 87658940649700081283121057996362997918132962624 86013899026756203043479020278241511308686253297 503447577756647178 915077120	

827	342	21015761375079502114469947276063829608128500133 32852299764318960140688065326755598789288030200 58097561508803596204514011263391689249852784635 24894820802230342544082910110780760798928011050 89287851173504424220738792195408524775300717964 27566361101950976833601405072826919883767117082 691364142911588931766999040	
823	708	43717765333258900755529924215684271836857620046 70540481439338961955387553942076951321682797534 77638691083074497222691997679634656842449187640 75385005282480659280485917291693874002348892294 18329267008113294152864270111085593969911020086 15900128210760547105877655889597062603169787206 231362820024521274 230231040	
821	378	23397700352651177205077221254144530341968566050 10042046926529096785904842011011249706619989774 56822895744816466137816195500437429784101116145 93041114999188047885318796069871752855630666576 11748324336832574872848939294676572201592894985 93342200990934201850705532527712360896299988613 058588439640077247131064320	
811	106	66421632150843277534725900379803557484722513490 95568185329631625235360185702224865016352899944 59693412831777274842267767587897486426424485210 49002018342999988754746362736469417337473313025 69823970463572689699324492952672035060765769578 54115644786208151483879059550124150058436015665 552251696191825446 04375040	
809	807	50693181128795689706713159855951550822035982533 78291600660005734063507022713616884321789767121 11384618501647847921896216768459061C6293236211 38441086591770833271945347767413332888352440876 12471801049174110039921729152481042923999440093 34315372443587838743232352456700165981504656135 5439560875724208016 477803520	
797	118	75239901441388697870767728208925461567824804053 61469711887444512106407270795335280087295989901 96772569555354059419229431389249942662768049829 23550521429279762835298849709460598711696232451 09337069735836974253047457761236812708567063009 01057727974604622058003577576617278382285100106 08199832890042034439874560	
787	132	85236131536190387986951608538020311618691886004 09709253864780570409433705734633265202591770095 04676215272559047090868704368387256562077077878 17815013637347879410384642224647264088743893769 35398284458133149261490801222332798270541310025 19704490489956546626216358789766374721964138345 145161331312211378 89136640	

773	344	22615358715090508603758903795014664357584790577 95013296170277465076840691801056288586153185869 97904643859333338920397411302133310982925637167 08163219855748869709724620153861680693301831581 39251349283372016967800464182562736495145936513 09493274237881684851446844625853493958728201072 076972085247846213282078720	
769	381	25178112397773652585730660603400496884905530542 09569778385538932592069066835532746848722794742 96556575955423230280426871181333307442141629793 25578652317174852817083977437378145757199028958 36730473854196566188487835711582163536890688602 99213689916008591082703921399333134493100820615 495075451895390161688181760	
761	22	14691378782080997666607734542142353316668969401 05659479367407426393391223480761362180122584990 10113924971420054765771719303092591089433784557 62728956577440381317558631938413796942146615067 12255464272569160856065103057813384195995622205 39423441527725756065447278661311024289572005448 451432756842468321 32884480	
757	148	99355146479417473591611380209703913134970138447 35211711432230312227384815551290422698621742660 32851635744031339507585997458190966087471375474 74759032148670305454184796322785464272852705763 17275635288274255367893624786562137337972555407 05787400767665212810087432512677917838712371180 988829622772518439 69167360	
751	166	11232920445618957216026441555324264163427697788 14838030447688600330296209281144291482666539592 41929861311824293901106876968178638554435372642 69958226416909173286054422819586377632935560434 38641712744804332491848929965387565500201809531 04123021876476721103520717371799881699579186298 759688260748587659 848611840	
743	513	35087553143722910327052448985137524399573895579 26518543549983405187784044465464764869598656075 12880249060122289490847417190090700557795934508 78374192739120780519427792721969762814360965960 47458384092506377181462276875375874809906514986 11569409080713575722856720044201607154526391306 969902044793843970 197795840	
739	545	37478016317961516651723612145902511540914452664 78790384858133799111373125968436284643836520554 30862958618966727849858480270396953446839801798 21091284879508616985796868023726351413277142735 96840893896707446298737367251278213976923387449 72463865521076508176675677133629233417262525524 160348620596810948 022707200	

733	593	41112629152462098846602208793477652289924071862 35280108102245141577730606435778383945866670570 74235032020511238833648152580084973699008137533 63599060037028731231046983199453115388027591598 57123031927788062303107201117503530486664593944 52978015183811144220033422940132766118244001083 585659273710599074 606423040	
727	158	11044529210953201184429040802038966350441687775 69240243092274191163489895766411058308200446255 09429024075988524102331249128205870747851315416 03094937357498290414284198993441278709077308380 89709719352289425803498536085190481986733285123 99769887222775349867433099235205170304673995192 640386218689663036263208960	
719	532	37601682151239449154896159722186218390188807687 17008797198467767038925424254856486289967055117 03392608120681198710533645867338738701096513754 73842100950119441504464832833042752052231264402 29296050206588506201161139860676850540632315343 90104053289814311509726018843021183497798745415 453656938128631842 373406720	
709	75	53757561481425371318222621425360611331509259428 47192895556787976753609698689861183897326358399 15518160516976511460214186384408875267946740199 16512065435146157436829011276123058114695349080 39619221910301631995122179575887864020159644657 83279454109177300130491308475081850963413399857 05638701094908830874752000	
701	307	22255886076522093385141779262592994282929719324 73511264337759660264614261238100342122004274176 38671287441952750192990205327607397085015865548 20899221490842069550494556502890676554291837882 80794367472490697337050459292489738746971010433 01542474217338770667243232860887762104135902716 284287904829693596 855751680	
691	165	12134738697355614208706750347218159414600310109 48343195150430953131733778294709909499717750192 61971812847232990242495237036526912249340568069 84916862469716494409546438753762191902648597032 64862237675208174469752760593700418277662085924 35421026413819790556228703756791992928036500882 349718156248681323297305600	
683	302	22470398339248096936876898495569279408648315491 07965345848371552965406347416448407952616349844 23681634931330359552636683572975811722054114432 33740810984563445462291760344403937447344731584 96099928856983825943448649773411337566166018145 13585612796386188676116228380805418769319961640 982331818468319942 396098560	

677	22	16514238187834031350499979300694728026565857775 78148986408562853006456013395656420412220512817 52875475484860652402883719925632883041446248225 04337866994729882101421150524568536887700995666 29285684359564448170554717026581957715144266614 92616305764548449580214740120026129223580939654 758552921650101022 94128640	
673	73	55122934315881781937934585777362836269141649137 97764491239874696638664233285609614561147505332 64140137372504275456093227235212393- 35723319960142429910000368433968887397051669364 8023335-52511- 22923534085816090570354597508235326228880209122 37535579372533749952226899352379600067109190721 494255090479714 62794240	
661	552	42438707658824981789349774890570916259385004223 90761854056014113738994897744535737407017291445 20537592426037444956452053851524624701695975427 66889549218804400088223694372392796789172141964 49116884801998848433014578267788364227618436329 69582477853354516585920569672770214519110792688 363981990319965291 412807680	
659	480	37015221696223940044547339450639804245501732258 36634671149997135556476383729152368444993639434 29537967399367620394820620961744114175392280474 61785303204631138692770155017683761532813598784 09799117047068996258128437335895109526233141669 10198611679181019282567126151218726393260188648 160707390118753127 431372800	
653	37	28794734259157361220846024050055843125257425269 77241679002373026935731357340094506119010972126 28969635627194381319771286399636508931169920074 41957345840943116856362132778081392210776990146 52441675311341351957693519894114677628194955759 24303622657397613360350760494677329174542597620 21766616555849787857832960	
647	298	23406502019409614225361590726415333711167314478 24091930672909381359002914700857806607305322318 99083993797728657999664036533066823254739460407 54251421348312314138213512952997077721976430179 09174298698922925113227005348073652109031159284 07259865271705715252283286217892310428133765994 020788378047079394 227292160	
643	447	35328165178595693010440783514752848159701211043 75242952905223257556628816045384916504494269534 33998469643383612113023246431324031055559325545 13220846685127684091969229114904609532158826576 68512685672324570485827074168437759520707216306 67567183897652249848119641173350680047439844319 124689146025957312748968960	

641	254	20137252661349910388379488303707729697859961504 80664752551720685557255447110270080422951460382 04942284877504382824387169982782437257417486542 91596446835057162575494101559379921047619400175 75086567232321538636450489508275282121548559059 49137106131472289695891123823283598986161758765 798973502347951153757890560	
631	126	10147655567631598777268039434576153941234121884 38058383796450284448614831109899754891249345802 91627890864497791177573743531885435738376659458 95872559648353611893210106483552408396446263739 56283874421838110919497611812429723073168392384 28491255685978330543808368835315292285188743080 465452249838617760113367040	
619	550	45154035755911305429274983790671772512056081236 68848399832782921992611959082630842564916345627 89566627234453399340679638084222382144826777255 06610403697221850495404357452071484139634790250 72804556992831710062461807055718842379453426891 37727136520998789845740626257098907448967270380 741277576563483006 992128000	
617	590	48594976862874223827392122676267093087160752699 13364149411907030914754128706549609586365400285 14447113400013926545482866140382661509097354711 42682143905296572917125756254813693009093919986 64620457519823394229885594680474667527332211684 10164513124602823160639263637410025016759501446 148584009832767434 753484800	
613	382	31668494696044121189961453706583615555852756509 16472059699422168674266761443751219846403646016 55332479734849123242765611336553629058880172315 52252952209514116341220001644377633091175332146 24544623868933710508526157415931087146257744077 95131790738491270500798270809731850682390339076 640430114782880216127375360	
607	129	10800044658215586789974649485304573032380380838 19323689007181515962354523123280381637415411456 44180574363631386523146951567060780100783474586 17428028592562114673980929599836333922522023772 08592232081577369717530740617661240925091315233 49817731251574882036759726665435389722053273946 900020235932816179695457280	
601	417	35260309095214321256453627714414067270093637443 82919847254688931095141360503058299728887919777 67149618882586037809754198218767913920342224248 70497042001325051324838175642417327788761007302 64309576961611554973386262358624458482866909422 12365880079291395042662555351266499130085550544 510908461338060578 471726080	

599	185	15695293381660898895836772708419420334551835309 81751933546368603162798477748816120614118668446 13286454144038339734399540917331085419076759439 56258887173736106266447806931625333149947725013 08885153571206930574602561344621773364951006770 27187199996060635663029254259619612646891749787 981749587737645337822745600	
593	396	33936341746533812147924578036807075165553379908 20796551159316513783587348944261237629564784012 54728590937354453656246376224917759315862391377 80415050117669197856309973067857030440729229880 17618102800278645093824583758166566056787189370 90897521424416088800083781298927219345456548167 434692395148082810381537280	
587	546	47269289393118685275371793005013169097071835217 24811426622533607797835013966216745810856549472 64181481409128552543803190341883151256049822567 76741968651586983736514766317195006289635832740 28050324748630337236024366665168096745712846523 73034509024463512464997188845026316079161419357 784273029770687953 554769920	
577	343	30209451424571673656301801586526102802716908775 57897859484156204974650680058443146686167776129 44044170772136260872270612002923723049765832256 07017491986081776056822961906889747276114194931 97991634243097684529168752130609917937540296950 67448597588558059126132385520808157343130247188 995890440281169124 296668160	
571	63	56069795649523107079300638206808696470391689221 05208758104729680272118725309516158812419765338 35527137788950142145788372754988703598210789129 62308101034248065714672304650801836236055975653 80167467252012679423844072273582795614441817815 09439425024976589957470058976216720069650585672 274083797269420373 30590720	
569	13	11610625522537730461395615739368453535852861022 89925645421134499864979978742224968529154236563 91361004932278207524986389124899744659511777490 70193127290351309504282436952127152352504909958 38340254677147044923234707185728375926744263498 79894240855870818401938802348326407037604717199 355330265493093074 20564480	
563	316	28523526594539883698330062746296016116416010703 12034304540260522116721684625864438330592271500 72308705162499669706553527943892248787523645852 41385504294498249133870737720184048388984736031 65964355130068961133724460866548775859165535648 83242301992744864488894718095893992225570140337 653857126065310932019015680	

557	33	30108094936706389293416030484480244723478686842 56032846854390623389687758713265879584577972650 27010853419885085305437015411993164683283061171 51086362537070368534996729547036533589695441829 65959806942796583693354246212736046785868945686 63827394082403860949206586340909397175128266103 06518939306225778958146560	
547	383	35582460810716917258621324022406820049329298890 97688456330917988357129683973517940045745961350 92112638473865742248596664643819809512212391129 46420723541054560910417081109073462673665272289 41948765026390438180083954898948499234813628343 45038844424094499252978728439934311721053061525 860062702406318300976143360	
541	166	15593203797892489591933193360533313099323846652 30948911028122252953886235064952611651538948676 35285260342292134417248178563959625793680156847 81402269942881310790807525947337097231672099604 85064558727075884845431693907589762829300478665 08680941643685799535571273098376545575571107043 195057086547484903043082240	
523	373	36243628901703784379103122483840895324147722678 58610813461469669772668859366283286449803025527 50894037414501102080902136618640198665992074118 16599187479368890649513039732440218176769886377 95879109161842291121820334592990635704727493045 95662803302359977719845353640266975296957087281 064527571076005218270090240	
521	88	85836001943674773315074748457353787900077433506 36521027244507113131445075384717056576378404433 52757749737049225925161446369700282679916391925 94523884494680462054987477198717078487321106073 55289123312285078015090544545074743747813193844 95211048004601154439964522543245216770551218013 60107737395100493306142720	
509	453	45227746755519990789450653258763706786169350138 72515710848048440104241263120140263158065717908 48844469522883994816652813989221452081030334451 72824088121189096023807285801260970363074022610 59438854840825009192658431616620658814414706463 04849627327893222590729029422662380214476032811 761098129706864009793326080	
503	354	35765130088739637496820206391161188590192665306 59895443563196784979407511823388996956008889036 89956901353250806376019397704114634772699484521 21313975494514495614154980050759501296156201151 20561617045404812214520173261852329858088240090 36665810653534721936518201587612706284700531680 644544334870955277029304320	

499	474	48272781982142147862203883745985943106840322723 01629198766032086027197319973031098537445237038 79889181382226394924217343384002012226580599042 81262642037482507802713102213818494718432083324 12138071958603682720301216837275433292716021754 38673595256258593308359898661287527924837642314 927219124172655475	
479	86	91240- 52755373502874246516876546636473972041319182947 70039793739584535951786098700819918646542243230 15152738366312459284637521134602304371242975478 54637233174768356635589431519707318976056453094 62401078126910802499024639850264863303364417447 85938844166963300683172154231889858556517304276 732236874336 46684160	
467	105	11426071847208313398387103645998488823909227175 31075731933547697157523123537378203669483114207 06668806451638305198160300086758939955238529833 33860787184352478773403956443828639718339743789 55059109136652119896864727076451026515291319761 74835800031856400023453034859179067508840287087 390614506866823352 304665600	
463	359	39403789435359773036712806491053885566077417743 95504261768077179297546523303755383725184666176 22856019912301075416788414901684594473220307356 75650777616337470406201656066588561857426988903 62080115686251935761988318184680529638344865412 24719662300541417939565394492357260208980780645 115678163524499341436472320	
461	192	21165319824565359209853966766135905421072140180 70578957299651290526436387746213805470933456301 25870299797122136086929968949058022769269859290 90947084435446351755779203606640866681235715053 11980579725829473782305110806381672171616173848 10256733272520860483480899031369319473456368172 787771080336883567 008481280	
457	296	32915468658607889500590728585884403607515271249 29783486019342821162420264933184617060331141879 15478638187409944860937680558359107802282639489 88355618090390993973224459875863718360853172106 22397223594408582631726684447889513332536203257 39291493383423442493319994053434216106741910277 465445962555271973237022720	
449	9	10186399400533787509475235258061649915556364793 26145148227108064726496911279584386472125894371 04704421150967397761770652511326296453890665158 45204557967087383239922967214638195510909310244 45458359465764950668474376477319687017450295250 53098921950130968140539422104810609977655260712 334871730270709205 58627840	

443	291	33382110842095413649373583235090973572026061387 57832930077895977654862300749416010836756890710 47493728697372691852400092462437486038848768972 61564643577167554721472158848693553731123641014 05044990956543333067273477706298294106171008957 59038175146279462409700033930084010260106814883 696062337733649212257274880	
439	85	98396338426062262794007176315849878265555216991 85606069877899086379841715764449028020421351220 20006133441323901690199178205724399939948680276 46730436551225001607608211527883252764832556410 93626496839007679641185669009593990134393955514 17747495881232194149250074571019217868188566207 60829652892473217696793600	
433	281	3297941560087111717431308589362022859111703848 0908495562398254405562583730878594420529035659 9693699053430752004316264856471684051765227901 7802601010711186677074667284707476742338762937 5525598931423001308201408966796450332971851343 6749972400253618836903241563211381623039524526 214750181637960906469329217735680	
431	193	22756453025317257649100166583084516543757873263 46113949727159153519052406309743340513405868226 65181000868249079346268611360505358901902639098 63312487232634477169940824179399384078083735443 50865817381407407323485023005802838821118593336 56261749920920322406669881447191880093675481504 222814630834463718187422720	
421	9	10863879645699930146684989622018244209227571952 90829386113946605848449199915756269657920490671 25919917094499671247114068830369375552961778280 62937877736869917042103117053141448418998290498 24253689786528415321009489402177053374905421775 50692199419498348444423279156912028218449434821 46878243917232406961576960	
419	333	40388222730565110237449184568538947505283505563 35381705846526558305797896679650456434708229877 37578651212654267068328365195862473266941675483 85771675777380118798291230151977169933827296203 13221891600179743545433130409955121818830967779 73062622997022857689446639481436435216894235373 274277817419401439714759680	
409	92	11431127042576737148639038794892981111431739116 54561363297076336259770019319127189252664396758 46811470494543908360315732516649460850782819787 15938872059343809477716325175285916331557777440 31322844683830985661867414928691160861636424781 55213536210703885681863690527180567154495612863 491683820538507358444933120	

401	397	50311893941350768216306154348995934674360451468 36335580685139757874542918435016781430198311147 74864981530157704439703633197601726843872893779 15080301227687096831975302712964872940042041535 18323329172928782252911139656737771402648032122 27488005940058062176657622844245100037322892428 812077875753525298514017280	
397	285	36482020690996532847746948776878226460794016814 15341838591712384627097040355220151550674225390 17730233769480634049397748351857529407280127819 79613805212939742409648544629755854703428768134 10665518304970946327772840356009340867283152301 54486525254646217131377753978228091401921506774 529299215339806982727347200	
389	131	17113791097971917952579944662780011036364176543 12611581650107662357835527693626793142072921479 88049395820587014251630620110359938049739932418 02316106685693024701200485821131220272955576100 21634254367804302581233771780047605560680060449 61388902890167192660907976828987582641408305622 360034855835271201467560960	
383	374	49624638982710670186136882969111129205677926146 59769369341031159321227743647678783948889264234 18758184688057767233525333552425198234999662720 6899350193824076528787472947055C89C453C2243141 943836587316637963313687683000829016804C555135 37958945964539975514018653796705149147308886288 933729915214353522201374720	
379	281	37678329697037450492025240611972451134442421272 38358453989035397785909961865549177859913572761 67207625687376300445759057657623204259482009157 92249014193768632541713305497029800334679471246 92437283947115158630628660386014294673253776061 68995540414132926394714697963701256237783247986 355275031853565223 090447360	
373	341	46459023706175980690743038281994672532645798544 27964179323928766226071361010005535548427868968 02627024664982642356477296257273098711907829959 64951583729007511482912290356450386549890187137 86704913894662074229950649629607982113637094295 90554746525546690528145677064207556838511150205 686025491510813695 505198080	
367	69	95544910635161147693324935976387519235195803106 27702947993955480863336605616955457854354324404 90719852158074765382203023146654553568872751218 28726130904733339435680728815230376967448180648 93958654135290322936725600255477209654140961900 30292976366033158934923353384540571516117963102 890300053138613956 48455680	

ДОДАТОК Г

Лістинг додатку «Мультиплексор»

```

-----
-- Company:
-- Engineer:
--
-- Create Date: 11:16:04 08/28/2013
-- Design Name:
-- Module Name: logic_circuit - Behavioral
-- Project Name:
-- Target Devices:
-- Tool versions:
-- Description:
--
-- Dependencies:
--
-- Revision:
-- Revision 0.01 - File Created
-- Additional Comments:
--
--
=====

```

```

=====
library IEEE;
use IEEE.STD_LOGIC_1164.ALL;
use IEEE.STD_LOGIC_ARITH.ALL;
use IEEE.STD_LOGIC_UNSIGNED.ALL;
--
=====

```

```

=====
entity logic_circuit is
    generic (width : natural := 8);

    port ( data1_in_bus : in STD_LOGIC_VECTOR ((width-1) downto 0);
          data2_in_bus : in STD_LOGIC_VECTOR ((width-1) downto 0);
          in_bit       : in STD_LOGIC;
          data_out_bus : out STD_LOGIC_VECTOR ((width-1) downto 0));
end logic_circuit;
--
=====

```

```

=====
architecture Behavioral of logic_circuit is

```

```

    signal data1_in_int : std_logic_vector ((width-1) downto 0);

```



```

signal data2_in_int : std_logic_vector ((width-1) downto 0);
signal data_out_int : std_logic_vector ((width-1) downto 0);
signal in_bit_inv  : std_logic;

```

```
-----
begin
```

```
    in_bit_inv <= not (in_bit);
```

```
and_array : for i in 0 to width-1 generate
```

```
    data1_in_int(i) <= data1_in_bus(i) and in_bit;
```

```
    data2_in_int(i) <= data2_in_bus(i) and in_bit_inv;
```

```
end generate and_array;
```

```
-----
    data_out_int <= data1_in_int or data2_in_int;
```

```
    data_out_bus <= data_out_int;
```

```
--
```

```
=====
end Behavioral;
```

ДОДАТОК Д

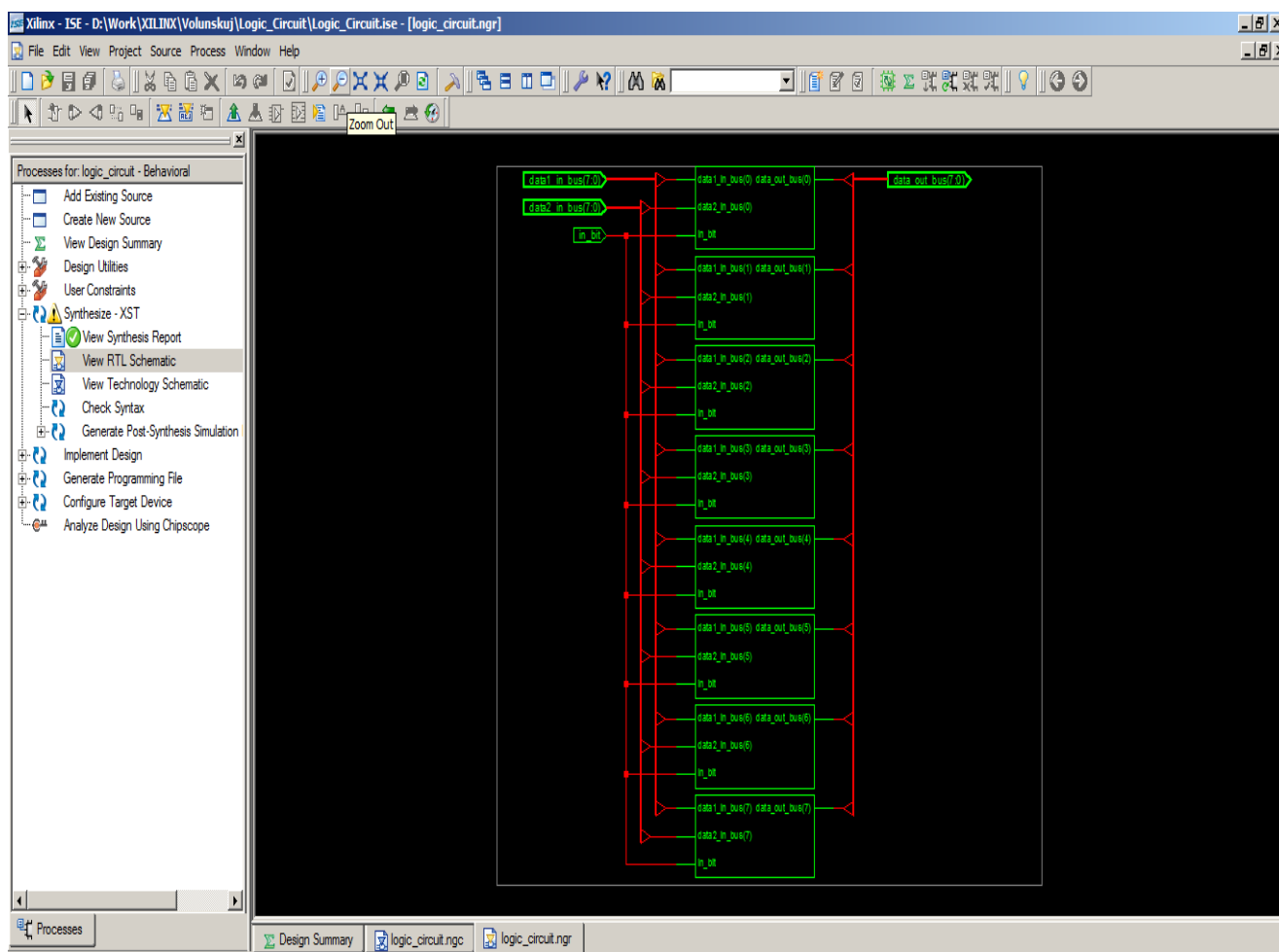
Технологічна схема рандомізатора

The screenshot displays the Xilinx ISE software interface for a project named 'intercross_circuit'. The main workspace shows a schematic diagram of a randomizer circuit. The circuit consists of a 6-bit input bus labeled 'data in bus(6:0)' on the left, which is connected to six IBUF (Input Buffer) components. The outputs of these IBUFs are connected to six OBUF (Output Buffer) components, which are then connected to a 6-bit output bus labeled 'data out bus(6:0)' on the right. The schematic is displayed in a window titled 'intercross_circuit'. The left sidebar shows the 'Processes for intercross_circuit - Behavioral' list, and the bottom panel shows the 'Design Objects of intercross_circuit' table.

Design Objects of intercross_circuit			Properties No object is selected	
Instances	Pins	Signals	Name	Value
data_out_bus_5_OBUF	data_in_bus(6:0)	data_in_bus_to_IBUF		
data_out_bus_6_OBUF	data_out_bus(6:0)	data_out_bus(6:0)		

ДОДАТОК Е

Технологічна схема мультиплексора та інкриментного модуля



Xilinx - ISE - D:\Work\XILIBX\Volunskuj\interconnect_matrix\interconnect_matrix.ise - [interconnect_matrix.ngc]

File Edit View Project Source Process Window Help

interconnect_matrix

Source Files Snap Library Desktop

Processes for interconnect_matrix - Behavioral

- Synthesize - XST
 - View Synthesis Report
 - View RTL Schematic
 - View Technology Schematic
 - Check Syntax
 - Generate Post-Synthesis Simulation
- Implement Design
- Generate Programming File
- Configure Target Device

Design Summary interconnect_matrix.vhd Synthesis Report interconnect_matrix.ngc interconnect_matrix.ngc

Design Objects of interconnect_matrix		Properties	
Name	Type	No object is selected	
data2_out_bus_6_OBUF	Instance	Name	Value
data2_out_bus_7_OBUF	Instance		

Console Errors Warnings Tcl Shell Find in Files View by Category View by Name

[596,380]

ДОДАТОК И

Лістинг програми розрахунку модулів та їх параметрів для спецпроцесорів різної розрядності

```

using System;
using System.Collections.Generic;
using System.Linq;
using System.Text;
using System.IO;
using System.Numerics;
namespace KrestensonFindPrimes
{
    public class PrimesFinder
    {
        private readonly Dictionary<string, uint> _primesList;
        private string _primesCvsPath;

        public bool ShowFullInfo
        {
            get;
            set;
        }
        public bool ShowOnlyCoprime
        {
            get;
            set;
        }
        public PrimesFinder(string primesCvsPath)
        {
            _primesCvsPath = primesCvsPath;

            ShowFullInfo = false;
            ShowOnlyCoprime = false;

            _primesList = _parsePrimesCvsFile(_primesCvsPath);
        }
        private Dictionary<string, uint> _parsePrimesCvsFile(string primesCvsPath)
        {
            var strR = new StreamReader(primesCvsPath);
            var res = new Dictionary<string, uint>();

            do
            {

```

```

var line = strR.ReadLine();
if (line == null) break;
var lineData = line.Split(new[] { ' ' });

if (Utils.IsBinaryValue(lineData[1]))
{
    res.Add(lineData[1], uint.Parse(lineData[0]));
}

}
while (true);
return res;
}
public string FindPrimes(int processorCapacity, int blockCapacity, int
additionalValues)
{
    if (processorCapacity < blockCapacity)
    {
        throw new ArgumentException("processorCapacity повинен бути більшим чи
рівним за blockCapacity");
    }
    if (processorCapacity == 0 || blockCapacity == 0)
    {
        throw new ArgumentException("processorCapacity і blockCapacity повинні
бути більші за 0");
    }
    var primesCount = (int)Math.Round(((double)(processorCapacity / blockCapacity),
MidpointRounding.AwayFromZero) + additionalValues);
    if (primesCount % 2 == 1)
    {
        primesCount++;
    }
    var res = new StringBuilder();
    var ress = _findPrimes(_primesList, blockCapacity, primesCount);
    if (ShowOnlyCoprime)
    {
        ress = _findCoprimes(ress);
    }
    foreach (var value in ress)
    {
        res.AppendLine(ShowFullInfo ? value.ToString() :
value.GetRealNumber().ToString());
    }
    return res.ToString();
}
private List<ExtendedNumber> _findCoprimes(IEnumerable<ExtendedNumber>
allItems)
{

```

```

var existMultipliers = new List<uint>();
var result = new List<ExtendedNumber>();
foreach (var number in allItems)
{
    var multipliers = (from entry in number.GetMultipliers() where entry > 1 select
entry).ToArray();
    var multiplierExist = multipliers.Any(existMultipliers.Contains);
        if (multiplierExist)
        {
            continue; }
        foreach (var multiplier in multipliers.Where(multiplier =>
!existMultipliers.Contains(multiplier)))
        {
            existMultipliers.Add(multiplier);        }

        result.Add(number);
    }
    return result;    }
private List<ExtendedNumber> _findPrimes(Dictionary<string, uint> primesList, int
itemMaxCapacity, int returnPrimesCount)
{
    var res2 = new List<ExtendedNumber>();
    var res = new List<uint>();
    var searchList = new Dictionary<string, uint>();
    var maxValue1 = (uint)Math.Pow(2, itemMaxCapacity);
    res.Add(maxValue1);
    res2.Add(new ExtendedNumberPowerer(2, (uint)itemMaxCapacity));
    var maxValue = (uint)Math.Pow(2, itemMaxCapacity)-1;
    res.Add(maxValue);
    res2.Add(new ExtendedNumberMultiplier(Utils.GetMultipliers(maxValue)));
    foreach (var pair in primesList)
    {
        if (pair.Key.Length < itemMaxCapacity)
        {
            searchList.Add(pair.Key, pair.Value);
        }
        else if (pair.Key.Length == itemMaxCapacity)
        {
            if (res.Contains(pair.Value))
                continue;
            res.Add(pair.Value);
            res2.Add(new ExtendedNumberPrime(pair.Value));
        }
        else

```

```

    {
        break;
    }
}
var needContinue = res.Count < returnPrimesCount;

if (needContinue)
{
    var tempRes = new List<uint>();
    foreach (var pairOuter in searchList)
    {
        uint temp;
        foreach (var pairInner in searchList)
        {
            if (pairOuter.Key.Length + pairInner.Key.Length - 1 > itemMaxCapacity)
            {
                continue;
            }
            temp = pairInner.Value * pairOuter.Value;

            if (temp >= maxValue || tempRes.Contains(temp) || res.Contains(temp))
                continue;
            tempRes.Add(temp);
            res2.Add(new ExtendedNumberMultiplier(new[] { pairInner.Value,
pairOuter.Value }));
        }
        if (!tempRes.Contains(pairOuter.Value))
        {
            tempRes.Add(pairOuter.Value);
            res2.Add(new ExtendedNumberPrime(pairOuter.Value));
        }
        for (var i = 2; i <= itemMaxCapacity; i++)
        {
            temp = (uint)Math.Pow(pairOuter.Value, i);
            if (temp > maxValue)
            {
                break;
            }
            if (tempRes.Contains(temp))
                continue;
            tempRes.Add(temp);
            res2.Add(new ExtendedNumberPowerer(pairOuter.Value, (uint)i));
        }
    }
}
res.AddRange(tempRes);

```



```

        }
        res2 = (from entry in res2 orderby entry.GetRealNumber() descending select
entry).ToList();
        return res2.Take(returnPrimesCount).ToList();
    }
}
using System.Globalization;
using System.Linq;
namespace KrestensonFindPrimes
{
    public abstract class ExtendedNumber
    {
        protected uint RealNumber;
        protected uint[] Multipliers;

        public uint GetRealNumber()
        {
            return RealNumber;
        }
        public uint[] GetMultipliers()
        {
            return Multipliers;
        }
    }

    public class ExtendedNumberPrime : ExtendedNumber
    {
        public ExtendedNumberPrime(uint number)
        {
            RealNumber = number;
            Multipliers = new uint[] { number, 1 };
        }
        public override string ToString()
        {
            return RealNumber + " (Просте число)";
        }
    }

    public class ExtendedNumberMultiplier : ExtendedNumber
    {
        public ExtendedNumberMultiplier(uint[] multipliers)
        {

```

```

        var number = multipliers.Aggregate<uint, uint>(1, (current, multiplier) =>
current*multiplier);
        RealNumber = number;

        Multipliers = multipliers;
    }

    public override string ToString()
    {
        var res = RealNumber.ToString(CultureInfo.InvariantCulture);
        res += " (Складене число: ";
        res += string.Join(" * ", Multipliers);
        res += ")";

        return res;
    }
}

public class ExtendedNumberPowerer : ExtendedNumberMultiplicator
{
    private readonly uint _powerKoefficient;
    public ExtendedNumberPowerer(uint multiplier, uint powerKoefficient)
        : base(Enumerable.Repeat(multiplier, (int)powerKoefficient).ToArray())
    {
        _powerKoefficient = powerKoefficient;
    }
    public override string ToString()
    {
        return RealNumber + " (Складене число: " + Multipliers[0] +
            " ^ " + _powerKoefficient + ")";
    }
}
}
}

```

Додаток К
Акти впровадження результатів дисертаційної роботи

**ТОВАРИСТВО З ОБМЕЖЕНОЮ ВІДПОВІДАЛЬНІСТЮ
«ТЕРНОПІЛЬСЬКЕ КОНСТРУКТОРСЬКЕ БЮРО РАДІОЗВ'ЯЗКУ «СТРІЛА»**

46023, м. Тернопіль, вул 15 Квітня, 6, тел/факс – 28-75-00, 28-72-00, tkbr_strila@ukr.net, tkbr_strila@mail.ru
р/р 260070106806 в Тернопільському відділенні №3 ПАТ КБ "Фінансова ініціатива",
МФО 380054, код 14042350
№ 306 від 30.11.2012 р.

ЗАТВЕРДЖУЮ



Директор ТОВ ТКБР «Стріла»

Рафалюк О.О.

АКТ

про впровадження результатів дисертаційної роботи аспіранта кафедри спеціалізованих комп'ютерних систем Тернопільського національного економічного університету Волинського Ореста Ігоровича "Методи побудови високопродуктивних спецпроцесорів на основі теоретико-числового базису Крестенсона"

Даний акт складений про те, що результати дисертаційної роботи Волинського О.І, "Методи побудови високопродуктивних спецпроцесорів на основі теоретико-числового базису Крестенсона" передані для впровадження ТОВ ТКБР "Стріла" що включають:

1. Високопродуктивні алгоритми міжбазисних перетворень великорозрядних чисел Радемахера-Крестенсона та Крестенсона-Радемахера з використанням розмежованої системи числення.
2. Схемотехнічні рішення спецпроцесорів перетворення великорозрядних шесел двійкової системи числення у систему залишкових класів та їх модульного жспоненціювання, які дозволяють підвищити 1-2 порядки швидкодію цифрування даних у комп'ютерних мережах.

Члени комісії:

Заступник директора

Карпів В.Б.

Головний конструктор

Піскун С.О.

Затверджую

Проректор з наукової роботи
Тернопільського національного
економічного університету
«20» травня проф. З.-М.В. Задорожний
«20» травня 2013р.



АКТ

про впровадження результатів дисертаційної роботи викладача
кафедри спеціалізованих комп'ютерних систем
Волинського Ореста Ігоровича "Методи побудови високопродуктивних спецпроцесорів на
основі теоретико-числового базису Крестенсона" у науково-дослідній роботі на
тему:
"Розробка теорії та комп'ютерних засобів спеціалізованих комп'ютерних систем на основі
теоретико-числових базисів Крестенсона-Галуа"
(державний реєстраційний номер 0106U012530)

Ми, комісія у складі завідувача кафедри спеціалізованих комп'ютерних систем Тернопільського національного економічного університету (ТНЕУ) і наукового керівника науково-дослідної роботи д.т.н., професора Николайчука Я.М. та начальника науково-дослідної частини ТНЕУ Письменного В.І., створена для приймання роботи, виконаної в рамках тематичного плану науково-дослідних робіт ТНЕУ на 2012-2013р. на тему "Розробка теорії та комп'ютерних засобів спеціалізованих комп'ютерних систем на основі теоретико-числових базисів Крестенсона-Галуа" (державний реєстраційний номер 0106U012530), встановила:

1. Розроблено Волинським О. І. високопродуктивний одноктактний спецпроцесор міжбазисного перетворення Радемахера-Крестенсона шляхом застосування модулів рандомізації та мультиплексування фрагментів розмежованих залишків, що дозволило досягнути максимальної швидкодії спецпроцесора.
2. Розроблено за участю Волинського О. І. структура швидкодуючого спецпроцесора кореляційного опрацювання сигналів у базисі Крестенсона шляхом представлення вхідних аналогових сигналів у базисі Хаара-Крестенсона, що дозволило реалізувати одноктактні операції додавання та множення чисел і максимально підвищити швидкодію кореляційного опрацювання сигналів.
3. Розроблено за участю Волинського О. І. процесор шифрування великорозрядних чисел на основі дискретного логарифму для задач криптографії, що дозволило на 1-2 порядки підвищити швидкодію шифрування та штатного дешифрування інформаційних потоків в шифрметодах з відкритими ключами.

Завідувач кафедри спеціалізованих
комп'ютерних систем ТНЕУ,
д.т.н., проф.

Я.М. Николайчук

Науковий керівник
науково-дослідної роботи,
д.т.н., проф.

Я.М. Николайчук

Начальник науково-дослідної
частини

В.І. Письменний

ЗАТВЕРДЖУЮ

Директор інституту мікропроцесорних систем
керування об'єктами електроенергетики
КД ЦІЗІТ НАН України

к. т. н. Сабадаш І.О.

" 03 "

2012 р.

М. Львів



АКТ

використання результатів дисертаційної роботи Волинського Ореста Ігоровича " Методи побудови високопродуктивних спецпроцесорів на основі теоретико-числового базису Крестенсона "

Ми комісія у складі:

к. т. н. доцент Кідиба Віктор Павлович (головний інженер), к. т. н. доцент Баран Петро Михайлович (завідувач лабораторії мікропроцесорної техніки), склали даний акт у тому, що за реалізації систем контролю технологічних станів обладнання електричних підстанцій 6-35 кВ використано наступні результати дисертаційної роботи Волинського О.І.:

- методи та алгоритми кореляційного опрацювання сигналів на основі теоретико-числового базису Крестенсона;
- структура та схемотехнічна реалізація високопродуктивного кореляційного спецпроцесора у базисі Хаара-Крестенсона;
- рекурсивний метод міжбазисного перетворення Радемахера-Крестенсона.

Вказані результати використані за розробки алгоритмів та програмно-апаратних засобів встановлення фактів збурень у високовольтних ліній електропередач, що дозволило:

1. Підвищити швидкість встановлення фактів збурень у високовольтних ліній електропередач.
2. Зменшити апаратні затрати та на 2-3 порядки часову складність кореляційних спецпроцесорів за рахунок виконання матричного множення та сумування цифрових даних у системі залишкових класів.

Ці результати використані за виконання в процесі впровадження інформаційно діагностичної системи моніторингу стану ізоляції в мережах 6-35 кВ у підприємстві ВАТ ЕК «Лвівобленерго».

Головний інженер
к. т. н. доцент

Кідиба В. П.

Завідувач лабораторії
мікропроцесорної техніки
к. т. н. доцент

Баран П. М.

Затверджую

Проректор з науково-педагогічної роботи
Тернопільського національного
економічного університету
Шинкарик М.І.

«28 лютого» 2012р.



впровадження результатів дисертаційної роботи Волинського Ореста Ігоровича
«Методи побудови високопродуктивних спецпроцесорів на основі теоретико-числового базису Крестенсона»

Комісія у складі: голови декана факультету комп'ютерних інформаційних технологій, д.т.н., проф. Дивака Миколи Петровича та членів: завідувач кафедри спеціалізованих комп'ютерних систем д.т.н., проф. Николайчука Ярослава Миколайовича, к.т.н., доц. Яцківа Василя Васильовича підтверджує, що результати кандидатської дисертації Волинського Ореста Ігоровича впроваджені і використовуються в навчальному процесі на кафедрі спеціалізованих комп'ютерних систем Тернопільського національного економічного університету при вивченні дисциплін: "Комп'ютерна логіка", "Цифрова обробка сигналів і зображення", "Теорія джерел інформації", "Спецпроцесори в різних теоретико-числових базисах" для студентів спеціальностей 8.05010203 - "Спеціалізовані комп'ютерні системи" та 8.05010201 - "Комп'ютерні системи та мережі", а саме:

- розроблені теоретичні основи виконання арифметичних операцій у розмежованій системі залишкових класів;
- розроблений метод високопродуктивного перетворення чисел з базису Радемахера в базис Крестенсона шляхом рекурентного сканування чисел базису Радемахера;
- вдосконалені цифрові технології перетворення чисел з базису Крестенсона в базис Радемахера на основі цілочисельної та нормалізованої досконалої форм системи залишкових класів шляхом представлення залишків з фіксованою комою у базисі Радемахера;
- вдосконалені цифрові технології перетворення чисел з базису Крестенсона в базис Радемахера на основі цілочисельної та нормалізованої досконалої форм системи залишкових класів шляхом представлення залишків з фіксованою комою у базисі Радемахера
- отримало подальший розвиток кореляційне опрацювання в базисі Хаара-Крестенсона.

Декан факультету комп'ютерних
інформаційних технологій ТНЕУ,
д.т.н., проф.

М.П. Дивак

Завідувач кафедри спеціалізованих
комп'ютерних систем ТНЕУ,
д.т.н., проф.

Я.М. Николайчук

Доцент кафедри спеціалізованих
комп'ютерних систем ТНЕУ,
к.т.н., доц.

В.В. Яцків

Додаток Л
Патенти України на корисну модель





УКРАЇНА



ПАТЕНТ

НА КОРИСНУ МОДЕЛЬ

№ 74576

СПОСІБ ВИЗНАЧЕННЯ ЗАЛИШКУ ДВІЙКОВОГО ЧИСЛА

Видано відповідно до Закону України "Про охорону прав на винаходи і корисні моделі".

Зареєстровано в Державному реєстрі патентів України на корисні моделі 12.11.2012.

Голова Державної служби
інтелектуальної власності України

М.В. Ковіня



